

Е. Л. ОКУНЬ

**РАДИО-
ПЕРЕДАЮЩИЕ
УСТРОЙСТВА**



Е. Л. ОКУНЬ

РАДИОПЕРЕДАЮЩИЕ УСТРОЙСТВА

ИЗДАНИЕ 3-е,
ПЕРЕРАБОТАННОЕ И ДОПОЛНЕННОЕ

*Допущено Министерством
высшего и среднего специального
образования СССР в качестве
учебника для радиотехнических
техникумов*



ИЗДАТЕЛЬСТВО „СУДОСТРОЕНИЕ“

ЛЕНИНГРАД

1967

В книге приводятся основные сведения по теории и расчету радиопередающих устройств радиосвязи и радиолокации.

По сравнению со старым изданием книги ее объем значительно сокращен за счет исключения второстепенного материала, не входящего в программу, и существенной переработки основного материала.

Книга является учебником для учащихся радиотехнических специальностей техникумов и других средних специальных учебных заведений и может быть полезна студентам вузов, особенно системы заочного и вечернего обучения.

ОГЛАВЛЕНИЕ

Предисловие	6
-----------------------	---

Глава I

Общие сведения о радиопередающих устройствах

§ 1. Принцип действия и технические показатели современных радиопередающих устройств	7
§ 2. Виды работы радиопередающих устройств	14
§ 3. Блок-схемы радиопередающих устройств радиосвязи и радиолокации	17
§ 4. Особенности современных генераторных ламп	23
§ 5. Идеализация характеристик генераторных ламп	27
§ 6. Особенности работы полупроводниковых триодов в радиопередающих устройствах	34

Глава II

Усилитель мощности высокой частоты

§ 7. Принцип действия и энергетические режимы работы усилителя мощности	42
§ 8. Динамические и нагрузочные характеристики лампового усилителя	55
§ 9. Разложение импульса анодного тока на составляющие	62
§ 10. Основные расчетные соотношения в различных режимах работы усилителя мощности	65
§ 11. Цепи управляющей и экранной сетки усилителя мощности	68
§ 12. Эквивалентная схема усилителя	73
§ 13. Расчет усилителя мощности	77

Глава III

Схемы питания ламп усилителей и генераторов

§ 14. Источники питания ламп передатчиков	83
§ 15. Схемы питания анодных цепей	84
§ 16. Схемы питания сеточных цепей	88
§ 17. Схемы питания цепей накала	94

Глава IV

Промежуточные усилители радиопередатчиков

§ 18. Промежуточные усилители мощности	96
§ 19. Промежуточные умножители частоты	102
§ 20. Промежуточный усилитель с аperiodической нагрузкой	109

Глава V

Выходные усилители мощности радиопередатчиков

§ 21. Общие сведения	113
§ 22. Простые одноконтурные схемы выхода	116
§ 23. Сложные одноконтурные схемы выхода	118
§ 24. Двухконтурные схемы усилителей мощности	133
§ 25. Параллельное включение ламп в усилителях мощности	140

Глава VI

Усилители мощности на полупроводниковых триодах

§ 26. Принцип действия и режимы работы усилителя мощности	142
§ 27. Энергетические показатели усилителя мощности	150
§ 28. Схемы усилителей мощности	151

Глава VII

Ламповые генераторы

§ 29. Физические процессы самовозбуждения генераторов	154
§ 30. Одноконтурные схемы генераторов	171
§ 31. Двухконтурные схемы генераторов с внешней емкостной связью	176
§ 32. Двухтактные схемы генераторов	180

Глава VIII

Генераторы на полупроводниковых триодах

§ 33. Физические процессы самовозбуждения генераторов	182
§ 34. Схемы генераторов	187
§ 35. Стабилизация режима генераторов и усилителей	188

Глава IX

Устойчивость работы ламповых усилителей

§ 36. Условия устойчивой работы усилителей	191
§ 37. Нейтрализация проходной емкости ламп усилителей	199
§ 38. Паразитное самовозбуждение в радиопередатчиках	202
§ 39. Схема усилителя мощности с общей сеткой	205

Глава X

Стабилизация частоты в радиопередающих устройствах

§ 40. Характеристика стабильности частоты и требования к ней	215
§ 41. Дестабилизирующие факторы и методы ослабления их влияния на частоту	218
§ 42. Двухконтурные схемы генераторов с электронной обратной связью	225
§ 43. Кварцевая стабилизация частоты в генераторах	232
§ 44. Схемы кварцевых генераторов	241

Глава XI

Генераторы СВЧ

§ 45. Особенности работы генераторных ламп в диапазоне СВЧ	252
§ 46. Генераторы метровых волн	263
§ 47. Генераторы дециметровых волн	273
§ 48. Клистронные генераторы	279
§ 49. Магнетронные генераторы	289
§ 50. Генераторы на лампах бегущей волны (ЛБВ) и обратной волны (ЛОБВ)	315

Глава XII

Модуляция и манипуляция в радиопередающих устройствах

§ 51. Амплитудная модуляция и ее технические показатели	336
§ 52. Сеточная модуляция смещением и усиление амплитудно-модулированных колебаний	343
§ 53. Анодная модуляция	357
§ 54. Модуляция в усилителях мощности на тетродах и пентодах	375
§ 55. Однорисовая модуляция	381
§ 56. Частотная и фазовая модуляции	385
§ 57. Манипуляция	407

Глава XIII

Импульсная модуляция в радиопередающих устройствах СВЧ

§ 58. Общие сведения	419
§ 59. Принцип действия и технические показатели импульсных модуляторов РЛС	424
§ 60. Модуляторы с частичным и полным разрядом накопителя	430
§ 61. Безламповый импульсный модулятор	444
§ 62. Типы коммутирующих устройств	447
Литература	451

ПРЕДИСЛОВИЕ

Третье издание книги значительно сокращено по сравнению со вторым. Исключены второстепенные и мало-существенные вопросы, что позволило сделать учебник более целенаправленным и облегчить его использование студентами вечерних и заочных отделений техникумов и училищ радиотехнического профиля.

Большой и непрерывно увеличивающийся объем фактического материала курса «Радиопередающих устройств» не позволяет рассмотреть достаточно подробно все разделы.

Автор стремился выделить основные наиболее важные вопросы, изучение и освоение которых учащимися позволит им самостоятельно подходить к решению новых вопросов и задач.

В третьем издании в основном сохранена принятая методика построения курса, за исключением глав, посвященных транзисторным схемам, которые, по предложению рецензента В. В. Творцовой, помещены после соответствующих ламповых схем.

Исключены некоторые вопросы, известные из курса общей радиотехники, а также устаревшие схемы, представляющие только исторический интерес.

Автор выражает глубокую признательность рецензенту В. В. Творцовой за ряд ценных замечаний, способствующих улучшению методики курса, и Г. И. Ивановой, взявшей на себя труд по проверке рукописи и формул.

Автор будет признателен за отзывы о книге, которые следует направлять в адрес издательства «Судостроение», ул. Гоголя, 8.

Глава I

ОБЩИЕ СВЕДЕНИЯ О РАДИОПЕРЕДАЮЩИХ УСТРОЙСТВАХ

§ 1. Принцип действия и технические показатели современных радиопередающих устройств

Радиопередающее устройство является важнейшей частью линии радиосвязи, радионавигации и радиолокации. Составные элементы радиопередающих устройств широко используют в различных радиотехнических установках. Например, генераторы и усилители высокой частоты применяют в радиоизмерительной аппаратуре, установках для плавки и закалки металлов, сушильных установках и др. В современных радиопередающих устройствах используются электронные приборы: лампы, клистроны, магнетроны и др. Применение того или иного типа приборов определяется диапазоном частот, в котором работает передатчик.

В передатчиках длинных, средних, коротких и метровых волн используются электронные лампы — триоды, тетроды и пентоды. В передатчиках дециметровых волн наряду с электронными лампами специальной конструкции применяются клистроны и магнетроны, а в передатчиках сантиметровых волн — клистроны, магнетроны и лампы бегущей и обратной волны.

Электронные лампы применяются, в первую очередь, для генерации и усиления мощности колебаний высокой частоты, управления этими колебаниями, а также используются в различных вспомогательных цепях передатчика.

В последние годы все большее применение в радиопередающих устройствах находят полупроводниковые триоды — транзисторы.

Полупроводниковые приборы обладают следующими эксплуатационными и экономическими показателями: высокой экономичностью и мгновенной готовностью к работе

из-за отсутствия накалываемого катода, большим сроком службы (десятки и сотни тысяч часов); высокой надежностью работы, низким напряжением питания, высоким к. п. д., высокой механической прочностью, малыми габаритами и весом.

Указанные преимущества позволяют создавать малогабаритную радиоаппаратуру.

Современное радиопередающее устройство является сложной радиотехнической установкой, в задачу которой входит: 1) преобразовывать энергию источников электрического питания постоянного или переменного тока в энергию токов высокой частоты; 2) вырабатывать заданную мощность колебаний высокой частоты и передавать ее в антенну; 3) отображать в выработанных колебаниях высокой частоты закон управляющего сигнала.

Изменение высокочастотного колебания по закону управляющего сигнала (речь, музыка, изображение, кодированные знаки и др.) называется *модуляцией*.

Таким образом, *радиопередающее устройство* — это такое радиотехническое устройство, которое создает высокочастотные модулированные колебания заданной частоты и мощности и направляет их в антенну для излучения в виде свободных электромагнитных волн.

К радиопередающему устройству предъявляют разнообразные технические требования. Они формулируются в технических условиях на передатчики, составляемых при проектировании, и в значительной степени зависят от условий работы, назначения и места установки передатчика.

Электрические показатели. К ним относятся мощность передатчика, стабильность частоты, диапазон рабочих частот, коэффициент полезного действия, глубина модуляции при амплитудной и девиация частоты при частотной модуляциях, нелинейные и частотные искажения, фильтрация и др.

Мощность передатчика определяет дальность действия и надежность радиосвязи. Заданная техническими условиями, она должна обеспечиваться на любой волне рабочего диапазона передатчика.

Под мощностью передатчика понимают мощность, которую передатчик выдает в антенну или фидерную линию. Мощность же, излучаемая антенной, зависит от ее типа и параметров.

Таким образом, мощность передатчика

$$P_{\text{ак}} = P_{\sim} \eta_{\text{пк}}, \quad (1)$$

где P_{\sim} — мощность в контуре выходного усилителя передатчика;

$\eta_{\text{пк}}$ — к. п. д. контура выходного усилителя.

При телеграфной работе мощность $P_{\text{ак}}$ соответствует режиму нажатого ключа, при телефонной — режиму молчания.

Мощность современных передатчиков бывает различной: от десятых долей ватта до сотен и тысяч киловатт. В зависимости от величины мощности различают передатчики малой (единицы и десятки ватт), средней (сотни ватт, один-два киловатта) и большой (свыше одного-двух киловатт) мощности.

Стабильность (постоянство) частоты передатчика определяет устойчивость радиосвязи в различных условиях эксплуатации. Недостаточно высокая стабильность частоты вызывает «качание» полосы частот, занимаемой передатчиком, в результате чего увеличиваются помехи приему соседних по частоте радиостанций и уменьшается надежность связи.

Нестабильность частоты характеризуется суммарным отклонением частоты от номинального значения

$$q = \frac{\Delta f}{f},$$

где q — относительная нестабильность частоты;

Δf — абсолютная нестабильность частоты;

f — номинальное значение частоты.

Нестабильность частоты зависит от ряда причин, связанных с внутренними и внешними условиями работы передатчика. Допускаемая нестабильность определяется назначением и диапазоном воли передатчика. Высокую стабильность частоты легче получить в стационарных передатчиках, так как к ним предъявляются менее жесткие требования в отношении габаритов и веса. Например, для подвижных передатчиков средних воли допускается относительная нестабильность частоты до $\pm 2 \cdot 10^{-4}$, в то время как для стационарных до $\pm (0,5-1) \cdot 10^{-4}$.

При работе передатчика на коротких волнах требования к относительной нестабильности повышаются, поскольку с укорочением волны (при том же значении отно-

сительной неустойчивости) увеличивается абсолютная неустойчивость, величина которой не должна превышать допустимую.

Диапазон рабочих частот передатчика определяется его назначением и должен обеспечить необходимую дальность связи в заданных условиях эксплуатации.

Передатчик может работать в плавном диапазоне, т. е. на всех частотах данного участка частотного спектра, и на определенных фиксированных частотах. Настройка передатчика на любую частоту диапазона производится элементом настройки контура генератора (конденсатором переменной емкости или варнометром); на эту же частоту настраивают контуры усилителей, обеспечивающих заданную мощность в антенне.

Если диапазон частот передатчика оказывается настолько широким, что его невозможно перекрыть органом настройки генератора или обеспечить нужное постоянство мощности в усилителях, общий диапазон разбивают на более узкие участки (поддиапазоны).

Ширина диапазона характеризуется коэффициентом его перекрытия

$$K_d = \frac{f_{\max}}{f_{\min}} = \frac{\lambda_{\max}}{\lambda_{\min}},$$

где f_{\max} и f_{\min} — максимальная и минимальная частоты диапазона;

λ_{\max} и λ_{\min} — максимальная и минимальная длины волн диапазона.

Если общий диапазон разбивается на поддиапазоны, то

$$K_{d, \text{общ}} = \frac{f_{\max}}{f_{\min}} = \frac{f_{\max} f_{(n-1)} \cdots f_2 f_1}{f_{(n-1)} f_{(n-2)} \cdots f_1 f_{\min}} = K_{d1} K_{d2} \cdots K_{dn}, \quad (2)$$

где $f_1, f_2, \dots, f_{(n-1)}$ — граничные частоты поддиапазонов;

$K_{d1}, K_{d2}, \dots, K_{dn}$ — коэффициенты перекрытия поддиапазонов;

n — число поддиапазонов.

При настройке контура емкостью ($L = \text{const}$) коэффициент перекрытия можно выразить через максимальную (C_{\max}) и минимальную (C_{\min}) емкости контура

$$K_d = \frac{f_{\max}}{f_{\min}} = \sqrt{\frac{C_{\max}}{C_{\min}}},$$

а при настройке контура индуктивностью ($C = \text{const}$) — через максимальную (L_{max}) и минимальную (L_{min}) индуктивности контура

$$K_d = \frac{f_{\text{max}}}{f_{\text{min}}} = \sqrt{\frac{L_{\text{max}}}{L_{\text{min}}}}.$$

Коэффициент перекрытия современных диапазоновых передатчиков лежит в пределах от 1,1 до 6—7 и определяется назначением передатчика. K_d поддиапазона обычно выбирается в пределах 1,3—1,7.

В зависимости от того, в какой части частотного спектра радиоволн лежит основной диапазон передатчика, различают передатчики сверхдлинных ($\lambda > 10\,000\text{ м}$), длинных ($\lambda = 1000\text{—}10\,000\text{ м}$), средних ($\lambda = 100\text{—}1000\text{ м}$), коротких ($\lambda = 10\text{—}100\text{ м}$), метровых ($\lambda = 1\text{—}10\text{ м}$), дециметровых ($\lambda = 10\text{—}100\text{ см}$) и сантиметровых ($\lambda = 1\text{—}10\text{ см}$) волн.

Промышленный коэффициент полезного действия передатчика характеризуется отношением мощности высокой частоты P_{AK} , отдаваемой передатчиком в антенну, ко всей мощности, потребляемой передатчиком P_n

$$\eta_{\text{п}} = \frac{P_{\text{AK}}}{P_n} 100\%.$$

В маломощных передатчиках, где величина потребляемой мощности невелика, стремление повысить к. п. д. вызвано необходимостью уменьшить габариты и вес источников питания. В более мощных передатчиках величина потребляемой мощности уже играет существенную роль, и повышение их к. п. д. позволяет значительно повысить экономические показатели.

К. п. д. передатчиков зависит от режима работы ламп усилителей, рода работы и типа модуляции. Например, при телефонной работе к. п. д. ниже, чем при телеграфной, а при амплитудной модуляции ниже, чем при частотной. К. п. д. современных маломощных передатчиков сравнительно невелик — до 10—20 %, в передатчиках средней и большой мощности к. п. д. достигает 25—50 %.

Глубина модуляции и уровень частотных и нелинейных искажений относятся к электроакустическим требованиям, которые задаются в технических условиях на передатчик.

Передатчики малой и средней мощности должны допускать работу с глубиной модуляции до 100 %, при этом

коэффициент нелинейных искажений не должен превышать 10—12%, а частотные искажения ± 4 дБ; форма телеграфного сигнала должна быть близка к прямоугольной при заданной скорости работы.

Фильтрация высших гармоник в выходном напряжении передатчика необходима для предотвращения помех радиоприему, так как высшие гармоники (кратные частоты), образуемые в анодном токе выходного усилителя, проходя в антенну, будут создавать нежелательные излучения (появление гармоник связано с импульсным характером анодного тока). Фильтрация гармоник осуществляется с помощью колебательного контура, являющегося нагрузкой выходного усилителя.

Конструктивные показатели. К ним относятся габариты, вес, тип конструкции, механическая прочность, теплостойкость, влагостойкость и др.

Габариты, вес и тип конструкции имеют важное значение для радиопередатчиков, устанавливаемых на подвижных объектах. Уменьшение габаритов требует особенно рационального размещения деталей и общей компоновки блоков передатчика, применения малогабаритных деталей и конструкций, а также легких сплавов и пластмасс в качестве конструкционных материалов.

Материалы, используемые в передатчиках, должны быть влагостойкими и теплостойкими и нормально работать в заданном интервале температур при заданной относительной влажности.

Конструкция передатчика, размещение его узлов и деталей и компоновка должны обеспечивать простую и качественную технологию сборки и регулировки.

Эксплуатационные показатели. Они характеризуют удобство управления передатчиком: время и число операций, необходимых для включения и настройки на заданную волну, быстроту перестройки с одной волны на другую, переход из одного режима работы в другой, а также удобство подхода к передатчику (смена ламп, осмотр, текущий ремонт), систему сигнализации и блокировки, обеспечивающую безопасность обслуживающего персонала и т. п.

Передатчик должен быть оснащен достаточным количеством измерительных приборов, позволяющих производить настройку и вести контроль за режимом работы.

Надежность работы радиопередатчика. В последние годы очень большое внимание уделяется вопросам надежности работы радиоэлектронной аппаратуры, в том числе надежности радиопередающих устройств.

Это связано с тем, что значительное усложнение современной радиоаппаратуры и увеличение числа элементов уменьшают ее надежность и увеличивают число отказов. Важнейшее значение имеет надежность радиоаппаратуры, используемой в спутниках Земли и на космических кораблях для связи и телеуправления. Повышение надежности радиоаппаратуры является одной из основных проблем современной техники.

Количественные характеристики надежности, принятые в современной теории надежности, в отличие от других технических показателей радиопередатчиков и радиоаппаратуры, носят вероятностный характер и основаны на статистически обработанных экспериментальных данных по опасности отказов основных элементов радиоаппаратуры — электронных ламп, полупроводниковых приборов, конденсаторов, сопротивлений и т.д.

Основными характеристиками надежности являются: интенсивность отказов λ , среднее время исправной работы («наработка на отказ») $T_{\text{ср}}$ и вероятность исправной работы $P(t)$.

Интенсивность отказов представляет собой число отказов, приходящихся на один час времени исправной работы прибора (или его элемента):

$$\lambda = \frac{n}{N \Delta t} \frac{\text{отказ}}{\text{элемент} \cdot \text{час}},$$

где n — число отказов за время Δt ;

N — число приборов (или элементов), нормально работающих в интервале времени Δt .

Среднее время исправной работы связано с интенсивностью отказов соотношением

$$T_{\text{ср}} = \frac{1}{\lambda}.$$

Наиболее полной характеристикой надежности является вероятность исправной работы $P(t)$ прибора (или его элементов), которая учитывает время исправной работы в течение заданного промежутка времени $0 \leq P(t) \leq 1$.

При $t = 0$ вероятность исправной работы $P(0) = 1$; это указывает на то, что в начальный момент времени прибор (или элемент) полностью надежен. При $t = \infty$ $P(\infty) = 0$, т. е. аппаратура (или элемент) полностью ненадежна.

Закон, по которому меняется вероятность исправной работы в интервале времени, устанавливается путем статистической обработки экспериментальных данных. В настоящее время для расчетов, как правило, применяют экспоненциальный закон надежности, при котором

$$P = e^{-\lambda t}.$$

§ 2. Виды работы радиопередающих устройств

При непрерывной работе передатчиков, когда антенна излучает энергию в течение большей части времени передачи сигнала, возможны следующие основные виды работы передатчика: телеграфный, телефонный и телевизионный.

Телеграфная работа называется *манипуляцией*. Она разделяется на два вида: амплитудную и частотную. Амплитудная манипуляция в свою очередь делится на два класса работы: незатухающими колебаниями (A1) и тонально-модулированными (A2).

Телеграфным видом работы пользуются при передачах телеграфного кода Морзе и черно-белых неподвижных изображений (фототелеграфия), а также при буквопечатании. В этом случае антенна передатчика излучает посылки высокочастотных незатухающих колебаний различной длительности в соответствии с кодом телеграфной азбуки. При амплитудной манипуляции в паузах между посылками излучение отсутствует, а при частотной излучение происходит и в паузах, но с другой частотой (класс работы F1).

На рис. 1 показана форма манипулирующего сигнала (рис. 1, а) и форма тока в антенне при работе колебаниями A1 (рис. 1, б), A2 (рис. 1, в) и F1 (рис. 1, г).

Работа колебаниями A1 была самым первым методом манипуляции, однако она широко используется и в настоящее время при ручной передаче и приеме сигналов на слух. Она характеризуется хорошей помехозащищенностью, сравнительно узкой полосой частот, занимаемой передатчиком, и простотой схем манипуляции. Вместе

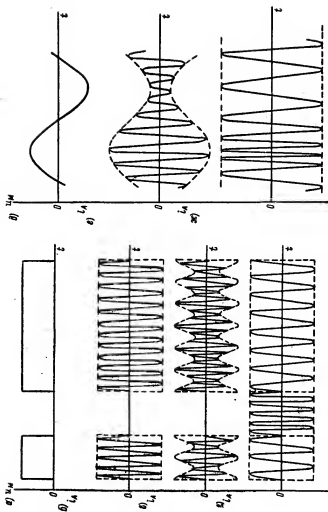


Рис. 1. Форма сигналов при манипуляции и модуляции: *а* — манипулирующий сигнал; *б* — амплитудно-манипулируемый сигнал; *в* — тонально-модулируемый сигнал; *г* — частотно-манипулируемый сигнал; *д* — модулирующий сигнал; *е* — амплитудно-модулируемый сигнал; *ж* — частотно-модулируемый сигнал.

с тем, ей свойствен ряд недостатков. Так, прием сигналов на слух возможен только при наличии второго гетеродина в супергетеродинном приемнике или регенеративного каскада в приемниках прямого усиления; трудно осуществить быстродействующую передачу (сотни слов в минуту) вследствие сильных искажений формы сигналов, вызываемых переходными процессами при быстром отпирании и запираании передатчика.

Работа колебаниями А2 имеет ту особенность, что незатухающие высокочастотные посылки модулируются в передатчике тоном низкой частоты (400—1000 гц). Такой сигнал может принять любой приемник. Недостатками этого вида колебаний являются более широкая полоса частот, занимаемая передатчиком, и меньшая мощность по сравнению с работой колебаниями А1 (при прочих равных условиях).

Частотно-манипулированные сигналы применяют при быстродействующей радиотелеграфии, буквопечатании и фототелеграфии. Частотная манипуляция отличается большей помехозащищенностью и меньшей полосой частот по сравнению с амплитудной, позволяет сохранить заданную форму сигнала при больших скоростях передачи и дает значительный выигрыш в мощности, так как излучение энергии происходит и в паузе. Недостаток частотной манипуляции — большая сложность схем передатчиков и приемников.

Телефонная работа осуществляется путем модуляции высокочастотного сигнала низкочастотными звуковыми колебаниями (речь, музыка). Различают два основных вида телефонной модуляции: амплитудную (класс АЗ) и частотную (класс F).

На рис. 1, д представлены формы модулирующего сигнала и тока в антенне при амплитудной (рис. 1, е) и частотной (рис. 1, ж) модуляциях.

Амплитудная модуляция отличается узкой полосой частот, занимаемой передатчиком, и широко используется в диапазонах длинных, средних и коротких волн. К недостаткам модуляции следует отнести низкий к. п. д. передатчика и низкую помехозащищенность.

При частотной модуляции амплитуда колебаний сигнала постоянна, а несущая частота изменяется в такт с частотой модулирующего сигнала. Частотная модуляция обладает большей помехозащищенностью и дает значитель-

ный выигрыш в мощности передатчика по сравнению с амплитудной. Однако широкая полоса частот, занимаемая передатчиком, не позволяет осуществить эффективную модуляцию на длинных, средних и коротких волнах, поэтому частотная модуляция используется только в диапазоне ультракоротких волн для радиовещания, радиосвязи на небольшие расстояния, передачи звукового сопровождения телевизионных сигналов и т. п.

При телевизионной работе передатчика (класс работы А5) высокочастотный сигнал модулируется видеосигналом, представляющим собой электрические колебания, в которые преобразуется подвижное изображение. Кроме того, высокочастотный сигнал содержит специальные импульсы, подаваемые в начале и в конце строчек разложения изображения и кадров. Эти вспомогательные сигналы нужны для синхронизации развертки электронного луча в трубке приемника. Телевизионные передатчики работают на метровых волнах и занимают широкую полосу частот (6—7 МГц).

Передача телевизионного сигнала с амплитудной модуляцией сопровождается сигналом частотно-модулированного звукового сопровождения.

§ 3. Блок-схемы радиопередающих устройств радиосвязи и радиолокации

Любой радиопередатчик содержит два основных канала: управляющих (модулирующих) колебаний и высокочастотных незатухающих колебаний. В канал управляющих колебаний входят цепи, по которым проходит управляющий сигнал; в канал высокочастотных колебаний — цепи элементов передатчика, вырабатывающих и усиливающих колебания высокой частоты.

На рис. 2, а показана общая блок-схема передатчика с амплитудной модуляцией. Генератор служит для получения высокостабильных незатухающих колебаний высокой частоты; промежуточные усилители усиливают напряжение и мощность этих колебаний до величины, необходимых для нормальной работы выходного усилителя мощности. Промежуточные усилители ослабляют влияние последующих ступеней передатчика на генератор и тем самым способствуют повышению стабильности частоты генератора.

Для большего ослабления влияний на генератор первый промежуточный усилитель должен работать без тока в цепи управляющей сетки лампы, т. е. потреблять от генератора возможно меньшую мощность. Такой усилитель называется *буферным*.

Выходной усилитель передатчика работает непосредственно на антенну или фидерную линию (обычно на ко-

а)



б)

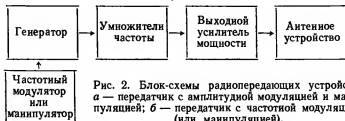


Рис. 2. Блок-схемы радиопередающих устройств: а — передатчик с амплитудной модуляцией и манипуляцией; б — передатчик с частотной модуляцией (или манипуляцией).

ротких волнах); для отдачи максимально возможной полезной мощности он должен быть с ними согласован.

Амплитудная манипуляция, как правило, должна была бы выполняться в промежуточных или выходном усилителях передатчика, так как ее осуществление в генераторе приводит к изменению режима последнего и отрицательно сказывается на стабильности частоты. Однако практика последних лет показала, что при современном уровне техники, высоком качестве деталей и ламп генератора и применении различных мер для стабилизации частоты вполне возможно осуществление амплитудной манипуляции в самом генераторе; при этом легко получить требуемую стабильность частоты и в то же время добиться

полного отсутствия колебаний и паразитного излучения при отжатом ключе.

В передатчиках малой и средней мощности модуляцию следует выполнять не в промежуточном, а в выходном усилителе. Если модуляцию осуществлять в промежуточном усилителе, то последующие за ним усилители будут работать в режиме усиления модулированных колебаний, который характеризуется низким к. п. д.

В современных передатчиках промежуточные усилители часто работают в режиме умножения частоты, т. е. в таком режиме, когда в колебательных контурах (анодных нагрузках усилителей) образуются токи и мощности частот, кратных частоте генератора. Такое построение схемы передатчика позволяет снизить частоту генератора и тем самым повысить стабильность несущей частоты.

В диапазонных передатчиках промежуточные усилители могут работать как усилители на одних участках диапазона и как умножители на других.

Частотная модуляция и манипуляция осуществляются в генераторе, так как изменение частоты передатчика легче всего выполнить там, где она вырабатывается.

На рис. 2, б изображена блок-схема передатчика с частотной модуляцией (или манипуляцией).

Рассмотрим более подробно особенности работы и блок-схемы радиолокационных передающих устройств.

Радиолокационный передатчик является основным элементом радиолокационной станции (РЛС), предназначенной для определения координат различных движущихся и неподвижных объектов с помощью радиоволн. Передатчик излучает высокочастотные зондирующие радиоимпульсы, длительность которых значительно меньше паузы между ними. Радиоимпульсы следуют в периодическом порядке. На рис. 3, а показан ток в антенне передатчика при таком методе работы. Современные радиолокационные передатчики излучают импульсы небольшой длительности [от десятых долей до нескольких микросекунд ($\tau \approx 0,1-10$ мксек)] с частотой следования

$$F = \frac{1}{T} = 200-5000 \text{ имп/сек, где } T \text{ — период следования импульсов. Зондирующие импульсы высокочастотной энергии распространяются в пространстве и, достигнув объекта, частично отражаются от него. Отраженная часть энергии импульса принимается антенной}$$

радиолокационной станции, направляется в приемник и после преобразования — в индикатор станции, где определяются координаты объекта.

Мощность передатчика, от которой зависит дальность действия радиолокационной станции, должна быть большой: сотни и тысячи киловатт в импульсе.

Особенности передатчиков РЛС связаны, во-первых, с импульсным характером работы и, во-вторых, с диапазоном волн.

Импульсные колебания имеют широкий и сложный частотный спектр. В состав импульсных колебаний входят

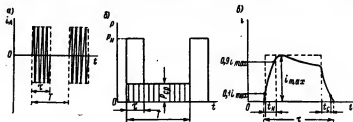


Рис. 3. Импульсная работа передатчика: а — графики токов радиоимпульсов; б — графики мощности передатчика; в — реальный видеоимпульс.

дит бесконечно большое число составляющих, отличающихся друг от друга на величину частоты следования импульсов F и имеющих различные амплитуды, которые изменяются по сложному закону. Основная часть энергии спектра лежит в интервале частот от $f - \frac{1}{\tau}$ до $f + \frac{1}{\tau}$ и занимает широкую полосу $\Delta F \approx \frac{2}{\tau}$.

Таким образом, при передаче коротких импульсов требуется широкая полоса пропускания (единицы и десятки мегагерц), которую можно получить только в диапазоне сверхвысоких частот (СВЧ). Кроме того, в указанном диапазоне можно использовать остронаправленные антенны, фокусирующие излучаемую энергию в узкий пучок, и получить за счет этого дополнительный выигрыш в мощности, дальности действия и точности определения координат объекта.

Радиолокационные передатчики характеризуются также следующими специфическими параметрами, свя-

занными с импульсным характером работы: импульсной и средней мощностью; длительностью импульса, частотой следования и скважностью; стабильностью частоты следования; формой импульсов.

Импульсной мощностью $P_{\text{и}}$ называется средняя мощность в антенне за период высокой частоты:

$$P_{\text{и}} = \frac{I_{\text{А}}^2 r_{\text{А}}}{2},$$

где $I_{\text{А}}$ — амплитуда тока в антенне;

$r_{\text{А}}$ — сопротивление антенны.

Средней мощностью $P_{\text{ср}}$ называется мощность передатчика за период следования T . При работе прямоугольными импульсами ее можно определить из соотношения (рис. 3, б)

$$P_{\text{и}} \tau = P_{\text{ср}} T \text{ или } P_{\text{ср}} = \frac{\tau}{T} P_{\text{и}} = \frac{P_{\text{и}}}{\frac{T}{\tau}},$$

где $\frac{T}{\tau}$ — параметр, называемый *скважностью*.

Средняя мощность во много раз меньше импульсной, так как скважность современных передатчиков велика (порядка 100—10 000). Средняя мощность передатчика определяет мощность источников питания, тепловой режим передатчика и его габариты. Чем выше скважность, тем меньше средняя мощность передатчика.

Модуляция в передатчиках РЛС производится видеоимпульсами, форма которых должна быть близка к прямоугольной. Хотя при такой форме частотный спектр оказывается наиболее широким, применение ее оправдывается значительным повышением точности определения координат объекта.

Реальный видеоимпульс, близкий по форме к прямоугольному, характеризуется, кроме высоты i_{max} и длительности τ , тремя важными параметрами: длительностью фронтов нарастания $t_{\text{н}}$, спада $t_{\text{с}}$ и крутизной фронта нарастания $S_{\text{н}} = \frac{i_{\text{max}}}{t_{\text{н}}}$ (рис. 3, в).

Временем нарастания импульса $t_{\text{н}}$ называют время, в течение которого ток (или напряжение) импульса увеличивается от 0,1 до 0,9 максимального значения. Это

время является важным параметром импульса и не должно превышать 10—15% его длительности:

$$t_n \approx (0,1 - 0,15) \tau.$$

Временем спада t_c называют время, в течение которого напряжение импульса уменьшается от 0,9 до 0,1 максимального значения.

Радиолокационный передатчик (рис. 4) состоит из генератора, импульсного модулятора, антенно-фидерного

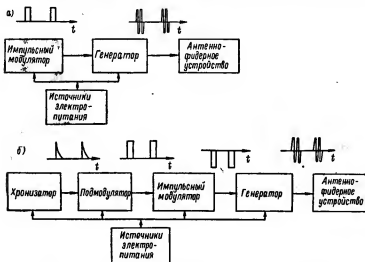


Рис. 4. Блок-схемы радиолокационных передатчиков и форма колебаний в антенне: а — без подмодулятора; б — с подмодулятором.

устройства и источников электрического питания. Генератор, включаемый периодически в момент передачи импульсов, должен обеспечить заданную мощность в антенне при высокой стабильности несущей частоты.

Отсутствие усилителей мощности, характерных для передатчиков длинных и коротких волн, связано с тем, что при работе в импульсном режиме можно получить значительную мощность непосредственно от генератора. Использование промежуточных усилителей усложнит схему и приведет к большим искажениям формы генерируемых импульсов.

Колебаниями передатчика управляет импульсный модулятор, вырабатывающий прямоугольные видеоимпульсы с постоянными параметрами.

В зависимости от того, как происходит формирование модулирующих импульсов, различают два основных варианта схем передатчиков.

В первом варианте (рис. 4, а) импульсы формируются в модуляторе. Такой метод прост, но он не может обеспечить высокую стабильность параметров модулирующих импульсов.

Во втором варианте (рис. 4, б) модулятор запускается прямоугольными импульсами, выработанными в подмодуляторе, который срабатывает под действием коротких импульсов с крутым фронтом нарастания, выдаваемых хронизатором. Указанный метод модуляции дает возможность получить наиболее высокую стабильность параметров модулирующих импульсов, однако в этом случае схема передатчика усложняется.

В генераторах метровых и дециметровых волн используются импульсные триоды, а в качестве колебательных систем — контуры обычного типа и отрезки двухпроводных или коаксиальных линий. В генераторах сантиметрового диапазона вместо колебательных цепей применяют объемные резонаторы. Генераторы с антенной соединяются волноводами.

§ 4. Особенности современных генераторных ламп

Электронные лампы, используемые в усилителях мощности и генераторах высокой частоты, называются генераторными. Они должны выдавать в нагрузку заданную полезную мощность при высоком к. п. д. Полезная мощность лампы зависит от анодного напряжения и тока, поэтому лампы, рассчитанные на большие мощности, должны работать при высоких анодных напряжениях (до 10—15 кВ) с большими токами эмиссии катода. Поскольку к. п. д. ламповых генераторов и усилителей составляет 50—70%, мощность рассеяния на аноде ламп оказывается близкой к полезной. Выполнение этих требований влечет за собой увеличение габаритов лампы, при этом катод лампы должен обеспечить нужную эмиссию, а анод — выдержать без значительного перегрева мощность, выделяемую на нем.

В генераторных лампах применяются вольфрамовые, оксидные и торированные карбидированные катоды.

Вольфрамовые катоды в настоящее время применяются только в наиболее мощных триодах, работающих при высоких анодных напряжениях (например, ГУ-11А, ГУ-16Б). Лампы с вольфрамовым катодом отличаются постоянством эмиссии, причем величина тока эмиссии I_e известна достаточно точно.

Недостатком вольфрамовых катодов является их низкая эффективность

$$\eta = \frac{I_e}{P_f},$$

где I_e — ток эмиссии;

P_f — мощность, потребляемая накалом.

Оксидные катоды применяются в лампах малой и средней мощности (например, в ГУ-50, ГУ-29, ГУ-32). Эти катоды не имеют явно выраженного насыщения; для них характерно весьма неопределенное значение тока эмиссии, величина которого в большой степени зависит не только от мощности накала, но и от потенциалов анода и сетки.

Большой недостаток оксидных катодов — возможность разрушения активного слоя вследствие бомбардировки положительными ионами и местный перегрев.

Наиболее перспективными и распространенными являются торированные карбидированные катоды. Они работают при меньших температурах и с большей эффективностью, чем вольфрамовые катоды. Лампы с торированными карбидированными катодами не имеют резко выраженного насыщения. Невысокая температура катода облегчает тепловой режим баллона лампы и позволяет уменьшить расстояние между катодом и управляющей сеткой без опасности перегрева последней. При этом может быть получена более высокая крутизна характеристики.

Недостатком этих катодов является их хрупкость, поэтому частые включения и выключения накала вызывают трещины на поверхности катода.

Сетки генераторных ламп сильно нагреваются от анода и катода, а также при бомбардировке электронами, поэтому их изготавливают из тугоплавких материалов — молибдена, платинированного молибдена или вольфрама. Подогревание сеток, особенно управляющей, и появление

на их поверхности частиц оксидов вследствие распыления поверхности оксидного катода приводит к появлению термотока сетки, который (как и динатронный ток) во внешней цепи направлен обратно основному и может привести к значительному изменению режима работы лампы. Чтобы уменьшить термоток сетки, ее держатели изготавливают достаточно массивными из материалов с высокой теплопроводностью, обеспечивающих хороший отвод тепла от сетки.

Важное значение имеет чистота поверхности сетки, снижающая динатронный эффект. Для предотвращения окисления поверхности сетки ее провода защищены платиновым (лампы с торированными карбидированными катодами) или золотым покрытием (лампы с оксидными катодами). В этом случае активные частицы тория (или бария) уходят с поверхности внутрь металла сетки.

Аноды генераторных ламп в зависимости от допустимой мощности рассеяния могут иметь естественное, принудительное воздушное и водяное охлаждение.

В лампах с естественным охлаждением аноды изготавливают из никеля, молибдена, тантала или специального графита. Для повышения теплоотдачи поверхность анода чернится. Аноды ламп с мощностью рассеяния свыше 1—2 *квт* изготавливают из меди с водяным или принудительным воздушным охлаждением и тогда предельная мощность рассеяния может достигать до десятков киловатт.

Высокие анодные напряжения, при которых работают лампы, требуют удаления выводов анода, сетки и катода друг от друга. Монтаж электродов генераторных ламп выполняют жестким; приспособления, к которым крепят электроды, изготавливают из высококачественных высоковольтных диэлектриков на керамической основе.

В большинстве современных ламп цоколь отсутствует, и электроды выводятся через плоское стеклянное дно. Такая конструкция позволяет уменьшить емкости и индуктивности выводов, а также габариты лампы.

В современных радиопередающих устройствах применяют генераторные триоды, тетроды и пентоды.

Генераторные триоды используются в мощных усилителях передатчиков большой мощности, работающих на длинных, средних, метровых и дециметровых волнах. Эти лампы имеют густую сетку, так как при работе с высокими

анодными напряжениями для получения небольших напряжений смещения необходимо иметь высокие значения коэффициента усиления μ (или малые значения проницаемости $D = \frac{1}{\mu}$). Малую проницаемость ($D = 0,005—0,05$)

можно получить только при наличии густой сетки, ослабляющей влияние анодного напряжения на ток лампы.

Малый сдвиг характеристик в область отрицательных напряжений на сетке делает характеристики «правыми», причем работа происходит с большими сеточными токами при значительной затрате мощности. Поэтому для новых типов триодов имеет важное значение не только величина допустимой мощности рассеяния на аноде, но и допустимая мощность рассеяния на сетке.

Современные генераторные триоды отличаются повышенной эмиссией катода и крутизной характеристики, которая достигает в наиболее мощных лампах 50—60 *ма/в*. К особенностям характеристик современных генераторных триодов относятся веерообразность семейства анодно-сеточных и сеточно-сеточных характеристик с небольшим нижним нелинейным участком, и отсутствие протяженного начального участка малых сеточных токов, который наблюдается в старых типах.

Основными недостатками генераторных триодов являются большая проходная емкость C_{ag} (до 20—25 *пф*) и необходимость работы с большими сеточными токами. Наличие большой проходной емкости делает работу усилителя мощности неустойчивой и приводит к паразитным обратным связям между анодной и сеточной цепями лампы. Работа с большими сеточными токами требует большой мощности для возбуждения, вследствие чего чувствительность триодов и коэффициент усиления по мощности оказываются низкими.

Генераторные тетроды и особенно пентоды, широко используемые в радиопередающих устройствах с середины 30-х годов, по ряду параметров в значительной степени превосходят триоды. Так, генераторные тетроды имеют более «левые» характеристики анодного тока, меньшую мощность, потребляемую сеткой, и меньшую проходную емкость (0,05—0,25 *пф*).

Основной недостаток тетрода — наличие динаatronного эффекта анода при низких анодных напряжениях, что заставляет снижать напряжение экранной сетки до (0,2—

0,25) E_a , при этом снижается полезная мощность лампы. Недостатки генераторных тетродов устранены в наиболее современных типах ламп — лучевых тетродов и пентодах.

Генераторные пентоды обладают более «левыми» характеристиками, чем тетроды, и требуют меньшей мощности возбуждения в цепи сетки. Отсутствие динаatronного тока анода позволяет увеличить напряжение экранной сетки до (0,4—0,8) E_a , что увеличивает крутизну характеристики и полезную мощность. Защитная сетка генераторных пентодов имеет отдельный вывод и может быть использована для модуляции.

Общая проницаемость генераторных пентодов D составляет 0,001—0,005, крутизна S достигает 15—20 *ма/в*. Недостатком пентодов является большая входная емкость — 5—25 *пф*. Мощность генераторных пентодов не превышает 1—2 *квт*.

Анодно-сеточные характеристики современных генераторных пентодов и лучевых тетродов веерообразные (как и у триодов).

Важной особенностью современных генераторных ламп (в том числе и триодов с вольфрамовыми катодами) является то, что они, как правило, работают в режиме нитенового пространственного заряда, при этом высота импульсов суммарного тока лампы всегда значительно меньше тока эмиссии.

§ 5. Идеализация характеристик генераторных ламп

Для расчета режимов ламповых схем необходимо иметь статические характеристики ламп, отражающие зависимость токов лампы от напряжений на электродах при отсутствии нагрузки в анодной цепи (режим короткого замыкания).

Характеристики лампы легко определяются опытным путем, и их всегда можно найти в соответствующих справочниках, однако расчеты схем по реальным статическим характеристикам, хотя и обеспечивают большую точность, но отличаются сложностью и на практике применяются редко.

Более удобными и общими являются аналитические расчеты, при которых статические характеристики ламп выражаются аналитическими уравнениями. К сожалению,

точного аналитического выражения характеристик ламп до сих пор не получено ввиду сложности процессов, происходящих в лампе.

Для упрощения расчетов пользуются методами идеализации характеристик. Эти методы заключаются в подборе такого аналитического выражения характеристики, которое, отражая основные особенности реальных характеристик, позволяет в то же время сделать расчет достаточно простым, наглядным и точным.

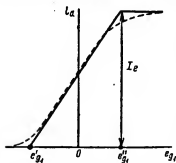


Рис. 5. Реальная и идеализированная характеристики анодного тока в системе i_a, e_{g1} .

В разное время были предложены различные способы идеализации ламповых характеристик, отличающиеся значительной сложностью. Наиболее удобная и простая идеализация была разработана акад. А. И. Бергом в тридцатых годах. При такой идеализации реальная характеристика лампы заменяется ломаной линией, состоящей из прямолинейных отрезков (кусочно-линейная идеализация).

На рис. 5 показана идеализированная характеристика триода, составленная из трех отрезков: $i_a = 0$ при $e_{g1} \leq e'_{g1}$; $i_a = S(e_{g1} + e'_{g1})$ при $e'_{g1} < e_{g1} < e''_{g1}$ и $i_a = I_e$ при $e_{g1} \leq e''_{g1}$ (на этом же рисунке пунктиром показана реальная характеристика).

Такой метод идеализации был обоснован тем, что реальные характеристики триодов с вольфрамовыми катодами (являвшихся основным типом генераторных ламп тридцатых годов) отличались от идеализованных только на участках запирания и насыщения. Реальные характеристики имели явно выраженный участок насыщения и при равных изменениях анодного напряжения смещались параллельно самим себе на равноотстоящие расстояния. При этом основные параметры лампы — крутизну S , коэффициент усиления μ и внутреннее сопротивление R_i — с достаточной степенью точности можно было считать постоянными величинами.

Применение кусочно-линейной идеализации при достаточно полном использовании лампы по току позволило создать простой и стройный инженерный расчет режимов ламповых генераторов и усилителей, который обладает достаточно высокой точностью (до 10—15 %).

Изменение и совершенствование конструкций генераторных ламп сделало непригодным применение указанной идеализации к веерообразным характеристикам современных типов ламп, не имеющих явно выраженного насыщения.

В этом случае следовало бы использовать идеализацию характеристик в виде расходящегося веера прямых с различными параметрами. Однако такая идеализация делает аналитический расчет режимов ламп весьма сложным и непригодным для практических целей.

Для расчета новых ламп все же наиболее целесообразно использовать классическую идеализацию акад. А. И. Берга, а для учета особенностей характеристик ламп ввести некоторые поправки в частные изменения, которые позволили бы использовать все основные выводы и расчеты теории кусочно-линейной идеализации [1], [15].

Анализ идеализированных характеристик генераторных ламп позволяет получить общие расчетные соотношения для различных режимов работы ламповых схем. Анализ упрощается при введении понятия управляющего напряжения лампы. Оно определяется как анодное напряжение эквивалентного диода, в котором проходит такой же суммарный ток, как и в реальной лампе, причем анод в эквивалентном диоде расположен на месте управляющей сетки триода. Таким образом, управляющее напряжение, приложенное к сетке лампы, создает такое же электрическое поле и такой же суммарный ток, как действующие совместно напряжения на сетках и аноде.

При определении управляющего напряжения потенциалы анода, экраниной и защитной сеток пересчитывают на управляющую сетку, уменьшая их значения в соответствии с проницаемостью D данного электрода, которая характеризует ослабление действия потенциала этого электрода по сравнению с потенциалом управляющей сетки на электронный поток в лампе. Таким образом,

результатирующее управляющее напряжение в общем случае будет

$$e_{g1y} = e_{g1} + D_2 e_{g2} + D_3 e_{g3} + D e_a, \quad (3)$$

где D, D_2, D_3 — проницаемости соответственно анода, экранной и защитной сеток;
 $e_{g1}, e_{g2}, e_{g3}, e_a$ — мгновенные значения напряжений на электродах.

Для триодов $e_{g2} = e_{g3} = 0$ и $e_{g1y} = e_{g1} + D e_a$, для тетродов и пентодов (при $e_{g3} = 0$)

$$e_{g1y} = e_{g1} + D_2 e_{g2} + D e_a.$$

Как известно из курса электронных приборов, в лампах существует суммарный или эмиссионный ток i_e и токи электродов: анода i_a , управляющей i_{g1} , экранной i_{g2} и защитной i_{g3} сеток. Все эти токи зависят от мгновенных напряжений на электродах и определяются статическими характеристиками ламп.

Не останавливаясь подробно на характере этих зависимостей, отметим две основные особенности работы ламп.

1. При отсутствии сеточных токов или их малой величине (не более 10—15% i_a) суммарный ток равен анодному $i_e \approx i_a$ и характеристики этих токов совпадают. Такой режим работы лампы называется *недонапряженным*. В этом режиме пренебрегают влиянием сеточных токов на работу анодной цепи (учитывая эти токи только при рассмотрении соответствующей сеточной цепи). Из-за малой проницаемости генераторных ламп, особенно тетродов и пентодов, анодное напряжение слабо влияет на анодный ток, зависящий от напряжения на сетках (главным образом управляющей).

2. При больших сеточных токах анодный ток определяется как разность между суммарным и сеточным токами $i_a = i_e - i_g$, где в общем случае $i_g = i_{g1} + i_{g2} + i_{g3}$. Такой режим называется *перенапряженным*. В этом режиме происходит перераспределение суммарного тока между анодом и сетками, причем степень перераспределения зависит не от сеточных, а от анодного напряжения.

Переход из одного режима работы в другой происходит сравнительно резко. Это позволяет выделить третий пограничный, или *критический*, режим, в котором сеточные токи еще малы, но их увеличение вызовет переход лампы в пере-

напряженный режим. Геометрическое место точек статических характеристик, соответствующих критическому режиму и разграничивающих области недонапряженного и перенапряженного режимов, образует так называемую линию критического режима.

В тетрадах и пентодах возможны режимы с большими токами экранной или управляющей сетки (ток защитной сетки либо равен нулю, либо весьма мал), поэтому различают степень напряженности режима по экранной или управляющей сетке. Как правило, тетроды и пентоды работают с малыми токами управляющей и защитной сеток, и напряженность режима обычно определяется по экранной сетке. При этом общий сеточный ток

$$i_g = i_{g1} + i_{g2} + i_{g3} \approx i_{g1}.$$

Используя рассмотренную выше идеализацию характеристик, можно получить уравнение основного участка идеализированной характеристики суммарного тока в зависимости от управляющего напряжения (как уравнение наклонной прямой)

$$i_e = \varphi(e_{g1y}) = S(e_{g1y} - E_{g10}), \quad (4)$$

где S — крутизна характеристики;

E_{g10} — управляющее напряжение приведения, при котором идеализированная характеристика суммарного тока пересекает ось абсцисс (рис. 6).

Выражение (4) справедливо в интервале $E_{g10} \leq e_{g1y} \leq E_{ey}$, где E_{ey} — результирующее напряжение насыщения.

Для удобства расчетов вводится анодное напряжение приведения, соответствующее анодному напряжению идеализированной характеристики, проходящей через начало координат (пунктирная прямая на рис. 6). Напряжения приведения связаны соотношением

$$E_{g10} = DE_{a*}. \quad (5)$$

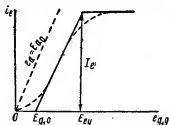


Рис. 6. Характеристика суммарного тока триода.

Подставив в (4) значение управляющего напряжения (3), получим обобщенные уравнения ламповых идеализированных характеристик:

$$i_e = S (e_{g1y} - E_{g10}) = S (e_{g1} + D_2 e_{g2} + D_3 e_{g3} + De_a - E_{g10}). \quad (6)$$

В большинстве схем усилителей и генераторов экранная и защитная сетки имеют нулевой высокочастотный потенциал, на них действуют только постоянные напряжения, поэтому $e_{g2} = E_{g2}$ и $e_{g3} = E_{g3}$. Тогда выражение (6) примет вид

$$i_e = S (e_{g1} + De_a + D_2 E_{g2} + D_3 E_{g3} - E_{g10})$$

или

$$i_e = S (e_{g1} + De_a - E'_{g10}), \quad (7)$$

где $E'_{g10} = E_{g10} - D_2 E_{g2} - D_3 E_{g3}$ — сеточное напряжение приведения.

Важным параметром, необходимым для расчета, является напряжение запирания идеализированной характеристики суммарного тока при рабочем напряжении на аноде $e_a = E_a$. Это напряжение E'_{g1} , называемое *геометрическим смещением*, можно определить из условия $i_e = 0$, откуда

$$e_{g1} = E'_{g1} = E_{g10} - DE_a.$$

Для триодов $E'_{g10} = E_{g10} = DE_{a0}$, поэтому

$$E'_{g1} = E_{g10} - DE_a = -D (E_a - E_{a0}).$$

Величина E'_{g1} в отличие от напряжения приведения зависит от анодного напряжения.

Для расчетов режимов генераторных ламп важное значение имеет крутизна линии критического режима. В семействе анодных характеристик линия критического режима совпадает с падающим участком характеристик анодного тока при малых анодных напряжениях (прямая 1 на рис. 7).

Крутизну линии критического режима можно определить из соотношения

$$i_{a.кр} = S_k e_a, \quad (8)$$

где $i_{a.кр}$ — анодный ток в критическом режиме;
 S_k — крутизна линии критического режима.

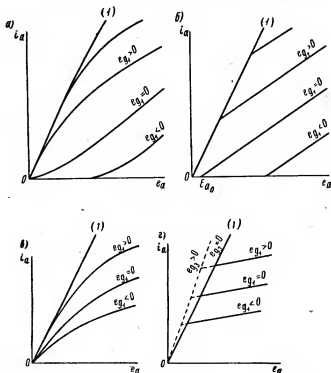


Рис. 7. Характеристики анодного тока генераторных ламп: а — реальные характеристики триода (i_a , e_a); б — идеализированные (i_a , e_a); в — реальные характеристики пентода (i_a , e_a) при $e_{g1} = 0$; г — идеализированные (i_a , e_a) при $e_{g1} > 0$.

Анодный ток в критическом режиме равен суммарному току при данном e_{g1} , так как точка перегиба является общей для линии критического режима и характеристики суммарного тока, т. е.

$$i_{a.кр} = i_s = S(e_{g1} + De_a - E'_{g1,0}). \quad (9)$$

Приравнивая правые части уравнений (8) и (9), получим

$$S_k = S \left(D - \frac{E'_{g1,0} - e_{g1}}{e_a} \right) = S(D - \mu_{g1}). \quad (10)$$

Крутизна S_k является постоянной величиной, следовательно, и величина μ_{g1} постоянна

$$\mu_{g1} = \frac{E'_{g1,0} - e_{g1}}{e_a}$$

или

$$e_{g1} = E'_{g1,0} - \mu_{g1}e_a. \quad (11)$$

Уравнение (11), выражающее условие критического режима, показывает, при каких соотношениях напряжений в лампе наступает критический режим.

Параметр μ_{g1} называется *коэффициентом напряженности режима*; для генераторных триодов он равен 0,5—1.

При $e_{g1} < E'_{g1,0} - \mu_{g1}e_a$ режим будет недонапряженным, при $e_{g1} > E'_{g1,0} - \mu_{g1}e_a$ — перенапряженным.

Если пренебречь значением $E'_{g1,0}$ (что в большинстве случаев допустимо, так как $E'_{g1,0}$ часто близко к нулю), то условия напряженности упростятся и примут вид для критического режима

$$e_{g1} \approx -\mu_{g1}e_a; \quad (12)$$

для недонапряженного режима

$$e_{g1} < -\mu_{g1}e_a; \quad (13)$$

для перенапряженного режима

$$e_{g1} > -\mu_{g1}e_a. \quad (14)$$

§ 6. Особенности работы полупроводниковых триодов в радиопередающих устройствах

Развитие современной техники привело к появлению новых типов полупроводниковых триодов, с успехом используемых в области высоких частот и усилителях мощности и генераторах маломощных радиопередатчиков.

Наиболее перспективным типом высокочастотных полупроводниковых триодов для радиопередающих устройств

являются плоскостные. Эти триоды обладают более высоким коэффициентом усиления по мощности, чем точечные.

Физические процессы, протекающие в полупроводниковых триодах, существенно отличаются от процессов в электронных лампах.

Особенности полупроводниковых триодов заключаются в следующем: 1) эти триоды являются токовыми приборами,

и для их нормальной работы всегда необходимы некоторый входной ток и входная мощность, в результате чего входная проводимость их оказывается значительно выше, чем у электронных ламп; 2) полупроводниковые триоды характеризуются сильной внутренней обратной связью входных и выходных цепей; 3) параметры полупроводниковых триодов уже на сравнительно низких частотах носят комплексный характер, в то время как у электронных

ламп комплексный характер параметров проявляется только в диапазоне сверхвысоких частот.

Работу полупроводниковых триодов в схемах высокочастотных усилителей и генераторов целесообразно сравнить с работой соответствующих схем на электронных лампах. Это позволит использовать для исследования полупроводниковых схем хорошо разработанные методы анализа ламповых схем.

Сравнивая полупроводниковые триоды и электронные лампы, можно считать, что катод лампы аналогичен эмиттеру триода, управляющая сетка — база, а коллектор — аноду.

Рассмотрим некоторые особенности работы полупроводниковых триодов в области низких и высоких частот (рис. 8).

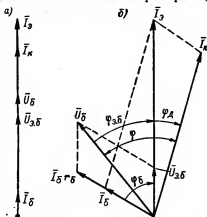


Рис. 8. Векторные диаграммы токов и напряжений полупроводникового триода: а — на низких частотах; б — на высоких частотах.

Известно, что при работе полупроводниковых триодов на низких частотах ток коллектора i_k образуется за счет диффузии носителей, инжектируемых эмиттером в базу; время диффузии в области низких частот значительно меньше периода колебаний, и в результате токи эмиттера и коллектора изменяются синфазно. Направление этих токов противоположно, так как первый втекает в базу, а второй вытекает из нее. Ток эмиттера совпадает по фазе с напряжением перехода эмиттер—база $\bar{U}_{э,б}$. Ток базы, представляющий собой геометрическую разность токов эмиттера и коллектора, образуется той частью носителей (дырок в триодах типа $p-n-p$), которые рекомбинируют внутри базы. Этот ток также совпадает по фазе с управляющим напряжением $\bar{U}_{э,б}$, носит активный характер и имеет то же направление, что и ток эмиттера, так как в плоском триоде коэффициент усиления по току меньше единицы и $i_b > i_k$.

Внешнее напряжение на зажимах эмиттер—база $\bar{U}_б$ совпадает по фазе с внутренним напряжением на переходе $\bar{U}_{э,б}$ и больше его на величину падения напряжения тока $\bar{I}_б$ на внутреннем сопротивлении базы r_b :

$$\bar{U}_{э,б} = \bar{U}_б - \bar{I}_б r_b \text{ или } u_{э,б} = u_б - I_б r_b.$$

При работе на высоких частотах время диффузии носителей через базу станет соизмеримым с периодом колебаний, ток коллектора будет отставать по фазе от тока эмиттера и угол сдвига фаз φ_d увеличится с частотой. Поэтому ток базы также будет сдвинут по фазе относительно тока эмиттера на угол φ_b в сторону опережения, что указывает на появление емкостной составляющей тока базы.

Возрастание тока базы приводит к значительному увеличению падения напряжения на внутреннем сопротивлении базы r_b , причем напряжения $\bar{U}_{э,б}$ и $\bar{U}_б$ будут отличаться друг от друга не только по величине, но и по фазе.

В результате снижения $\bar{U}_{э,б}$ с увеличением частоты будет уменьшаться ток коллектора.

Кроме напряжения $\bar{U}_{э,б}$, на распределение токов триода оказывает влияние также и коллекторное напряжение \bar{U}_k . Величина \bar{U}_k влияет на толщину запирающего слоя

на переходе база—коллектор: при изменении \bar{U}_k изменяется толщина этого слоя, количество носителей в базе и ее распределенное сопротивление. Кроме того, с повышением частоты начинает сказываться влияние емкости коллектор—база, увеличивающей внутреннюю обратную связь. Эти процессы приведут к изменению и тока коллектора.

Статические характеристики полупроводниковых триодов. Для наиболее распространенной схемы с общим эмиттером (рис. 9) основными характеристиками являются зависимости тока базы i_b и коллектора i_k от напряжений на участках база—эмиттер u_b и коллектор—эмиттер u_k .

Входные характеристики $i_b = \varphi(u_b)$ при $E_k = \text{const}$ (рис. 10, а) аналогичны характеристикам сеточного тока электронной лампы в координатах i_{g1} , e_{g1} и имеют две основные области — малых и больших базовых токов.

В области малых базовых токов входные характеристики достаточно линейны и почти не зависят от напряжения на коллекторе.

В области больших базовых токов характеристики делаются нелинейными, близкими по форме к параболе. На этом участке крутизна характеристик в сильной степени зависит от напряжения базы:

$$S_b = \frac{\Delta i_b}{\Delta u_b} = \varphi(u_b) \text{ при } E_k = \text{const}.$$

При расчетах входную характеристику целесообразно идеализировать и представлять в виде квадратичной параболы, начинающейся при напряжении сдвига E_{b1} , при котором идеализированная характеристика (рис. 11, а) пересекает ось напряжения.

Крутизна входной характеристики определяет входную проводимость триода, которая резко увеличивается с ростом тока базы.

Проходные характеристики коллекторного тока $i_k = \varphi_1(u_b)$ при $E_k = \text{const}$ (рис. 10, б) аналогичны анодно-сеточным характеристикам лампы, но в отличие от по-

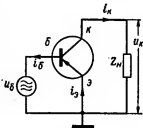


Рис. 9. Схема включения полупроводникового триода с общим эмиттером.

следних они существуют только при отрицательном напряжении базы (для $p-n-p$ -триодов).

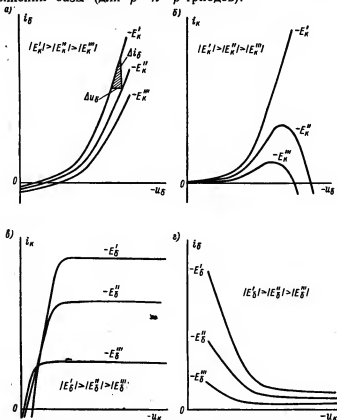


Рис. 10. Статические характеристики полупроводниковых плоскостных триодов: a — входные; $б$ — проходные; $в$ — выходные; $г$ — обратной связи.

При малых базовых токах характеристики нелинейны и могут быть идеализированы многочленом второй степени

$$i_{\kappa} = a_0 + a_1 u_{\delta} + a_2 u_{\delta}^2,$$

где a_0 , a_1 и a_2 — постоянные коэффициенты, зависящие от формы характеристики и определяемые графическим путем по средним крутизнам отдельных участков характеристики.

Напряжение коллектора в этой области слабо влияет на ход характеристики и величину его тока i_k .

В области больших базовых токов характеристики i_k более линейны и могут быть идеализированы семейством прямых, выходящих из точки, определяемой напряжением сдвига $E'_{\delta 0}$, аналогичным напряжению геометрического смещения лампы E'_{g1} .

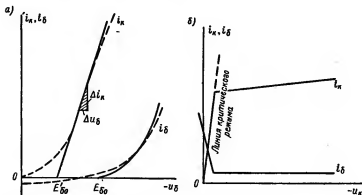


Рис. 11. Идеализированные характеристики полупроводникового триода: а — входные и проходные; б — выходные и обратной связи.

— — — реальная; — идеализированная.

Крутизну характеристики коллекторного тока в этой области работы можно полагать постоянной:

$$S_{кл} = \frac{\Delta i_k}{\Delta u_{\delta}} \text{ при } E_k = \text{const.}$$

Величина этой крутизны оказывается весьма высокой (десятки и сотни миллиампер на вольт), значительно большей, чем у электронных ламп.

На ход проходных характеристик сильно влияет величина напряжения на коллекторе. Как известно, для нормальной работы $p-n-p$ -триода на коллектор должно быть подано отрицательное относительно базы напряжение, при этом в цепи коллектора будет проходить ток i_k нормального направления (рис. 9).

При больших отрицательных напряжениях коллектора (что эквивалентно высокому анодному напряжению лампы),

когда $|E_k| \gg |u_0|$, характеристики не имеют падающего участка (как и характеристики электронных ламп при высоких анодных напряжениях).

При малых отрицательных E_k (порядка десятых вольт для большинства типов полупроводниковых триодов) у характеристик наблюдается падающий участок, причем максимальная величина тока, после которой появляется спад, будет тем меньше, чем ниже напряжение коллектора, а сам спад начинается при меньшем отрицательном напряжении базы (рис. 10, б).

В отличие от электронных ламп (у которых анодный ток падает до нуля при увеличении напряжения на сетке) у полупроводниковых триодов увеличение отрицательного напряжения базы в области падающего участка i_k приводит к изменению направления тока. Это явление объясняется тем, что с момента, когда потенциал коллектора делается положительным по отношению к базе (при $E_k = 0$), сопротивление перехода база—коллектор резко падает и в цепи коллектора появляется прямой ток этого перехода, обратный по направлению нормальному коллекторному току триода.

Выходные характеристики $i_k = \varphi_2(u_k)$ при $E_0 = \text{const}$ (рис. 10, в) подобны по форме анодным характеристикам пентода. Линия резкого спада тока коллектора при малых отрицательных напряжениях базы (в области ее больших токов) подобна линии критического режима у характеристик электронных ламп.

Особенность характеристик в этой области заключается в изменении направления тока коллектора при малых u_k по указанным выше причинам.

Параметр $R_{i_k, \epsilon} = \frac{\Delta u_k}{\Delta i_k}$ при $E_0 = \text{const}$ подобен внутреннему сопротивлению электронной лампы.

В области больших базовых токов при малых u_k это сопротивление резко падает, а в области малых базовых токов оно весьма велико и почти не зависит от u_k и E_0 .

Если ввести параметр

$$D_{k, \epsilon} = \frac{\Delta u_0}{\Delta u_k} \text{ при } i_k = \text{const},$$

аналогичный проницаемости лампы, то и для полупроводникового триода окажется справедливым известное

уравнение параметров электронных ламп, связывающее крутизну, внутреннее сопротивление и проицаемость:

$$S_{к.л} R_{I_{к.л}} D_{к.л} = 1.$$

Проицаемость полупроводниковых триодов обычно невелика ($D_{к.л} \ll 1$), что указывает на слабое влияние напряжения коллектора на его ток по сравнению с влиянием напряжения базы.

Характеристики обратной связи $i_b = \varphi_3(u_k)$ при $E_b = \text{const}$ (рис. 10, з) аналогичны характеристикам сеточного тока лампы в координатах i_{g1} , e_a . При малых отрицательных напряжениях коллектора ток базы резко возрастает и ход характеристики в этой области сильно зависит от напряжения базы. При больших u_k базовые токи малы, характеристики параллельны оси абсцисс и почти не зависят от напряжения коллектора.

На рис. 11, б представлены идеализированные статические характеристики — обратной связи и выходные — и показана линия критического режима, совпадающая с падающим участком характеристик коллекторного тока в области малых u_k .

Важным отличием полупроводниковых триодов от электронных ламп является то, что начальная рабочая точка характеристик триодов зависит не только от постоянных напряжений E_b и E_k , но и от токов i_b и i_k , т. е. в сильной степени зависит от режима работы триода, в то время как у электронных ламп положение рабочей точки однозначно определяется напряжениями анода и сетки.

Другим важным отличием полупроводниковых триодов от электронных ламп является сильная зависимость их токов от температуры полупроводниковых переходов, а следовательно, и от температуры внешней среды.

Особенно важное влияние на работу триода оказывает стабильность тока и напряжения коллекторной цепи (как выходной в схеме с общим эмиттером). При повышении температуры ток коллектора резко увеличивается, что приводит к значительным изменениям параметров триода. Исследования показывают, что при постоянстве тока и напряжения коллектора изменение температуры на десятки градусов вызывает вполне допустимое изменение параметров — не более чем на 10—30%.

Глава II

УСИЛИТЕЛЬ МОЩНОСТИ ВЫСОКОЙ ЧАСТОТЫ

§ 7. Принцип действия и энергетические режимы работы усилителя мощности

Усилитель мощности высокой частоты (ламповый генератор с независимым возбуждением) является главным

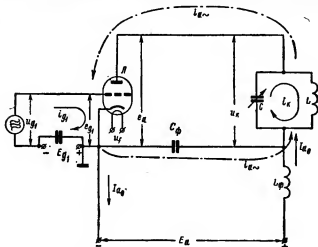


Рис. 12. Схема усилителя мощности на триоде.

элементом радиопередающего устройства. Такие усилители используются в качестве промежуточных и выходных усилителей передатчиков.

Нарис. 12 показана принципиальная электрическая схема усилителя на триоде, принцип действия которого основан на использовании усилительных свойств электронной лампы.

Цепь сетки усилителя. В цепь сетки усилителя входят элементы связи с предыдущим усилителем или генератором и источник постоянного напряжения, которое подается на участок сетка—катод.

Напряжение E_{g_1} устанавливает начальную рабочую точку на характеристике лампы и тем самым определяет режим работы усилителя. Это напряжение называется *напряжением смещения*.

Кроме напряжения смещения, на сетку подается переменное высокочастотное напряжение u_{g_1} , называемое *напряжением возбуждения*. Для упрощения расчетов удобно принять, что оно меняется по закону коснуса

$$u_{g_1} = U_{m_{g_1}} \cos \omega t,$$

где u_{g_1} — мгновенное значение напряжения возбуждения;

$U_{m_{g_1}}$ — амплитуда напряжения возбуждения;

$\omega = 2\pi f$ — круговая частота.

Таким образом, на участке сетка—катод одновременно действуют напряжения смещения E_{g_1} и возбуждения u_{g_1} . Напряжение смещения, как правило, устанавливается отрицательным, так как большинство генераторных ламп имеет «левые» характеристики.

Резльтирующее мгновенное напряжение на участке сетка—катод

$$e_{g_1} = u_{g_1} + E_{g_1} = U_{m_{g_1}} \cos \omega t + E_{g_1}.$$

Графики (рис. 13) показывают, что при $U_{m_{g_1}} > |E_{g_1}|$ напряжение на сетке в некоторые моменты времени будет положительным (в цепи сетки пройдет сеточный ток i_{g_1}); при $U_{m_{g_1}} \leq |E_{g_1}|$ напряжение на сетке отрицательно и

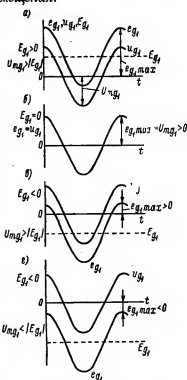


Рис. 13. Временные диаграммы цепи сетки усилителя при различных соотношениях E_{g_1} и $U_{m_{g_1}}$.

только в моменты $\omega t = 0, 2\pi, 4\pi, \dots$ может быть равно нулю (сеточные токи при этом отсутствуют).

Выбор рабочего участка характеристики лампы зависит от величины E_g (при данной амплитуде возбуждения). В общем случае, когда используются и нелинейные участки характеристики, форма анодного тока будет значительно отличаться от формы напряжения возбуждения. Такой периодический несинусоидальный ток можно представить в виде ряда

$$i_a = I_{a_0} + I_{a_1} \cos \omega t + I_{a_2} \cos 2\omega t + \dots + \\ + I_{a_n} \cos n \omega t,$$

где i_a — мгновенное значение анодного тока;
 I_{a_0} — постоянная составляющая анодного тока;
 I_{a_1} — амплитуда тока основной частоты (первой гармоники);
 I_{a_2} — амплитуда тока второй гармоники;
 I_{a_n} — амплитуда тока n -й гармоники.

Анодная цепь усилителя. В анодную цепь усилителя входят анодная нагрузка L , C , развязывающий фильтр L_ϕ , C_ϕ и источник постоянного анодного напряжения E_a (рис. 12).

Анодный ток проходит в анодной цепи усилителя, причем переменные составляющие тока i_a замыкаются через блокировочный конденсатор C_ϕ , не попадая в источники питания.

Так как анодный контур L , C настроен на основную частоту

$$f = \frac{\omega}{2\pi},$$

его эквивалентное сопротивление току данной частоты достаточно велико и определяется известным выражением

$$R_s = \frac{L}{Cr} = \varrho Q,$$

где ϱ — характеристическое сопротивление контура;
 Q — добротность;
 r — активное сопротивление контура.

Первая гармоника анодного тока создаст на контуре падение напряжения

$$u_k = i_a R_s = I_{a1} R_s \cos \omega t = U_{mk} \cos \omega t,$$

где u_k , U_{mk} — соответственно мгновенное и амплитудное значения колебательного напряжения на контуре.

Падением напряжения за счет постоянной составляющей анодного тока I_{a0} на активном сопротивлении катушки L , а также сопротивлением контура высшим гармоникам можно пренебречь. Ток первой гармоники выделяет в контуре колебательную мощность

$$P_{\sim} = \frac{I_{a1} U_{mk}}{2} = \frac{I_{a1}^2 R_s}{2} = \frac{U_{mk}^2}{2R_s}. \quad (15)$$

Эту мощность можно выразить через ток и параметры контура. Действительно, при резонансе ток в контуре в Q раз больше тока в цепи питания контура, поэтому $I_{a1} = \frac{I_{k1}}{Q}$ и

$$P_{\sim} = \frac{I_{a1}^2 R_s}{2} = \frac{I_{k1}^2 R_s}{2Q^2} = \frac{I_{k1}^2 r}{2},$$

где I_{k1} — амплитуда первой гармоники контурного тока;

$r = \frac{R_s}{Q^2}$ — активное сопротивление контура.

Если контур расстроен, колебательная мощность уменьшается: появляется сдвиг фаз между анодным током и напряжением на контуре из-за комплексного характера сопротивления нагрузки

$$P'_{\sim} = \frac{I_{a1} U_{mk}}{2} \cos \varphi_s < P_{\sim},$$

где φ_s — фазовый угол между напряжением на контуре и первой гармоникой анодного тока.

В процессе работы усилителя одновременно с изменениями напряжения на сетке и анодного тока происходит изменение анодного напряжения. Напряжение на аноде лампы e_a складывается из двух составляющих: постоянного напряжения питания E_a и колебательного напряжения на контуре u_k . Считая положительным направление анод-

ного тока во внешней цепи катод—нагрузка—анод и отсчитывая потенциалы относительно катода, получим, что полярность напряжения u_k будет противоположна полярности напряжения E_a , поэтому

$$e_a = E_a - u_k = E_a - I_a R_s \cos \omega t = E_a - U_{mk} \cos \omega t. \quad (16)$$

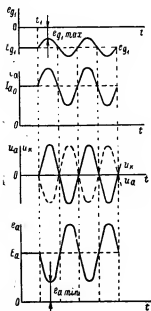


Рис. 14. Фазовые соотношения в усилителе мощности.

Уравнение (16) показывает, что переменная составляющая анодного напряжения — u_k равна по величине и противоположна по фазе колебательному напряжению на контуре u_k .

Если обозначить переменную составляющую анодного напряжения через u_a , то уравнение (16) можно представить в виде

$$\begin{aligned} e_a &= E_a - u_k = E_a + u_a = \\ &= E_a + U_{ma} \cos (\omega t + \pi), \end{aligned}$$

где

$u_a = -u_k$ — мгновенное значение переменной составляющей анодного напряжения, противоположное по фазе u_k ;

$U_{ma} = U_{mk}$ — амплитуда переменной составляющей анодного напряжения.

Переменная составляющая напряжения на аноде u_a равна по величине и противоположна по фазе колебательному напряжению на контуре u_k , следовательно, она противоположна по фазе первой гармонике анодного тока и напряжению возбуждения на сетке.

Такие фазовые соотношения характерны для любой усилительной ламповой схемы с анодной нагрузкой.

На рис. 14 показаны фазовые соотношения в ламповом усилителе. Напряжение возбуждения подано в момент времени t_1 .

Мощность и коэффициент полезного действия усилителя. Основная задача усилителя — получить заданную

полезную мощность в нагрузке при возможно большем к. п. д. Усиление обеспечивается за счет энергии источников электрического питания ламп усилителя.

Вся мощность P_{Σ} , подводимая к усилителю, складывается из мощностей анодного и накального питания лампы и мощности возбуждения, подводимой к цепи сетки:

$$P_{\Sigma} = P_0 + P_I + P_{\Sigma}$$

где $P_0 = I_a E_a$ — мощность, потребляемая анодной цепью лампы;

$P_I = I_I U_I$ — мощность, потребляемая накалом лампы;

P_{Σ} — мощность возбуждения, потребляемая цепью сетки.

Определяя электрический к. п. д. (по анодной цепи), характеризующий соотношение колебательной мощности P_{\sim} и мощности P_0 , потребляемой анодной цепью, не учитывают мощности цепи накала, а мощностью возбуждения пренебрегают, так как она мала по сравнению с P_0 . Полагая, что $P_{\Sigma} \approx I_a E_a$, получим электрический к. п. д. усилителя

$$\eta = \frac{P_{\sim}}{P_0} = \frac{I_{a1} U_{mk}}{2 I_{a0} E_a},$$

который зависит от соотношения составляющих анодного тока I_{a1} и I_{a0} и соотношения переменного и постоянного анодных напряжений U_{mk} и E_a .

Кроме полезной и подводимой мощностей, усилитель характеризуется мощностью потерь.

Основные потери энергии происходят в лампе; потерям в цепи сетки, подводящих проводах и контуре можно пренебречь, так как они составляют незначительную долю всех потерь. Потери в лампе в основном идут на нагревание анода

$$P_a = P_0 - P_{\sim} = P_0 \left(\frac{1}{\eta} - 1 \right), \quad (17)$$

где P_a — средние потери мощности на аноде.

Режимы работы усилителя мощности. Режим работы лампового усилителя (и генератора) определяется формой анодного тока и соотношением величин электронных токов управляющей сетки и анода.

Форма анодного тока зависит от формы характеристик лампы, величины напряжения ее питания, сеточного тока и др. Получить нужный режим усилителя можно изменением напряжения питания и в первую очередь изменением смещения на управляющей сетке.

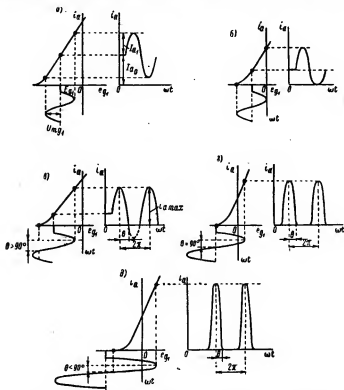


Рис. 15. Диаграммы режимов работы усилителя при различных углах отсечки θ : а — режим I рода (класс А); б — режим I рода (предельный случай); в — режим II рода (класс АВ); г — режим II рода (класс В); д — режим II рода (класс С).

Режимы I и II рода. В зависимости от величины смещения различают два основных режима работы: I рода (рис. 15, а, б) и II рода (рис. 15, в, г, д).

Режимом I рода называется такой режим, при котором форма анодного тока лампы примерно повторяет форму

напряжения возбуждения на сетке и ток проходит через лампу в течение всего периода напряжения возбуждения.

Для этого начальная рабочая точка устанавливается подбором напряжения смещения в средней части линейного участка характеристики лампы. Режим работы на прямолинейном участке ламповой характеристики называется классом А. Такой режим вследствие малых искажений усиливаемых сигналов (коэффициент нелинейности не более 1—1,5%) широко используется в усилителях напряжения высокой и низкой частоты в радиоприемных и измерительных устройствах.

В радиопередающих устройствах режим I рода используют реже, в основном в подмодуляторах. В усилителях мощности высокой частоты и генераторах этот режим не применяют из-за низкой отдачи мощности.

Предельный случай режима I рода, когда рабочая точка заходит в область верхнего и нижнего нелинейных участков характеристики и когда появляются сеточные токи, на практике почти не используется, так как, не приводя к заметному увеличению отдачи полезной мощности, значительно увеличивает нелинейные искажения. В предельном случае режима (рис. 15, б) выполняется условие $I_{a_0} \approx I_{a_1}$, тогда к. п. д. усилителя

$$\eta = \frac{P_{\sim}}{P_0} \approx \frac{1}{2} \frac{U_{mk}}{E_a} = \frac{1}{2} \xi.$$

Отношение напряжений U_{mk} и E_a является важным параметром режима работы лампы и называется *коэффициентом использования анодного напряжения* ξ .

В режиме I рода $\xi < 1$, поэтому к. п. д. не может достигнуть 50%. Такой низкий к. п. д. не позволяет использовать режим I рода в усилителях мощности высокой частоты.

Режимом II рода называется режим работы лампы, при котором анодный ток не повторяет формы напряжения возбуждения на сетке и некоторую часть периода лампа оказывается запертой.

Начальная рабочая точка подбором напряжения смещения устанавливается на нижнем нелинейном участке характеристики или левее начала характеристик. Важным параметром режима II рода является угол отсечки анодного тока θ .

Под углом отсечки анодного тока понимают половину фазового угла, соответствующего времени прохождения тока через лампу за период. Например, если время прохождения тока за период равно t_0 , то угол отсечки $\theta = \frac{\omega t_0}{2}$ (в режиме I рода $t_0 = T$ и $\theta = \frac{\omega T}{2} = 180^\circ$).

На рис. 15, в, г, д показаны диаграммы работы в режиме II рода при различных углах отсечки.

Режим работы при углах отсечки $90^\circ < \theta < 180^\circ$, называемый классом АВ (рис. 15, в), применяется в двухтактных усилителях мощности низкой частоты. Работа при угле отсечки $\theta = 90^\circ$ (рис. 15, г) называется классом В, а при угле $\theta < 90^\circ$ — классом С (рис. 15, д). Последние два класса являются основными режимами работы усилителей и генераторов радиопередатчиков. Их основное преимущество — возможность работы с высоким коэффициентом полезного действия (до 70—80%). Высокий к. п. д. в режиме II рода объясняется отсутствием или малой величиной начального анодного тока лампы при отсутствии возбуждения, что снижает потери энергии на нагревание анода (в режиме I рода начальный ток достигает значительной величины, что увеличивает потери на аноде и снижает к. п. д.).

Резкие искажения формы анодного тока в режиме II рода (ток носит импульсный характер), а следовательно, и появление гармоник не имеют первостепенного значения, так как наличие анодной нагрузки, обладающей фильтрующими свойствами, позволяет ослабить величину гармоник, снизив ее до допустимого значения.

Кроме указанной классификации, существует разделение режимов в зависимости от величины токов управляющей сетки. Различают буферный, недонапряженный, критический и перенапряженный режимы.

Буферный режим. В этом режиме лампа усилителя работает без токов управляющей сетки, поэтому мгновенное сеточное напряжение должно быть всегда отрицательным.

Это условие, очевидно, выполняется при соблюдении неравенства

$$e_{g_1 \max} = U_{mg_1} + E_{g_1} < 0 \text{ или } U_{mg_1} < |E_{g_1}|.$$

Буферный усилитель почти не потребляет мощности от своего возбудителя и оказывает весьма слабое влияние

на последний. По этой причине буферный режим, как правило, используется в первом усилителе, следующем за генератором.

Недонапряженный режим. Недонапряженный режим наблюдается при малых токах управляющей сетки, которые существенно не влияют на форму анодного тока. При этом в режиме I рода искажения формы анодного тока будут невелики и его форма будет близка к форме напряжения возбуждения (рис. 16, а), а в режиме II рода импульс анодного тока будет остроконечным косинусоидальным (рис. 16, б).

Недонапряженный режим не позволяет получить от усиления максимальную полезную мощность и высокий к. п. д., что ограничивает использование режима умножителями частоты и модулируемыми усилителями при некоторых видах модуляции (например, сеточной).

Перенапряженный режим. Перенапряженный режим характеризуется большими токами управляющей сетки, которые появляются при переходе рабочей точки характеристики лампы в область перераспределения токов, когда наблюдается спад анодного и возрастание сеточного токов.

В результате этого процесса при работе в режиме I рода будет искажаться положительная полуволна анодного тока, в вершине которой появится провал (рис. 16, в), и форма анодного тока не будет соответствовать форме напряжения возбуждения.

При работе в режиме II рода искажается остроконечная форма импульса, в вершине которого также появляется провал (или седловина), свидетельствующий о росте сеточного тока. При этом он имеет форму остроконечных импульсов (рис. 16, в, г).

Рассмотренный режим обычно называют *слабоперенапряженным*. При дальнейшем увеличении амплитуды напряжения возбуждения рабочая точка характеристики лампы может уйти в область, где анодный ток падает до нуля и в лампе остается только сеточный ток, при этом увеличивается провал анодного тока, импульс анодного тока раздваивается, а импульс сеточного тока резко возрастает (рис. 16, д). Такой режим работы называют *сильноперенапряженным*.

В дальнейшем будет рассматриваться только режим II рода, так как режим I рода по указанным выше соображениям в усилителях мощности не используется.

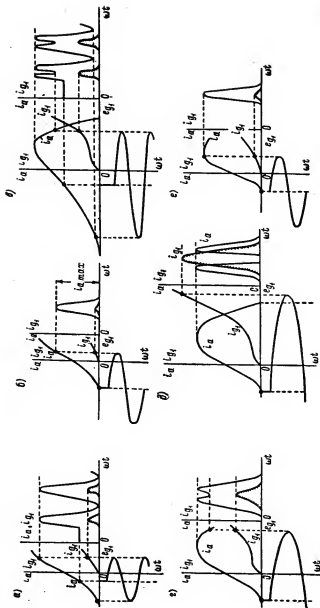


Рис. 16. Диаграммы режимов работы усилителя по напряженности: а — недонапряженный режим I рода; б — недонапряженный режим II рода; в — слабоперенапряженный режим I рода; г — слабоперенапряженный режим II рода; д — сильноперенапряженный режим II рода; е — критический режим.

Исследования показывают, что в слабоперенапряженном режиме наблюдается максимум к. п. д., хотя этот максимум и не критичен, т. е. выражен не резко. Полезная мощность, мощность потерь на аноде и подводимая мощность падают с увеличением напряженности режима, что объясняется уменьшением постоянной составляющей и первой гармоники анодного тока вследствие уменьшения продолжительности и высоты импульса, а также изменения его формы. Перенапряженный режим ставит лампу в более легкие условия работы, чем недонапряженный, но для цепи сетки он тяжелее. Для перенапряженного режима характерно большее постоянство выходной мощности и выходного напряжения при изменении сопротивления нагрузки.

Перенапряженный режим часто используется в усилителях для получения высокого к. п. д. и большей стабильности амплитуды колебательного напряжения в диапазоне частот. Кроме того, его используют при некоторых видах модуляции.

Недостаток перенапряженного режима — большие сеточные токи, а следовательно, и мощность возбуждения — не имеет существенного значения благодаря высокому коэффициенту усиления генераторных ламп по мощности.

Переход из недонапряженного в перенапряженный режим происходит через пограничный, или критический, режим (рис. 16, е). Этот режим характеризуется острокопичным или слегка уплощенным импульсом анодного тока, причем высота импульса достигает максимума. Сеточные токи еще малы, но при дальнейшем увеличении напряженности произойдет резкое перераспределение токов в лампе. Лампа выдает в нагрузку максимально возможную полезную мощность при к. п. д., близком к максимальному. По указанным причинам критический режим является основным для усилителей и генераторов.

Тот или иной режим можно получить подбором нагрузки усилителя, величин напряжений возбуждения и смещения. Расчеты показывают, что критический режим существует при наличии определенного соотношения между мгновенными напряжениями на сетке и аноде. Величина этого соотношения зависит также от конструкции и типа генераторной лампы.

Для характеристики напряженности режима введено понятие *коэффициента напряженности по управляющей*

сетке μ_{g_1} , величина которого зависит от конструкции лампы и ее параметров.

Приняв $e_{g_1} = e_{g_1 \max}$ и $e_a = e_{a \min}$ из уравнений (12), (13) и (14), можно получить следующие условия напряженности режима при действии в цепях лампы переменных напряжений:

для недонапряженного режима

$$e_{g_1 \max} < -\mu_{g_1} e_{a \min}, \quad (18)$$

для критического режима

$$e_{g_1 \max} \approx -\mu_{g_1} e_{a \min}, \quad (19)$$

для перенапряженного режима

$$e_{g_1 \max} > -\mu_{g_1} e_{a \min}. \quad (20)$$

Эти же условия можно выразить через соотношения коэффициента использования анодного напряжения ξ и через эквивалентное сопротивление нагрузки R_z . Так, если обозначить коэффициент использования анодного напряжения и эквивалентное сопротивление нагрузки, обеспечивающее критический режим, через $\xi_{кр}$ и $R_{z, кр}$, то в недонапряженном режиме $\xi < \xi_{кр}$ и $R_z < R_{z, кр}$, а в перенапряженном $\xi > \xi_{кр}$ и $R_z > R_{z, кр}$.

Тот или иной режим можно получить подбором величины эквивалентного сопротивления анодного контура.

Напряженность режима экранированных ламп в основном определяется по экранной сетке.

В этом случае пользуются коэффициентом напряженности данной сетки μ_{g_1} . Тогда условия напряженности примут следующий вид:

для недонапряженного режима

$$e_{g_1} < \mu_{g_1} e_{a, кр},$$

для критического режима

$$e_{g_1} \approx \mu_{g_1} e_{a, кр},$$

для перенапряженного режима

$$e_{g_1} > \mu_{g_1} e_{a, кр},$$

где $e_{a, кр}$ — анодное напряжение, соответствующее точке перелома идеализированной характеристики при данном напряжении на управляющей сетке ($e_{g_1} = E_{g_1}$).

Так как напряжение на экранной сетке берут постоянным, то можно принять $e_{g_1} = E_{g_1}$.

Коэффициент напряженности μ_{g_1} зависит от конструкции и типа лампы: для тетродов $\mu_{g_1} = 0,6-0,7$, для пентодов и лучевых тетродов $\mu_{g_1} = 2-5$ (увеличение μ_{g_1} у пентодов объясняется наличием защитной сетки).

§ 8. Динамические и нагрузочные характеристики лампового усилителя

Динамические характеристики. В динамическом режиме работы лампы, т. е. при наличии нагрузки в анодной цепи, мгновенные напряжения на сетке и аноде будут изменяться (в противофазе), при этом изменится и анодный ток. Одновременные изменения e_{g_1} и e_a , а также i_a приводят к изменению положения рабочей точки характеристики, определяющей токи и напряжения в лампе в данный момент времени.

Кривая, отражающая зависимость анодного тока от одного из напряжений, например анодного, при непрерывных изменениях другого напряжения (сеточного) будет представлять собой геометрическое место точек различных статических характеристик. Эта кривая называется *динамической характеристикой лампы*.

Динамическая характеристика строится на семействе статических характеристик. Уравнение динамической характеристики можно получить, если выразить одно мгновенное напряжение через другое. Это легко сделать, исключив $\cos \omega t$ из выражений $e_{g_1} = U_{mg_1} \cos \omega t + E_{g_1}$ и $e_a = E_a - U_{mk} \cos \omega t$. В результате получаем уравнение, связывающее мгновенные значения напряжений e_a и e_{g_1} :

$$\frac{e_{g_1} - E_{g_1}}{U_{mg_1}} = \frac{E_a - e_a}{U_{mk}}. \quad (21)$$

Подставив в уравнение суммарного тока, равного в недонапряженном режиме анодному (7), значения e_a или e_{g_1} из уравнения (21), найдем уравнение идеализированной динамической характеристики в различных системах координат

$$\left. \begin{aligned} i_a &= S_{dg_1} (e_{g_1} + \Gamma_1) \\ i_a &= S_{d.a} (e_a + \Gamma_2) \end{aligned} \right\} \quad (22)$$

где $S_{dg_1} = S \left(1 - D \frac{U_{mk}}{U_{mg_1}} \right) > 0$ — крутизна динамической характеристики в координатах i_a, e_{g_1} ;

$S_{d.a} = S \left(D - \frac{U_{mg_1}}{U_{mk}} \right) < 0$ — крутизна динамической характеристики в координатах i_a, e_a ;

Γ_1, Γ_2 — коэффициенты, зависящие от параметров лампы, питающих напряжений E_{g_1} и E_a и амплитуд переменных напряжений U_{mg_1} и U_{mk} .

Все выводы относятся к недонапряженному режиму, и граничной точкой, удовлетворяющей уравнению характеристики, будет точка, лежащая на линии критического режима.

Из уравнения (22) следует, что идеализированная сеточная динамическая характеристика в недонапряженном режиме представляет собой прямую линию с меньшей, чем у статической характеристики, крутизной. Это объясняется тем, что с увеличением напряжения на сетке анодное напряжение падает и рабочая точка переходит со статической характеристики с большим анодным напряжением на характеристику с меньшим напряжением. С увеличением нагрузки характеристика будет более пологой, так как U_{mk} увеличивается, а S_{dg_1} уменьшается.

Анодная динамическая характеристика также является прямой, исходящей из точки при $e_a = E_a$. Угловой коэффициент характеристики отрицателен, а по величине зависит от сопротивления нагрузки

$$\operatorname{tg} \alpha = -\frac{1}{R_s} \quad \text{или} \quad \operatorname{ctg} \beta = R_s.$$

В режиме короткого замыкания ($R_s = 0$) характеристика проходит вертикально. Наличие отрицательного углового коэффициента объясняется противофазностью i_a и e_a в динамическом режиме работы. В перенапряженном режиме форма динамических характеристик делается более сложной.

На рис. 17 представлены идеализированные динамические характеристики, построенные при различных на-

пряжениях на контуре $U_{тк}$, $U'_{тк}$, $U''_{тк}$ и $U'''_{тк}$, соответствующих четырем различным нагрузкам и коэффициентам использования.

Характеристика 1 соответствует недонапряженному режиму, и ее конечная точка a лежит на статической характеристике при $e_{g1} = e_{g1, \max}$; форма импульса будет остроконечной косинусоидальной. Характеристика 2 со-

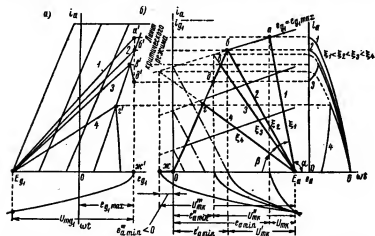


Рис. 17. Идеализированные динамические характеристики усилителя на триоде и импульсы анодного тока при активной нагрузке: a — сеточные характеристики; b — анодные характеристики и импульсы анодного тока.

ответствует критическому режиму, ее конечная точка b лежит на переломе статической характеристики, т. е. на линии критического режима; форма импульса тоже остроконечная. Характеристика 3 соответствует слабоперенапряженному режиму, в импульсе анодного тока появляется провал. Продолжением характеристики в области левее точки b , лежащей на линии критического режима, является участок этой линии между точками b и d . Характеристика 4 соответствует сильноперенапряженному режиму. Для нее $e_{a \min} < 0$ и $\xi > 1$, а продолжением динамической характеристики служит участок линии критического режима от точки g до нуля, затем участок оси абсцисс $Oж$. Импульс анодного тока раздваивается.

Таким образом, если в недонапряженном режиме идеализированная динамическая характеристика линейна, то в переапряженном режиме она будет иметь вид ломаной выпуклой линии.

Нагрузочные характеристики усилителя. Нагрузочные характеристики усилителя представляют собой зависимости его основных энергетических показателей (токов I_{a_0} , I_{a_1} , I_{k_1} напряжения U_{mk} , мощностей P_{\sim} , P_0 , P_a и к. п. д. η) от величины эквивалентного сопротивления анодной нагрузки R_z при постоянных значениях напряжений анодного питания E_a и амплитуды напряжения возбуждения U_{mg_1} .

Нагрузочные характеристики часто дополняются графиками зависимости от R_z токов сеток $I_{g,0}$ и I_{g_1} и коэффициента использования ξ .

На рис. 18 представлены типовые нагрузочные характеристики усилителя и указаны области различных режимов.

При изменении сопротивления нагрузки меняется напряженность режима усилителя. Так, при равенстве сопротивления нагрузки оптимальному значению ($R_z = R_{z,кр}$) наблюдается критический режим, обеспечивающий получение максимальной полезной мощности и максимального тока в контуре.

При уменьшении нагрузки, когда $R_z < R_{z,кр}$, режим делается недонапряженным и наблюдаются следующие явления:

1) увеличивается высота импульса анодного тока, а следовательно, и его составляющие I_{a_0} и I_{a_1} ; их увеличение при изменении эквивалентного сопротивления от $R_{z,кр}$ до нуля сравнительно невелико — не больше 15 — 20 % от значений критического режима;

2) резко снижаются амплитуды колебательного напряжения на контуре U_{mk} и контурного тока I_{k_1} , а также коэффициент использования ξ ;

3) резко снижается полезная колебательная мощность P_{\sim} и коэффициент полезного действия η , а мощность рассеяния на аноде $P_a = P_0 - P_{\sim}$, увеличиваясь, достигает максимальной величины $P_a = P_0$ при $R_z = 0$, которая обычно оказывается значительно больше допустимой мощности рассеяния.

Минимально допустимая величина эквивалентного сопротивления нагрузки $R_{z,min}$ в большинстве случаев

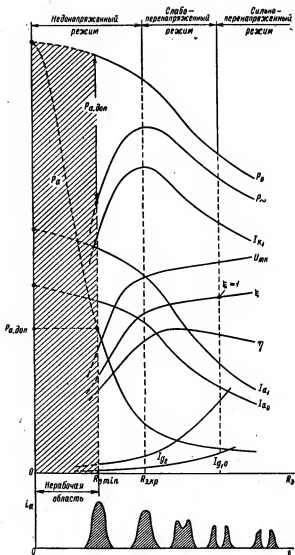


Рис. 18. Нагрузочные характеристики усилителя.

определяется допустимой величиной мощности рассеяния на аноде $P_{a, \text{доп}}$, как это видно из рис. 18, где показана нерабочая область характеристик, в которой $P_a > P_{a, \text{доп}}$.

Таким образом, принципиальными недостатками недонапряженного режима являются тяжелый тепловой режим анода лампы и большая чувствительность к изменениям нагрузки, амплитуды напряжения возбуждения, напряжений смещения и накала. В недонапряженном режиме наблюдаются резкие изменения полезной мощности, амплитуды колебательного напряжения, коэффициента использования анодного напряжения и снижение к. п. д.

При увеличении сопротивления нагрузки свыше оптимального значения, когда $R_a > R_{a, \text{кр}}$, режим делается перенапряженным. При этом наблюдаются следующие явления:

1) происходит деформация импульса анодного тока и уменьшение его высоты, что приводит к уменьшению составляющих тока I_{a_0} и I_{a_1} , причем I_{a_1} убывает с ростом нагрузки более резко, чем I_{a_0} , так как влияние деформации импульса сказывается на величине этой гармоники более сильно, чем на постоянной составляющей; одновременно с этим увеличивается ток экранной сетки и в меньшей степени ток управляющей (как указывалось выше, в лампах с экранной сеткой напряженность режима в основном определяется по экранной сетке);

2) амплитуда колебательного напряжения $U_{\text{тк}}$ и пропорциональный ей коэффициент использования анодного напряжения ξ с ростом напряженности увеличиваются незначительно, так как $U_{\text{тк}}$ равно произведению двух величин: R_a и I_{a_1} , изменяющихся в противоположных направлениях; контурный ток также уменьшается, но менее резко, чем в недонапряженном режиме;

3) снижаются полезная и подводимая мощность, первая в основном за счет снижения I_{a_1} , вторая в результате снижения I_{a_0} , причем спад полезной мощности будет более медленным вследствие некоторого роста $U_{\text{тк}}$.

На границе слабо- и сильноперенапряженного режима ($\xi = 1$) полезная мощность уменьшается примерно на 25—30% от ее максимального значения. Мощность рассеяния на аноде убывает монотонно.

К. п. д. при переходе в перенапряженный режим несколько увеличивается из-за увеличения коэффициента использования и достигает максимума в слабоперенапря-

женном режиме, близком к критическому. Затем происходит незначительный спад к. п. д. за счет более резкого спада P_{\sim} по сравнению со спадом P_0 .

Важными преимуществами перенапряженного режима являются его большая устойчивость к изменениям нагрузки, легкий тепловой режим анода, постоянство амплитуды колебательного напряжения и коэффициента использования анодного напряжения и высокий к. п. д.

К недостаткам режима следует отнести значительную мощность возбуждения и тяжелый тепловой режим управляющей сетки (в усилителях на триодах) или экранной сетки (в усилителях на пентодах и тетродах).

Нагрузочные характеристики можно получить опытным путем или вычислить аналитически. Точный аналитический расчет весьма сложен. Более простой и достаточно точный метод расчета нагрузочных характеристик был предложен Б. С. Агафоновым [1], который ввел эмпирические коэффициенты A и B , зависящие от отношения величины эквивалентного сопротивления нагрузки R_3 к оптимальному сопротивлению критического режима $R_{3, \text{кр}}$

$$A = \varphi(x) = \frac{I_{a_0}}{I_{a_0, \text{кр}}}; \quad B = \varphi_1(x) = \left(\frac{I_{a_1}}{I_{a_1, \text{кр}}} \right)^2 x,$$

где $x = \frac{R_3}{R_{3, \text{кр}}}$. Графики коэффициентов приведены на рис. 19.

Определив x для данного режима, находят токи и мощность:

$$\left. \begin{aligned} I_{a_0} &= A I_{a_0, \text{кр}}; & P_0 &= A P_{0, \text{кр}}; \\ I_{a_1} &= \sqrt{\frac{B}{x}} I_{a_1, \text{кр}}; & P_{\sim} &= B P_{\sim, \text{кр}}. \end{aligned} \right\} \quad (23)$$

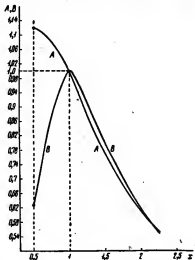


Рис. 19. Обобщенные нагрузочные характеристики.

§ 9. Разложение импульса анодного тока на составляющие

Анодный ток лампы можно представить в виде функции напряжений на аноде, управляющей сетке и времени:

$$i_a = \varphi(e_{g1}, e_a) = \varphi(U_{mg1} \cos \omega t + E_{g1}, E_a - U_{mk} \cos \omega t). \quad (24)$$

В режиме II рода ток носит импульсный характер и, зная форму импульса тока, можно определить его составляющие I_{a0} и I_{a1} , а тем самым и решить задачу расчета усилителя, которая заключается в определении всех электрических величин, характеризующих режим.

Как указывалось выше, форма анодного тока может в значительной степени отличаться от синусоидальной. Несинусоидальный (но периодический) ток является сложным, многоволюновым и состоит из большого числа гармоник. Такое понимание сложного тока позволяет произвести его графическое или аналитическое разложение с помощью тригонометрического ряда Фурье.

При графическом разложении по реальным характеристикам лампы и задаваемым мгновенным напряжениям e_{g1} и e_a графически определяют форму импульса анодного тока, а затем графическим интегрированием — величины I_{a0} и I_{a1} . Этот метод расчета дает высокую точность, но является трудоемким и применяется в тех случаях, когда речь идет об исследовании ламповых генераторов.

На практике применяется аналитический метод разложения в ряд Фурье, при котором пользуются идеализированными характеристиками лампы и по уравнениям характеристик определяют зависимость $i_a = \varphi(\omega t)$. Затем разлагают функцию в ряд Фурье и определяют I_{a0} и I_{a1} . При этом импульс анодного тока полагается остроугольным косинусоидальным.

Прежде чем перейти к выводам расчетных соотношений, произведем разложение остроугольного импульса тока в ряд Фурье. Импульс такой формы соответствует недонапряженному и критическому режимам.

Любую периодическую функцию, удовлетворяющую определенным условиям, можно представить бесконечным тригонометрическим рядом Фурье, состоящим из постоянной составляющей и гармонических синусоидальных и косинусоидальных составляющих основной и кратных частот (гармоник).

Для разложения в ряд Фурье функция должна удовлетворять следующим условиям: 1) быть периодической; 2) иметь конечное число максимумов и минимумов; 3) не обращаться в бесконечность при разрывах непрерывности; 4) быть интегрируемой

$$\varphi(\omega t) = A_0 + A_1 \cos \omega t + A_2 \cos 2\omega t + \dots + A_n \cos n\omega t + \\ + B_1 \sin \omega t + B_2 \sin 2\omega t + \dots + B_n \sin n\omega t,$$

где $A_0, A_1, A_2, \dots, A_n, B_1, B_2, \dots, B_n$ — коэффициенты ряда Фурье.

Разложение импульса анодного тока в ряд Фурье можно упростить, воспользовавшись тем свойством, что у четных функций, симметричных относительно оси ординат [$\varphi(\omega t) = \varphi(-\omega t)$], синусоидальный ряд пропадает, так как $B = 0$. Для этого начало координат следует переместить в середину импульса тока, тогда анодный ток будет существовать в течение периода только в интервалы $0-\theta$ и $(2\pi-\theta) - 2\pi$, а в течение интервала $\theta - (2\pi-\theta)$ ток будет равен нулю.

Для определения коэффициентов ряда Фурье, представляющих собой при разложении импульса тока постоянную составляющую тока I_{a_0} (A_0) и амплитуды гармоник I_{a_n} (A_n), необходимо составить уравнение импульса тока в функции времени [$i_a = \varphi(\omega t)$] и произвести интегрирование по формулам коэффициентов [3].

Расчеты дают следующее уравнение импульса анодного тока в интервалах его существования (см. § 10):

$$i_a = i_{a \max} \frac{\cos \omega t - \cos \theta}{1 - \cos \theta} \quad (25)$$

или при $\theta = 90^\circ$ и $\cos \theta = 0$

$$i_a = i_{a \max} \cos \omega t.$$

В результате интегрирования получают значения I_{a_0} и I_{a_n} в функции высоты импульса и угла отсечки.

При расчетах обычно оперируют *коэффициентами разложения импульса*, под которыми понимают отношение постоянной составляющей или амплитуд соответствующих гармоник к высоте импульса. Введение понятия коэффициентов разложения позволяет исключить из рассмотре-

ния высоту импульса и определить влияние угла отсечки анодного тока на гармоники.

Коэффициенты разложения определяются по формулам

$$\alpha_0 = \frac{I_{a0}}{I_{a \max}} = \frac{\sin \theta - \theta \cos \theta}{\pi (1 - \cos \theta)};$$

$$\alpha_1 = \frac{I_{a1}}{I_{a \max}} = \frac{2\theta - \sin 2\theta}{2\pi (1 - \cos \theta)}.$$

.....

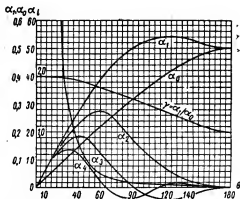


Рис. 20. Графики коэффициентов разложения косинусоидального импульса.

Важное значение имеет отношение

$$\gamma = \frac{\alpha_1}{\alpha_0} = \frac{I_{a1}}{I_{a0}} = \frac{2\theta - \sin 2\theta}{2(\sin \theta - \theta \cos \theta)}.$$

Графики коэффициентов разложения косинусоидального импульса представлены на рис. 20. Коэффициенты при заданной форме импульса зависят только от угла отсечки анодного тока, уменьшаясь с увеличением номера гармоники, и имеют один или несколько максимумов при различных углах отсечки, например α_0 при $\theta = 180^\circ$; α_1 при $\theta = 120^\circ$; α_2 при $\theta = 60^\circ$; α_3 при $\theta = 40^\circ$; α_n при $\theta = \frac{120^\circ}{n}$. Изменение знака α_3, α_4 и т. д. указывает на изменение фазы гармоники.

§ 10. Основные расчетные соотношения в различных режимах работы усилителя мощности

Недонапряженный режим. Уравнение анодного тока (25) является аналитическим выражением остроконечного импульса анодного тока и оказывается справедливым для тока, меняющегося в интервале

$$0 \leq i_a \leq i_{a \max}.$$

Из этого уравнения можно получить важные расчетные формулы напряжений смещения и возбуждения для недонапряженного и критического режимов. Действительно, подставляя в выражение (7) значения e_a и e_{g_1} в динамическом режиме, получим уравнение импульса тока в развернутом виде

$$i_a = S [E_{g_1} + DE_a - E'_{g_1,0} + (U_{mg_1} - DU_{mk}) \cos \omega t]. \quad (26)$$

Используя граничные условия, когда ток $i_a = 0$ и $i_a = i_{a \max}$, получим расчетные формулы для напряжений смещения и возбуждения.

Действительно, при $\omega t = \theta \cos \omega t = \cos \theta$ и $i_a = 0$, т. е.

$$E_{g_1} + DE_a - E'_{g_1,0} + (U_{mg_1} - DU_{mk}) \cos \theta = 0,$$

откуда

$$E_{g_1} = E'_{g_1,0} - DE_a - (U_{mg_1} - DU_{mk}) \cos \theta. \quad (27)$$

Вычитая из уравнения (26) уравнение (27), получим уравнение импульса тока в более простом виде

$$i_a = S (U_{mg_1} - DU_{mk}) (\cos \omega t - \cos \theta).$$

При $\omega t = 0 \cos \omega t = 1$ и ток становится максимальным, равным высоте импульса $i_{a \max}$

$$i_a = i_{a \max} = S (U_{mg_1} - DU_{mk}) (1 - \cos \theta). \quad (28)$$

Разделив два последних выражения, получим приведенное ранее уравнение импульса анодного тока (25).

Из уравнения (28) определяется расчетная формула для амплитуды напряжения возбуждения

$$U_{mg_1} = \frac{i_{a \max}}{S(1 - \cos \theta)} + DU_{mk}. \quad (29)$$

Высота импульса $i_{a \max}$ в лампах, имеющих явно выраженное насыщение, ограничивается током насыщения

$$i_{a \max} = \beta I_e,$$

где β — коэффициент использования анодного тока, который показывает, насколько полно используется лампа по току, т. е. как близка высота импульса к току насыщения.

Критический режим. Обозначая все величины, относящиеся к критическому режиму, индексом «кр», определим $\xi_{кр}$, $i_{a \max кр}$ и другие величины и установим их взаимные зависимости. Наиболее простое и достаточно точное выражение для расчетной формулы критического коэффициента использования, справедливое для триодов, пентодов и лучевых триодов, можно вывести из уравнения анодного тока (9), подставив в него значения максимального напряжения на сетке ($e_{g_1} = e_{g_1 \max}$) и минимального на аноде ($e_a = e_{a \min}$) при выполнении условия критического режима [уравнение (11)]:

$$i_{a \max кр} = S(e_{g_1 \max} - E'_{g_1 0} + D e_{a \min});$$

$$e_{a \min} = E_a - U_{mk} = E_a(1 - \xi);$$

$$e_{g_1 \max} = E'_{g_1 0} - \mu_{g_1} e_{a \min}.$$

Используя эти уравнения и приняв $\xi = \xi_{кр}$, получим

$$i_{a \max кр} = S(D - \mu_{g_1}) e_{a \min} = S(D - \mu_{g_1})(1 - \xi_{кр}) E_a,$$

откуда следует, что

$$\xi_{кр} = 1 - \frac{i_{a \max кр}}{S(D - \mu_{g_1}) E_a}.$$

Так как величина $S(D - \mu_{g_1}) = S_k$ [см. уравнение (10)], то окончательно

$$\xi_{кр} = 1 - \frac{i_{a \max кр}}{S_k E_a}. \quad (30)$$

У тетродов из-за динаatronного эффекта остаточное напряжение на аноде будет больше, а $\xi_{кр}$ меньше

$$\xi_{кр} = 1 - \frac{i_{a \max кр}}{S_k E_a} - \mu_d \frac{E_{g_2}}{E_a},$$

где μ_d — коэффициент динаatronного эффекта.

Из уравнения (30) следует, что $\xi_{кр}$ увеличивается с увеличением крутизны линии критического режима, анодного напряжения и с уменьшением высоты импульса. Кроме того, у тетродов и пентодов $\xi_{кр}$ зависит от напряжения экранной сетки, а у пентодов также и от напряжения защитной сетки. Это объясняется зависимостью расположения линии критического режима данных ламп от напряжений E_{g1} и E_{g2} . При $E_{g1} > 0$ крутизна линии критического режима будет больше, $e_{a \min}$ — меньше и коэффициент использования увеличится.

Для повышения к. п. д. усилителя желательно работать с большими величинами $\xi_{кр}$. На практике для триодов и пентодов $\xi_{кр} = 0,85—0,95$, для тетродов $\xi_{кр} = 0,7—0,75$.

Угол отсечки в сильной степени влияет на режим работы усилителя и определяет величины α_0 , α_1 и γ , а следовательно, P_{\sim} и η . Если, например, $\theta = 90^\circ$, то $\gamma = 1,57$, т. е. к. п. д. η увеличивается по сравнению с режимом I рода ($\gamma = 1$) в 1,57 раза при одной и той же полезной мощности. При таком угле отсечки $\alpha_0 \approx 0,3$ и $\alpha_1 \approx 0,5$.

Отклонение θ от 90° приводит либо к уменьшению P_{\sim} , либо к уменьшению к. п. д. η . Более подробные исследования показывают, что, сохраняя постоянной P_{\sim} , можно несколько уменьшить θ и тем самым повысить γ и к. п. д. η .

Вводя в формулы полезной мощности и к. п. д. коэффициенты разложения α_0 и α_1 и коэффициенты использования лампы по току и напряжению, получим

$$P_{\sim} = \frac{1}{2} I_{a1} U_{mk} = \frac{1}{2} \alpha_1 i_{a \max} \xi E_a = \frac{1}{2} \alpha_1 \beta \xi I_e E_a,$$

$$\eta = \frac{P_{\sim}}{P_0} = \frac{I_{a1} \xi E_a}{2 I_{a0} E_a} = \frac{1}{2} \frac{\alpha_1}{\alpha_0} \xi = \frac{1}{2} \gamma \xi. \quad (31)$$

Произведение $\frac{1}{2} \alpha_1 \beta \xi$ называется *полным коэффициентом использования лампы* и зависит от выбранного режима работы и типа лампы. Для генераторных триодов и пентодов при полном использовании лампы по току эмиссии в критическом режиме полный коэффициент использования лампы составляет 0,19—0,21, для тетродов — 0,17—0,18.

К. п. д. будет зависеть от формы анодного тока (соотношения γ), угла отсечки и коэффициента использования анодного напряжения.

Так как γ увеличивается с уменьшением θ , то время прохождения тока через лампу, а следовательно, и потери мощности на аноде лампы будут уменьшаться.

Наибольшее значение имеют не мгновенные, а средние потери на аноде за период высокой частоты, которые и должны учитываться при расчете конструкции анода лампы. Мгновенные потери p_a меняются в течение периода и в некоторые моменты могут быть значительно больше средних.

Момент максимума потерь опережает момент отсечки тока. С уменьшением угла отсечки максимальная и средняя мощность потерь уменьшаются.

Средние потери на аноде определяются по формуле (17). В режиме II рода потери на аноде лампы достигают максимума при наличии возбуждения на сетке, так как при его отсутствии постоянная составляющая I_a , незначительна или равна нулю. Этим режим II рода резко отличается от режима I рода, в котором потери максимальны в момент покоя, когда отсутствует возбуждение.

При снятии же напряжения возбуждения постоянная составляющая анодного тока I_a , в режиме I рода почти не изменяется, а мощность потерь на аноде резко увеличивается ($P_a = P_0$). В режиме II рода при отсутствии возбуждения анодный ток резко снижается (до нуля в классе С и до небольшой величины в классах В и АВ) и потери на аноде будут малы.

По указанным признакам можно практически распознавать режимы и классы работы. Дополнительным признаком режима II рода является большая величина амплитуды напряжения возбуждения, в отличие от режима I рода, где U_{mg} , значительно меньше.

§ 11. Цепи управляющей и экранированной сетки усилителя мощности

Цепь управляющей сетки. Точный расчет цепи сетки труден, особенно в недонапряженном и критическом режимах. Трудности вызваны сложностью и неустойчивостью характеристик сеточного тока, а также их конфигурацией, зависящей от величины переменной составляющей анодного напряжения, сопротивления автоматического сеточного смещения и динаatronного эффекта сетки.

Только в перенапряженном режиме, когда резко возрастают сеточные токи, характеристики их будут достаточно закономерными.

Потери в цепи сетки в недонапряженном и критическом режимах малы по сравнению с мощностями в анодной цепи, тем не менее их необходимо учитывать, так как наличие сеточных токов вызывает нелинейные искажения напряжения возбуждения и, следовательно, рост гармоник в анодной цепи. Искажения вызваны тем, что участок сетка — катод лампы является нелинейным сопротивлением, величина которого r_{g1k} в моменты положительных напряжений на сетке уменьшается до сотен и даже десятков омов. Напряжение на данном участке падает, и синусоидальное напряжение возбуждения оказывается искаженным. На рис. 21 показано изменение формы u_{g1} из-за наличия сеточных токов. Кроме того, наличие сеточных токов приводит к дополнительной нагрузке контура возбуждателя (предыдущего усилителя или генератора) мощностью, расходуемой в цепи сетки, что влияет на его режим. Если возбудителем является генератор, то такая нагрузка приводит к ухудшению стабильности частоты.

Чтобы рассчитать цепь сетки, необходимо знать форму импульса сеточного тока. При ориентировочных расчетах принимают линейную идеализацию динамической характеристики и косинусоидальную форму импульса тока и определяют угол отсечки из условия

$$e_{g1}|_{\omega t = \theta_{g1}} = U_{mg1} \cos \theta_{g1} + E_{g1} = 0,$$

откуда

$$\cos \theta_{g1} = - \frac{E_{g1}}{U_{mg1}} \quad (32)$$

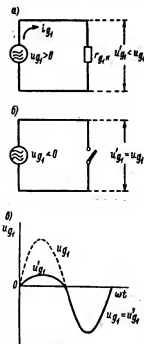


Рис. 21. Эквивалентные схемы цепи сетки: а — при $u_{g1} > 0$; б — при $u_{g1} < 0$; в — графики напряжения возбуждения.

Затем, определив высоту импульса по характеристике при максимальном напряжении на сетке и минимальном на аноде, вычисляют составляющие сеточного тока по формулам

$$I_{g1,0} = \alpha_{0g1} i_{g1, \max}, \quad I_{g1,1} = \alpha_{1g1} i_{g1, \max} \quad (33)$$

и мощность возбуждения в цепи сетки

$$P_v = \frac{1}{2} U_{mg1} I_{g1,1}.$$

Эта мощность расходуется на нагревание проводов сетки P_{g1} (мощность рассеяния), а часть ее теряется в источнике напряжения смещения $P_{g1, \text{см}}$:

$$P_v = P_{g1} + P_{g1, \text{см}}. \quad (34)$$

Мощность возбуждения в источнике смещения затрачивается только в том случае, когда смещение отрицательно ($E_{g1} < 0$); при этом $P_{g1, \text{см}} = |E_{g1}| I_{g1,0}$ и мощность рассеяния

$$P_{g1} = P_v - P_{g1, \text{см}} = \frac{1}{2} U_{mg1} I_{g1,1} - |E_{g1}| I_{g1,0}. \quad (35)$$

Если смещение положительно ($E_{g1} > 0$), то источник смещения расходует свою энергию на нагревание сетки. В этом случае мощность рассеяния будет больше:

$$P_{g1} = P_v + P_{g1, \text{см}} = \frac{1}{2} U_{mg1} I_{g1,1} + E_{g1} I_{g1,0}, \quad (36)$$

где $P_{g1, \text{см}} = E_{g1} I_{g1,0}$.

Из уравнений (35) или (36) определяется мощность рассеяния на сетке, которая должна быть меньше допустимой:

$$P_{g1} \leq P_{g1, \text{доп}}.$$

В триодах, работающих на коротких волнах, наблюдается дополнительный нагрев сетки вследствие прямого прохождения части анодного тока в цепь сетки через проходную емкость C_{ag1} . В этом случае необходимо иметь некоторый запас мощности рассеяния сеткой и работать при

$$P_{g1} \leq (0,75 - 0,8) P_{g1, \text{доп}}.$$

Более простым способом приближенного расчета цепи сетки является метод непосредственного определения

составляющих сеточного тока по анодному. В этом случае используют следующие проверенные практикой соотношения: для триодов

$$\left. \begin{aligned} I_{g_1 0} &\approx (0,05 - 0,15) I_{a_1}; \\ I_{g_1 0} &\approx (0,02 - 0,1) I_{a_0}. \end{aligned} \right\} \quad (37)$$

для тетродов и пентодов

Полагая угол отсечки достаточно малым ($\theta_{g_1} < 30 - 40^\circ$), принимают $\gamma = \frac{\alpha_{1g_1}}{\alpha_{0g_1}} \approx 2$ и находят составляющую тока

$$I_{g_1 1} = \gamma I_{g_1 0} \approx 2 I_{g_1 0},$$

тогда

$$P_a = \frac{1}{2} U_{mg_1} I_{g_1 1} \approx U_{mg_1} I_{g_1 0}.$$

Форма реального импульса сеточного тока в значительной степени отличается от косинусоидальной, поэтому использование обычной линейной идеализации динамической характеристики приводит к значительным погрешностям при определении составляющих тока сетки. Если с такими погрешностями можно мириться в тетрадах и пентодах, ток управляющей сетки которых в критическом и даже перенапряженном режимах относительно невелик, то в современных триодах большие погрешности недопустимы, так как ток управляющей сетки уже в критическом режиме оказывается достаточно большим, достигая 30—40% постоянной составляющей анодного тока, и мощность рассеяния на сетке также может оказаться больше допустимой.

Есть несколько способов уточнения расчета цепи сетки. Наиболее простым и удобным является способ, при котором расчет составляющих сеточного тока проводится обычным путем, но в формулы (33) вводятся поправочные коэффициенты k_{0g_1} и k_{1g_1} , учитывающие отклонение реальной формы импульса от косинусоидальной.

Эти поправочные коэффициенты наиболее точно определены В. А. Хацкелевичем. Их средние значения равны: $k_{0g_1} \approx 0,66$; $k_{1g_1} \approx 0,72$.

При введении этих коэффициентов уточненные составляющие сеточного тока будут равны

$$I_{g_1 0} = k_{0g_1} \alpha_{0g_1} i_{g_1 \max}; \quad I_{g_1 1} = k_{1g_1} \alpha_{1g_1} i_{g_1 \max}. \quad (38)$$

Эти формулы также справедливы при определении составляющих сеточного тока в слабоперенапряженном режиме по управляющей сетке, когда сеточный ток значительно возрастает [$I_{g_1 0} \approx (0,25-0,4) I_{a_0}$].

Цепь экраний сетки. Особенность работы экраний сетки лампы усилителя мощности заключается в том, что переменный потенциал сетки всегда должен быть близок к нулю. Выполнение этого требования необходимо для снижения паразитной связи цепей анода и управляющей сетки через проходную емкость лампы C_{ag_1} . Для этой цепи экраний сетка блокируется на катод достаточно большой емкостью C_{g_1} , сопротивлением которой току высокой частоты можно пренебречь.

Максимальное значение импульса тока экраний сетки $i_{g_1 \max}$ наблюдается в тот же момент времени, когда ток управляющей сетки достигает максимума, т. е. при

$$e_{g_1} = e_{g_1 \max} = U_{mg_1} + E_{g_1} \text{ и } e_a = e_{a \min} = E_a - U_{m \kappa}.$$

Вследствие вогнутости реальной динамической характеристики тока экраний сетки импульс его в значительной степени отличается от косинусоидального и подобен по форме току управляющей сетки.

Угол отсечки этого тока зависит от взаимного расположения начальных участков веерообразных характеристик анодного и экраний токов. Для ламп с общей начальной точкой характеристик анодного и экраний токов углы отсечки равны

$$\cos \theta = \cos \theta_{g_1} = \frac{E'_{g_1} - E_{g_1}}{U_{mg_1}}.$$

Для ламп, у которых веер характеристик экраний тока смещен вправо, угол отсечки уменьшается и

$$\cos \theta_{g_1} = \frac{E'_{g_1} - E_{g_1}}{U_{mg_1}}.$$

При расчете цепи экраний сетки следует учитывать только постоянную составляющую тока, которую опре-

деляют таким же способом, как и составляющую тока управляющей сетки

$$I_{g_1} = k_{0g_1} \alpha_{0g_1} i_{g_1 \max},$$

где $i_{g_1 \max}$ — высота импульса тока экранной сетки;
 α_{0g_1} — коэффициент разложения импульса экранного тока;
 $k_{0g_1} \approx 0,6-0,7$ — эмпирический коэффициент, учитывающий остроконечность импульса.

Высота импульса $i_{g_1 \max}$ определяется по семейству характеристик при $e_{g_1} = e_{g_1 \max}$ и $e_a = e_{a \min}$.

Мощность рассеяния экранной сетки зависит от тока и постоянного напряжения сетки ($P_{g_1} = I_{g_1} E_{g_1}$) и должна быть меньше допустимой: $P_{g_1} < P_{g_1 \text{ доп.}}$

При приближенных методах расчета экранной сетки ее ток можно определить по опытным соотношениям, проверенным практикой эксплуатации. Для большинства современных маломощных тетродов и пентодов (4П1Л, ГУ-15 и др.)

$$I_{g_1} = (0,25 - 0,3) I_{a_0}.$$

Ток экранной сетки ламп мощностью до 1 *квт* (ГУ-81, ГУ-27Б и др.)

$$I_{g_1} = (0,18 - 0,27) I_{a_0};$$

у некоторых лучевых тетродов и пентодов (ГУ-50, ГУ-13 и др.)

$$I_{g_1} = (0,05 - 0,1) I_{a_0}.$$

В перенапряженном режиме, который в усилителях на экранированных лампах обычно наблюдается по экранной сетке, ток I_{g_1} значительно возрастает (до 40—50% постоянной составляющей анодного тока I_{a_0}).

§ 12. Эквивалентная схема усилителя

При исследовании усилителей и генераторов широко используется метод эквивалентных схем, позволяющий упростить ряд расчетов и свести сложные радиотехнические схемы к простейшим электротехническим цепям.

Эквивалентная схема представляет собой схему данного устройства (усилителя, генератора и т. п.) только

для переменного тока данной частоты (например, первой гармоники), прохождение других составляющих токов в эквивалентной схеме не учитывается.

При составлении эквивалентной схемы элементы, имеющие малое сопротивление переменному току, считаются короткозамкнутыми и в схеме не указываются (например,

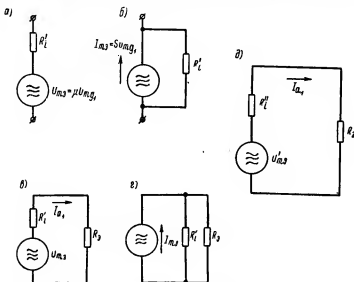


Рис. 22. Эквивалентные схемы: а — усилительной лампы как генератора переменного напряжения; б — усилительной лампы как генератора переменного тока; в — усилителя с генератором напряжения; г — усилителя с генератором тока; д — усилителя с генератором напряжения в перенапряженном режиме.

блокировочные, фильтровые и разделительные конденсаторы). Колебательный контур заменяют его эквивалентным сопротивлением, лампу — эквивалентным генератором напряжения или тока (рис. 22). В первом случае заменяющий лампу эквивалентный генератор напряжения (рис. 22, а) вырабатывает переменное напряжение с амплитудой $U_{m3} = \mu U_{mg1}$, которая не зависит от нагрузки. Генератор последовательно соединен с сопротивлением лампы R'_l . Во втором случае заменяющий лампу эквивалентный генератор тока (рис. 22, б) вырабатывает ток

с амплитудой $I_{m_2} = SU_{mg_1}$, не зависящей от нагрузки, и работает на сопротивление лампы R'_l .

Нетрудно видеть, что обе эквивалентные схемы аналогичны друг другу: они дают одинаковое напряжение на участке анод—катод и имеют одинаковые сопротивления, равные сопротивлению лампы R'_l .

Эквивалентные схемы настроенного лампового усилителя представлены на рис. 22, в, г.

Правильность эквивалентных схем подтверждается уравнением тока I_{a_1} , которое легко получить из уравнения (28):

$$I_{a_1} = \frac{\mu U_{mg_1}}{\frac{R_l}{\alpha_1 (1 - \cos \theta)} + R_2} = \frac{\mu U_{mg_1}}{R'_l + R_2}, \quad (39)$$

где $R'_l = \frac{R_l}{\alpha_1 (1 - \cos \theta)} = \alpha_l R_l$ — приведенное внутреннее сопротивление лампы;

$\alpha_l = \frac{1}{\alpha_1 (1 - \cos \theta)}$ — коэффициент приведения внутреннего сопротивления (рис. 20).

Приведенное сопротивление является внутренним сопротивлением лампы усилителя в режиме II рода. С уменьшением угла отсечки увеличивается время, в течение которого лампа не проводит тока, а ее сопротивление бесконечно велико, в результате чего увеличивается также среднее сопротивление лампы за период.

В режиме I рода, когда ток проходит через лампу в течение всего периода, а угол отсечки равен 180° , $R'_l = R_l$. В классе В при $\theta = 90^\circ$ $R'_l = 2R_l$, т. е. приведенное сопротивление лампы увеличивается вдвое.

Рассмотренная выше эквивалентная схема (рис. 22, в, г) справедлива только для недонапряженного и критического режимов усилителя, когда импульс анодного тока имеет косинусоидальную форму, а амплитуда первой гармоники анодного тока зависит от амплитуды напряжения возбуждения.

В перенапряженном режиме форма импульса анодного тока делается сложной, с седловиной в вершине. Величина амплитуды напряжения возбуждения влияет на ширину и глубину седловины и верхний угол отсечки анод-

ного тока таким образом, что амплитуда первой гармоники анодного тока остается почти постоянной. Основное влияние на величину I_{a1} в этом режиме оказывает величина анодного напряжения.

Эти особенности переапряженного режима эквивалентная схема с эквивалентным генератором $U'_{m2} = \mu U_{mg}$ и приведенным сопротивлением R'_i не учитывает.

Эквивалентную схему для переапряженного режима можно получить, найдя зависимость амплитуды первой гармоники анодного тока от анодного напряжения и исключив из этой зависимости амплитуду напряжения возбуждения. Расчеты показывают, что при этом получается следующее выражение для амплитуды I_{a1} , подобное уравнению (39):

$$I_{a1} = \frac{U'_{m2}}{R'_s + R'_s}, \quad (40)$$

и эквивалентная схема (рис. 22, б) оказывается подобной схеме для недоапряженного режима.

В уравнении (40) эквивалентная э. д. с. U'_{m2} в основном зависит только от величины анодного напряжения E_a ,

$$U'_{m2} = (1 - 1,2) E_a,$$

а приведенное внутреннее сопротивление R'_i зависит от нижнего угла отсечки анодного тока θ (как и R'_i) и крутизны S_K

$$R'_i = \frac{\alpha_i}{S_K}.$$

Так как $\frac{1}{S_K} \ll R_i$, то приведенное внутреннее сопротивление в переапряженном режиме оказывается значительно меньше, чем в недоапряженном. Например, при $\theta = 90^\circ$ $R'_i = \frac{2}{S_K}$, а не $2R_i$, как было показано выше.

Подставив в уравнение (40) значения U'_{m2} и R'_i , получим приближенное выражение для амплитуды первой гармоники анодного тока в переапряженном режиме:

$$I_{a1} \approx \frac{(1 - 1,2) E_a}{\frac{\alpha_i}{S_K} + R_s},$$

которое подтверждает зависимость I_a от анодного напряжения E_a .

Рассмотренные выше эквивалентные схемы не дают правильных фазовых соотношений напряжений усилителя. Действительно, в схеме не отражен сдвиг фаз переменных напряжений на нагрузке и аноде, оба напряжения в эквивалентной схеме оказываются в фазе, а не в противофазе, как в реальной схеме.

Замена лампы эквивалентным генератором напряжения или тока является чисто формальным приемом, облегчающим расчеты генераторов и усилителей.

§ 13. Расчет усилителя мощности

В последние годы нашими учеными проведена большая исследовательская работа по созданию теории инженерного расчета режимов современных генераторных ламп. Эта работа показала, что инженерный аналитический расчет режимов при всеообразной идеализации характеристик является весьма сложной задачей. Поэтому наиболее целесообразно использовать в качестве основы расчета метод классической кусочно-линейной идеализации с введением ряда изменений и дополнений, учитывающих особенности характеристики параметров современных ламп.

Было предложено несколько методов, среди которых следует отметить методы Б. С. Агафонова [1] и В. А. Хацкелевича [15].

Расчет усилителя мощности складывается из расчета режима, т. е. определения типа и числа ламп, напряжений и токов, действующих в усилителе, мощностей и к. п. д., а также из расчета колебательного контура, который должен обеспечить нужную нагрузку для лампы, настраиваться на любую частоту рабочего диапазона и обладать высокими фильтрующими свойствами.

При расчете режима некоторые электрические величины принимаются заданными, поэтому существует несколько методов расчета, различающихся по начальным условиям. Наиболее распространены расчеты по заданной полезной мощности, предельной подводимой мощности, напряжению анодного питания и т. д.

Рассмотрим основной вариант расчета режима современных генераторных ламп, а именно расчет критического (или недонапряженного) режима по заданной полезной мощности. Исходными данными для расчета являются задан-

ная полезная мощность лампы P_{\sim} в критическом режиме и угол отсечки анодного тока $\theta = 50-70^\circ$. Форма импульса анодного тока предполагается остроугольной косинусоидальной или слегка уплощенной с верхним углом отсечки $\theta' = 15-30^\circ$.

Расчет усилителя начинают с выбора типа лампы по ее номинальной полезной мощности $P_{\sim N}$. Номинальную мощность мощных триодов с вольфрамовыми катодами и током эмиссии I_e приближенно можно определить по формуле $P_{\sim N} \approx 0,1 I_e E_a$.

Уменьшение полиого коэффициента использования (0,1 вместо 0,2) объясняется уменьшением коэффициента использования тока β до 0,4—0,6, так как эти лампы работают при значительном недоиспользовании тока эмиссии. Номинальная мощность $P_{\sim N}$ должна быть равна или несколько больше заданной мощности P_{\sim} .

Вторым фактором, определяющим выбор лампы, является предельная мощность рассеяния на аноде $P_{a. \text{доп}}$, поэтому, задавшись наиболее вероятным значением к. п. д., определяют ориентировочное значение P_a и сравнивают его с $P_{a. \text{доп}}$. При этом должно выполняться соотношение

$$P_a = P_{\sim} \frac{1-\eta}{\eta} \leq P_{a. \text{доп}}. \text{ При } \eta = 0,7 \quad P_a \approx 0,43 P_{\sim} \leq P_{a. \text{доп}}.$$

Выбрав лампу, по справочнику определяют номинальные напряжения ее питания: E_a , E_{g1} , E_{g2} ; величину напряжения запаривания идеализированной характеристики E'_{g1} ; крутизну линии критического режима S_k ; коэффициент напряженности μ_{g1} и предельно допустимую мощность рассеяния на аноде и сетках, кроме того, необходима величина расчетной крутизны S (при $e_{g1} = e_{g1 \text{ max}}$ и $e_a = e_{a \text{ min}}$).

Если параметры S_k , μ_{g1} , E'_{g1} и S не указаны, их можно определить по характеристикам лампы.

Определение крутизны S_k . Крутизну S_k можно определить по семейству характеристик анодного тока в анодной системе координат.

Предварительно необходимо вычислить ориентировочное значение $i_{a \text{ max}}$, задавшись наиболее вероятным значением $\xi \approx 0,9$; при этом

$$i_{a \text{ max}} \approx \frac{2P_{\sim}}{\xi \alpha_1 E_a}.$$

При определении S_K по характеристикам $i_a = \varphi(e_a)$ различают два случая. В первом из них (рис. 23, а), когда переход характеристик на линию резкого спада анодного тока происходит круто (что характерно для большинства типов современных ламп) и линия критического режима совпадает с линией резкого спада анодного тока, крутизну S_K определяют соотношением

$$S_K = \frac{i_{a \max}}{e_{a \min}}, \quad (41)$$

где $i_{a \max}$ — ориентировочное значение высоты импульса анодного тока;

$e_{a \min}$ — остаточное напряжение на аноде при $i_a = i_{a \max}$ (рис. 23, а).

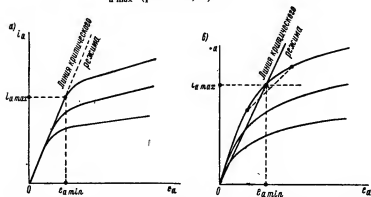


Рис. 23. Определение крутизны линии критического режима S_K по анодным характеристикам лампы: а — с резким переходом характеристик к линии спада анодного тока; б — с плавным переходом характеристик к линии спада анодного тока.

Во втором случае, когда характеристики имеют плавный переход к линии резкого спада анодного тока, линия критического режима уже не будет совпадать с последней и ее можно определить, соединяя середину плавного участка при ординате $i_a = i_{a \max}$ с началом координат. Крутизну S_K также определяют по формуле (41) (величины $e_{a \min}$ и $i_{a \max}$ для этого случая указаны на рис. 23, б).

Определение напряжения запирания E_{g1} . Напряжение запирания идеализированной характеристики анодного тока в сеточных координатах определяется как абсцисса

точки пересечения спрямленной характеристики, соответствующей номинальному анодному напряжению, с осью напряжений (рис. 24).

Однако такое определение E'_{g_1} может привести к значительным погрешностям, особенно при протяженном нижнем криволинейном участке характеристики. В этом случае наблюдается значительное расхождение напряжения запирания реальной и идеализированной характеристик.

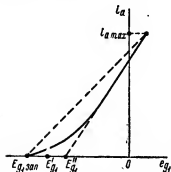


Рис. 24. Определение напряжения запирания E'_{g_1} по анодно-сеточной характеристике лампы.

Большинство современных тетродов и пентодов имеет протяженный нижний участок. В этом случае В. А. Хацкелевич рекомендует определять E'_{g_1} как среднее арифметическое двух напряжений, полученных в точках запирания реальной характеристики и пересечения касательной к характеристике с осью абсцисс (рис. 24),

$$E'_{g_1} = \frac{E_{g_1 \text{ зап}} + E_{g_1''}}{2}. \quad (42)$$

Определение расчетной крутизны характеристики S . Веерообразная форма реальных характеристик делает крутизну переменной величиной. Кроме того, средняя крутизна, указанная в паспортах генераторных ламп, обычно измеряется при небольших анодных токах, поэтому реальная крутизна при токе, равном высоте импульса, оказывается значительно больше.

Для расчета режимов необходимо знать значение крутизны при $i_a = i_{a \text{ max}}$, т. е. при $e_a = e_{a \text{ min}}$. Эту расчетную величину можно получить, имея график зависимости крутизны от анодного напряжения. При отсутствии такого графика его следует построить, определив крутизну характеристик при различных анодных напряжениях.

Определение коэффициента напряженности μ_{g_1} . Коэффициент напряженности μ_{g_1} можно определить по вычисленным значениям крутизны S и S_k и известной проница-

емости лампы D , пользуясь формулой (10)

$$\mu_{z_1} = D - \frac{S_k}{S}.$$

Выбрав лампу и определив ее параметры, переходят к расчету режима.

Можно рекомендовать следующий порядок расчета по заданной мощности.

1. Задавшись нижним углом отсечки θ , по таблицам или графикам определяют коэффициенты α_0 , α_1 , γ и $\beta_1 = \alpha_1(1 - \cos \theta)$.

2. Определяют критический коэффициент использования анодного напряжения

$$\xi_{кр} = 1 - \frac{2P_{\sim}}{\alpha_1 S_k E_a^2}.$$

Если необходима работа в недонапряженном режиме, то для дальнейшего расчета принимают рабочее значение $\xi < \xi_{кр}$.

3. Определяют амплитуду колебательного напряжения

$$U_{mk} = \xi_{кр} E_a.$$

4. Определяют составляющие анодного тока: амплитуду первой гармоники

$$I_{a_1} = \frac{2P_{\sim}}{U_{mk}},$$

постоянную составляющую

$$I_{a_0} = \frac{I_{a_1}}{\gamma}.$$

5. Определяют мощность, потребляемую в цепи анода $P_0 = I_{a_0} E_a$, и мощность рассеяния на аноде $P_a = P_0 - P_{\sim}$, которая должна быть меньше допустимой.

6. Определяют к. п. д. анодной цепи

$$\eta = \frac{P_{\sim}}{P_0} \cdot 100\%.$$

7. Определяют эквивалентное сопротивление нагрузки, обеспечивающее критический режим,

$$R_s = R_{s, кр} = \frac{U_{mk}}{I_{a_1}}.$$

8. Определяют напряжения в сеточной цепи. Напряжение возбуждения вычисляется по расчетной формуле,

полученной из уравнения (29) с заменой $i_{a \max}$ на $\frac{I_{a_1}}{\alpha_1}$ и $\alpha_1 (1 - \cos \theta)$ на β_1

$$U_{mg_1} = \frac{I_{a_1}}{S\beta_1} + DU_{mk}.$$

При расчете напряжения возбуждения тетродов и пентодов второе слагаемое оказывается значительно меньше первого вследствие малой проницаемости этих ламп, поэтому его обычно не учитывают и последняя формула принимает вид

$$U_{mg_1} \approx \frac{I_{a_1}}{S\beta_1}. \quad (43)$$

9. Определяют напряжение смещения по расчетной формуле, полученной из уравнения (27),

$$E_{g_1} = E'_{g_1} - \frac{I_{a_1}}{S\beta_1} \cos \theta. \quad (44)$$

Чтобы уменьшить погрешность при определении U_{mg_1} и E_{g_1} , для ламп с протяженным нижним участком характеристики (при обычном методе определения напряжения записания) в формулы (43) и (44) вводят поправку, после чего они примут вид

$$U_{mg_1} \approx 1,1 \frac{I_{a_1}}{S\beta_1}; \quad E_{g_1} \approx 1,1 \left(E'_{g_1} - \frac{I_{a_1}}{S\beta_1} \cos \theta \right). \quad (45)$$

Рассмотренная методика расчета полностью справедлива и при уплощенной форме импульса анодного тока.

Подробные исследования показали, что обычно верхний угол отсечки θ' составляет 20—30% нижнего. В этом случае коэффициенты разложения α_0 и α_1 определяют по таблицам для уплощенного импульса по принятым углам отсечки θ и θ' , а режим рассчитывают по приведенным формулам, за исключением формулы напряжения возбуждения, которая видоизменяется:

$$U_{mg_1} \approx \frac{I_{a_1}}{S\alpha_1 (\cos \theta' - \cos \theta)}. \quad (46)$$

Этот расчет не позволяет судить, насколько полно используется лампа по анодному току. В тех случаях, когда значение $P_{\sim N}$ неизвестно или недостоверно, применяют другие методы расчета [1].

Глава III

СХЕМЫ ПИТАНИЯ ЛАМП УСИЛИТЕЛЕЙ И ГЕНЕРАТОРОВ

§ 14. Источники питания ламп передатчиков

Для питания ламп усилителей и генераторов требуются следующие виды напряжения: 1) постоянное высокое для анодов и экранных сеток (сотни и тысячи вольт в передатчиках малой и средней мощностей); 2) постоянное для управляющих и защитных сеток ламп (десятки и сотни вольт); 3) постоянное или переменное для цепей накала (единицы и десятки вольт).

Первичным источником питания передатчиков малой и средней мощностей служат сети переменного (нормальной или повышенной частоты) и постоянного токов, аккумуляторы или сухие батареи и элементы.

При питании от сети переменного тока анодное и экранное напряжения получают при помощи высоковольтных выпрямителей. Иногда применяют несколько выпрямителей, отдельно питающих генератор, промежуточные и мощные выходные усилители. Такое раздельное питание генератора благоприятно сказывается на стабильности частоты передатчика.

В выпрямителях передатчиков обычно используют кенотроны и полупроводниковые диоды. Применение газотронов ограничено длительностью разогрева катода и связанного с ним увеличения времени пуска передатчика.

Питание от сети повышенной частоты (400—1000 гц) имеет значительные преимущества перед питанием током промышленной частоты, так как позволяет уменьшить габариты и вес трансформаторов и дросселей фильтра, повышает частоту пульсаций, облегчая условия фильтрации, и позволяет просто осуществить тональную модуляцию при работе тонально-модулированными колебаниями. Недостаток такого вида питания — необходимость в дополнительных генераторах повышенной частоты, что усложняет схему питания и повышает ее стоимость.

Питание накала ламп производится от сети переменного тока через отдельный накальный трансформатор. Накал регулируют со стороны первичной обмотки (схемы питания накала будут показаны ниже).

Питание управляющих сеток ламп в передатчиках малой и средней мощности иногда производится от дополнительного или основного выпрямителя или от других автономных источников питания. Для питания сетки обычно используют падения напряжения сеточного, катодного или накального тока на специальных сопротивлениях смещения. Напряжение на защитные сетки подают с потенциометров анодных выпрямителей.

При питании от сети постоянного тока применяют преобразователи напряжения — мотор-генераторы постоянного или переменного тока. Первые выдают с генераторной части все нужные высокие и низкие постоянные напряжения, вторые — напряжения обычной или повышенной частоты, которые затем выпрямляются.

Питание от аккумулятора и сухих батарей применяют только в маломощных переносных передатчиках.

В последнее время для питания передатчиков (и другой радиоаппаратуры) начали применять преобразователи-выпрямители на полупроводниках. Эти устройства состоят из генератора на полупроводниковых триодах, вырабатывающего переменное напряжение прямоугольной формы, и выпрямителя на полупроводниковых диодах.

Такая система питания наиболее рациональна при наличии первичного источника низковольтного постоянного напряжения, например аккумуляторов или сети постоянного тока напряжением до 24—26 в, так как делает источники питания весьма надежными и долговечными. При этом отпадает надобность в электромеханических преобразователях — мотор-генераторах и вибропреобразователях, имеющих низкий к. п. д. и создающих значительные электрические и акустические помехи.

§ 15. Схемы питания анодных цепей

Питание на аноды ламп обычно подается параллельно от одного источника. Переменные токи ламп, замыкаясь через источник питания, вызывают на его внутреннем сопротивлении падение напряжения $u_{cb} = i_{cb} R_{ин}$, которое оказывается приложенным к сеткам ламп, начиная

со второй. Это напряжение $u_{св}$ является паразитным напряжением обратной связи, так как, действуя на сетках ламп, оно зависит от анодных токов. В результате действия паразитной обратной связи наблюдается самовозбуждение усилителей, и нормальная работа передатчика нарушается. Для уменьшения влияния этой связи в цепи анодного (и экраниого) питания устанавливают развязывающие фильтры L_ϕ , C_ϕ , резко ослабляющие переменные токи, поступающие в источник питания, а тем самым и обратную связь.

Параметры фильтров выбирают из соотношения

$$\frac{1}{\omega C_\phi} \ll (0,001 - 0,005) \omega L_\phi.$$

Схема включения фильтров в цепи анодного питания показана на рис. 12, 25, а.

По способу соединения лампы и нагрузки с источником питания различают две основные схемы питания анодов: последовательную и параллельную (рис. 25).

В последовательной схеме (рис. 25, а) лампа, нагрузка и источник питания соединены последовательно, и контур обтекают в процессе работы переменный и постоянный токи. Для устранения прохождения переменных высокочастотных токов в источники питания используют развязывающий фильтр L_ϕ , C_ϕ . Сопротивление конденсатора фильтра должно быть в сотни раз меньше эквивалентного сопротивления контура (чтобы не уменьшить колебательного напряжения на нем) и не менее чем в 200—1000 раз меньше сопротивления дросселя:

$$0,01 R_s \gg \frac{1}{\omega C_\phi} \ll 0,005 \omega L_\phi.$$

Расчетные формулы для определения L_ϕ и C_ϕ :

$$C_\phi \geq 50 \frac{\lambda}{R_s}; \quad L_\phi \geq \lambda R_s,$$

где λ — в метрах, C_ϕ — в пикофарадах, L_ϕ — в микрогенри, R_s — в килоомах.

Фильтр разделяет постоянную и переменную составляющие тока. Переменная составляющая тока проходит через лампу, конденсатор фильтра C_ϕ и контур, а постоянная — от плюса источника питания через дроссель L_ϕ , катушку контура L и лампу на минус источника питания.

Источник питания, а также измерительные приборы необходимо включать в те участки схемы, высокочастотный потенциал которых относительно корпуса (земли) минимален. Например, в схеме с заземленным катодом источник питания включают между катодом и контуром, а при работе с заземленным анодом — между анодом и контуром.

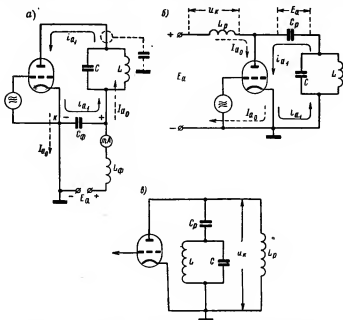


Рис. 25. Схемы питания анодов ламп: а — последовательная; б — параллельная; в — эквивалентная параллельная.

Такое включение важно для уменьшения влияния паразитных емкостей источника питания и измерительных приборов на настройку контура. На рис. 25, а показано правильное и неправильное (пунктиром) включение измерительного прибора в анодную цепь.

В параллельной схеме питания (рис. 25, б) пути постоянной и переменной составляющих тока разделены с помощью разделительного конденсатора C_p и дросселя L_p . Переменная составляющая тока замыкается через контур, C_p и лампу. Дроссель представляет собой большое сопротивление для тока высокой частоты.

Таким образом, дроссель, лампа и контур соединяются параллельно по переменной составляющей, и дроссель находится под полным колебательным напряжением контура (рис. 25, в). Для того чтобы разделительные элементы как можно меньше влияли на работу усилителя, необходимо уменьшить сопротивление разделительного конденсатора, так как все колебательное напряжение перераспределяется между сопротивлениями $x_p = \frac{1}{\omega C_p}$ и эквивалентным сопротивлением контура R_s , т. е. необходимо выполнить условие

$$X_p = \frac{1}{\omega C_p} \leq 0,01 R_s \text{ или } C_p \geq 50 \frac{\lambda}{R_s}.$$

Конденсатор C_p находится под полным постоянным анодным напряжением и должен выдерживать это напряжение. При пробое конденсатора произойдет короткое замыкание источника анодного питания через дроссель и контурную катушку; дроссель, имеющий обмотку из более тонкого провода, чем контурная катушка, может выйти из строя.

Дроссель L_p , включенный параллельно контуру, изменяет его параметры и увеличивает затухание. Для ослабления вредного влияния дросселя на контур необходимо, чтобы индуктивность дросселя была в 15—30 раз больше индуктивности контура:

$$L_p \approx (15 - 30) L. \quad (47)$$

При этом потери мощности высокой частоты в дросселе не превысят 1% от полезной мощности P_{\sim} .

Кроме того, сопротивление дросселя должно быть значительно больше (в 200—1000 раз) сопротивления разделительного конденсатора на самой низкой частоте диапазона.

Чрезмерное увеличение L_p приводит к увеличению собственной емкости дросселя, и на некоторой критической частоте может наступить последовательный резонанс, при котором сопротивление дросселя резко падает. Критическая частота дросселя зависит от распределенной емкости дросселя и его емкости относительно шасси. Для уменьшения этих емкостей применяют секционную намотку дросселя, а также тщательно соблюдают правила

монтажа, удаляя высокопотенциальный конец дросселя от шасси и экранов.

Обе схемы анодного питания совершенно эквивалентны в отношении действия как постоянного, так и переменного напряжения на лампу. Действительно, в обеих схемах мгновенное напряжение на участке анод — катод складывается из алгебраической суммы напряжения источника анодного питания и переменного колебательного напряжения на контуре. Шунтирующее действие дросселя на контур, которое особенно сильно сказывается с уменьшением длины волны, ограничивает применение параллельной схемы, поэтому последовательная схема является более распространенной.

Параллельную схему целесообразно применять в том случае, когда нагрузкой является контур III вида, т. е. когда отсутствует проводимость по постоянному току, и использовать последовательную схему невозможно.

§ 16. Схемы питания сеточных цепей

На управляющую сетку генераторной лампы подается постоянное (обычно отрицательное относительно катода) напряжение E_{g1} . Кроме того, сетка связана с контуром предыдущего усилителя или со своим анодным контуром в генераторах для получения напряжения возбуждения.

Возможны два варианта питания сетки: смещение от автономного источника (батарея аккумуляторов, выпрямитель и т. п.) и автоматическое смещение за счет падения напряжения на сопротивлении при прохождении сеточного, катодного или накального тока. Как автономное, так и автоматическое смещение можно построить по последовательной и параллельной схемам (рис. 26).

В последовательной схеме (рис. 26, а), которая применяется при индуктивной связи с предыдущим усилителем, выбор элементов фильтра L_{g1} и C_{g1} основывается на тех же соображениях, что и для схемы анодного питания, т. е. сопротивление конденсатора C_{g1} должно быть не менее чем в 200 раз меньше сопротивления катушки связи, а сопротивление дросселя — не менее чем в 200 раз больше сопротивления конденсатора (для предотвращения прохождения токов высокой частоты в источник смещения). Источник смещения, например аккумулятор, работает в режиме заряда и заряжается сеточным током $I_{g,0}$.

В параллельной схеме (рис. 26, б) переменная и постоянная составляющие сеточного тока разделены элементами L_g и C_g , выполняющими ту же роль, что и L_p и C_p в параллельной схеме анодного питания. В этой схеме дроссель шунтирует контур предыдущего усилителя и своей емкостью увеличивает входную емкость лампы. Для уменьшения влияния дросселя желательно использовать его в режиме первого (параллельного) резонанса, когда сопротивление на рабочей частоте носит емкостный характер и это приводит только к некоторому увеличению входной емкости. Тогда эквивалентная схема для токов высокой частоты будет такой, как показано на рис. 26, в (здесь C_g — эквивалентная емкость дросселя).



Рис. 26. Схемы подачи автономного смещения в сеточных цепях: а — последовательная; б — параллельная; в — эквивалентная параллельного питания сетки.

При индуктивном характере сопротивления дросселя L_g , определяется по соотношению (47) с учетом коэффициента включения $p_{g1} = \frac{U_{mg1}}{U_{mk}}$ (рис. 26, б) со стороны сетки

$$L_{g1} \approx (15 - 30) p_{g1} L. \quad (48)$$

Сопротивление конденсатора C_g , должно быть не менее чем в 200 раз меньше сопротивления дросселя.

Параллельная схема питания сетки применяется при автотрансформаторной или емкостной связи с контуром, так как последовательную схему в этом случае использовать нельзя.

Схемы параллельного и последовательного питания цепи сетки полностью эквивалентны в отношении подключения постоянных и переменных ее напряжений, при этом они подобны схемам питания анодных цепей.

В современных передатчиках применяются как схемы с автономным, так и с автоматическим смещением. Недостаток схем автономного смещения — необходимость в специальном источнике смещения и значительные изменения режима работы усилителей и генераторов при смене ламп вследствие разброса их параметров. Кроме того, самовозбуждение в генераторах может получиться «жестким». В то же время автономное смещение должно обязательно применяться в буферных режимах, в которых отсутствуют сеточные токи, а катодное смещение не позволяет получить режимы классов В и С, так как при отсутствии возбуждения постоянная составляющая анодного тока, а также смещение близки к нулю, и начальная рабочая точка не может быть установлена на нижнем участке характеристики. Это замечание относится также к схемам умножителей частоты, в которых из-за малых углов отсечки анодного тока требуются большие отрицательные смещения.

Схемы смещения за счет сеточного тока. В цепь сетки включают активное сопротивление по последовательной (рис. 27, а) или параллельной (рис. 27, б) схеме. В обоих случаях через сопротивление проходит постоянная составляющая сеточного тока I_{g10} и на сопротивлении создается постоянное падение напряжения $E_{g1} = I_{g1} R_{g1}$, отрицательный потенциал которого приложен к сетке. Величина напряжения смещения зависит от I_{g10} и, следовательно, от режима цепи сетки (U_{mg1} , угла отсечки и высоты импульса сеточного тока). Для защиты сопротивления от токов высокой частоты служит блокировочный конденсатор (в последовательной схеме) и дроссель (в параллельной). Емкость конденсатора определяется из условия

$$\frac{530\lambda_{\max}}{C_{g1}} \leq 0,005R_{g1}, \quad \text{откуда} \quad C_{g1} \geq 10^5 \frac{\lambda_{\max}}{R_{g1}}, \quad (49)$$

где C_{g1} — в пикофарадах, λ_{\max} — в метрах, R_{g1} — в омах.

Дроссель в параллельной схеме следует включать при больших сеточных токах, когда R_{g_1} невелико (сотни, тысячи омов) и сильно шунтирует контур. В маломощных усилителях с малыми сеточными токами R_{g_1} оказывается большим (десятки тысяч омов), поэтому надобность в дросселе отпадает.

Смещение за счет сеточных токов наиболее широко используется в передающих устройствах, однако его

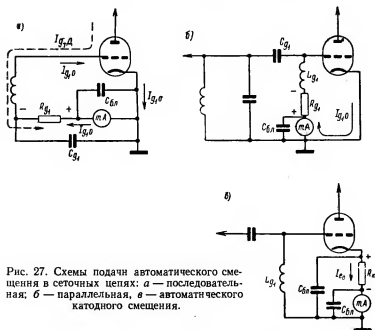


Рис. 27. Схемы подачи автоматического смещения в сеточных цепях: а — последовательная; б — параллельная, в — автоматического катодного смещения.

нельзя применять в буферных усилителях, работающих без сеточных токов. В схеме сеточного смещения мощных генераторных ламп, работающих при высоком анодном напряжении, возможно явление «блокинга», заключающееся в уменьшении отрицательного сеточного смещения и даже перемене его знака. Это явление вызывается *динаatronным эффектом* управляющей сетки лампы. В цепи сетки динаatronный ток $I_{g_1,д}$ (вызванный вторичными электронами, выбитыми с сетки) направлен навстречу нормальному электронному току $I_{g_1,0}$ (рис. 27, а). Результирующий

сеточный ток $I_{g1p} = I_{g10} + I_{g1A}$ уменьшается и может изменить направление, что приведет к уменьшению величины напряжения смещения E_{g1} и даже изменению его знака, а следовательно, к резкому увеличению анодного тока и мощности потерь на аноде. Опасность блокинга особенно велика при работе в недонапряженном режиме, когда I_{g10} мало.

Кроме использования сеточного тока, некоторое распространение получило смещение за счет катодного (суммарного) тока лампы I_{c1} (рис. 27, в). В этом случае сопротивление смещения R_{K1} , блокирующее для токов высокой частоты емкостью, включается в катод лампы, и суммарный ток, протекая по этому сопротивлению, создает на нем падение напряжения $E_{g1} = I_{c1} R_{K1}$, где $I_{c1} = I_{a0} + I_{g10} + I_{g1} + I_{g1A}$. Отрицательный потенциал ($-E_{g1}$) через дроссель прикладывается к сетке лампы.

Смещение за счет тока накала, когда сопротивление смещения включается в цепь тока накала, применяется сравнительно редко.

Схемы питания экранированных сеток. Сопротивление цепи экранированной сетки току высокой частоты должно быть ничтожно малым, поэтому экранированную сетку присоединяют к катоду через блокировочный конденсатор, сопротивление которого токам высокой частоты весьма мало. В то же время на сетку подается высокий положительный потенциал

$$E_{g2} \approx (0,2 - 0,8) E_a.$$

Высокое напряжение подается на сетку от анодного (при близких потенциалах E_a и E_{g2}) или от отдельного источника напряжения (когда $E_{g2} \ll E_a$). Возможны два варианта подачи питания на сетку: через гасящие сопротивления и от общего потенциометра (рис. 28). В первом случае (рис. 28, а) по сопротивлению R_{g2} проходит ток экранированной сетки I_{g2} , создающий падение напряжения $I_{g2} R_{g2}$. В результате напряжение на экранированной сетке снижается до величины

$$E_{g2} = E_a - I_{g2} R_{g2}$$

и на сопротивлении R_{g2} выделяется мощность

$$P_{R_{g2}} = I_{g2}^2 R_{g2} = \frac{(E_a - E_{g2})^2}{R_{g2}}.$$

Очевидно, что эта мощность потерь будет тем больше, чем большую часть анодного напряжения необходимо

погасить на R_{g_1} . Сопротивление R_{g_1} и емкость C_{g_1} образуют развязывающий высокочастотный фильтр, предотвращающий прохождение высокочастотных токов в цепь экранной сетки. Элементы фильтра должны удовлетворять рассмотренному выше условию (49) для C_{g_1} и R_{g_1} .

Питание через гасящее сопротивление недопустимо в тех случаях, когда наблюдаются большие динаatronные токи экранной сетки (в тетродах). Эти токи $I_{g_{1д}}$, вызванные вторичными электронами, выбитыми с экранной

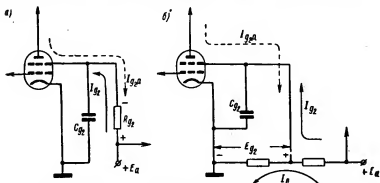


Рис. 28. Схемы питания экранных сеток: а — через гасящее сопротивление; б — от потенциометра.

сетки, имеют направление, обратное электронному току I_{g_1} . В итоге результирующий ток $I_{g_{1р}} = I_{g_1} + I_{g_{1д}}$ уменьшается и напряжение на экранной сетке чрезмерно возрастает, что вызывает нарушение режима работы усилителя и увеличение анодного тока и потерь в лампе.

При питании экранной сетки от потенциометра (рис. 28, б) этого явления не наблюдается, так как ток потенциометра выбирается значительно больше динаatronного тока экранной сетки, и напряжение, снимаемое с потенциометра, не будет зависеть от динаatronного тока. Недостаток последней схемы питания — большой расход энергии источников вследствие больших потерь в потенциометре. По этой причине потенциометры применяют в маломощных передатчиках, работающих с малыми анодными и экранными токами ламп.

Схемы питания защитных сеток. Защитные сетки, как и экранные, должны иметь нулевой переменный потенциал

относительно катода; постоянный же потенциал сетки может быть различным.

В большинстве схем усилителей на пентодах защитная сетка присоединяется к катоду и имеет нулевой потенциал, однако подача на сетку небольшого положительного напряжения (20—50 в) улучшает форму анодной характеристики лампы и увеличивает крутизну линии критического режима, что приводит к увеличению полезной мощности лампы. При модуляции на защитную сетку необходимо подать на нее отрицательное напряжение (порядка десятков и сотен вольт).

Ток защитной сетки мал и неустойчив, поэтому применение гасящих сопротивлений в ее цепи нежелательно. Защитная сетка всегда питается от потенциометра. Схема питания защитной сетки аналогична схеме рис. 28, б.

§ 17. Схемы питания цепей накала

Большинство генераторных ламп имеет катоды прямого накала, а лампы малой и средней мощностей — подогревные. В передатчиках малой и средней мощности питание цепей накала производится от сети переменного тока через накальные трансформаторы или от аккумуляторных батарей (в подвижных маломощных передатчиках). Если передатчик питается от сети постоянного тока, то питание цепей накала можно производить постоянным и переменным током в зависимости от типа мотор-генератора, используемого в схеме питания.

На рис. 29, а представлена схема питания цепей накала передатчика через накальный трансформатор, имеющий несколько вторичных обмоток для питания нитей накала ламп различных усилителей. Допускается питание нитей накала однотипных ламп от одной обмотки, за исключением ламп генераторов, нить накала которых следует питать от отдельной обмотки. Напряжение накала регулируют реостатом накала со стороны первичной обмотки.

В мощных лампах применяются отдельные трансформаторы накала с большой индуктивностью рассеяния, ограничивающей начальный ток в момент включения, когда нить накала лампы еще не разогрета и имеет минимальное сопротивление.

Питание нитей накала переменным током приводит к появлению паразитной амплитудной модуляции (фон),

возникающей вследствие пульсации температуры нитей накала с удвоенной частотой переменного тока (в лампах с тонкими нитями) и в результате изменения потенциала незаземленного конца катода относительно сетки. Для уменьшения фона, вызванного изменением потенциала, среднюю точку цепи накала заземляют. В каждый момент концы нити будут иметь противофазные потенциалы, а пульсации напряжения смещения относительно концов нити будут также находиться в противофазе и взаимно компенсироваться. Обычно осуществляют искусственный вывод средней точки (рис. 29, б), так как вывод средней точки от вторичной обмотки трансформатора (рис. 29, в) усложняет его конструкцию.

Сопротивления R , образующие среднюю точку, пропускают постоянную составляющую тока лампы. Величина этих сопротивлений должна быть подобрана такой, чтобы в них тратилась незначительная мощность и падение напряжения на этих сопротивлениях было бы малым. Конденсаторы C пропускают переменные высокочастотные составляющие тока лампы и должны иметь большое сопротивление току накала. Если R_f — сопротивление нити накала, то величины R и C должны удовлетворять условиям

$$\frac{1}{\omega C} \ll R > R_f; \frac{1}{\Omega C} \gg R_f,$$

где ω — высокая угловая частота; Ω — угловая частота тока накала.

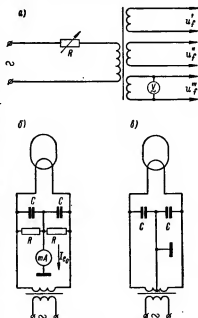


Рис. 29. Схемы питания цепей накала: а — переменным током; б — с выводом искусственной средней точки; в — с выводом средней точки вторичной обмотки трансформатора.

Глава IV

ПРОМЕЖУТОЧНЫЕ УСИЛИТЕЛИ РАДИОПЕРЕДАТЧИКОВ

§ 18. Промежуточные усилители мощности

При рассмотрении блок-схем передатчиков различных диапазонов было выяснено, что промежуточные усилители могут работать, как усилители напряжения и мощности и как умножители частоты. Иногда применяют усилители с неастроеной (апериодической) нагрузкой, что позволяет уменьшить число элементов настройки передатчика и тем самым упростить его эксплуатацию (это особенно ценно в подвижных радиостанциях).

Промежуточный усилитель мощности должен обеспечить заданное напряжение возбуждения и заданную мощность в цепи сетки последующего усилителя, необходимые для его нормальной работы. Кроме того, необходимо: 1) чтобы выходное напряжение усилителя было достаточно постоянным в рабочем диапазоне частот; 2) чтобы изменения режима анодной цепи не сказывались заметным образом на режиме цепи сетки и, следовательно, на режиме анодной цепи предыдущего усилителя или генератора; 3) чтобы паразитные связи в усилителе были минимальными.

При правильном монтаже паразитная связь в усилителях высокой частоты возникает главным образом через проходную емкость ламп.

В промежуточных усилителях следует использовать генераторные пентоды или лучевые тетроды, имеющие малую проходную емкость и большой коэффициент усиления по мощности.

На рис. 30 показана схема промежуточного усилителя радиопередатчика, на рис. 31 — эквивалентная схема для токов высокой частоты, где лампа усилителя заменена эквивалентным генератором тока. Здесь x_1 — реактивное сопротивление левой ветви контура; x_2 и $x_{св}$ — реактивные сопротивления правой ветви контура, образующие

делитель напряжения, с части которого (сопротивление $x_{св}$) снимается напряжение возбуждения U'_{mg1} ; $r_{вх}$ — активная составляющая входного сопротивления последующего усилителя.

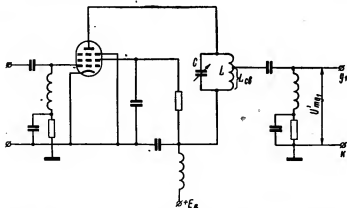


Рис. 30. Принципиальная электрическая схема промежуточного усилителя.

Входная проводимость усилителя $Y_{вх}$ характеризует реакцию данного усилителя на предыдущий.

Расчеты показывают, что проводимость зависит от величины и фазы входного тока, а также от характера анод-

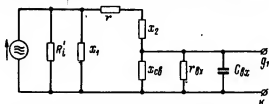


Рис. 31. Эквивалентная схема промежуточного усилителя.

ной нагрузки. В общем случае входная проводимость состоит из активной и емкостной составляющих. Входная емкость учитывается в начальной емкости анодного контура предыдущего усилителя.

Активное входное сопротивление определяется, в основном, электронным током сетки $i_{вх} = i_{g_1}$ (влияние емкостных токов $i_{g_1к}$ и $i_{вг_1}$ будет рассмотрено ниже)

$$r_{вх} = \frac{U'_{mg_1}}{I_{g_1,1}}$$

и характеризует суммарные потери мощности в цепи сетки

$$P'_a = \frac{1}{2} \frac{U'^2_{mg_1}}{r_{вх}}.$$

Для облегчения расчетов входное сопротивление можно пересчитать, заменив его эквивалентным вносным сопротивлением, включенным в анодный контур предыдущего усилителя, для чего используют известную формулу пересчета

$$r_{вн. вх} = \frac{x_{св}^2}{r_{вх}}.$$

В результате активное сопротивление контура r увеличится на величину $r_{вн. вх}$

$$r' = r + r_{вн. вх}.$$

Сопротивление $r_{вн. вх}$ характеризует ту часть потерь энергии в контуре, которая затрачивается на возбуждение последующего усилителя. Чем больше сеточные токи в этом усилителе, тем меньше $r_{вх}$ и больше $r_{вн. вх}$ и тем большая мощность требуется для его возбуждения.

Увеличение активного сопротивления контура снижает его эквивалентное сопротивление

$$R'_3 = \frac{Q^2}{r'} = \frac{Q^2}{r \left(1 + \frac{r_{вн. вх}}{r} \right)} = \frac{R_3}{1 + p_{g_1}^2 \frac{R_3}{r_{вх}}},$$

так как

$$\frac{r_{вн. вх}}{r} = \frac{x_{св}^2}{rr_{вх}} \text{ и } \frac{x_{св}^2}{r} = R_{3II} = p_{g_1}^2 R_3,$$

где R_{3II} — эквивалентное сопротивление контура в точках сетка — катод;

p_{g_1} — коэффициент включения контура со стороны сетки последующего усилителя.

Уменьшение сопротивления эквивалентной нагрузки усилителя учитывают при расчете режима; заданный режим устанавливают при нагрузке R'_z .

Выбор режима работы усилителя. Для промежуточного усилителя необходимо выбрать такой режим работы, в котором амплитуда напряжения возбуждения и, следовательно, амплитуда колебательного напряжения были бы наиболее постоянными во всем рабочем диапазоне частот (см. § 8).

Таким образом, перенапряженный режим является наиболее благоприятным для промежуточных усилителей. Изменение амплитуды возбуждения, определяемое непостоянством напряжения на контуре и коэффициента включения, в данном режиме будет минимальным.

Расчеты показывают, что изменения коэффициента включения, обусловленные влиянием входного сопротивления на общее сопротивление участка сетка—катод, незначительны; основное влияние на нестабильность U'_{mg_1} оказывает нестабильность U_{mk} , вызываемая изменением эквивалентного сопротивления нагрузки в диапазоне:

$$\frac{\Delta U'_{mg_1}}{U'_{mg_1}} \approx \frac{\Delta U_{mk}}{U_{mk}}. \quad (50)$$

Для получения возможно меньшей нестабильности напряжения необходимо, чтобы критический или слабоперенапряженный режим был установлен на частоте с минимальным эквивалентным сопротивлением контура. Тогда при изменении частоты R_z увеличивается, и усилитель перейдет в перенапряженный режим, характеризующийся большим постоянством колебательного напряжения.

Выбор лампы промежуточного усилителя. Номинальная мощность лампы усилителя должна компенсировать потери мощности в контуре и обеспечить мощность возбуждения последующего усилителя, т. е.

$$P_{\sim N} \geq P'_{\sim} + P'_v, \quad (51)$$

где $P'_{\sim} = \frac{U_{mk}^2}{2R_{z \min}}$ — максимальная мощность потерь в контуре;

$P'_v = \frac{U_{mg_1}^2}{2r_{вк}}$ — мощность, необходимая для возбуждения последующего усилителя.

Из неравенства (51) определяется основное условие, которому должна удовлетворять лампа промежуточного усилителя, а именно: минимальное значение высоты импульса анодного тока $i_{a \max}$, обеспечивающее необходимую мощность и заданную величину напряжения возбуждения последующего усилителя при условии, что $U_{mk} \geq U'_{mg_1}$.

$$i_{a \max} \geq \frac{U'_{mg_1}}{\alpha_1 R_{s \min}} + \frac{2P'_b}{\alpha_1 U'_{mg_1}}. \quad (52)$$

Условие (52) является основным критерием для выбора лампы при принятом угле отсечки и заданной амплитуде напряжения возбуждения последующего усилителя.

Если возбуждаемый усилитель работает в буферном режиме без тока управляющей сетки, то мощность возбуждения P'_b равна нулю.

Выбрав лампу, можно рассчитать критический режим. Для этого предварительно выполняют расчет контура и определяют минимальное эквивалентное сопротивление

$$R_{s \min} = Q_{\text{ср}} = Q_{\omega \min} L.$$

Затем рассчитывают нагрузочные характеристики и определяют данные режима при нагрузке $R'_{s \max}$ и неравномерность напряжения возбуждения [ур. (50)].

Схемы междукаскадных связей. Величина связи контура с сеткой возбуждаемого усилителя зависит от режима последнего. Если усилитель работает в недонапряженном режиме, то связь выбирают слабой в целях повышения стабильности напряжения возбуждения, которое сильно влияет на анодный ток возбуждаемого усилителя. При работе усилителя в перенапряженном режиме можно допустить большую неравномерность возбуждения и, следовательно, более сильную связь.

Различают три основных типа связи промежуточного усилителя с возбуждаемым: индуктивную (рис. 32, а), автотрансформаторную (рис. 30) и емкостную (рис. 32, б).

Коэффициент включения контура со стороны сетки

$$p_{g_1} = \frac{U'_{mg_1}}{U_{mk}} \approx \frac{U'_{mg_1}}{0,9E_a},$$

где U_{mk} и E_a относятся к возбуждающему усилителю, а U'_{mg_1} — к возбуждаемому.

В зависимости от схемы величины элемента связи (M , $L_{св}$ или $C_{св}$) можно определить из условий:

$$M = \rho_{g_1} L; \quad L_{св} = \rho_{g_1} L; \quad C_{св} = C_1 + C_{вх} = \frac{C_2}{\rho_{g_1}}.$$

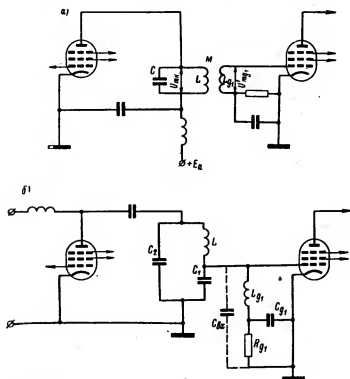


Рис. 32. Схемы междукаскадных связей: а — индуктивной; б — емкостной.

В схеме с индуктивной связью применяют последовательное питание цепи сетки. Такая схема выгодна на длинных и средних волнах. На коротких волнах начинает сказываться влияние входной емкости, и собственная частота цепи сетки $\omega_{0g_1} = \frac{1}{\sqrt{L_{g_1} C_{вх}}}$ может оказаться близкой к рабочим частотам, вследствие чего схема превра-

тится в двухконтурную, а коэффициент включения будет зависеть от частоты. Для устойчивости работы схемы с индуктивной связью должно быть выполнено условие $\omega_{\min} \ll \omega_{ог}$.

Схема с автотрансформаторной связью (с полным и неполным включением контура) является наиболее распространенной. Она используется как на длинных, так и на коротких волнах. В схеме с автотрансформаторной связью применяют параллельное питание цепи сетки. Входное сопротивление и емкость пересчитываются в контур с учетом величины коэффициента включения, который подбирают изменением положения щупа связи на катушке L .

Схема с емкостной связью, так же как и автотрансформаторная строится с параллельным питанием цепи сетки. Разделительный конденсатор в этом случае не нужен, и напряжение на сетку подается непосредственно с контура. Схему с емкостной связью применяют в диапазоне длинных и средних волн, так как в этой схеме ослабляются высокочастотные паразитные колебания, возникающие в контурах, образованных входной емкостью и индуктивностью соединительных проводов. Паразитные колебания срываются потому, что сопротивление участка сетка—катод лампы на высоких частотах оказывается малым из-за наличия емкости связи.

К недостаткам связи следует отнести неудобство регулировки напряжения возбуждения.

Для улучшения фильтрации емкость связи C_1 включают в индуктивную ветвь контура.

§ 19. Промежуточные умножители частоты

Умножитель частоты представляет собой усилитель, выделяющий в нагрузке напряжения и мощность кратной частоты.

Так как при умножении, кроме процесса усиления, происходит преобразование частоты, то умножитель может работать только в режиме II рода. Его настраивают на ту гармонику основной частоты возбуждения, мощность и напряжение которой необходимо выделить.

Таким образом, усилитель при соответствующей настройке контура и подборе режима может работать как умножитель.

Умножение частоты (в основном удвоение и утроение) широко используется в современных передатчиках, особенно в диапазонах коротких и метровых волн. Умножение частоты позволяет: 1) повысить стабильность частоты передатчика; 2) применить кварцевую стабилизацию на основной частоте кварца при рабочих волнах передатчика меньше 35—40 м; 3) расширить диапазон волн передатчика при более узком диапазоне генератора; 4) повысить устойчивость работы передатчика.

При большом общем умножении частоты (в 10—20 раз и более) в отдельных ступенях передатчика ограничиваются удвоением или утроением частоты. Это приводит к увеличению числа умножителей и усложняет схему передатчика.

Непосредственное выделение более высоких гармоник (4-й, 5-й и т. д.) в передатчиках нерационально, так как ток и мощность этих гармоник очень малы и режим ламп будет тяжелым. Для работы таких умножителей потребуются чрезмерно большие напряжения возбуждения и смещения.

Колебания в цепи сетки умножителей частоты имеют меньшую частоту, чем в цепи анода, и один импульс анодного тока приходится на два периода колебательного напряжения на контуре при удвоении и на три периода при утроении частоты (при усилении один импульс тока приходится на один период колебательного напряжения).

По этим причинам полезная мощность в режиме умножения ($P_{\sim n}$) будет всегда меньше, чем в режиме усиления (P_{\sim}), примерно в число раз умножения n , т. е.

$$P_{\sim n} \approx \frac{P_{\sim}}{n}.$$

Кратное соотношение периодов колебаний на сетке T_{g_1} и на аноде T_a ($T_{g_1} = nT_a$) заставляет уменьшать угол отсечки анодного тока. Действительно, если принять такое значение угла отсечки (θ_{yc}), при котором наблюдается максимум первой гармоники анодного тока, а именно $\theta_{yc} = 120^\circ$, то при умножении период в анодной цепи уменьшается в n раз и, следовательно, угол отсечки

$$\theta_{ум} = \frac{\theta_{yc}}{n} = \frac{120^\circ}{n}.$$

После этих предварительных замечаний перейдем к более подробному анализу работы удвоителей и утроителей частоты.

Удвоение частоты. При удвоении частоты анодный контур настраивается на частоту второй гармоники, и на контуре выделяются напряжение и мощность этой частоты (напряжением остальных частот на контуре можно пренебречь). Особенность удвоения заключается в том, что напряжение в анодной цепи меняется с удвоенной частотой по сравнению с напряжением возбуждения и импульсами тока.

На рис. 33 показаны фазовые соотношения напряжений и токов в удвоителе.

При действии на сетке напряжения

$$e_{g1} = U_{mg1} \cos \omega t + E_{g1}$$

мгновенное напряжение на аноде

$$e_a = E_a - U_{mk1} \cos 2\omega t,$$

где $U_{mk1} = I_a R_a$, — амплитуда напряжения второй гармоники на контуре;

I_a , — амплитуда второй гармоники тока;

R_a , — эквивалентное сопротивление контура току второй гармоники.

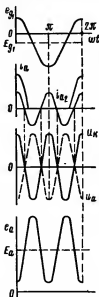


Рис. 33. Фазовые соотношения токов и напряжений в удвоителе частоты.

При удвоении частоты динамическая характеристика оказывается нелинейной, несмотря на то, что статические характеристики приняты линейными. Это объясняется наличием в анодной цепи колебаний удвоенной частоты по сравнению с колебаниями в сеточной цепи.

Нелинейность динамической характеристики приводит к усложнению формы импульсов анодного тока, которые в недонапряженном режиме могут быть и остроконечными и со впадиной.

Исследования уравнения анодного тока удвоителя показывают, что при выполнении условия $U_{mg1} > 4U_{mk1}$ импульс тока будет остроконечным, близким к косинусоидальному, а при $U_{mg1} < 4U_{mk1}$, — со впадиной.

В первом случае значение тока $i'_{a \max}$ при $\omega t = 0$ будет высотой импульса, а во втором — величиной тока в провале.

При этом оказывается, что коэффициенты разложения импульса тока удвоителя α'_0 и α'_2 будут зависеть не только от угла отсечки, но и от отношения амплитуд напряжений

$$\frac{U_{mg_1}}{U_{mk_2}}.$$

Так как при выполнении условия $U_{mg_1} > 4U_{mk_2}$ (что, как правило, выполняется для большинства схем удвоителей на лучевых тетрадах или пентодах) импульс тока близок к косинусоидальному, то в этом случае можно при расчете пользоваться обычными коэффициентами разложения α_0 и α_2 косинусоидального импульса.

Полезная мощность лампы, развиваемая в режиме удвоения частоты, и к. п. д. удвоителя зависят от угла отсечки импульса анодного тока.

Амплитуда второй гармоники достигает максимума при угле отсечки $\theta = 55 - 60^\circ$ (в зависимости от величины отношения $\frac{U_{mg_1}}{U_{mk_2}}$). При этом $\alpha'_2 \approx 0,28$, а полезная мощность лампы

$$P_{\sim 2} = \frac{1}{2} I_a U_{mk_2} = \frac{1}{2} \alpha'_2 i'_{a \max} U_{mk_2} \approx 0,14 i'_{a \max} U_{mk_2}.$$

Ориентировочное значение номинальной мощности в режиме удвоения оказывается значительно меньше, чем в режиме усиления:

$$P_{\sim 2N} \approx (0,5 - 0,6) P_{\sim N}.$$

Это соотношение оказывается несправедливым при условии неизменного использования лампы по постоянной составляющей анодного тока, когда постоянные составляющие анодного тока как в режиме усиления, так и в режиме удвоения берутся одинаковыми и равными допустимому значению:

$$I_{a, \text{ус}} = I_{a, \text{удв}} = I_{a, \text{доп}}.$$

В таком режиме (обычно используемом в диапазоне метровых волн) полезная мощность лампы уменьшается всего на 20—25% по сравнению с мощностью в режиме усиления.

Величина угла отсечки в сильной степени влияет на к. п. д. удвоителя. Чем больше угол отсечки, тем выше потери на аноде лампы и меньше к. п. д. Это объясняется тем, что максимум мгновенных потерь на аноде $p_a = i_a e_a$ наступает перед отсечкой анодного тока и потери на аноде будут значительно меньше, если отсечка тока наступит при меньшем анодном напряжении.

В удвоителе анодное напряжение меняется с удвоенной частотой и уже при угле отсечки 60° достигает значительной величины:

$$e_a|_{\omega t=60^\circ} = E_a - U_{mk} \cos 120^\circ = E_a (1 - \xi \cos 120^\circ) \approx 1,5 E_a,$$

в то время как в усилителе при тех же условиях анодное напряжение оказывается меньше:

$$e_a|_{\omega t=60^\circ} = E_a (1 - \xi \cos 60^\circ) \approx 0,5 E_a.$$

В результате потери на аноде удвоителя будут больше, чем в усилителе из-за увеличения анодного напряжения в моменты времени, предшествующие отсечке тока; с уменьшением угла отсечки потери уменьшаются.

На практике угол отсечки в удвоителе выбирают равным $55-60^\circ$, при этом к. п. д. будет около $50-60\%$:

$$\eta_2 = \frac{a_2'}{2a_0} \xi \approx \frac{0,28}{2 \cdot 0,22} 0,9 \approx 0,57.$$

Большие потери на аноде ограничивают полезную мощность лампы, которую следует выбирать, исходя из допустимых потерь и к. п. д.

$$P_{\sim 2} \leq P_{a \text{ доп}} \frac{\eta_2}{1 - \eta_2}.$$

Ориентировочно мощность потерь на аноде удвоителя можно определить по соотношению

$$P_{a_2} \approx (0,4 - 0,5) P_{\sim N},$$

где $P_{\sim N}$ — номинальная мощность лампы в режиме усиления. Чтобы при сохранении критического режима получить малый угол отсечки, необходимы большие величины U_{mg_1} и E_{g_1} . Напряженне возбуждения может оказаться того же порядка, что и колебательное напряжение.

Для увеличения колебательного напряжения U_{mk} , приходится увеличивать эквивалентное сопротивление нагрузки $R_{э2}$.

Таким образом, для перевода усилителя в режим удвоения необходимо увеличить напряжение смещения и возбуждения, перестроить контур на вторую гармонику и увеличить его эквивалентное сопротивление (например, увеличением коэффициента включения).

Расчет режима удвоителя во многом подобен расчету усилителя и производится в том же порядке, с учетом особенностей, связанных с определенным значением $\xi_{кр}$, E_{g1} и U_{mg1} .

Утроение частоты. При утроении частоты стоит задача выделить третью гармонику анодного тока, поэтому работа умножителя должна происходить с малым углом отсечки импульса анодного тока (порядка 40°), а анодный контур утроителя должен настраиваться на третью гармонику анодного тока. В утроителе частоты анодное напряжение меняется с утроенной частотой по сравнению с напряжением на сетке и импульсами анодного тока

$$e_{g1} = U_{mg1} \cos \omega t + E_{g1},$$

$$e_a = E_a - U_{mk} \cos 3\omega t.$$

Фазовые соотношения в утроителе частоты показаны на рис. 34.

В утроителе частоты значительно возрастает мощность потерь на аноде, так как даже при малых углах отсечки напряжение на аноде достигает значительной величины. Например, при $\theta = 60^\circ$

$$e_a|_{\omega t=60^\circ} = E_a - U_{mk} \cos 180^\circ = E_a(1 + \xi) \approx 2E_a,$$

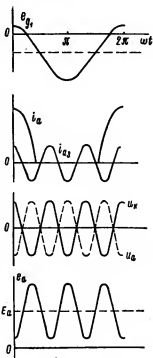


Рис. 34. Фазовые соотношения напряжений и токов в утроителе частоты.

т. е. на 50% больше, чем при удвоении, и в четыре раза больше, чем при усилении.

Динамические характеристики утронтеля оказываются нелинейными, поэтому импульс анодного тока будет иметь сложную форму (с провалом) уже в недонапряженном режиме.

Исследование формы тока показывает, что при $U_{mg_1} > 9U_{mk_1}$ форма импульса остроконечна и близка к косинусоидальной, а при $\omega t = 0$ наблюдается максимум импульса тока ($i_{a \max}$); при $U_{mg_1} < 9U_{mk_1}$ наблюдается провал в импульсе, а при $\omega t = \omega t_1$ — максимум импульса тока.

В экранированных лампах $D \ll 1$ поэтому почти всегда выполняется условие $U_{mg_1} > 9U_{mk_1}$, что позволяет (с некоторым приближением) считать импульс тока косинусоидальным и пользоваться коэффициентами разложения α_0 и α_2 . Когда α_2 достигает максимума (при $\theta \approx 40^\circ$), утронтель дает максимальную полезную мощность

$$P_{\sim 3} = \frac{1}{2} I_{a_2} U_{mk_1} = \frac{1}{2} \alpha_2 i_{a \max} U_{mk_1}.$$

Полагая $\alpha_2 \approx 0,18$, получим

$$P_{\sim 3} \approx 0,09 i_{a \max} U_{mk_1}.$$

Номинальная мощность лампы в режиме утроения связана с ее мощностью в режиме усиления соотношением (полученным на основании опытных данных)

$$P_{\sim 3N} \approx (0,33 - 0,4) P_{\sim}.$$

При неизменном использовании лампы по постоянной составляющей полезная мощность при утроении уменьшается на 35—40% по сравнению с режимом усиления.

К. п. д. в утронтеле оказывается низким, даже при угле отсечки 40° .

На практике к. п. д. утронтеля не превышает 50%, а мощность рассеяния на аноде приблизительно равна номинальной мощности:

$$P_{a_1} \approx P_{\sim 3N} = (0,33 - 0,4) P_{\sim}.$$

Особенность режима утроения заключается в необходимости иметь значительные напряжения смещения и возбуждения, которые оказываются одного порядка с коле-

бательным напряжением на контуре, а также в необходимости использовать контуры с высоким эквивалентным сопротивлением, что трудно осуществить при работе на коротких волнах.

Расчет утронителя ведется так же, как и удвоителя.

Для перевода лампы из режима усиления в режим утроения необходимо уменьшить угол отсечки до $40\text{--}45^\circ$, увеличить отрицательное смещение, напряжение возбуждения и эквивалентное сопротивление контура для третьей гармоники.

В ряде случаев один и те же промежуточные ступени передатчика используются на одних поддиапазонах в качестве усилителей, а на других в качестве умножителей. Перевод лампы из одного режима в другой связан (кроме перестройки анодного контура) с изменением напряжений смещения и возбуждения, что достигается переключением связи с контуром предыдущего усилителя. Если установить угол отсечки одинаковым во всех поддиапазонах, то можно избежать дополнительного переключения.

Если необходимо работать в режимах усиления и удвоения, то следует принять $\theta = 55\text{--}70^\circ$, а при усилении и утроении — $\theta = 40\text{--}55^\circ$.

§ 20. Промежуточный усилитель с аperiodической нагрузкой

В подвижных передатчиках малой и средней мощности часто применяют аperiodические промежуточные усилители, т. е. такие усилители, нагрузка которых в незначительной степени зависит от частоты и не обладает резонансными свойствами. Используя аperiodические усилители, можно сократить число элементов настройки передатчика и ослабить влияние на предыдущий усилитель.

Отсутствие резонансной нагрузки в анодной цепи аperiodического усилителя ухудшает фильтрацию гармоник и уменьшает полезную мощность и к. п. д. Чтобы ослабить влияние понижения энергетических показателей, аperiodический усилитель часто делают маломощным и используют в качестве буферного.

На рис. 35, а изображена схема аperiodического усилителя, а на рис. 35, б — эквивалентная схема для токов высокой частоты. В качестве нагрузки лампы в большинстве случаев используется дроссель, зашунтированный малым активным сопротивлением r .

При составлении эквивалентной схемы учитывают влияющие емкости C в анодной цепи, которая складывается из емкостей лампы ($C_{\text{вых}_1}$, $C_{\text{вых}_2}$), дросселя ($C_{\text{др}}$) и монтажа (C_M):

$$C = C_{\text{вых}_1} + C_{\text{вых}_2} + C_{\text{др}} + C_M.$$

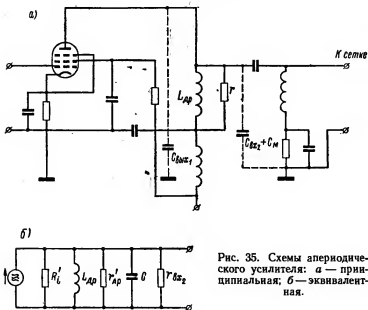


Рис. 35. Схемы аperiodического усилителя: а — принципиальная; б — эквивалентная.

Эта емкость, равная 30—60 пф, образует с индуктивностью дросселя контур $L_{\text{др}}$, C с собственной частотой ω_a

$$\omega_a = \frac{1}{\sqrt{L_{\text{др}} C}},$$

зашунтированный эквивалентным сопротивлением R_a .

Сопротивление R_a складывается из трех составляющих — сопротивления шунта r , входного сопротивления последующего усилителя $r_{\text{вх}_2}$ и активного сопротивления дросселя $r_{\text{др}}$, пересчитанного с последовательного соединения на параллельное

$$r'_{\text{др}} = \frac{\omega^2 L_{\text{др}}^2}{r_{\text{др}}} = \frac{\omega_a^2 L_{\text{др}}^2}{r_{\text{др}}} \left(\frac{\omega}{\omega_a} \right)^2 = b_j^2 \frac{Q^2}{r_{\text{др}}},$$

где $b_f = \frac{\omega}{\omega_a}$; $\rho = \omega_a L_{др}$ — характеристическое сопротивление контура.

Таким образом,

$$\frac{1}{R_a} = \frac{1}{r} + \frac{1}{r'_{др}} + \frac{1}{r_{вх2}}.$$

Требование постоянства выходного напряжения промежуточного усилителя заставляет уменьшить активное сопротивление R_a по сравнению с реактивным, причем общее эквивалентное сопротивление нагрузки должно как можно меньше зависеть от частоты. Выполнение последнего требования положено в основу выбора величины индуктивности дросселя и собственной частоты анодной цепи.

Возможны три случая выбора собственной частоты анодной цепи.

В первом случае собственная частота анодной цепи f_a выбирается как среднее геометрическое крайних частот диапазона

$$f_a = \sqrt{f_{\min} f_{\max}},$$

а индуктивность дросселя — из условия равенства эквивалентных сопротивлений анодной нагрузки на крайних частотах диапазона

$$(z_a)_{f_{\min}} = (z_a)_{f_{\max}}.$$

Во втором случае (обычно при работе на коротких волнах) собственную частоту f'_a выбирают значительно меньше минимальной частоты диапазона

$$f'_a \leq (0,3 - 0,5) f_{\min}$$

и по принятому значению C находят $L_{др}$

$$L_{др} = \frac{1}{4\pi^2 f_a'^2 C}.$$

В третьем случае (обычно при работе на длинных и средних волнах) собственную частоту f_a выбирают больше максимальной частоты:

$$f_a \geq (2 - 3) f_{\max},$$

тогда

$$L_{др} = \frac{1}{4\pi^2 f_a^2 C}.$$

Следует иметь в виду, что при $f_a \leq f_{\min}$ эквивалентное сопротивление нагрузки z_a уменьшается с частотой, а при $f_a \geq f_{\max}$ — увеличивается.

Малая величина анодной нагрузки приводит к сильно недонапряженному режиму работы усилителя, при этом резко падают к. п. д. и полезная мощность. Чтобы обеспечить заданную величину напряжения возбуждения последующего усилителя ($U'_{m_{g_1}}$), анодное напряжение данного усилителя (E_a) следует выбрать достаточно большим (в 2—3 раза больше $U'_{m_{g_1}}$).

В усилителях с аперiodической нагрузкой наряду с режимом II рода применяется режим I рода без отсечки анодного тока. Режим I рода еще более ухудшает энергетические соотношения в усилителе, но в ряде случаев с этим приходится мириться, чтобы предотвратить значительные искажения выходного напряжения и формы анодного тока последующего усилителя, которые наблюдаются при работе с отсечкой анодного тока в режиме II рода, так как аперiodическая нагрузка приводит к значительным искажениям формы выходного напряжения. Эта нагрузка не обладает фильтрующими свойствами, и на ней создается падение напряжения не только от прохождения тока основной частоты, но и от всех гармоник.

Глава V

ВЫХОДНЫЕ УСИЛИТЕЛИ МОЩНОСТИ РАДИОПЕРЕДАТЧИКОВ

§ 21. Общие сведения

Выходные (оконечные) усилители служат для выделения заданной мощности в передающую антенну или фидерную линию, связывающую антенну с передатчиком.

Выходные усилители — наиболее мощные ступени передатчика. Они требуют наибольшего напряжения и мощности возбуждения и являются основными потребителями энергии источников питания.

К выходным усилителям предъявляются следующие технические требования:

1) они должны обеспечить заданную полезную мощность в антенне при максимально возможном к. п. д.

2) они должны иметь минимальное число элементов настройки, причем настройку необходимо осуществлять наименьшим числом операций (это требование относится к подвижным передатчикам малой и средней мощности);

3) в анодной цепи должна осуществляться наилучшая фильтрация высших гармоник с тем, чтобы уровень гармоник в антенне был наименьший;

4) выходные усилители подвижных передатчиков, как правило, должны рассчитываться для работы с различными типами антенн, имеющих разные параметры, которые претерпевают значительное изменение в диапазоне частот (при расчете всегда выбирается какой-либо основной тип антенны).

Выходные усилители классифицируют по схеме включения ламп и схеме включения антенны. В первом случае различают однотактные и двухтактные схемы, во втором — простые и сложные.

В простых схемах (рис. 36, а) антенна вместе с элементами настройки и связью образует контур, являющийся основной нагрузкой усилителя; в сложных схемах

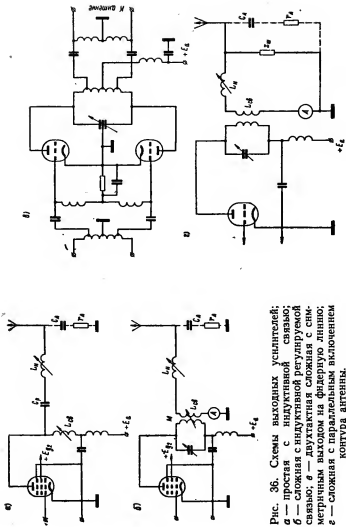


Рис. 36. Схемы выходных усилителей;
 а — простая с индуктивной связью;
 б — сложная с индуктивной регулируемой
 связью; в — двухтактная сложная с сим-
 метричным выходом на фидерную линию;
 г — сложная с параллельным включением
 контура антенны.

(рис. 36, б—г) в анодную цепь лампы помещают промежуточный контур, который связывается с антенной и передает в нее полезную мощность.

В зависимости от типа антенны схемы выхода могут быть симметричными (рис. 36, в) и несимметричными (рис. 36, а, б, г), последовательными (рис. 36, а, б) и параллельными (рис. 36, г).

Симметричные схемы выхода применяются при работе с симметричными антеннами. В этих схемах выходные клеммы всегда имеют равные по величине, но противоположные по знаку потенциалы относительно корпуса (земли). В несимметричных схемах выхода потенциал одной из выходных клемм присоединен к корпусу (земле) и всегда равен нулю.

При несимметричной схеме выхода и симметричных антеннах применяют согласующее устройство, простейшая схема которого представлена на рис. 37.

Эта схема позволяет получить симметричный выход при несимметричном входе.

Применение последовательных или параллельных схем питания антенны определяется величиной ее активного сопротивления.

Антенны средних волн имеют, как правило, емкостный характер входного сопротивления ($x_A < 0$) и небольшую величину активной составляющей r_A . Настройка антенного контура в этом случае осуществляется с помощью «удлинительных» катушек индуктивности (рис. 36, а, б). Такие антенны легко согласуются с промежуточным контуром выходного усилителя.

Когда сопротивление антенны носит индуктивный характер ($x_A > 0$), настройка антенного контура производится емкостью.

В обоих указанных случаях антенна вместе с элементами настройки и связи представляет последовательный открытый колебательный контур и легко согласуется с промежуточным контуром выходного усилителя, обес-

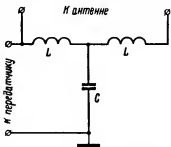


Рис. 37. Схема согласующего устройства для связи симметричной антенны с несимметричным выходом передатчика.

печивая высокий к. п. д. промежуточного контура. Это объясняется тем, что, как будет показано ниже, малое активное сопротивление антенного контура трансформируется в промежуточный контур в виде высокого вносимого сопротивления (при конструктивно допустимой величине коэффициента связи с антенной и высоким к. п. д.).

Наименьший к. п. д. антенного контура получается при емкостном характере сопротивления антенны, так как включение удлинительной катушки увеличивает сопротивление потерь антенного контура (особенно при малых величинах активного сопротивления антенны).

На практике часто приходится работать с антеннами, имеющими высокое активное сопротивление. Большое активное сопротивление антенны снижает сопротивление, вносимое в промежуточный контур (даже при сильной связи с ним), и уменьшает к. п. д. последнего и мощность в антенне.

Для согласования высокоомной антенны с промежуточным контуром применяют параллельную схему настройки антенны, подключая параллельно ей реактивное сопротивление $x_{\text{ш}}$ (рис. 36, з). В этом случае снижается активное сопротивление антенны и облегчаются условия согласования ее с промежуточным контуром.

Энергетический расчет передатчика начинается с расчета выходного усилителя. При этом необходимо знать основные эквивалентные параметры антенны на тех частотах, на которых рассчитывается передатчик, а именно ее сопротивление: реактивное x_A и активное r_A

$$x_A = \omega L_A - \frac{1}{\omega C_A},$$

$$r_A = r_{\Sigma} + r_n,$$

где r_{Σ} — сопротивление излучения антенны;

r_n — сопротивление потерь антенны;

C_A — эквивалентная емкость антенны;

L_A — эквивалентная индуктивность антенны.

Эквивалентные параметры антенны определяются для тока в точках подключения антенны к передатчику или фидерной линии.

§ 22. Простые одноконтурные схемы выхода

Эквивалентная простая схема выхода в общем случае имеет вид, изображенный на рис. 38, где $x_{\text{св}}$, $r_{\text{св}}$ — реактивное и активное сопротивление связи; x_n , r_n — реактив-

ное и активное сопротивления элементов настройки;
 x_A , r_A — реактивное и активное сопротивления антенны.

Для образования в анодной цепи (между точками a и k) настроенного колебательного контура необходимо выполнить условие резонанса:

$$x_{св} = -(x_H + x_A) \text{ или } x_{св} + x_A + x_H = 0. \quad (53)$$

Это условие обеспечивается (при заданных параметрах антенны и частоте) подбором сопротивлений x_H и $x_{св}$.

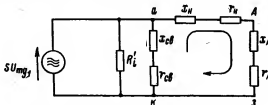


Рис. 38. Эквивалентная простая схема выхода.

Условия уравнения (53) могут быть выполнены в различных вариантах схемы в зависимости от характера сопротивления антенны.

Из энергетического расчета режима усилителя известно эквивалентное сопротивление нагрузки $R_s = \frac{U_{mk}}{I_{a1}}$, обеспечивающее заданный режим работы усилителя. Такое сопротивление должен иметь анодный контур простой схемы в точках подключения лампы, т. е.

$$R_{s,ак} = \frac{Q^2}{r_{св} + r_H + r_A} = \frac{Q^2}{r} = \frac{x_{св}^2}{r}, \quad (54)$$

где $Q = x_{св}$ — реактивное сопротивление ветви контура при резонансе (волновое, или характеристическое, сопротивление);

r — полное активное сопротивление контура.

Таким образом, приходим к другому важному требованию, предъявляемому к контуру:

$$R_s = \frac{U_{mk}}{I_{a1}} = R_{s,ак} = \frac{x_{св}^2}{r}.$$

Уравнения (53) и (54) позволяют рассчитать контур простой схемы по заданным параметрам антенны, частоте и эквивалентному сопротивлению нагрузки усилителя.

На рис. 39 приведены характеристики настройки простой схемы выхода. Из характеристик следует, что при расстройке антенного контура резко падает полезная

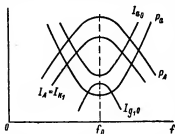


Рис. 39. Характеристики настройки простой схемы выхода.

мощность P_A , ток в контуре $I_k = I_A$, а мощность потерь на аноде P_a увеличивается. Для предотвращения значительного разогрева анода схему желательно настраивать при пониженном анодном напряжении.

Настройка контура производится по максимуму тока в антенном контуре или по максимуму сеточного тока. Анодный ток I_a в момент настройки достигает минимума.

Увеличение мощности потерь на аноде при расстройке или обрыве антенны — один из основных недостатков простой схемы, который ограничивает ее применение. Другой недостаток простой схемы — трудность согласования лампы с антенной в рабочем диапазоне волн, особенно при работе с большими сопротивлениями антенны.

Простые схемы выхода, несмотря на указанные недостатки и плохую фильтрацию гармоник, находят применение в некоторых маломощных передатчиках, работающих при низких анодных напряжениях.

§ 23. Сложные однитактные схемы выхода

В сложных схемах выхода передача энергии от усилителя в антенну происходит через промежуточный контур, находящийся в анодной цепи выходной лампы. В результате получается система двух связанных контуров: промежуточного и антенного.

Антенный контур образуется эквивалентными параметрами антенны r_A и x_A , а также элементами настройки и связи с промежуточным контуром.

Оба контура настраиваются на рабочую частоту и между ними подбирается оптимальная связь.

Сложная схема выхода получила на практике широкое распространение. В ней настройка антенны не связана с подбором оптимального сопротивления нагрузки лампы, как в простой схеме, и это в большинстве случаев позволяет повысить к. п. д. схемы.

Важным преимуществом сложной схемы является значительное улучшение фильтрации гармоник в антенне.

Не останавливаясь более подробно на других преимуществах сложной схемы (они будут указаны далее), рассмотрим ее работу при индуктивной связи с антенной (при изменении характера связи энергетические соотношения не изменяются).

Как известно из теории связанных контуров, их взаимное влияние характеризуется так называемыми *вносимыми* или *пересчитанными* сопротивлениями $r_{\text{вн}}$ и $x_{\text{вн}}$.

Физический смысл этих сопротивлений заключается в следующем:

1) вносимое активное сопротивление из антенного контура в промежуточный $r_{\text{вн. АК}}$ определяет ту часть высокочастотной мощности, которая расходуется в антенном контуре; 2) вносимое реактивное сопротивление из антенного контура в промежуточный $x_{\text{вн. АК}}$ характеризует изменение реактивного сопротивления промежуточного контура, вызванное влиянием антенного контура.

Введение понятия вносимых сопротивлений дает возможность заменить двухконтурную эквивалентную схему выходного усилителя одноконтурной. На рис. 40 представлена приведенная эквивалентная схема выходного усилителя (обозначения элементов соответствуют ранее принятым).

Связь между контурами характеризуется коэффициентом связи

$$k_{\text{св}} = \frac{M}{\sqrt{L L_{\text{АК}}}}$$

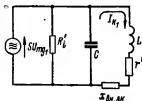


Рис. 40. Эквивалентная приведенная сложная схема выхода.

и параметром связи

$$n = \frac{k_{св}}{k_{св.кр}}, \quad (55)$$

где M — коэффициент взаимной индукции;
 $L_{AK} = L_{св} + L_n$ — общая индуктивность антенного контура;
 $k_{св.кр}$ — коэффициент связи, соответствующий критической связи между контурами.

Различают три степени связи в зависимости от величины ее параметра n :

1) при $n < 1$ связь меньше критической; при этом реактивными влияниями контуров друг на друга можно пренебречь и полагать $x_{вн. AK} \approx 0$; активное вносимое сопротивление $r_{вн. AK}$ мало;

2) при $n = 1$ связь называется критической; при этой связи выполняется условие

$$k_{св.кр} = \sqrt{dd_{AK}},$$

где d и d_{AK} — затухания промежуточного и антенного контуров; в случае постоянства колебательной мощности, развиваемой в промежуточном контуре, критическая связь позволяет получить максимум тока и мощности в антенном контуре; вносимые и собственные активные сопротивления контуров при критической связи равны;

3) при $n > 1$ связь больше критической; вносимые активное и реактивное сопротивления увеличиваются по сравнению с критической связью.

Теория связанных цепей дает следующие соотношения для определения вносимых сопротивлений.

Вносимые сопротивления

$$r_{вн. AK} = \frac{x_{св}^2 r_{AK}}{z_{AK}^2}; \quad x_{вн. AK} = \frac{x_{св} x_{AK}}{z_{AK}^2}. \quad (56)$$

При условии настройки контуров в резонанс (что всегда выполняется в сложной схеме) данные выражения упростятся, так как сопротивление антенного контура станет чисто активным:

$$z_{AK} = \sqrt{r_{AK}^2 + x_{AK}^2} = r_{AK}; \quad x_{AK} = 0.$$

Тогда

$$r_{\text{вн. АК}} = \frac{x_{\text{св}}^2}{r_{\text{АК}}} = \frac{\omega^2 M^2}{r_{\text{АК}}}; \quad x_{\text{вн. АК}} = 0,$$

где $r_{\text{АК}} = r_{\text{А}} + r_{\text{св}} + r_{\text{н}}$ — полное активное сопротивление антенного контура.

При критической связи $r_{\text{вн. АК}} = r$ и параметр связи n можно представить в виде

$$n = \frac{k_{\text{св}}}{k_{\text{св. кр}}} = \frac{k_{\text{св}}}{\sqrt{dd_{\text{АК}}}} = \sqrt{\frac{r_{\text{вн. АК}}}{r}}. \quad (57)$$

В сложной схеме основными энергетическими показателями являются: полная колебательная мощность P_{\sim} , вырабатываемая лампой; мощность потерь в контуре P'_{\sim} ; мощность $P_{\text{АК}}$, передаваемая из промежуточного контура в антенный, к. п. д. промежуточного контура $\eta_{\text{ПК}}$.

Указанные величины связаны соотношениями

$$\left. \begin{aligned} P_{\sim} &= P'_{\sim} + P_{\text{АК}}; \\ \eta_{\text{ПК}} &= \frac{P_{\text{АК}}}{P_{\sim}} = \frac{P_{\text{АК}}}{P'_{\sim} + P_{\text{АК}}}. \end{aligned} \right\} \quad (58)$$

Эти соотношения зависят от степени связи между контурами, т. е. от параметра связи n .

Увеличение связи приводит к увеличению вносимого в промежуточный контур сопротивления, и полное активное сопротивление контура будет равно

$$r' = r + r_{\text{вн. АК}} = r \left(1 + \frac{r_{\text{вн. АК}}}{r} \right).$$

Увеличение сопротивления r' приводит к уменьшению эквивалентного сопротивления промежуточного контура

$$R_3' = \frac{e^2}{r'} = \frac{e^2}{r \left(1 + \frac{r_{\text{вн. АК}}}{r} \right)} = \frac{R_3}{1 + n^2}, \quad (59)$$

где $R_3 = \frac{e^2}{r}$ эквивалентное сопротивление одиночного промежуточного контура.

Из уравнения (59) следует, что отношение эквивалентных сопротивлений R_3 и R_3' зависит от параметра связи n :

$$a = \frac{R_3}{R_3'} = 1 + n^2. \quad (60)$$

Коэффициент a показывает, во сколько раз уменьшается эквивалентное сопротивление промежуточного контура по сравнению с эквивалентным сопротивлением одиночного промежуточного контура при данной степени связи.

Определим мощность, вырабатываемую лампой:

$$P_{\sim} = \frac{1}{2} I_{a_1}^2 R_s = \frac{1}{2} I_{\kappa_1}^2 r' = \frac{1}{2} I_{\kappa_1}^2 r + \frac{1}{2} I_{\kappa_1}^2 r_{\text{вн. АК}}. \quad (61)$$

Очевидно, что первое слагаемое уравнения (61) представляет мощность потерь в промежуточном контуре, а второе — мощность, отдаваемую в антенный контур:

$$P' = \frac{1}{2} I_{\kappa_1}^2 r; \quad P_{\text{АК}} = \frac{1}{2} I_{\kappa_1}^2 r_{\text{вн. АК}}.$$

Мощность в антенном контуре можно выразить также через ток и параметры этого контура:

$$P_{\text{АК}} = \frac{1}{2} I_{\kappa_1}^2 r_{\text{вн. АК}} = \frac{1}{2} I_A^2 r_{\text{АК}}. \quad (62)$$

Уравнение (62) определяет вносимое сопротивление $r_{\text{вн. АК}}$ как сопротивление антенного контура, пересчитанное из цепи с током I_A в цепь с током I_{κ_1} , при условии сохранения энергетического баланса в схеме.

Из уравнения (62) можно определить соотношение токов в антенном и промежуточном контурах:

$$\left(\frac{I_A}{I_{\kappa_1}}\right)^2 = \frac{r_{\text{вн. АК}}}{r_{\text{АК}}} = n^2 \frac{C_A}{C} \frac{d}{d_{\text{АК}}}. \quad (63)$$

Из выражения (63) следует, что для увеличения тока и мощности в антенном контуре, а следовательно, и для увеличения вносимого сопротивления необходимо увеличить отношение емкостей C_A и C , т. е. уменьшить емкость промежуточного контура. Это положение необходимо учитывать при расчете схемы.

К. п. д. промежуточного контура $\eta_{\text{ПК}}$ является важным параметром сложной схемы, характеризующим эффективность передачи энергии в антенну.

Определим этот к. п. д., выразив его через параметры контуров и связь. Преобразуя уравнение (58), получим

$$\eta_{\text{ПК}} = \frac{\frac{1}{2} I_{\kappa_1}^2 r_{\text{вн. АК}}}{\frac{1}{2} I_{\kappa_1}^2 r + \frac{1}{2} I_{\kappa_1}^2 r_{\text{вн. АК}}} = \frac{n^2}{1 + n^2}. \quad (64)$$

К. п. д. монотонно увеличивается с увеличением связи. При критической связи, когда $n = 1$, $\eta_{\text{ПК}} = 50\%$.

Пользуясь уравнением (59), можно представить к. п. д. в зависимости от эквивалентного сопротивления контура R'_3 и параметра a :

$$\eta_{\text{ПК}} = \frac{n^2}{1+n^2} = 1 - \frac{R'_3}{R_3} = 1 - \frac{1}{a}. \quad (65)$$

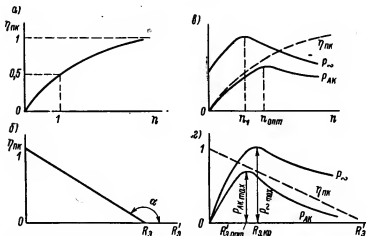


Рис. 41. Зависимость к. п. д. $\eta_{\text{ПК}}$, полезной мощности P_{\sim} и мощности в антенном контуре $P_{\text{АК}}$ от параметра связи n и эквивалентного сопротивления анодной нагрузки R'_3 : а — $\eta_{\text{ПК}} = \varphi(n)$; б — $\eta_{\text{ПК}} = \varphi_1(R'_3)$; в — $P_{\sim} = \varphi_2(n)$, $P_{\text{АК}} = \varphi_3(n)$; г — $P_{\sim} = \varphi_4(R'_3)$, $P_{\text{АК}} = \varphi_5(R'_3)$.

При отсутствии связи между контурами, когда $n = 0$, $a = 1$ и $\eta_{\text{ПК}} = 0$ (вносимое сопротивление отсутствует); при $n = \infty$ ($r_{\text{вн. АК}} = \infty$) $\eta_{\text{ПК}} = 1$. Зависимость $\eta_{\text{ПК}} = \varphi(R'_3)$ линейна. Угловым коэффициентом этой прямой $\text{tg } \alpha = -\frac{1}{R_3}$ определяется эквивалентным сопротивлением одиночного промежуточного контура.

Зависимости к. п. д. $\eta_{\text{ПК}}$ от параметра связи n и эквивалентного сопротивления R'_3 показаны на рис. 41, а, б.

Рассмотрим зависимости мощностей P_{\sim} и $P_{\text{АК}}$ от параметра связи n и эквивалентного сопротивления R'_3 (рис. 41, в, г).

Мощность, вырабатываемая лампой,

$$P_{\sim} = \frac{1}{2} I_{a1}^2 R'_3 = \frac{1}{2} I_{a1}^2 \frac{R_3}{1 + n^2} \quad (66)$$

имеет максимум в критическом режиме, в котором

$$R'_3 = R_{3.кр} \text{ и } a = a_{кр} = \frac{R_3}{R_{3.кр}}.$$

Указанный максимум наблюдается при связи

$$n_1 = \sqrt{\frac{R_3}{R_{3.кр}} - 1} = \sqrt{a_{кр} - 1}. \quad (67)$$

Казалось бы, сделанный вывод противоречит уравнению (66), в котором параметр связи n находится в знаменателе. Но это противоречие кажущееся. В формулу (66) входит ток первой гармоник, который изменяется с изменением связи, следовательно, и нагрузки R'_3 , при этом меняется напряженность режима.

Если при отсутствии связи ($n = 0$) усилитель работал в перенапряженном режиме, то с увеличением n уменьшается R'_3 и усилитель переходит сначала в критический, а потом в недонапряженный режим. Мощность P_{\sim} сначала увеличивается, достигает максимума и затем начинает уменьшаться, как показано на рис. 41, в.

Такой же вид (рис. 41, г) имеет зависимость $P_{\sim} = \varphi(R'_3)$.

Мощность в антенном контуре P_{AK} зависит не только от P_{\sim} , но и от к. п. д.

$$P_{AK} = \eta_{пк} P_{\sim}.$$

Если бы $\eta_{пк} = 1$, то максимумы мощностей P_{\sim} и P_{AK} совпали бы и наблюдались в одном и том же режиме усилителя и при одной и той же связи. Но так как $\eta_{пк} < 1$, то максимум мощности P_{AK} сдвигается в сторону недонапряженного режима усилителя и наблюдается при связи $n_{опт} > n_1$ и эквивалентном сопротивлении $R'_{3.опт} < R_{3.кр}$.

Чем меньше $\eta_{пк}$, тем в более недонапряженном режиме усилителя наблюдается максимум P_{AK} и тем меньше эта мощность. Отсюда понятно стремление работать с возможно большим к. п. д. промежуточного контура.

Высокий к. п. д. легко осуществить в диапазонах длинных и средних волн, так как на этих волнах эквива-

леитное сопротивление контура $R_s = \rho Q$ можно получить достаточно большим и параметр

$$a_{кр} = \frac{R_s}{R_{s, кр}} > 6 - 8 (\eta_{пк} \approx 0,85 - 0,95).$$

В диапазоне коротких волн данное условие выполнить трудно из-за уменьшения характеристического сопротивления и увеличения потерь в контуре. На этих волнах $a_{кр} < (6-8)$ и к. п. д. меньше.

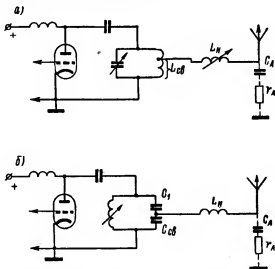


Рис. 42. Сложные схемы выхода: а — с нерегулируемой автотрансформаторной связью; б — с нерегулируемой емкостной связью и настройкой в промежуточном контуре.

Варианты сложных схем выходных усилителей. В современных радиопередатчиках применяют следующие сложные схемы выходных усилителей: 1) с регулируемой связью промежуточного контура с антенным (рис. 36, б); 2) с нерегулируемой связью (рис. 42, а); 3) с нерегулируемой связью и настройкой только в промежуточном контуре (рис. 42, б).

Связь промежуточного контура с антенным может быть индуктивной (рис. 36, б), автотрансформаторной (рис. 42, а) и емкостной (рис. 42, б), а регулировка связи — плавной и ступенчатой.

Схемы с регулируемой связью обеспечивают высокое постоянство мощности в антенном контуре во всем рабочем диапазоне, так как позволяют подобрать оптимальное сопротивление нагрузки лампы на каждой частоте диапазона. Основным недостатком этих схем является сложность настройки (кроме настройки контуров, требуется регулировка связи между ними).

В схемах с нерегулируемой связью между промежуточным и антенным контурами в каждом поддиапазоне устанавливается постоянная связь на одной из частот диапазона и при изменении частоты связь не регулируется. Это дает возможность упростить настройку (уменьшается число элементов регулировки), но зато приводит к значительным изменениям мощности в антенном контуре по диапазону. Такие схемы применяются в передатчиках с узким рабочим диапазоном или при работе на фиксированных частотах, а также когда ставятся жесткие требования в отношении уменьшения числа элементов настройки и упрощения эксплуатации. В этих же случаях применяется схема с нерегулируемой связью и настройкой лишь в промежуточном контуре. Она позволяет уменьшить число элементов настройки до одного, но применение ее целесообразно только при узком диапазоне частот передатчика (коэффициент перекрытия диапазона $K_d < 1,1-1,2$).

Конструктивно наиболее удобно выполняется индуктивная связь, при которой плавная регулировка взаимной индукции осуществляется вариометром. В схемах с автотрансформаторной и емкостной связью применяется ступенчатая регулировка.

Расчет сложной схемы при последовательном питании антенны. Исходными данными для расчета сложной схемы выхода являются диапазон частот $f_{\min} - f_{\max}$, входные сопротивления антенны r_A и x_A на заданных для расчета частотах диапазона (обычно крайних и средней) и мощность в антенном контуре P_{AK} . В других вариантах расчета может быть задана мощность выходного усилителя или тип ламп. Заданные мощности должны обеспечиваться на всех частотах рабочего диапазона.

В схеме с регулируемой связью усилитель работает в недонапряженном режиме, так как расчет ведется на максимальную мощность в антенном контуре. Близость режима усилителя к критическому зависит от величины к. п. д. промежуточного контура.

На средних и длинных волнах при больших значениях эквивалентного сопротивления контура выполняется условие $a_{кр} > 6-8$ и к. п. д. $\eta_{ПК}$ получается достаточно высоким (0,85—0,9). Режим усилителя в диапазоне меняется мало и близок к критическому, мощность в антенне также изменяется незначительно.

Когда условие $a_{кр} > 6-8$ не выполняется (что бывает на более коротких волнах), режим лампы усилителя изменяется вследствие различия нагрузки. Это приводит к более значительным изменениям мощности в диапазоне. К. п. д. при этом уменьшается до 0,6—0,8. Чем меньше параметр $a_{кр}$, тем меньше P_{\sim} , P_{AK} и $\eta_{ПК}$ (из-за увеличения $R_{s, кр}$).

В начале расчета задаются ориентировочным значением к. п. д. промежуточного контура и определяют колебательную мощность, по которой и выбирают лампу. Таким образом,

$$P_{\sim} = \frac{P_{AK}}{\eta_{ПК}},$$

где $\eta_{ПК} = 0,6-0,9$ (нижний предел к. п. д. относится к более коротким волнам).

При настройке контура емкостью параметр $a_{кр}$ оказывается минимальным на самой низкой частоте диапазона, так как эквивалентное сопротивление контура на этой частоте минимально

$$R_s = R_{s, \min} = \frac{L}{C_{\max} r}.$$

При настройке контура вариометром параметр $a_{кр}$ оказывается минимальным на самой высокой частоте диапазона вследствие наличия на этой частоте минимума эквивалентного сопротивления (так как и в этом случае $R_s = R_{s, \min} = \frac{L_{\min}}{C r}$).

Если задана мощность в антенне P_A , то предварительно определяют на трех частотах диапазона сопротивление настройки и связи $x_n + x_{св} = -x_A$ и, задаваясь добротностью этих элементов $Q = 80-100$, определяют активное сопротивление и к. п. д. антенного контура.

Добротность указана для удлинительной катушки индуктивности антенны, причем принят наиболее распространенный случай, когда сопротивление антенны носит

емкостный характер. Потерями в укорочивающем конденсаторе и конденсаторах связи (при емкостной связи) можно пренебречь.

Полагая, что $x_A < 0$, получим

$$\omega L_{ис} = |x_A|; \quad L_{ис} = \frac{|x_A|}{\omega},$$

где $L_{ис}$ — индуктивность настройки антенны (с учетом индуктивности связи при индуктивной или автотрансформаторной связи).

Сопротивление антенного контура

$$r_{ак} = r_A + r_{ис},$$

где $r_{ис}$ — активное сопротивление катушек индуктивности настройки и связи.

К. п. д. антенного контура

$$\eta_{ак} = \frac{r_A}{r_A + r_{ис}}.$$

Приняв наименьшее значение $\eta_{ак}$, определяют мощность усилителя:

$$P_{\sim} = \frac{P_A}{\eta_{пк} \eta_{ак}}.$$

Затем по мощности P_{\sim} выбирают лампу и производят энергетический расчет усилителя в критическом режиме. Цель расчета — определить сопротивление нагрузки $R_{з.кр.}$

После этого находят параметры промежуточного контура L , C и R_z на трех частотах днапозона.

После нахождения параметров контура определяют степень связи (для трех частот днапозона), при которой получается максимальная мощность в антенне (индекс f указывает на то, что при расчете значения величин подставляют для соответствующей частоты):

$$n_f = \frac{a_{кр} f + \sqrt{(a_{кр} f - 1)^2 + 3}}{2} \quad (68)$$

и эквивалентное сопротивление нагрузки

$$R'_{zf} = \frac{R_{zf}}{1 + n_f^2}, \quad (69)$$

затем вычисляют параметр x

$$x_f = \frac{R'_{sf}}{R_{з.кр}}, \quad (70)$$

представляющий собой отношение эквивалентного сопротивления нагруженного контура к эквивалентному сопротивлению, обеспечивающему критический режим, и по обобщенным нагрузочным характеристикам (рис. 19) определяют коэффициенты A и B и мощности P_{0f} , $P_{\sim f}$, P_{af} , P_{AKf} .

В заключение расчета определяют элементы цепи связи на трех частотах днапозона.

Сопротивление связи вычисляют по найденным величинам параметра связи n_f [уравнение (68)]:

$$x_{св.f} = \sqrt{n_f^2 r_{AKf} r_f}.$$

По полученным величинам $x_{св.f}$, в зависимости от характера связи, определяют коэффициент взаимной индукции M , индуктивность связи $L_{св}$ или емкость связи $C_{св}$:

$$M_f = 1,59 \cdot 10^2 \frac{x_{св.f}}{f}; \quad L_{св.f} = 1,59 \cdot 10^2 \frac{x_{св.f}}{f};$$

$$C_{св.f} = 1,59 \cdot 10^2 \frac{1}{x_{св.f} f},$$

здесь M_f и $L_{св.f}$ выражены в микрогенри, $C_{св.f}$ — в пикофарадах, f — в кГц, $x_{св.f}$, r_{AKf} и r_f — в омах.

Указанная методика расчета схем выхода справедлива в днапозонах средних, длинных и коротких волн.

Расчет сложной схемы выхода при параллельном питании антенны. Согласование выходного усилителя передатчика с антенной, имеющей высокое активное сопротивление, требует весьма сильной связи антенного и промежуточного контуров, так как только в этом случае вносимое в промежуточный контур активное сопротивление $r_{вн. AK}$ окажется достаточным для обеспечения равенства эквивалентного сопротивления нагруженного контура R'_z сопротивлению критического режима $R_{з.кр}$:

$$R_{з.кр} = R'_z = \frac{R_z}{1 + n^2}. \quad (71)$$

Расчеты показывают, что максимальная величина активного сопротивления антенного контура $r_{AK \max}$, при ко-

тором обеспечивается условие (71) при максимально допустимой и выполнимой величине связи промежуточного и антенного контуров, составляет не более 10% от $R_{э.кр}$

$$r_{AK \max} \approx (0,01 - 0,1) R_{э.кр}.$$

Для обеспечения согласования антенны с промежуточным контуром необходимо снизить активную составляющую ее сопротивления до величины, определяемой последним уравнением (активным сопротивлением элементов настройки и связи можно пренебречь, так как $r_A \gg r_{ис}$). Для этой цели параллельно антенне подключают реактивный шунт $x_{ш}$ (рис. 36, г), активным сопротивлением которого пренебрегают.

Сопротивление шунта определяется из выражения активного пересчитанного сопротивления антенны $r'_A =$

$$= r_A \frac{x_{ш}^2}{r_A^2 + (x_A + x_{ш})^2}.$$

По вычисленному сопротивлению $x_{ш}$ находят емкость или индуктивность шунта.

Сопротивления элементов настройки и связи определяют из условия настройки антенного контура:

$$x_n + x_{св} + x'_A = 0.$$

Таким образом, расчет выходного усилителя при параллельной схеме питания отличается от расчета при последовательной схеме тем, что вместо активной и реактивной составляющих сопротивления антенны (r_A, x_A) определяют их пересчитанные значения (r'_A, x'_A), а сопротивление шунта $x_{ш}$ — по предварительно принятому значению $r_{AK} \approx r'_A$.

Фильтрация гармоник в сложной схеме. Фильтрация гармоник в сложной схеме выхода оказывается более эффективной, чем в простой. Это объясняется ослаблением тока гармоник в промежуточном и антенном контурах за счет их резонансных свойств. Фильтрующие свойства контура основаны на зависимости его сопротивления от частоты. Контур, включенный в анодную цепь лампы и настроенный на основную частоту питающего напряжения, представляет для этой частоты максимальное сопротивление, и в нем наблюдается резонанс токов — контурный ток достигает максимальной величины.

Для частот, отличных от основной, сопротивление контура меньше, и контурные токи этих частот, а также падение напряжения на контуре уменьшаются.

Коэффициент фильтрации сложной схемы определяется относительным ослаблением гармоник в антенном контуре по сравнению с ослаблением их в цепи анода лампы, т. е.

$$\Phi_{\text{с.л. сх}} = \frac{\frac{I_A}{I_{A_n}}}{\frac{I_{a1}}{I_{a_n}}} = \frac{\frac{I_{k1}}{I_{k_n}} \frac{I_A}{I_{A_n}}}{\frac{I_{a1}}{I_{a_n}} \frac{I_{k1}}{I_{k_n}}} = \Phi_{\text{ПК}} \Phi_{\text{АК}},$$

где I_{k1} , I_{k_n} — токи основной частоты и гармоник в промежуточном контуре;

I_A , I_{A_n} — токи основной частоты и гармоник в антенном контуре;

I_{a1} , I_{a_n} — токи основной частоты и гармоник в цепи питания;

$\Phi_{\text{ПК}}$ — коэффициент фильтрации промежуточного контура;

$\Phi_{\text{АК}}$ — коэффициент фильтрации антенного контура.

Найдем коэффициенты фильтрации промежуточного и антенного контуров.

При определении коэффициента фильтрации промежуточного контура следует учитывать влияние вносимого сопротивления $r_{\text{вн. АК}}$, тогда добротность промежуточного контура с учетом влияния антенного контура будет равна

$$Q' = \frac{e}{r + r_{\text{вн. АК}}} = \frac{e}{r} (1 - \eta_{\text{ПК}}) = Q (1 - \eta_{\text{ПК}}),$$

где Q — добротность одиночного контура.

Для повышения коэффициента фильтрации промежуточного контура антенну желательно связать с индуктивной ветвью контура, тогда

$$\Phi_{\text{ПК}} = (n^2 - 1) (1 - \eta_{\text{ПК}}) Q.$$

Однако общий коэффициент фильтрации сложной схемы зависит от величины коэффициента фильтрации антенного контура.

При емкостном характере сопротивления антенны и при связи антенного контура с индуктивной ветвью про-

межуточного контура антенна оказывается в емкостной ветви и ее коэффициент фильтрации

$$\Phi_{AK} = Q_{AK} \frac{n^2 - 1}{n^2}.$$

Общий коэффициент фильтрации сложной схемы

$$\Phi_{сл. сх} = \Phi_{ПК} \Phi_{AK} \frac{(n^2 - 1)^2}{n^2} (1 - \eta_{ПК}) Q Q_{AK},$$

т. е. оказывается таким же, как при связи с емкостной ветвью промежуточного контура, действительно, в этом случае антенна образует индуктивную ветвь контура и ее коэффициент фильтрации будет больше в n^2 раз

$$\Phi_{AK} = Q_{AK} (n^2 - 1),$$

зато коэффициент фильтрации промежуточного контура соответственно уменьшится в n^2 раз:

$$\Phi_{ПК} = \frac{n^2 - 1}{n^2} Q (1 - \eta_{ПК}).$$

Лучшая фильтрация получается тогда, когда антенна образует индуктивную ветвь и связана с индуктивной ветвью промежуточного контура. Это возможно при применении емкостной связи антенного контура с индуктивной ветвью промежуточного контура:

$$\Phi_{сл. сх} = (n^2 - 1)^2 (1 - \eta_{ПК}) Q Q_{AK}.$$

Настройка сложной схемы выхода. Для настройки сложной схемы необходимо настроить промежуточный контур по минимуму постоянной составляющей анодного тока или по максимуму постоянной составляющей сеточного тока. Настройку желательно производить в режиме пониженной мощности.

Антенный контур настраивают по максимуму тока в нем при слабой связи с промежуточным контуром. Далее регулируют связь между контурами (в схеме с регулируемой связью) до получения максимально возможного тока в антенне. После подбора оптимальной связи подстраивают промежуточный контур (при изменении связи возможна его расстройка). В сложной схеме наиболее опасна расстройка промежуточного контура, которая приводит к резкому увеличению потерь на аноде.

Расстройка антенного контура (или обрыв антенны) не приводит к значительному увеличению мощности потерь на аноде, в отличие от простой схемы, где расстройка или обрыв антенны весьма опасны и могут привести к выходу лампы из строя.

Из анализа работы простой и сложной схем выхода можно сделать вывод, что сложная схема превосходит простую по фильтрации гармоник, безопасности расстройки антенны и более удобному подбору режима лампы независимо от величины сопротивления антенны. Кроме того, к. п. д. сложной схемы в большинстве случаев больше, чем простой (за исключением некоторых вариантов простой схемы, имеющих ограниченное применение).

§ 24. Двухтактные схемы усилителей мощности

Двухтактная схема усилителей мощности широко используется в качестве выходной, а также в мощных предварительных усилителях. Особенно целесообразно применение этой схемы при работе на симметричную антенну.

Для питания симметричных антенн требуется, чтобы напряжения проводов фидерной линии в точках подключения антенны были равны по величине и противоположны по фазе относительно земли. Такие напряжения легко получить в двухтактной схеме без применения специальных симметрирующих устройств.

Анализ работы двухтактной схемы усилителя. На рис. 36, а представлена двухтактная схема усилителя с последовательным питанием, а на рис. 43 — эквивалентная схема, в которой сопротивления ветвей контура обозначены через x'_1 , x''_1 и x_2 . В этой схеме используются две однотипные лампы, катоды которых соединены параллельно, аноды подключены к противоположным концам колебательного контура, а управляющие сетки — к противоположным концам катушки связи.

На сетки ламп, кроме одинакового напряжения смещения $E_{г1}$, подаются напряжения возбуждения, равные

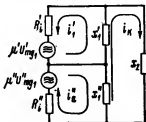


Рис. 43. Эквивалентная схема двухтактного усилителя.

по величине и противоположные по фазе:

$$e'_{g_1} = u'_{g_1} + E_{g_1} = U'_{mg_1} \cos \omega t + E_{g_1},$$

$$e'_{g_1} = u'_{g_1} + E_{g_1} = U'_{mg_1} \cos (\omega t + \pi) + E_{g_1},$$

где e'_{g_1} и e'_{g_2} — мгновенные напряжения на сетках ламп первого и второго плеч схемы;
 U'_{mg_1} и U'_{mg_2} — амплитуды напряжения возбуждения на сетках ламп.

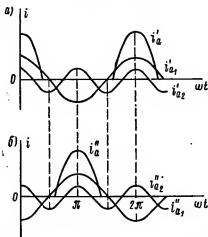


Рис. 44. Анодные токи двухтактной схемы:
 а — первого плеча; б — второго плеча.

Под влиянием напряжений возбуждения импульсы анодного тока ламп сдвигаются по фазе на 180° (рис. 44). Представляя токи плеч рядом Фурье, получим

$$i'_a = I'_{a_0} + I'_{a_1} \cos \omega t + I'_{a_2} \cos 2\omega t + I'_{a_3} \cos 3\omega t + \dots$$

$$i''_a = I''_{a_0} + I''_{a_1} \cos (\omega t + \pi) + I''_{a_2} \cos 2(\omega t + \pi) + \\ + I''_{a_3} \cos 3(\omega t + \pi) + \dots$$

Последнее уравнение можно преобразовать:

$$i''_a = I''_{a_0} - I''_{a_1} \cos \omega t + I''_{a_2} \cos 2\omega t - I''_{a_3} \cos 3\omega t + \dots$$

Из этих уравнений следует, что токи основной частоты и нечетных гармоник в плечах схемы находятся в противофазе, токи четных гармоник — в фазе (рис. 44).

Определим характер тока, питающего контур, и тока в цепи анодного питания.

Токи плеч i'_a и i''_a подводятся к контуру с противоположных направлений, поэтому результирующий ток, питающий контур, равен их разности:

$$i_a = i'_a - i''_a.$$

Так как нечетные гармоники токов плеч находятся в противофазе, а четные в фазе, то первые будут суммироваться, а вторые вычитаться:

$$i_a = (i'_{a_0} - i''_{a_0}) + (i'_{a_1} + i''_{a_1}) \cos \omega t + \\ + (i'_{a_2} - i''_{a_2}) \cos 2\omega t + \dots$$

При полной симметрии схемы, когда постоянные составляющие и амплитуды токов плеч равны,

$$i'_{a_0} = i''_{a_0} = I_{a_0}; \quad i'_{a_1} = i''_{a_1} = I_{a_1}; \quad i'_{a_n} = i''_{a_n} = I_{a_n},$$

получим следующее выражение для тока, питающего контур:

$$i_a = 2I_{a_1} \cos \omega t + 2I_{a_3} \cos 3\omega t + \dots$$

Из этого уравнения можно сделать вывод, что в случае полной симметрии схемы токи основной частоты и нечетных гармоник в анодной нагрузке удваиваются, токи же четных гармоник и постоянные составляющие взаимно компенсируются.

Токи плеч в проводе анодного питания схемы проходят в одном направлении, и результирующий ток равен их сумме

$$i_{a.п} = i'_a + i''_a = 2I_{a_0} + 2I_{a_2} \cos 2\omega t + \dots$$

Отсутствие токов основной частоты и нечетных гармоник в проводах питания объясняется тем, что эти токи в плечах противофазны, и если в данный момент в одном плече они имеют направление от контура к аноду лампы, то в другом плече, наоборот — от анода к контуру. Таким образом, токи, дополняя друг друга, последовательно

проходят через лампы и контур, не попадая в провода питания. Удвоенный ток $2I_{a1}$, питающий контур, вызывает в последнем удвоенный контурный ток.

Эквивалентная схема для тока основной частоты и токов нечетных гармоник показана на рис. 45, а, б.

В схеме на рис. 45, а контур заменен эквивалентным сопротивлением R_3 ; в схеме на рис. 45, б нечетные гар-

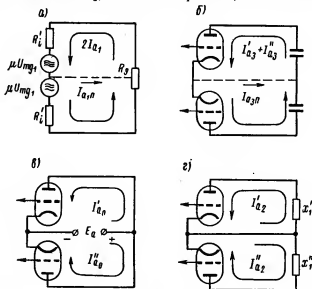


Рис. 45. Эквивалентные схемы для различных составляющих токов двухтактной схемы: а — для первой гармоник; б — для третьей и нечетных гармоник; в — для постоянной составляющей; г — для второй и четных гармоник.

моники в основном проходят через емкостную ветвь контура, представляющую для них малое сопротивление (в индуктивной ветви контура величина гармоник во много раз меньше).

При недостаточной симметрии схемы токи основной частоты и нечетных гармоник заходят в общий провод питания, показанный на рис. 45, а, б пунктирной линией, однако величина этих токов будет невелика и равна разности токов плеч:

$$I_{a,n} = I_{a_1} - I_{a_2}; \quad I_{a,n} = I_{a_1} - I_{a_2}.$$

Постоянные составляющие токов плеч протекают от источника питания через лампы и контур в последовательной схеме питания и через дроссели и лампы в параллельной схеме. И в том и в другом случае для указанных токов лампы оказываются включенными параллельно, как изображено на рис. 45, в.

Токи четных гармоник плеч будут иметь одинаковые фазы и в данный момент времени проходят в анодных цепях ламп в одном направлении. В результате эти токи в контуре полностью или частично компенсируются в зависимости от степени симметрии схемы.

Токи четных гармоник будут замыкаться через сопротивления x'_1 и x''_1 (см. эквивалентную схему рис. 43) и провод питания, причем аноды ламп будут иметь одинаковый потенциал четных гармоник и лампы для этих токов окажутся соединенными параллельно.

В случае полной симметрии схемы обе ветви контура имеют точки нулевого потенциала. На эквивалентной схеме (рис. 43) показано, что средняя точка левой ветви непосредственно связана с катодом и имеет его нулевой потенциал, а в правой ветви нулевой потенциал имеет средняя точка сопротивления x_2 . Непосредственное заземление этой точки по высокой частоте при полной симметрии схемы не меняет распределения токов основной частоты и нечетных гармоник, однако в этом случае образуются как бы две самостоятельные одитактные схемы, нагрузками которых являются половины анодного контура.

На практике заземление второй средней точки не рекомендуется по следующим причинам: 1) токи четных гармоник при заземлении второй средней точки проходят не только по первой, но и по второй ветви контура, которая связывается с антенной; при этом увеличивается прохождение четных гармоник в антенну; 2) возможны расстройки контуров плеч при неточном определении средней точки.

Рассмотрим сопротивление анодной нагрузки ламп двухтактной схемы.

Следует различать следующие сопротивления нагрузки: при работе одной лампы R'_2 , между анодами ламп R_2 и кажущееся при двух работающих лампах R_2 д.

Если работает одна лампа, то ее нагрузкой является контур второго (или третьего) вида с коэффициентом включения $p = \frac{1}{2}$, поэтому

$$R'_s = p^2 R_s = \frac{1}{4} R_s.$$

При двух работающих лампах ток в контуре и напряжение на участке анод—катод лампы каждого плеча удваиваются, так как контурный ток создается удвоенной величиной токов первых гармоник плеч

$$U'_{ma} = I_{\kappa_1} x_1 = I_{\kappa_1} \frac{1}{2} Q = \frac{1}{2} Q I_{\kappa_1},$$

где $x_1 = \frac{1}{2} Q$ — сопротивление одной ветви плеча;

Q — характеристическое сопротивление контура;

Кажущееся сопротивление нагрузки одной лампы (при двух работающих) можно определить как отношение переменного анодного напряжения лампы к току первой гармоники плеча, причем анодное напряжение обусловлено действием суммарного тока первой гармоники схемы

$$R_{s, \text{д}} = \frac{U'_{ma}}{I_{a1}} = \frac{I_{\kappa_1} Q}{2 I_{a1}} = \frac{1}{2} Q Q = \frac{1}{2} R_s = 2 R'_s,$$

где $Q \approx \frac{I_{\kappa_1}}{I_{a1}}$ — добротность контура.

Следовательно, кажущееся сопротивление нагрузки ламп равно половине полного эквивалентного сопротивления контура между анодами ламп и вдвое больше нагрузки одной работающей лампы.

Анализируя работу двухтактной схемы усилителя, можно сделать следующие выводы: 1) двухтактная схема позволяет получить лучшую фильтрацию четных гармоник в антенне; 2) в проводах питания ослабляются токи основной частоты и нечетных гармоник, что уменьшает потери энергии и ослабляет паразитную обратную связь через источники питания; 3) емкости ламп в двухтактной схеме включены последовательно относительно контура, что уменьшает начальную емкость схемы; это обстоя-

тельство важно при работе на коротких и метровых волнах; 4) двухтактная схема требует высокого эквивалентного сопротивления контура, что трудно осуществить, особенно на коротких волнах; кроме того, наличие удвоенного колебательного напряжения требует улучшения изоляции контура; 5) условием хорошей работы двухтактной схемы является ее строгая симметрия и подбор ламп, близких по параметрам; это удорожает и усложняет монтаж и регулировку схемы.

Двухтактная схема рассчитывается для одной лампы на половинную мощность, затем удваиваются постоянные составляющие тока, потребляемая и полезная мощности, колебательное напряжение и сопротивление нагрузки.

Напряжение питания, к. п. д. и критический коэффициент использования анодного напряжения не изменяются.

Возбуждение двухтактных схем усилителя. Для возбуждения двухтактных схем усилителя необходимы два одинаковых по амплитуде, но противоположных по фазе напряжения. Эти напряжения подаются на сетки ламп вместе с напряжением смещения. Поэтому схема питания сеток ламп должна быть симметричной относительно земли. Необходимое напряжение возбуждения можно получить как от однотактного, так и от двухтактного возбuditеля.

При индуктивной схеме связи с однотактным возбудителем сдвиг фаз на 180° между напряжениями на сетках обеих ламп достигается заземлением по высокой частоте средней точки катушки связи.

Лучшие результаты с точки зрения обеспечения хорошей симметрии дают двухтактные возбудители (рис. 36, в) и однотактные с индуктивной связью, так как в них легче обеспечить равенство напряжений возбуждения плеч.

В отношении фильтрации гармоник на входе более выгодны двухтактные схемы возбудителей. Однотактные схемы возбудителей с автотрансформаторной и емкостной связью имеют тот недостаток, что они несимметричны в отношении высших гармоник: если возбуждение на одно плечо подается с индуктивной ветви контура, то на другое — с емкостной, а, как указывалось, фильтрация в этих плечах разная.

§ 25. Параллельное включение ламп в усилителях мощности

Параллельное включение однотипных ламп при работе на совместную нагрузку применяется в том случае, когда номинальная мощность одной лампы недостаточна по сравнению с заданной.

При параллельном включении электроды ламп соединяются параллельно. При условии идентичности ламп и симметрии монтажа ток, питающий контур, равен сумме анодных токов ламп:

$$i_{a \text{ пар}} = i_a + i_a \approx 2i_a,$$

где $i_a \approx i_a = i_a$ — анодные токи ламп.

При этом соответственно увеличиваются все составляющие токов лампы, а также полезная и подводимая мощность:

$$I_{a_0 \text{ пар}} = 2I_{a_0}; I_{a_1 \text{ пар}} = 2I_{a_1}; I_{a_n \text{ пар}} = 2I_{a_n}$$

$$P_0 \text{ пар} = 2P_0; P_{\sim \text{ пар}} = 2P_{\sim}.$$

Критический режим работы усилителя получается при определенном оптимальном сопротивлении нагрузки лампы. При параллельном включении ламп критический режим наступает при меньшем сопротивлении нагрузки, поскольку увеличивается амплитуда первой гармоники анодного тока. Например, при включении двух ламп сопротивление

$$R_{з. \text{кр. пар}} = \frac{U_{мк}}{I_{a_1 \text{ пар}}} = \frac{U_{мк}}{2I_{a_1}} = \frac{1}{2} R_{з. \text{кр}}, \quad (72)$$

где $R_{з. \text{кр}}$ — оптимальное сопротивление нагрузки одной лампы.

Снижение величины оптимального сопротивления нагрузки является важным преимуществом данной схемы по сравнению с двухтактной, потому что при малом $R_{з. \text{кр. пар}}$ легче выполнить условие $a_{кр} > 6-8$ и тем самым повысить к. п. д. промежуточного контура в сложной схеме выхода.

Выполнение условия (72) при идентичности ламп позволяет получить удвоенную оптимальную мощность. На практике вследствие разброса параметров ламп, несимметрии монтажа и возможных фазовых сдвигов напряжений возбуждения на сетках параллельно включенных ламп

режимы их работы окажутся различными и результирующая мощность схемы меньше удвоенной:

$$P_{\sim \text{пар}} = (1,7-1,9) P_{\sim},$$

где P_{\sim} — полезная мощность одной лампы в критическом режиме.

При отключении одной лампы другая перейдет в недонапряженный режим, поскольку сопротивление контура, установленное оптимальным для двух ламп, окажется в два раза меньше, чем оптимальная нагрузка одной лампы. Общая полезная мощность уменьшится примерно в четыре раза: в два раза за счет выключения лампы и примерно в два раза за счет перехода оставшейся лампы в недонапряженный режим, в котором почти вдвое увеличивается остаточное напряжение на аноде и мощность потерь на нем.

Если первоначально использовался перенапряженный режим двух ламп и анодная нагрузка была в два раза больше оптимальной для параллельной схемы, то выход из строя одной лампы переведет вторую в критический режим, а мощность второй лампы возрастет и будет не намного меньше, чем при работе двух ламп.

Таким образом, в параллельной (а также и в двухтактной) схеме желательно использовать перенапряженный режим, при котором несимметрия схемы и разброс параметров ламп в меньшей степени сказываются на постоянстве полезной мощности.

При расчете параллельной схемы ее лампы заменяют одной эквивалентной лампой со следующими параметрами:

$$S_{\text{пар}} = 2S; S_{\kappa, \text{пар}} = 2S_{\kappa}; R_{l, \text{пар}} = \frac{1}{2} R_l.$$

$$D_{\text{пар}} = D; C_{\text{ак, пар}} = 2C_{\text{ак}}; C_{\text{аг, пар}} = 2C_{\text{аг}}.$$

Напряжения питания эквивалентной лампы не изменяются.

Параллельная схема в основном применяется на средних и длинных волнах. Использование этой схемы на коротких волнах не целесообразно из-за увеличения емкости ламп (особенно проходной $C_{\text{аг,1}}$) и монтажа $C_{\text{м}}$.

Глава VI

УСИЛИТЕЛИ МОЩНОСТИ НА ПОЛУПРОВОДНИКОВЫХ ТРИОДАХ

§ 26. Принцип действия и режимы работы усилителя мощности

Усилители мощности на полупроводниковых триодах работают в режиме II рода с отсечкой тока коллектора. В зависимости от соотношения величин токов базы и кол-

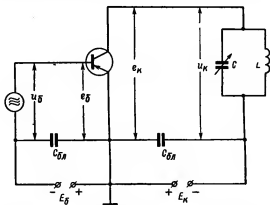


Рис. 46. Схема усилителя мощности с общим эмиттером.

лектора, как и в ламповом усилителе, различают недонапряженный, критический и перенапряженный режимы. Рассмотрим работу основной схемы усилителя с общим эмиттером (рис. 46).

Ток эмиттера аналогичен суммарному (или катодному) току лампы и равен сумме токов базы и коллектора;

$$i_э = i_б + i_к.$$

При подаче на участок эмиттер—база переменного напряжения возбуждения u_6 мгновенное напряжение на этом участке будет равно

$$e_6 = E_6 - u_6 = E_6 - U_{m6} \cos \omega t,$$

где E_6 — напряжение смещения;

U_{m6} — амплитуда напряжения возбуждения.

Под действием этого напряжения в цепи коллектор—база появится ток в виде косинусоидальных импульсов, которые, как и в ламповом усилителе, можно представить рядом Фурье:

$$i_k = I_{k_0} + I_{k_1} \cos \omega t + I_{k_2} \cos 2\omega t + \dots$$

На нагрузке коллекторной цепи, настроенной в резонанс, появится колебательное напряжение, вызванное первой гармоникой коллекторного тока:

$$u_k = U_{mk} \cos \omega t = I_{k_1} R_s \cos \omega t,$$

где U_{mk} — амплитуда колебательного напряжения на нагрузке;

R_s — эквивалентное сопротивление коллекторного контура.

Мгновенное напряжение на участке коллектор—эмиттер равно алгебраической сумме колебательного напряжения и постоянного напряжения питания E_k :

$$e_k = u_k + E_k = U_{mk} \cos \omega t + E_k.$$

При работе на низких частотах (когда отсутствуют фазовые сдвиги между u_6 и i_k , рис. 8, а) и при постоянной температуре ($t^\circ = \text{const}$) уравнение тока коллектора можно получить тем же путем, что и в ламповом усилителе; в недонапряженном режиме (при косинусоидальной форме импульса тока коллектора) оно будет иметь следующий вид:

$$i_k = S_{кл} [(U_{m6} - D_{к.э} U_{mk}) \cos \omega t - E_6]. \quad (73)$$

На рис. 47 представлены идеализированные динамические характеристики усилителя и формы импульсов коллекторного тока в различных режимах работы: недонапряжением (прямая aa_1 , импульс 1) критическом (прямая ab , импульс 2), перенапряжением (ломаная линия abg , импульс 3) и сильноперенапряженным (ломаная линия $адж$, импульс 4).

Прирост тока, вызванный изменением температуры, будет равен:

$$\Delta i_k = \frac{\partial i_k}{\partial t^\circ} \Delta t^\circ. \quad (74)$$

С учетом выражения (74) уравнение (73) тока коллектора примет вид

$$i_k = S_{кл} \left[(U_{мб} - D_{к.з} U_{мк}) \cos \omega t - E_6 + \frac{\Delta i_k}{S_{кл}} \right]. \quad (75)$$

Последнее слагаемое в уравнении (75) имеет размерность напряжения и называется *температурным напряжением сдвига*:

$$E_{t^\circ} = \frac{\Delta i_k}{S_{кл}} = \frac{\partial u_6}{\partial t^\circ} \Delta t^\circ = -D_{t^\circ} \Delta t^\circ.$$

где $D_{t^\circ} = -\frac{\partial u_6}{\partial t^\circ}$ — коэффициент температурного смещения;

$\Delta t^\circ = t^\circ - t_0^\circ$ — разность температур базы в расчетном режиме (t°) и исходной (t_0°).

Влияние частоты на работу усилителя. С увеличением рабочей частоты появляется фазовый сдвиг φ между напряжением возбуждения и первой гармоникой тока коллектора, вызванный дрейфом носителей в базе (φ_d) и падением напряжения на внутреннем сопротивлении базы ($\varphi_{з.б}$), которое на высоких частотах приобретает комплексный характер. В результате фазовый сдвиг будет равен:

$$\varphi = \varphi_d + \varphi_{з.б}, \quad (76)$$

где $\varphi_d = \omega t_d$ — фазовый угол дрейфа;

t_d — время дрейфа;

$\varphi_{з.б}$ — фазовый угол между внешним \bar{U}_6 и внутренним $\bar{U}_{з.б}$ напряжением, т. е. между \bar{U}_6 и $\bar{I}_{з.б}$.

Наличие фазового сдвига, увеличивающегося с ростом частоты, приводит к усложнению формы динамической характеристики: она будет эллиптической, как при работе на расстроенный контур.

С учетом рассмотренного сдвига фаз ток коллектора

$$i_{k \max} = S_{кл} [U_{тб} \cos \omega t - D_{к.э} U_{тк} \cos (\omega t - \varphi) - E_6 + E_{т0}].$$

Фазовый сдвиг не влияет на форму импульса коллекторного тока, однако с увеличением частоты высота импульса будет уменьшаться, так как она зависит от фазового сдвига:

$$i_{k \max} = S_{кл} [U_{тб} - D_{к.э} U_{тк} \cos \varphi - E_6 + E_{т0}]. \quad (77)$$

Кроме того, с ростом частоты высота импульса снижается из-за уменьшения внутреннего напряжения возбуждения $u_{э,б}$ вследствие падения части внешнего напряжения возбуждения u_6 на внутреннем сопротивлении (см. § 6).

Ток эмиттера в недонапряженном и критическом режимах на низких частотах незначительно отличается от тока коллектора ($i_6 \approx 0$). Однако с увеличением частоты форма импульса этого тока изменяется: в конце импульса появляется отрицательный выброс, высота и продолжительность которого увеличиваются с ростом частоты, высота же основного импульса уменьшается.

Отрицательный выброс вызван тем, что на эмиттер при появлении на нем отрицательного относительно базы напряжения возвращается часть неосновных носителей (дырок), причем с повышением частоты скорость изменения напряжения эмиттера увеличивается, и в результате возрастает концентрация дырок, сохранившаяся у эмиттера при изменении знака напряжения на нем, и его обратный ток.

Угол отсечки положительного импульса тока эмиттера θ_0 не зависит от частоты, так как определяется только интервалом времени, в течение которого напряжение на эмиттере положительно; угол отсечки отрицательного выброса пропорционален частоте и зависит от времени дрейфа носителей в базе:

$$\theta_0 \approx \varphi_d = \omega t_d. \quad (78)$$

Оба импульса при расчетах можно считать остроконечными косинусоидальными; результирующий ток эмиттера следует определять после разложения указанных

импульсов в ряд Фурье с учетом взаимного фазового сдвига между импульсами.

Угол отсечки тока коллектора зависит от частоты и равен

$$\theta_k = \theta_s + \theta_d = \theta_s + \varphi_d,$$

так как ток коллектора запаздывает по фазе относительно тока эмиттера на угол φ_d и появляется через время t_d после возникновения тока эмиттера.

Прекращается ток коллектора в момент исчезновения несущих носителей из базы, т. е. в момент окончания отрицательного импульса тока эмиттера.

Ввиду сложности реальной формы импульса тока базы последний удобнее определять как разность токов эмиттера и коллектора:

$$\bar{I}_b = \bar{I}_s - \bar{I}_k.$$

На низких частотах в недонапряженном режиме ток базы имеет форму косинусоидальных импульсов с углом отсечки, равным θ_k ; при переходе в перенапряженный режим форма импульса меняется: его вершина обостряется.

Фазовые соотношения в схеме усилителя при работе на низких частотах полностью аналогичны подобным соотношениям в ламповых схемах, за исключением сильноперенапряженного режима.

На рис. 48, а, б показаны импульсы токов коллектора и базы в недонапряженном (или критическом) режиме, на рис. 48, в, г — в слабоперенапряженном, а на рис. 48, д, е — в сильноперенапряженном режимах.

Расчет режимов усилителей на полупроводниковых триодах на низких частотах производится так же, как и ламповых.

В отличие от ламповых усилителей в полупроводниковых триодах уже сравнительно на невысоких частотах начинают сказываться рассмотренные выше явления запаздывания тока коллектора и фазовых сдвигов в цепи базы, а именно на частотах

$$f > (0,1-0,2) f_a,$$

где f_a — предельная частота усиления по току в схеме с общей базой (на этой частоте у плоскостных триодов коэффициент усиления по току α падает до 70% низкочастотного значения).

На рис. 49 приведены фазовые соотношения напряжений и токов в усилителе мощности при работе на высоких частотах в недонапряженном или критическом ре-

жимах без учета искажений формы напряжения возбуждения, вызванных нелинейными свойствами входной цепи при сильных сигналах.

Внутреннее напряжение возбуждения на переходе эмиттер — база будет отставать от внешнего на угол $\varphi_{э.б}$ (рис. 49, а).

В моменты положительного напряжения на эмиттере (t_1-t_2 , t_3-t_4 и т. д.; рис. 49, а) появляется положительный импульс тока, после которого наблюдается отрицательный выброс длительностью, примерно равной удвоенному времени дрейфа (рис. 49, б).

Импульс тока коллектора запаздывает относительно тока эмиттера на фазовый угол φ_d и заканчивается в момент окончания отрицательного импульса тока эмиттера (рис. 49, в). Импульс тока базы находится как разность указанных токов $i_э$ и $i_к$ и состоит из двух импульсов — положительного и отрицательного, причем высота последнего будет расти с частотой. Его угол отсечки примерно равен углу отсечки положительного импульса (рис. 49, г).

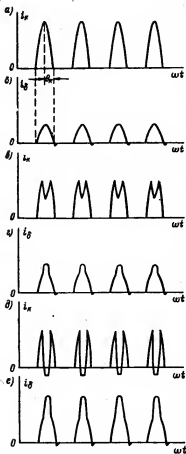


Рис. 48. Временные диаграммы токов коллектора и базы в различных режимах работы полупроводникового триода: а, б — в недонапряженном (или критическом); в, г — в слабоперенапряженном; д, е — в сильноперенапряженном.

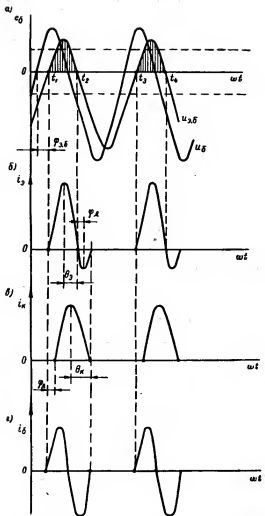


Рис. 49. Фазовые соотношения напряжений и токов в усилителе мощности на полупроводниковом триоде при работе в области высоких частот: а — зависимости $u_{\text{г}} = \varphi(\omega t)$ и $u_{\text{э.г}} = \varphi_1(\omega t)$; б — зависимость $i_{\text{э}} = \varphi_2(\omega t)$; в — зависимость $i_{\text{к}} = \varphi_3(\omega t)$; г — зависимость $i_{\text{г}} = \varphi_4(\omega t)$.

§ 27. Энергетические показатели усилителя мощности

Основными энергетическими показателями усилителей на полупроводниковых транзисторах, как и ламповых, являются: подводимая мощность

$$P_0 = I_{K_0} |E_K| = \alpha_0 i_{K \max} |E_K|,$$

полезная мощность

$$P_{\sim} = \frac{1}{2} I_{K_1} U_{mk} = \frac{1}{2} \alpha_1 i_{K \max} \xi |E_K|$$

($\xi = \frac{U_{mk}}{|E_K|}$ — коэффициент использования коллекторного напряжения), мощность рассеяния на коллекторе

$$P_K = P_0 - P_{\sim}$$

и к. п. д. коллекторной цепи

$$\eta = \frac{P_{\sim}}{P_0} = \frac{1}{2} \xi \frac{\alpha_1}{\alpha_0}.$$

Нагрузочные характеристики усилителя также подобны характеристикам ламповых схем.

Мощность возбуждения на низких частотах

$$P_v = \frac{1}{2} I_{b_1} U_{mb} = \frac{1}{2} \alpha_1 i_{b \max} U_{mb}.$$

Высоту импульса $i_{b \max}$ можно получить из статистических характеристик при $u_b = u_{b \max} = E_b - U_{mb}$ и $u_K = u_{K \min} = U_{mk} - |E_K|$.

Мощность, затраченная в источнике смещения,

$$P_{b_0} = I_{b_0} |E_b| = \alpha_0 i_{b \max} |E_b|.$$

Мощность рассеяния на базе

$$P_b = P_v - P_{b_0}.$$

Наличие двух разнополярных импульсов тока базы на высоких частотах приводит к тому, что в составе тока базы, кроме результирующей постоянной составляющей, которая будет иметь прямое или обратное направление (в зависимости от соотношения высот положительного и отрицательного импульсов), появятся две составляющие первой гармоники тока базы I_{b_1} : косинусоидальная (от положительного импульса) и синусоидальная (от отрицательного импульса), т. е. активная I_{b_1a} и реактивная I_{b_1p} .

Активная (косинусональная) составляющая тока базы совпадает по фазе с напряжением на ней, реактивная (синусональная) сдвинута по фазе на 90° в сторону опережения и имеет емкостный характер:

$$\bar{I}_{b_1} = \bar{I}_{b_1a} + \bar{I}_{b_1p}.$$

Наличие активной и емкостной составляющих входного тока (т. е. тока базы) указывает на появление активной и реактивной составляющих входной проводимости $Y_{вх}$:

$$Y_{вх} = g_{вх} + jb_{вх},$$

где $g_{вх} = \frac{\bar{I}_{b_1a}}{\bar{U}_{mb}}$ — активная проводимость;

$b_{вх} = \frac{\bar{I}_{b_1p}}{\bar{U}_{mb}} = \omega C_{вх}$ — реактивная проводимость;

$C_{вх}$ — входная емкость.

При расчетах мощности возбуждения удобнее активную составляющую тока базы определять как разность активных составляющих токов эмиттера и коллектора (совпадающих по фазе с напряжением возбуждения):

$$I_{b_1a} = I_{э,a} - I_{к,a} = I_{э} \cos \varphi_{э,б} - I_{к} \cos \varphi.$$

При этом мощность возбуждения

$$P_{в} = \frac{1}{2} I_{b_1a} U_{mb} = \frac{1}{2} (I_{э} \cos \varphi_{э,б} - I_{к} \cos \varphi) U_{mb}.$$

§ 28. Схемы усилителей мощности

На рис. 50 приведены схемы промежуточных усилителей с различными видами междукаскадных связей — автотрансформаторной (рис. 50, а), емкостной (рис. 50, б) и индуктивной (рис. 50, в) — аналогичные ламповым. При расчете схем следует учитывать входную проводимость последующего усилителя и пересчитывать ее в коллекторный контур, задаваясь коэффициентом включения со стороны базы последующего усилителя

$$p = \frac{U'_{mb}}{U_{mk}},$$

где U'_{mb} — амплитуда внешнего напряжения возбуждения последующего усилителя;

U_{mk} — амплитуда коллекторного напряжения данного усилителя.

К. п. д. передачи, как и в ламповых схемах, берется в пределах 0,2—0,8.

Выходные усилители мощности строятся как по простой, так и по сложной схемам. Варианты построения схем аналогичны ламповым.

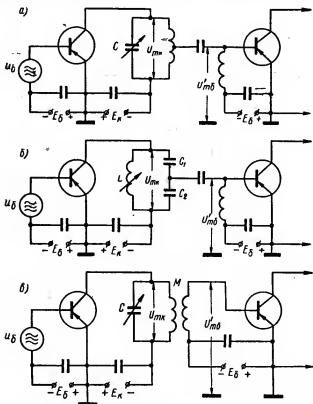


Рис. 50. Схемы промежуточных усилителей на полупроводниковых триодах при различных видах связи с последующим усилителем: а — с автотрансформаторной; б — с емкостной; в — с индуктивной.

На рис. 51, а показан вариант простой схемы при емкостном характере антенны (L_n — индуктивность настройки антенны, $C_{св}$ — емкость связи). Вариант одной из сложных схем выхода показан на рис. 51, б. Связь

промежуточного контура с антенным — автотрансформаторная. Настройка антенны производится варнометром L_H , промежуточного контура — емкостью C .

В отличие от ламповых, в схемах выходных каскадов значительно снижается эквивалентное сопротивление,

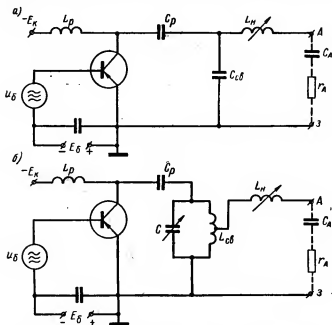


Рис. 51. Схемы выходных усилителей на полупроводниковых триодах: а — простая; б — сложная.

обеспечивающее критический режим ($R_{э.кр}$), поэтому почти всегда параметр $a_{кр} \gg 1$. Увеличение $a_{кр}$ приводит к повышению к. п. д. промежуточного контура, в результате чего максимумы мощности в промежуточном и антенном контурах практически совпадают.

Расчет энергетических режимов выходных усилителей мощности на полупроводниковых триодах на низких частотах полностью аналогичен расчетам режимов ламповых схем. При расчетах на более высоких частотах следует учитывать инерционность триода и фазовые сдвиги между напряжением возбуждения и током коллектора.

Глава VII

ЛАМПОВЫЕ ГЕНЕРАТОРЫ

§ 29. Физические процессы самовозбуждения генераторов

В современных радиопередатчиках высокочастотные колебания получают с помощью ламповых генераторов, которые преобразуют энергию постоянного тока или тока промышленной частоты в ток высокой частоты.



Рис. 52. Блок-схема лампового генератора.

Такое преобразование возможно в нелинейных системах; ламповый генератор представляет характерный пример такой системы.

Ламповый генератор состоит из электронной лампы, колебательного контура, цепи обратной связи и источников питания (рис. 52).

Незатухающие высокочастотные колебания образуются в колебательном контуре генератора только в том случае, когда необратимые потери энергии в контуре сведены к нулю.

Во всяком колебательном контуре всегда существуют флуктуационные токи, которые вызваны тепловым хаотическим движением свободных электронов в проводниках. Под влиянием этих токов в контуре непрерывно возникают и непрерывно затухают собственные колебания с малыми амплитудами. Лампа и цепь обратной связи предназначены для превращения этих колебаний в не-

затухающие. Для этого должны быть выполнены следующие условия.

1. Необратимые потери в контуре, вызывающие уменьшение амплитуды колебаний, должны непрерывно пополняться. Если обозначить потери энергии в контуре за период величиной ΔP , то для получения незатухающих колебаний в каждый период в контур должна вноситься энергия $P_{\text{вн}} = \Delta P$, что и осуществляется в ламповом генераторе за счет анодного тока лампы, питающего контур. Указанное условие является необходимым, но недостаточным.

2. Пополнение контура энергией должно происходить в определенные моменты времени, а именно: направление первой гармоники анодного тока, доставляющей энергию в контур, должно совпадать с полярностью колебательного напряжения на контуре.

Данные условия являются основными для самовозбуждения.

Первое условие, определяющее количественную сторону пополнения энергии в контуре, называют *балансом амплитуд*; второе, определяющее фазовые соотношения в генераторе, — *балансом фаз*.

Эти условия выполняются с помощью цепи обратной связи, которая служит для передачи части энергии из контура на управляющую сетку генераторной лампы в нужные моменты времени. Цепью обратной связи может служить либо катушка связи, подключенная к сетке лампы и индуктивно связанная с контурной катушкой, либо элементы контура, с которых снимается часть контурного напряжения и подается на сетку лампы. Это напряжение обратной связи должно так управлять анодным током генератора, чтобы ток нес в себе достаточное количество энергии $P_{\text{вн}} = \Delta P$ и чтобы его направление совпадало с полярностью контурного напряжения. Фазовые соотношения между напряжениями на сетке, контуре и аноде и анодным током будут такими же, как в ламповом усилителе.

На рис. 53 показаны основные принципиальные схемы генераторов с индуктивной (рис. 53, а) автотрансформаторной (рис. 53, б) и емкостной (рис. 53, в) обратной связью.

Индуктивная связь осуществляется взаимной индукцией между контурной катушкой L_a и катушкой связи $L_{\text{св}}$, включенной в цепь сетки.

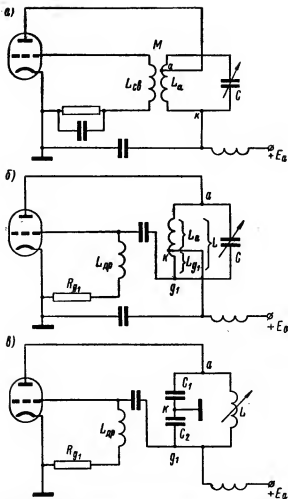


Рис. 53. Схемы ламповых генераторов с обратной связью: а — индуктивной; б — автотрансформаторной; в — емкостной.

В схемах с автотрансформаторной и емкостной обратной связью напряжение возбуждения на сетку подается с части катушки контура ($L_{г1}$) или с части его емкости (C_2).

Баланс амплитуд в схемах получают подбором необходимой величины обратной связи. Для обеспечения баланса фаз переменные напряжения на сетке и на аноде лампы должны изменяться в противофазе. При индуктивной связи это достигается соответствующим подключением концов катушки связи к цепи сетки, а в других схемах — подключением сетки к такой точке контура, потенциал которой противоположен потенциалу анодного конца контура.

Рассмотренные условия самовозбуждения генератора даже при точном выполнении еще не гарантируют его нормальной работы.

Теория колебательных систем указывает на два основных состояния равновесия: неустойчивое и устойчивое. При неустойчивом состоянии равновесия сколь угодно малые отклонения системы от этого состояния приводят к тому, что система начинает непрерывно отходить от него, пока не перейдет в другое, устойчивое состояние (если оно имеется). При устойчивом состоянии равновесия небольшие отклонения системы приводят к возвращению ее в прежнее положение устойчивого равновесия.

Для самовозбуждения лампового генератора необходимо, чтобы в начальный момент работы, когда включаются источники питания, состояние его было таким, при котором ничтожно малые флюктуационные колебания в контуре вывели бы генератор из состояния неустойчивого равновесия и привели к непрерывному возрастанию колебаний в контуре. Это может иметь место тогда, когда энергия, поступающая в контур в последующий период, больше, чем в предыдущий. Ток первой гармоники, а следовательно, ток в контуре, напряжение на нем и напряжение возбуждения, подаваемое на сетку, начнут непрерывно увеличиваться. Процесс возрастания колебаний происходит до тех пор, пока в генераторе не установятся некоторые стационарные анодный ток и напряжение, обусловленные нелинейными свойствами характеристики лампы (с увеличением амплитуды напряжения на сетке крутизна характеристики лампы уменьшается и рост амплитуды анодного тока и колебательного напряжения прекращается).

Стационарное состояние, в которое придет ламповый генератор, должно быть устойчивым, т. е. небольшие отклонения токов и напряжений от стационарного значения не должны вызывать длительных отклонений режима генератора от этого состояния.

Устойчивость стационарного состояния обеспечивается в том случае, когда при амплитудах на контуре, больших стационарных, в контур поступает меньшее количество энергии, чем это необходимо для стационарного режима, т. е. $P_{\text{вн}} < \Delta P$. Амплитуды колебаний на контуре будут уменьшаться до тех пор, пока не придут к прежнему стационарному значению. При уменьшении же амплитуд колебаний по сравнению со стационарными значениями в контур должна подаваться большая энергия, т. е. $P_{\text{вн}} > \Delta P$. Избыток энергии пойдет на увеличение амплитуд колебаний до стационарного значения.

Процесс пополнения потерь в контуре математически можно представить в несколько ином виде. Потери энергии в контуре можно выразить через его активное сопротивление r . Появление добавочной активной энергии в контуре можно рассматривать как уменьшение активного сопротивления контура.

При наличии в генераторе обратной связи остаточная мощность потерь в контуре $P_{\text{ост}}$ будет равна разности мощности потерь и мощности, вносимой за счет обратной связи: $P_{\text{ост}} = \Delta P - P_{\text{вн}}$.

Выражая мощность потерь в контуре через активное сопротивление r , а вносимую мощность через вносимое сопротивление $r_{\text{вн}}$, получим:

$$P_{\text{ост}} = \frac{1}{2} I_{\kappa_1}^2 r - \frac{1}{2} I_{\kappa_1}^2 r_{\text{вн}} = \frac{1}{2} I_{\kappa_1}^2 (r - r_{\text{вн}}),$$

откуда результирующее активное сопротивление контура

$$r' = r - r_{\text{вн}}.$$

Самовозбуждение возможно при условии, если $r' \leq 0$ т. е. если

$$r \leq r_{\text{вн}}.$$

Таким образом, для самовозбуждения генератора необходимо наличие в его цепи отрицательного активного сопротивления, на котором фазы напряжения и тока

будут противоположны; иначе говоря, вольтамперная характеристика системы должна иметь падающий характер, при котором угловой коэффициент, определяющий сопротивление системы, будет отрицательным. Такой характер имеет динамическая характеристика лампового генератора.

Количественные соотношения при самовозбуждении. В установившемся режиме работы генератора токи и напряжения являются периодическими функциями времени. В этом случае можно воспользоваться символическим методом анализа, вводя понятие комплексных амплитуд.

Для упрощения расчетов токи сетки и высшие гармоники анодного тока можно не учитывать, так как первые принципиально не влияют на процесс самовозбуждения, а вторыми можно пренебречь при достаточно высокой добротности контура и его хороших фильтрующих свойствах.

Эквивалентная схема генератора в установившемся режиме подобна схеме усилителя (рис. 22), отличие состоит лишь в том, что в генераторе напряжение возбуждения U_{mg_1} , обеспечивающее стационарный режим, подается с анодного контура, а в усилителе — от постороннего источника напряжения.

Для эквивалентной схемы генератора справедливо следующее уравнение комплексной амплитуды первой гармоники анодного тока:

$$\bar{I}_{a_1} = \frac{\mu \bar{U}_{mg_1}}{R'_l + Z_s}, \quad (79)$$

где \bar{I}_{a_1} и \bar{U}_{mg_1} — комплексные амплитуды тока и напряжения;

Z_s — комплексное эквивалентное сопротивление контура.

Введение в уравнение тока комплексного сопротивления контура необходимо потому, что в общем случае частота генерируемых колебаний f может не совпадать с собственной частотой контура f_0 . В результате появится фазовый сдвиг между первой гармоникой анодного тока и напряжением на контуре и эквивалентное сопротивление контура будет содержать не только активную r_s , но и реактивную x_s , составляющие:

$$Z_s = r_s + jx_s.$$

Из уравнения (79) можно определить напряжение возбуждения, обеспечивающее стационарный режим генератора:

$$\bar{U}_{mg_1} = D(R_i' + Z_3) \bar{I}_{a_1} = \left(\frac{\alpha_i}{S} + DZ_3 \right) \bar{I}_{a_1}. \quad (80)$$

Такое напряжение должно возникать на сетке под действием обратной связи, т. е.

$$\bar{U}_{mg_1} = jx_{o.c} \bar{I}_{K_1}, \quad (81)$$

где $x_{o.c}$ — сопротивление обратной связи;

\bar{I}_{K_1} — комплексная амплитуда тока в контуре.

Величину и фазу обратной связи удобно охарактеризовать коэффициентом обратной связи, который показывает, какая часть контурного напряжения подается на сетку и в какой фазе:

$$\bar{K}_{o.c} = \frac{\bar{U}_{mg_1}}{\bar{U}_{mk}} = \frac{\bar{U}_{mg_1}}{\bar{I}_{a_1} Z_3}. \quad (82)$$

Из уравнений (81) и (82) следует, что напряжение возбуждения, поступающее на сетку лампы с контура,

$$\bar{U}_{mg_1} = jx_{o.c} \bar{I}_{K_1} = \bar{K}_{o.c} Z_3 \bar{I}_{a_1}. \quad (83)$$

При равенстве напряжения \bar{U}_{mg_1} (по величине и фазе) напряжению, обеспечивающему стационарный режим генератора [уравнение (80)], будут выполнены и баланс амплитуд и баланс фаз (однако об устойчивости этого состояния судить еще нельзя). Таким образом, приравнявая уравнения (80) и (83), можно получить основное условие самовозбуждения в общем виде:

$$\left(\frac{\alpha_i}{S} + DZ_3 \right) \bar{I}_{a_1} = \bar{K}_{o.c} Z_3 \bar{I}_{a_1},$$

откуда

$$\bar{K}_{o.c} = \frac{\alpha_i}{SZ_3} + D.$$

Обозначив величину $\frac{S}{\alpha_i} = S_{cp}$, получим

$$\bar{K}_{o.c} = \frac{1}{S_{cp} Z_3} + D. \quad (84)$$

Из уравнения (84) и вытекают количественные соотношения, математически характеризующие баланс фаз и баланс амплитуд. Баланс амплитуд получается при равенстве модулей правой и левой частей уравнения (84), а баланс фаз — при равенстве их фазовых углов. Определим эти условия, полагая проинцаемость лампы достаточно малой (что не вносит большой погрешности, особенно при использовании экранированных ламп).

При $D = 0$

$$\overline{K}_{o.c} S_{cp} Z_3 = 1,$$

откуда произведение модулей этих величины (баланс амплитуд)

$$K_{o.c} S_{cp} z_3 = 1 \quad (85)$$

и сумма фазовых углов (баланс фаз)

$$\varphi_{K_{o.c}} + \varphi_3 = 0, \quad (86)$$

где $\varphi_{K_{o.c}}$ — фазовый угол коэффициента обратной связи, характеризующий сдвиг фаз между напряжением на анодном контуре и напряжением обратной связи;

φ_3 — фазовый угол анодной нагрузки, характеризующий сдвиг фаз между напряжением на анодном контуре и током первой гармоники.

Баланс амплитуд. Условие (85) баланса амплитуд позволяет определить коэффициент обратной связи, при котором возможно самовозбуждение:

$$K_{o.c} = \frac{1}{S_{cp} z_3}.$$

Так как генерируемая частота близка к собственной частоте контура, то эквивалентное сопротивление контура при расчетах коэффициента обратной связи можно считать чисто активным. Тогда

$$K_{o.c} \approx \frac{1}{S_{cp} R_3}. \quad (87)$$

Рассмотрим величину S_{cp} , которая называется *средней крутизной*, и ее влияние на самовозбуждение.

Как указывалось, для всякого усилителя и генератора с настроенным контуром должно выполняться следующее соотношение:

$$I_{a_1} = \frac{\mu U_{m g_1}}{R'_i + R_s} = \frac{U_{m g_1}}{D R'_i + D R_s} = \frac{U_{m g_1}}{\frac{\alpha_i}{S} + D R_s},$$

где $R'_i = \alpha_i R_i$ и $S = \frac{1}{D R_i}$.

Полагая $D \ll 1$, получим

$$I_{a_1} \approx \frac{U_{m g_1}}{\frac{\alpha_i}{S}} = S_{cp} U_{m g_1},$$

откуда

$$S_{cp} \approx \frac{I_{a_1}}{U_{m g_1}}. \quad (88)$$

Средняя крутизна характеризуется отношением амплитуд первой гармоники анодного тока и напряжения возбуждения.

Если мгновенная крутизна характеристики $S = \frac{di_a}{du_{g_1}}$ непрерывно меняется вдоль характеристики лампы, зависит от ее формы и является периодической функцией времени, то средняя крутизна остается постоянной в течение каждого периода колебаний напряжения на сетке и меняется только от периода к периоду по мере изменения $U_{m g_1}$ и I_{a_1} . Это значит, что за каждый период колебаний характеристику лампы можно считать линейной и анодный ток чисто синусоидальным. При переходе от одного периода к другому S_{cp} меняется и зависимость $S_{cp} = \varphi(U_{m g_1})$ оказывается нелинейной.

Такое представление о процессе самовозбуждения упрощает расчеты и облегчает исследование.

На рис. 54, а показана зависимость средней крутизны характеристики лампы от амплитуды напряжения возбуждения в режиме I рода. Из графиков следует, что с увеличением амплитуды напряжения возбуждения средняя крутизна уменьшается.

В режиме II рода изменение средней крутизны носит более сложный характер (рис. 54, б). С увеличением ам-

плитуды напряжения возбуждения средняя крутизна увеличивается до максимального значения ($S_{\text{ср max}} = S$), равного крутизне среднего участка, а затем уменьшается.

Такое изменение крутизны приводит к соответствующим изменениям амплитуды первой гармоники анодного тока.

Зависимость $I_{a_1} = \varphi(U_{m g_1})$ или $I_{k_1} = \varphi(U_{m g_1})$ называется *колебательной характеристикой*. Форма характеристики зависит от начального режима работы генератора, а этот режим определяется выбранным напряжением смещения.

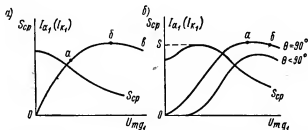


Рис. 54. Зависимость средней крутизны характеристики и амплитуды первой гармоники от амплитуды напряжения возбуждения: а — в режиме I рода; б — в режиме II рода.

Если начальная рабочая точка устанавливается на линейном участке характеристики лампы, то колебательная характеристика имеет выпуклую форму (рис. 54, а). При этом участок Oa характеристики соответствует режиму I рода, участок ab — недонапряженному режиму II рода и участок $бв$ — перенапряженному режиму. Указанная форма характеристики наблюдается при угле отсечки θ , лежащем в пределах $90^\circ < \theta \leq 180^\circ$.

При угле отсечки $\theta \leq 90^\circ$ (рис. 54, б) колебательная характеристика (в соответствии с изменением средней крутизны) имеет вогнуто-выпуклую форму и проходит через начало координат только тогда, когда $\theta = 90^\circ$. Участок Oa соответствует недонапряженному режиму, участок ab — перенапряженному. По колебательным характеристикам можно произвести графический анализ самовозбуждения.

Из уравнения баланса амплитуд следует, что величина коэффициента обратной связи зависит от средней крутизны. Минимальное значение $K_{o.c}$ наблюдается в том

случае, когда средняя крутизна максимальна, т. е. при работе на среднем участке характеристики в режиме I рода:

$$K_{o.c \min} = \frac{1}{SR_s}, \quad (89)$$

где S — крутизна среднего участка характеристики.

Для самовозбуждения в режиме II рода требуется больший коэффициент обратной связи, т. е. оно наступает, когда

$$K_{o.c} > K_{o.c \min} = \frac{1}{SR_s}.$$

Рассмотрим вопрос устойчивости баланса амплитуд. Для этого воспользуемся графическим методом, который использует колебательные характеристики генератора и прямые обратной связи, выражаемые зависимостью

$$\begin{aligned} U_{mg1} &= K_{o.c} U_{mk} = \\ &= K_{o.c} R_s I_{a1} = x_{o.c} I_{k1}. \end{aligned} \quad (90)$$

Рис. 55. Прямые обратной связи и колебательные характеристики в режиме I рода («мягкое» самовозбуждение).

Эта зависимость показывает, что при данной обратной связи амплитуда первой гармоники анодного тока и амплитуда тока в контуре являются линейными функциями амплитуды напряжения возбуждения:

$$I_{a1} = \frac{1}{K_{o.c} R_s} U_{mg1}; \quad I_{k1} = \frac{1}{x_{o.c}} U_{mg1}. \quad (91)$$

Угловой коэффициент прямой зависит от величины связи. Чем больше $x_{o.c}$ и $K_{o.c}$, тем более полого проходит прямая обратной связи.

Совместим на одном графике колебательную характеристику и семейство прямых обратной связи (рис. 55).

Графики показывают, что при $K_{o.c} > K'_{o.c}$ колебательная характеристика и прямая обратной связи пересекутся. Очевидно, что точка пересечения имеет координаты

наты, удовлетворяющие уравнениям как той, так и другой функции, т. е. в этой точке выполняется баланс амплитуд и $K_{o.c} R_s I_{a_1} = D I_{a_1} (R_i' + R_s)$. Баланс амплитуд выполняется и в начале координат.

Амплитуды тока и напряжения, соответствующие балансу амплитуд, называются *стационарными*. Чем больше $K_{o.c}$, тем больше будут стационарные значения амплитуд $(I_{a_1})_{ст}$ и $(U_{mg_1})_{ст}$.

Рассмотрим устойчивость стационарных режимов в точках O и a .

Состояние покоя, когда токи равны нулю, является неустойчивым, так как незначительные отклонения контурного тока, а следовательно, и первой гармоники анодного тока от нулевого значения (ΔI_{a_1}) вследствие тепловых флуктуаций электронов в контуре, вызовут некоторое напряжение возбуждения ΔU_{mg_1} , величину которого можно определить по линии обратной связи. Это напряжение в свою очередь вызовет ток I_{a_1} , который определяется колебательной характеристикой; ток вызовет новое, большее значение возбуждения ΔU_{mg_1} , и так далее (как показано на рис. 55) до тех пор, пока процесс не придет в точку a , т. е. пока в схеме не установятся стационарные значения тока и напряжения.

Точка a , определяющая стационарный режим, является устойчивой. При случайных уменьшениях амплитуд тока, когда $I_{a_1} < (I_{a_1})_{ст}$, колебания будут нарастающими и амплитуда снова увеличится до $(I_{a_1})_{ст}$. При случайных увеличениях тока свыше стационарного значения, когда $I_{a_1} > (I_{a_1})_{ст}$, этот увеличенный ток вызовет напряжение возбуждения U_{mg_1} , которое сможет поддержать меньший ток I_{a_1} (в соответствии с колебательной характеристикой). Меньший ток I_{a_1} вызовет меньшее возбуждение U_{mg_1} , и так далее до тех пор, пока амплитуды не уменьшатся до стационарных значений.

Рассмотренный процесс самовозбуждения генератора называется *мягким самовозбуждением* и характерен для работы с углом отсечки $\theta > 90^\circ$. Для мягкого самовозбуждения не нужно значительных начальных толчков тока в контуре. Изменение связи при мягком самовозбуждении приводит к плавному изменению стационарных амплитуд тока и напряжения.

Иной характер носит самовозбуждение при $\theta \leq 90^\circ$. На рис. 56 представлена колебательная характеристика для этого режима и семейство прямых обратной связи. Здесь возможны три случая работы в зависимости от величины коэффициента обратной связи.

1. При $K_{o.c} \leq K'_{o.c}$ самовозбуждение невозможно, так как в точке b состояние оказывается неустойчивым, и при отклонении амплитуды тока в любую сторону от значе-

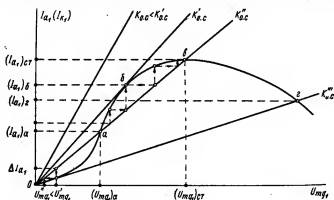


Рис. 56. Прямые обратной связи и колебательные характеристики в режиме II рода («жесткое» самовозбуждение).

ния $(I_{a1})_b$ колебания будут затухать до нуля. Состояние покоя будет устойчивым, так как при $\Delta I_{a1} > 0$ $U_{mg1} < U_{mg1}^*$, и колебания затухнут. Для получения самовозбуждения необходимо, чтобы $K_{o.c} > K'_{o.c}$.

2. При $K_{o.c} = K'_{o.c}$ получаются три стационарные точки: O , a и z . Нетрудно видеть, что в точках O и z состояние устойчиво, так как в них увеличение тока приводит к затуханию колебаний: в первом случае до нуля, а во втором — до значения $(I_{a1})_{cr}$, а уменьшение тока (что возможно только в точке z) — к нарастанию колебаний, как в точке O при мягком самовозбуждении (рис. 55).

Следовательно, в рассматриваемом случае самовозбуждение самопроизвольно начаться не может; необходим начальный толчок тока $I_{a1} > (I_{a1})_a$, который приве-

дет к амплитуде $U_{mg_1} > (U_{mg_1})_a$ и сделает колебания нарастающими.

При $U_{mg_1} < (U_{mg_1})_a$ колебания будут убывать. По этим соображениям точка a , хотя и определяет стационарный режим, является неустойчивой. Малейшее изменение тока в этой точке всегда приведет либо к нарастанию колебаний (до I_{a_1}) ст, либо к срыву их.

3. При увеличении связи до $K_{o.c} > K_{o.c}''$ образуется стационарная точка g ; состояние покоя окажется неустойчивым, и самовозбуждение начнется самопроизвольно. Однако такой случай на практике встречается редко, так как требует чрезмерно большой обратной связи (что не всегда выполнимо) и кроме того приводит к уменьшению стационарных амплитуд.

Начальный толчок тока и резкий срыв колебаний при уменьшении $K_{o.c}$ до значения $K_{o.c}'$ характерны для режима II рода. Такое самовозбуждение называется *жестким*. Начальные толчки токов при жестком самовозбуждении можно получить путем повторных включений напряжения анодного питания генератора, в результате чего появляются значительные токи переходных процессов.

Жесткое самовозбуждение в генераторах радиопередатчиков не применяется, так как при таком самовозбуждении необходим значительный начальный толчок тока. Мягкое самовозбуждение возможно только в режиме I рода, обладающем плохими энергетическими показателями.

Для получения мягкого самовозбуждения (и в то же время для сохранения режима II рода) в генераторах применяют автоматическое сеточное смещение. При таком смещении в начальный момент возникновения колебаний работа происходит на среднем участке характеристики лампы в режиме I рода и самовозбуждение будет мягким. По мере нарастания амплитуд увеличивается отрицательное смещение на сетке и рабочая точка переходит влево, устанавливая в генераторе режим II рода.

Наличие автоматического смещения приводит также к большей устойчивости амплитуд колебаний и меньшей их зависимости от сеточных токов.

Баланс фаз. Уравнение (86) выражает условия баланса фаз, т. е. необходимость таких фазовых соотношений, при которых напряжение возбуждения \bar{U}_{mg_1} , снимаемое

с контура, противофазно анодному напряжению $\bar{U}_{та}$ и находится в фазе с напряжением на контуре $\bar{U}_{тк}$.

Баланс фаз определяет равенство фазовых углов:

$$\varphi_2 = -\varphi_{K_{o.c.}}$$

Угол φ_2 зависит от характера сопротивления нагрузки и определяется из соотношения

$$\operatorname{tg} \varphi_2 = \frac{x_2}{r_2},$$

где x_2 и r_2 — составляющие эквивалентного сопротивления контура.

Если $x_2 = 0$, то и $\varphi_2 = 0$. Ток \bar{I}_{a_1} и напряжение $\bar{U}_{тк}$ совпадают по фазе (см. рис. 57, а). При $x_2 > 0$ напряжение на контуре опережает по фазе ток первой гармоники на угол $\varphi_2 > 0$. При $x_2 < 0$, наоборот, ток первой гармоники опережает по фазе напряжение на контуре.

Угол $\varphi_{K_{o.c.}}$ представляет фазовый угол между напряжением на контуре и напряжением возбуждения.

Если представить $\bar{K}_{o.c.}$ в виде вещественной и мнимой составляющих, то

$$\bar{K}_{o.c.} = K_{o.c.1} + jK_{o.c.2} \text{ и } \operatorname{tg} \varphi_{K_{o.c.}} = \frac{K_{o.c.2}}{K_{o.c.1}}.$$

Угол $\varphi_{K_{o.c.}}$ следует отсчитывать от напряжения $\bar{U}_{тк}$ к напряжению $\bar{U}_{та}$ (рис. 57, б).

Равенство углов $\varphi_2 = -\varphi_{K_{o.c.}}$ указывает на то, что напряжение на сетке лампы создает анодный ток, связанный с напряжением на контуре фазовым соотношением, определяемым характером сопротивления анодной нагрузки. На рис. 57, в показаны векторные диаграммы для различных углов $\varphi_{K_{o.c.}}$, при которых выполняется баланс фаз.

Угол $\varphi_{K_{o.c.}}$ зависит от потерь в контуре и от величины сеточных токов. Например, в схеме с индуктивной связью при наличии потерь в катушке L и токов в цепи сетки контурный ток в индуктивной ветви $\bar{I}_{к,L}$ оказывается сдвинутым относительно напряжения на контуре на угол $\varphi < 90^\circ$, а напряжение на сетке относительно $\bar{I}_{к,L}$ из-за

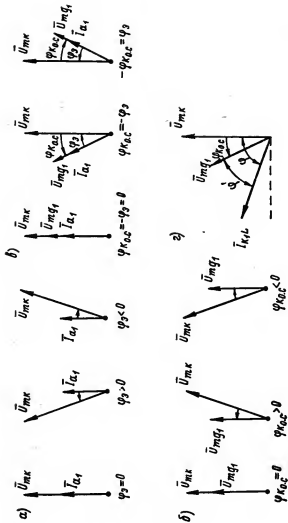


Рис. 57. Векторные диаграммы токов и напряжений в ламповом генераторе: *a* — первой гармоники анодного тока и колебательного напряжения при различном характере сопротивления нагрузки; *б* — колебательного напряжения и напряжения возбуждения при различном характере сопротивления нагрузки; *в* — при выполнении баланса фаз; *г* — с учетом потерь в контуре и цепи сетки.

сеточных токов — на угол $\varphi' < \varphi$. В результате образуется общий сдвиг фаз $\varphi_{\kappa_{o.c}} \neq 0$ (рис. 57, з).

С увеличением потерь в контуре и возрастанием сеточных токов угол сдвига фаз $\varphi_{\kappa_{o.c}}$ будет больше.

Изменение фазовых соотношений при самовозбуждении приводит к изменению генерируемой частоты. Допустим, что в какой-то момент времени фазовый угол $\varphi_{\kappa_{o.c}} > 0$, тогда напряжение возбуждения будет опережать по фазе напряжение на контуре. Следовательно, первая гармоника анодного тока также опередит по фазе первоначальное напряжение на контуре. Ток создаст на зажимах анодного контура напряжение \bar{U}_{mk} , которое вызовет в цепи сетки напряжение, еще более опережающее по фазе контурное напряжение, и т. д.

Таким образом, угол сдвига фаз между первой гармоникой анодного тока и напряжением на контуре будет непрерывно увеличиваться, что характеризует повышение частоты генерируемых колебаний. Отставание по фазе сеточного напряжения \bar{U}_{mg_1} от контурного \bar{U}_{mk} приводит к понижению частоты генерируемых колебаний.

При выполнении баланса фаз, когда фазовый сдвиг $\varphi_{\kappa_{o.c}}$ оказывается скомпенсированным фазовым сдвигом φ_3 , генерируемая частота f несколько отличается от собственной частоты контура f_0 . Если пренебречь потерями в контуре, токами сетки и влиянием высших гармоник, то можно считать, что $\varphi_3 \approx 0$ и $f \approx f_0$, т. е. генерируемая частота будет совпадать с собственной.

Баланс фаз в генераторе должен быть устойчивым, т. е. небольшие отклонения от условия баланса, вызванные изменением потерь в контуре, потерь в цепи сетки, параметров контура и др., должны автоматически привести к таким соотношениям в схеме, при которых баланс фаз установится вновь. Исследования показывают, что контур обладает способностью автоматически восстанавливать баланс фаз, причем эта способность тем выше, чем больше добротность контура. Устойчивость баланса фаз объясняется характером изменения x_3 и φ_3 контура с частотой.

Например, при частоте $f < f_0$ $\varphi_3 > 0$ и $x_3 > 0$, т. е. сопротивление контура носит индуктивный характер, напряжение на контуре опередит ток \bar{I}_{a_1} и вызовет в цепи

сетки напряжение \bar{U}_{mg_1} , которое в свою очередь создает анодный ток, опережающий по фазе предыдущее свое значение. В результате частота увеличивается до тех пор, пока фазы тока \bar{I}_{a_1} и напряжения \bar{U}_{mg_1} не совпадут и генерируемая частота не окажется равной собственной частоте контура. При увеличении генерируемой частоты, когда $f > f_0$ происходит обратный процесс и частота уменьшается.

Следовательно, изменение генерируемой частоты до первоначального значения должно сопровождаться противоположным изменением фазового угла φ_s . Действительно, когда $\Delta f = f - f_0 < 0$ и частота должна увеличиваться до f_0 , угол φ_s должен уменьшиться до нуля (точнее до значения $\varphi_s = -\varphi_{K_{oc}}$): в случае же, когда $\Delta f = f - f_0 > 0$ и частота должна уменьшиться до f_0 , угол φ_s должен увеличиться до нуля (так как в этом случае он был отрицательным).

Эти соображения приводят к следующему условию устойчивости фазы и частоты:

$$\left. \frac{\Delta \varphi_s}{\Delta f} \right|_{f \rightarrow f_0} < 0, \quad (92)$$

т. е. изменения фазы и частоты должны быть противоположны по знаку.

§ 30. Одноконтурные схемы генераторов

В современных радиопередающих устройствах широкое распространение получили одноконтурные схемы генераторов, имеющие в качестве нагрузки один колебательный контур, связанный с цепью управляющей сетки лампы. Чаще всего применяются трехточечные схемы, в которых лампа подключается к контуру тремя точками: анодом, катодом и управляющей сеткой. Обобщенная эквивалентная трехточечная схема представлена на рис. 58, а.

В общем случае под сопротивлениями $Z_{ак}$, $Z_{g_1к}$ и $Z_{aг_1}$ следует понимать не только индуктивность, емкость или активные сопротивления, но и различные комбинации этих сопротивлений и даже сложные колебательные системы.

Для того чтобы схема была автоколебательной, необходимо обеспечить баланс фаз и баланс амплитуд, а также определенную собственную частоту колебаний.

Последнее условие выполняется тогда, когда при последовательном обходе контура сумма реактивных сопротивлений равна нулю:

$$x_{ак} + x_{g,к} + x_{ag,1} = 0. \quad (93)$$

. Уравнение (93) позволяет определить собственную частоту колебаний системы для условий, при которых выполняется баланс фаз:

$$\left. \begin{aligned} x_{ак} > 0, x_{g,к} > 0, x_{ag,1} < 0; \\ x_{ак} < 0, x_{g,к} < 0, x_{ag,1} > 0. \end{aligned} \right\} (94)$$

Таким образом, сопротивления на участках анод—катод и сетка—катод должны иметь одинаковый характер, а сопротивление участка сетка—анод — противоположный им.

Такое соотношение знаков этих сопротивлений указывает на противоположные фазовые сдвиги напряжений на контуре и на сетке, так как в этом случае анод и сетка подключены к противоположным концам контура относительно общей точки — катода.

На рис. 58, б, в показаны эквивалентные схемы для двух указанных случаев, когда реактивные сопротивления участков анод—катод и сетка—катод ($x_{ак}$ и $x_{g,к}$) носят

Рис. 58. Трехточечные схемы: а — обобщенная эквивалентная; б — с автотрансформаторной обратной связью; в — с емкостной обратной связью.

индуктивный характер, а участка анод—сетка ($x_{ag,1}$) — емкостный (схема с автотрансформаторной обратной связью, рис. 58, б) и наоборот, когда характеры сопротивлений указанных участков соответственно емкостный и индуктивный (схема с емкостной обратной связью, рис. 58, в).

Коэффициент обратной связи в общем случае можно определить из соотношения

$$\bar{K}_{o.c} = \frac{\bar{U}_{mg_1}}{\bar{U}_{mk}} = - \frac{\bar{I}_{k_1} Z_{g_1k}}{\bar{I}_{k_1} (Z_{g_1k} + Z_{ag_1})} = - \frac{Z_{g_1k}}{Z_{g_1k} + Z_{ag_1}}, \quad (95)$$

где $\bar{U}_{mg_1} = -\bar{I}_{k_1} Z_{g_1k}$ — комплексная амплитуда напряжения на участке сетка—катод;

$\bar{U}_{mk} = \bar{I}_{k_1} (Z_{g_1k} + Z_{ag_1})$ — комплексная амплитуда напряжения на участке анод—катод.

Пренебрегая малыми активными сопротивлениями ветвей и взаимной связью между сопротивлениями x_{ag_1} и x_{g_1k} , получим:

$$\left. \begin{aligned} Z_{ak} &= r_{ak} + jx_{ak} \approx jx_{ak}; \\ Z_{ag_1} &= r_{ag_1} + jx_{ag_1} \approx jx_{ag_1}; \\ Z_{g_1k} &= r_{g_1k} + jx_{g_1k} \approx jx_{g_1k}; \end{aligned} \right\} \quad (96)$$

$$K_{o.c} \approx - \frac{jx_{g_1k}}{jx_{g_1k} - jx_{ag_1}} = \frac{x_{g_1k}}{x_{ak}}. \quad (97)$$

При правильном составлении схема должна обеспечить количественно такую величину $K_{o.c}$, при которой выполнится баланс амплитуд:

$$K_{o.c} > K_{o.c \min}.$$

Таким образом, коэффициент обратной связи численно равен отношению сопротивления участка сетка—катод к сопротивлению участка анод—катод и является вещественной величиной.

Сопротивление нагрузки лампы, т. е. общее сопротивление участка анод—катод

$$Z_s = \frac{Z_{ak} (Z_{g_1k} + Z_{ag_1})}{Z_{ak} + Z_{g_1k} + Z_{ag_1}}. \quad (98)$$

При выполнении условий (96) в числителе уравнения (в знаменателе этими условиями пользоваться нельзя, так как при $x_{ak} + x_{g_1k} + x_{ag_1} = 0$ активные сопротивления

следует учитывать, несмотря на их небольшую величину), получим окончательно

$$Z_s = z_s \approx - \frac{x_{ак} (x_{g1к} + x_{ag1})}{r_{ак} + r_{g1к} + r_{ag1}} = \frac{x_{ак}^2}{r} = R_s,$$

где $r = r_{ак} + r_{g1к} + r_{ag1}$ — полное активное сопротивление ветвей контура при последовательном обходе.

Следовательно, нагрузкой генератора будет эквивалентное сопротивление контура, составленного из трех элементов: x_{ag1} , $x_{ак}$ и $x_{g1к}$.

Рассмотрим основные варианты практических схем генераторов с автотрансформаторной и емкостной обратной связью.

В схеме с автотрансформаторной обратной связью (рис. 53, б)

$$x_{g1к} = \omega L_{g1}, \quad x_{ак} = \omega L_a,$$

при этом

$$K_{о.с} = \frac{x_{g1к}}{x_{ак}} \approx \frac{L_{g1}}{L_a} \quad (99)$$

(без учета влияния взаимной индукции между частями катушки контура).

Регулировка обратной связи в этих схемах достигается перемещением точки подключения сетки g_1 по виткам контурной катушки. Перемещением точки подключения анода a подбирается необходимое эквивалентное сопротивление контура, который является контуром II вида с коэффициентом включения

$$\rho_L = \frac{L_a}{L},$$

где L_a — индуктивность между анодом и катодом;

L — полная индуктивность контура.

Так как в схемах с автотрансформаторной обратной связью анод и сетка соединены между собой по постоянному току (через контурную катушку), то для их разделения необходимо применять параллельную схему питания цепи анода или цепи сетки.

Недостаток схемы с последовательным питанием анода (рис. 53, б) состоит в том, что ротор конденсатора на-

стройки С находится под высокочастотным потенциалом по отношению к земле (корпусу). Это приводит к заметным емкостным влияниям при настройке контура и затрудняет сопряжение этого конденсатора с другими, у которых ротор заземлен. В схеме с емкостной обратной связью (рис. 53, в) используется контур III вида, при этом

$$x_{g1k} = \frac{1}{\omega C_2}; \quad x_{ak} = \frac{1}{\omega C_1}, \quad x_{ag1} = \omega L.$$

Коэффициент обратной связи определяется отношением емкостей участков анод—катод и сетка—катод:

$$K_{o.c} = \frac{x_{g1k}}{x_{ak}} = \frac{\frac{1}{\omega C_2}}{\frac{1}{\omega C_1}} = \frac{C_1}{C_2}.$$

Регулировка обратной связи и подбор необходимой величины эквивалентного сопротивления контура в этих схемах менее удобны, так как емкостную ветвь контура приходится составлять из нескольких последовательных конденсаторов и указанные регулировки производить переключениями шупов сетки и анода.

Анодный контур может настраиваться конденсатором переменной емкости или варнометром, причем элемент настройки находится под напряжением высокой частоты относительно земли.

Схема с индуктивной обратной связью (рис. 53, а), хотя и не относится к трехточечной, но работает аналогично последней. Для получения необходимой фазы напряжения обратной связи направления витков сеточной и контурной катушек должны быть противоположными. Коэффициент обратной связи зависит от взаимной индукции между катушками L_a и $L_{св}$:

$$K_{o.c} = \frac{x_{o.c}}{x_{ak}} = \frac{\omega M}{\omega L_a} = \frac{M}{L_a}. \quad (100)$$

Контур обычно настраивают конденсатором переменной емкости, а подбор нагрузки производят изменением положения анодного шупа (образуется контур второго вида).

Обратную связь можно регулировать изменением взаимного положения катушек L_a и $L_{св}$.

§ 31. Двухконтурные схемы генераторов с внешней емкостной связью

Двухконтурные схемы генераторов содержат два связанных контура, подключенных к электродам лампы и образующих с цепью обратной связи единую автоколебательную систему (рис. 59, а).

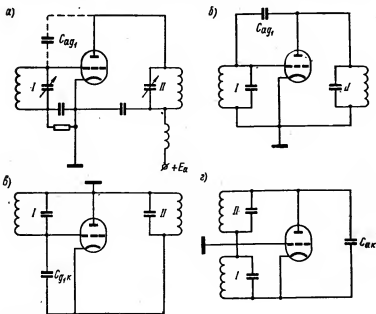


Рис. 59. Схемы двухконтурных генераторов с внешней емкостной связью: а — с обратной связью через емкость сетка—анод; б — эквивалентная с общим катодом; в — эквивалентная с общим анодом; г — эквивалентная с общей сеткой.

На рис. 59, б—г представлены эквивалентные схемы двухконтурных генераторов с внешней емкостной связью и с различным включением контуров (общая точка двух контуров заземляется).

Как известно из теории связанных цепей, двухконтурные схемы имеют две собственные частоты колебаний, верхнюю (или быструю) и нижнюю (или медленную), отличные от собственных частот контуров.

В двухконтурной схеме генерируется та частота связи, для которой выполняются условия самовозбуждения. Условия самовозбуждения всегда выполняются только на одной частоте связи, причем генерируемая частота в большей степени зависит от параметров одного из контуров и в меньшей степени от параметров другого. В то же время второй контур влияет на величину обратной связи и режим генератора. В двухконтурной схеме основной нагрузкой, связанной с последующим усилителем, должен явиться тот контур, который в меньшей степени влияет на генерируемую частоту.

Двухконтурные схемы хотя и позволяют получить более высокую стабильность частоты генератора (за счет снижения влияния на него последующего усилителя), но в настоящее время применяются редко вследствие усложнения схемы и необходимости включения двух контуров.

Работа вариантов двухконтурных схем, приведенных на рис. 59, принципиально аналогична. Рассмотрим наиболее распространенную схему (рис. 59, а, в) при условии сильной связи, когда можно пренебречь активными составляющими сопротивления контуров по сравнению с реактивными.

В этом случае частоты связи определяются из соотношения

$$x_{\text{рез}} = x_{g_1} + x_a + x_{o.c.}, \quad (101)$$

где $x_{\text{рез}}$ — результирующее реактивное сопротивление цепи генератора при последовательном обходе;

x_{g_1} — реактивное сопротивление сеточного контура;

x_a — реактивное сопротивление обратной связи.

На рис. 60, а представлены графики реактивных и результирующего сопротивления.

График $x_{\text{рез}}$ подтверждает, что в системе существуют две собственные частоты колебаний (частоты связи) ω_1 и ω_2 , на которых $x_{\text{рез}} = 0$, причем эти частоты отличны от собственных частот контуров ω_a и ω_{g_1} (выбран случай работы, когда $\omega_{g_1} < \omega_a$).

Определим характер отдельных сопротивлений и составим эквивалентные трехточечные схемы на этих частотах для схемы с общим катодом (рис. 59, а, б).

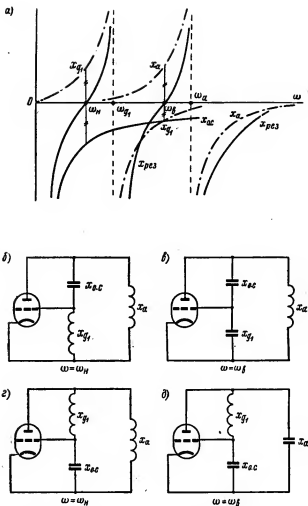


Рис. 60. Графическое определение условий самовозбуждения двух-контурных схем: а — зависимость реактивных сопротивлений контуров и результирующего сопротивления от частоты; б — эквивалентная трехточечная схема для нижней частоты связи (для схемы с заземленным катодом); в — то же для верхней частоты связи; г — то же для верхней частоты связи (для схемы с заземленным анодом); д — то же для нижней частоты связи.

1. На нижней частоте связи ω_n реактивные сопротивления положительны ($x_{g_1} > 0$, $x_a > 0$), т. е. носят индуктивный характер, а реактивное сопротивление обратной связи отрицательно ($x_{o.c} < 0$) и носит емкостный характер. В результате эквивалентная схема (рис. 60, б) соответствует автотрансформаторной трехточечной схеме. Следовательно, для частоты ω_n выполняется баланс фаз, и при коэффициенте обратной связи, достаточном для самовозбуждения, схема будет генерировать частоту ω_n , которая меньше наименьшей из частот контуров:

$$\omega_{g_1} > \omega_n < \omega_a,$$

причем баланс фаз справедлив как при $\omega_{g_1} < \omega_a$, так и при $\omega_{g_1} > \omega_a$.

Так как анодный контур генератора связывается с первым усилителем, то наиболее выгоден случай, когда $\omega_a > \omega_{g_1}$. При таком выборе собственных частот контуров изменение параметров анодного контура, вследствие реакции первого усилителя, почти не влияет на генерируемую частоту, что приводит к ее более высокой стабильности. При $\omega_a \leq \omega_{g_1}$ генерируемая частота ω_n в основном определяется частотой ω_a , а при $\omega_a > \omega_{g_1}$ — частотой ω_{g_1} и почти не зависит от ω_a (рис. 61).

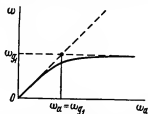


Рис. 61. Зависимость генерируемой частоты двухконтурной схемы от настройки анодного контура.

2. На верхней частоте связи ω_b баланс фаз не выполняется и самовозбуждение будет невозможно, так как при $x_{o.c} < 0$ сопротивления контуров имеют разные знаки $x_{g_1} < 0$ и $x_a > 0$ или $x_{g_1} > 0$ и $x_a < 0$. Эквивалентная схема для этой частоты представлена на рис. 60, в (при $\omega_a > \omega_{g_1}$).

В схеме рис. 59, в (с общим анодом) самовозбуждение возможно только на верхней частоте связи и то при условии, когда $\omega_a < \omega_{g_1}$. Это легко установить с помощью графика $x_{рез}$ (рис. 60, а), который для всех вариантов схем одинаков. Действительно, на частоте ω_n баланс фаз не выполняется, так как $x_{o.c} < 0$, а x_a и x_{g_1} всегда положительны (рис. 60, г). На частоте ω_b $x_{o.c} < 0$ и самовозбуждение возможно только тогда, когда $x_a < 0$, а $x_{g_1} > 0$; в этом случае схема сводится к эквивалентной

трехточечной схеме (рис. 60, *д*). Указанные знаки сопротивления контуров на частоте ω_s возможны, когда $\omega_s > \omega_a$, в противном случае $x_a > 0$ и $x_{g_1} < 0$ и самовозбуждение не возникнет.

Следовательно, и в этой схеме генерируемая частота будет определяться частотой сеточного контура и почти не зависит от частоты анодного контура.

§ 32. Двухтактные схемы генераторов

Двухтактные схемы генераторов получили особенно широкое распространение в диапазоне метровых и дециметровых волн, когда в передатчике отсутствуют усил-

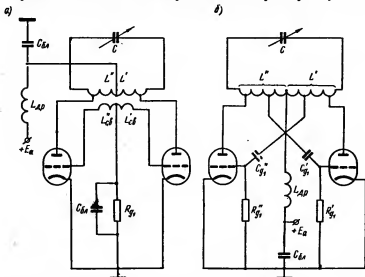


Рис. 62. Схемы двухтактного генератора: *а* — с индуктивной обратной связью; *б* — с автотрансформаторной обратной связью.

тели мощности и он состоит из мощного генератора, работающего на фидерную линию или антенну.

Двухтактную схему генератора можно получить, соединив две одинаковые однотактные схемы в точках одинакового потенциала так, чтобы обеспечить баланс фаз в каждом плече.

На рис. 62 показаны двухтактные схемы генераторов с индуктивной и с автотрансформаторной обратной связью.

В схеме с индуктивной обратной связью (рис. 62, а) аноды ламп подключаются к противоположным концам контура, а сетки — к противоположным концам катушки связи. При соответствующем расположении этих катушек напряжения на сетке и аноде каждой лампы будут в противофазе, в то же время будут в противофазе и напряжения на сетках ламп плеч, что необходимо для нормальной работы двухтактной схемы.

В схеме с автотрансформаторной обратной связью (рис. 62, б) необходимые фазовые сдвиги достигаются тем, что напряжение обратной связи, подаваемое на сетку лампы одного плеча, снимается с части контурной катушки второго плеча.

Процесс самовозбуждения в двухтактных схемах протекает так же, как и в одноктактных, с присущими двухтактной схеме особенностями, а именно: для тока основной частоты лампы оказываются как бы соединенными последовательно и работают на общую нагрузку.

Расчет двухтактной схемы генератора ведется так же, как и одноктактной — на одно плечо, а затем основные энергетические показатели пересчитываются, как указано в § 24.

Глава VIII

ГЕНЕРАТОРЫ НА ПОЛУПРОВОДНИКОВЫХ ТРИОДАХ

§ 33. Физические процессы самовозбуждения генераторов

В радиопередающих устройствах, использующих плоскостные полупроводниковые триоды, наиболее широко применяются генераторы синусоидальных колебаний с положительной обратной связью, которые, как и ламповые, состоят из усилителя мощности с нагрузкой в виде резонансного колебательного контура, цепи обратной связи и источников электропитания.

Самовозбуждение генератора требует выполнения условий баланса амплитуд и фаз, причем в полупроводниковом генераторе эти условия имеют некоторые особенности.

Прежде чем рассмотреть эти особенности, следует отметить, что полупроводниковые триоды характеризуются максимальной частотой генерации $f_{г\text{ max}}$, на которой может работать генератор:

$$f_{г\text{ max}} \approx 10^{-3} \sqrt{\frac{f_a}{30r_6C_{к.б}}},$$

где f_a — предельная частота усиления по току, Мгц;
 $C_{к.б}$ — емкость перехода коллектор—база, определяющая вместе с активной проводимостью этого перехода внутреннюю обратную связь, пф;
 r_6 — объемное сопротивление базы между ее активной частью и внешним выводом (высокочастотное сопротивление), ом.

Эта максимальная частота, очевидно, определяет и частотный предел усиления по мощности, потому что на ней коэффициент усиления по мощности падает до единицы, и на более высоких частотах невозможны как усиление мощности, так и генерация.

Максимальная частота генерации для полупроводниковых триодов с $f_a \geq 5 \text{ МГц}$ оказывается в несколько раз больше f_a :

$$f_{r \max} \approx (2-4) f_a.$$

Если $f_a \geq 20 \text{ МГц}$, то $f_{r \max} \approx f_a$.

При составлении уравнений баланса амплитуд и фаз генератора на полупроводниковом триоде необходимо учитывать особенности его работы на высоких частотах и, приняв за основу схему с общим эмиттером, различать внутренний и внешний коэффициенты обратной связи.

Внешний коэффициент обратной связи определяется отношением амплитуды напряжения возбуждения на внешних зажимах эмиттер—база $U_{mб}$ к амплитуде колебательного напряжения на коллекторном контуре U_{mk} :

$$K_{o.с} = \frac{U_{mб}}{U_{mk}}.$$

Внутренний коэффициент обратной связи определяется отношением амплитуды напряжения возбуждения на внутреннем переходе эмиттер—база $U_{э,б}$ к амплитуде контурного напряжения U_{mk} :

$$K'_{o.с} = \frac{U_{э,б}}{U_{mk}}.$$

Очевидно, что условие баланса амплитуд при этом примет вид

$$S_{ср} K'_{o.с} z_{э,к} = 1, \quad (102)$$

где $S_{ср} = \frac{I_{к1}}{U_{mб}}$ — средняя крутизна коллекторного тока на рабочей частоте;

$z_{э,к} = p^2 R_{э,к} \cos \varphi_k$ — модуль эквивалентного сопротивления коллекторного контура;

$p = \frac{U_{mk}}{U'_{mk}}$ — коэффициент включения кон-

тура со стороны коллектора;
 $R_{э,к}$ — эквивалентное сопротивление настроенного коллекторного контура;

U'_{mk} — полное напряжение на всем контуре;

φ_k — фазовый угол между напряжением на контуре и коллекторным током.

Внутренний коэффициент обратной связи можно представить в следующем виде:

$$K_{o. c} = \frac{U_{э. б}}{U_{тк}} = \frac{U_{э. б} U_{тб}}{U_{тб} U_{тк}} = K_{э. б} K_{o. c}, \quad (103)$$

где $K_{э. б} = \frac{U_{э. б}}{U_{тб}}$ — коэффициент передачи напряжения в цепи эмиттер—база.

Введя уравнение (103) в формулу баланса амплитуд (102), получим

$$S_{cp} K_{э. б} K_{o. c} z_{э. к} = 1.$$

Для осуществления баланса амплитуд следует подобрать величины коэффициента обратной связи $K_{o. c}$ и эквивалентного сопротивления контура (подбором коэффициента включения p , как и в ламповых генераторах).

Баланс фаз в генераторе на полупроводниках выполняется при условии равенства нулю полного фазового сдвига цепей генератора и обратной связи.

В ламповых генераторах баланс фаз определяется уравнением, в которое входят два фазовых угла — коэффициента обратной связи и нагрузки (см. § 29), так как средняя крутизна — величина вещественная и приобретает комплексный характер только в диапазоне СВЧ.

В генераторах на полупроводниковых триодах средняя крутизна оказывается комплексной уже на сравнительно невысоких частотах, когда сказывается запаздывание неосновных носителей в процессе дрейфа в базе, поэтому баланс фаз наступает при условии равенства нулю фазовых углов средней крутизны, коэффициента обратной связи и контура:

$$\varphi_{S_{cp}} + \varphi_{K_{o. c}} + \varphi_k = 0,$$

где $\varphi_{S_{cp}} = \varphi$ — фазовый угол средней крутизны, определяющий сдвиг фаз между первой гармоникой коллекторного тока и напряжением возбуждения на внешних зажимах эмиттер—база (напряжением обратной связи);

$\varphi_{\kappa_{o.c}}$ — фазовый угол коэффициента обратной связи, определяющий фазовый сдвиг между напряжением обратной связи и напряжением на контуре;

φ_{κ} — фазовый угол эквивалентного сопротивления контура, определяющий сдвиг фаз между первой гармоникой тока коллектора и колебательным напряжением на контуре.

Как уже указывалось, фазовый угол $\varphi_{Scp} = \varphi$ складывается из двух составляющих:

$$\varphi_{Scp} = \varphi_{\Delta.c} + \varphi_{\Delta},$$

определяемых временем дрейфа ($\varphi_{\Delta} = \omega t_{\Delta}$) и сдвигом фазы в цепи базы ($\varphi_{\Delta.c}$).

Баланс фаз, очевидно, наступает, когда

$$\varphi_{Scp} + \varphi_{\kappa_{o.c}} = -\varphi_{\kappa}.$$

Исследования и опыт показали, что фазовый сдвиг между напряжением обратной связи и напряжением на контуре $\varphi_{\kappa_{o.c}}$ в генераторах на полупроводниковых триодах весьма мал:

$$\varphi_{Scp} \gg \varphi_{\kappa_{o.c}} \ll \varphi_{\kappa},$$

поэтому практически баланс фаз состоит в компенсации фазового сдвига, вносимого инерцией носителей и падением напряжения на внутреннем сопротивлении базы, соответствующей расстройкой коллекторного контура:

$$\varphi_{Scp} = \varphi_{\Delta.c} + \varphi_{\Delta} \approx -\varphi_{\kappa}.$$

Чем выше генерируемая частота, тем сильнее проявляется инерция носителей в базе и тем больше расстройка контура, обеспечивающая выполнение баланса фаз.

На рис. 63 представлена векторная диаграмма, поясняющая выполнение условий баланса фаз. Вектор тока коллектора \vec{I}_{κ_1} всегда отстает по фазе от напряжения возбуждения \vec{U}_{mb} , поэтому угол $\varphi_{Scp} < 0$. Для выполнения баланса фаз контур в цепи коллектора должен быть расстроен так, чтобы напряжение на нем \vec{U}_{mk} совпадало по фазе с \vec{U}_{mb} и фазовый угол был положительным

($\varphi_k > 0$), т. е. эквивалентное сопротивление контура должно иметь индуктивный характер и напряжение на контуре \bar{U}_{mk} должно опережать ток \bar{I}_k на угол φ_k .

Следовательно, генерируемая частота f_r будет отличаться от собственной частоты контура f_0 ($f_r < f_0$) тем сильнее, чем она выше. При этом снизится колебательная мощность в контуре и уменьшится $Z_{k.э}$, что затруднит осуществление баланса амплитуд и потребует увеличения коэффициента обратной связи.

При максимально возможной расстройке контура, когда $\varphi_k = \frac{\pi}{2}$, условие баланса фаз примет вид

$$\varphi_{scr \max} = \frac{\pi}{2}.$$

Так как фазовый угол φ_{scr} зависит от частоты, то это уравнение определяет максимально возможную частоту генерации, на которой баланс фаз еще выполним.

Для повышения максимальной частоты применяют

Рис. 63. Векторная диаграмма токов и напряжений генератора на полупроводниковом триоде при выполнении баланса фаз.

такой схемный прием, с помощью которого компенсируют фазовый угол $\varphi_{э.б}$, вызванный комплексным характером внутреннего сопротивления базы. Для этого в цепь базы включают реактивное сопротивление создающее дополнительный фазовый сдвиг $\varphi_{б.доп}$, противоположный по знаку $\varphi_{э.б}$.

В результате условие баланса фаз примет вид

$$-\varphi_{б.доп} + \varphi_{э.б} + \varphi_d = -\varphi_k \quad (104)$$

и левая часть этого уравнения уменьшится, что позволит либо уменьшить расстройку контура (а в некоторых случаях работать вообще без нее: при условии $-\varphi_{б.доп} + \varphi_{э.б} + \varphi_d = -\varphi_k = 0$), либо повысить генерируемую частоту, так как в уравнение (104) войдет не сумма, а разность фазовых углов и баланс фаз можно получить на более высоких частотах.

Полезная активная мощность

$$P_{\sim} = \frac{1}{2} I_{K_1} U_{mk} \cos \varphi_K,$$

коэффициент полезного действия

$$\eta = \frac{P_{\sim}}{P_0} \approx \frac{1}{2} \xi \frac{\alpha_0}{\alpha_0} \cos \varphi_K,$$

мощность рассеяния на коллекторе

$$P_K = P_0 - P_{\sim} = |E_K| I_{K_0} - \frac{1}{2} I_{K_1} U_{mk} \cos \varphi_K.$$

С увеличением сдвига фаз φ_K полезная активная мощность и к. п. д. будут уменьшаться, а мощность рассеяния на коллекторе увеличиваться.

§ 34. Схемы генераторов

Генераторы на плоскостных триодах с обратной связью строятся по известным схемам ламповых генераторов с индуктивной, автотрансформаторной и емкостной связью. На рис. 64 представлены типовые схемы таких генераторов

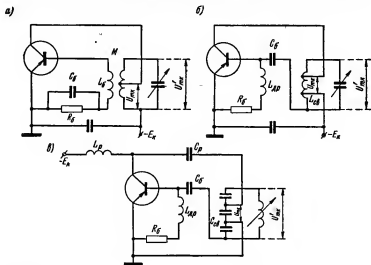


Рис. 64. Схемы генераторов на полупроводниковых триодах с обратной связью: а — индуктивной; б — автотрансформаторной; в — емкостной.

в основном варианте — с общим эмиттером. В них напряжение смещения на базу подается с сопротивления R_6 :

$$E_6 = I_6 R_6.$$

В схемах рис. 64, а, б использована последовательная, а в схеме рис. 64, в — параллельная схема питания базы. Назначение всех элементов схем то же, что и в ламповых генераторах, а генерируемая частота, как уже указывалось выше, меньше собственной частоты контура.

§ 35. Стабилизация режима генераторов и усилителей

Стабильность режима работы ламповых и полупроводниковых усилителей и генераторов в значительной степени определяется постоянством положения начальной рабочей точки характеристики, которая в свою очередь устанавливает величину исходных токов лампы или полупроводникового триода.

В схемах на электронных лампах стабильное положение начальной рабочей точки однозначно определяется величинами постоянных напряжений питания, слабо зависит от смены ламп и практически не зависит от изменения внешних температурных условий. Отличием схем на полупроводниковых триодах является сильная зависимость токов триода от температуры внешней среды и смены триодов (вследствие сильного разброса параметров последних). Изменение температуры окружающей среды приводит к изменению температуры $p-n$ -переходов, от которой весьма сильно зависят величины токов триодов и их параметры.

Питание полупроводниковых триодов от обычных источников постоянного напряжения не обеспечивает стабильного положения начальной рабочей точки, так как сильный разброс параметров отдельных экземпляров полупроводниковых триодов и изменение окружающей температуры приводят к значительным изменениям основных токов триода, а также обратного тока коллектора.

Обратный ток коллектора $I_{к.обр}$ — важный параметр триода. Этот ток, обусловленный неосновными носителями при разомкнутой цепи эмиттера, когда $I_э = 0$, сильно зависит от температуры и увеличивается с ростом последней по экспоненциальному закону.

Между постоянными токами триода существуют следующие зависимости:

$$I_k = I_{k.обр} + \alpha I_s; \quad I_s = I_k + I_0,$$

где $\alpha = \frac{I_k}{I_s}$ при $E_k = 0$ — коэффициент усиления по току в схеме с общей базой при короткозамкнутой цепи коллектора (для плоскостных триодов $\alpha = 0,85-0,98$).

Из последнего уравнения следует, что

$$I_k = \frac{\alpha I_0 + I_{k.обр}}{1 - \alpha}; \quad I_s = \frac{I_0 + I_{k.обр}}{1 - \alpha}.$$

При малом обратном токе коллектора ($I_{k.обр} \ll I_0$) постоянство тока базы приводит к постоянству токов коллектора и эмиттера, и изменения тока I_0 приводят к пропорциональным изменениям токов I_k и I_s :

$$I_k \approx \frac{\alpha}{1 - \alpha} I_0; \quad I_s \approx \frac{1}{1 - \alpha} I_0.$$

Наличие обратного тока коллектора приводит к дополнительным изменениям напряжения базы (а следовательно, и тока коллектора). Эти изменения вызваны падением напряжения обратного тока коллектора на сопротивлениях в цепи базы.

Для стабилизации режима триода необходимо добиться независимости его токов от температуры, что достигается применением соответствующих схем. Наиболее простой является схема с питанием базы от источника коллекторного напряжения через большое активное сопротивление (рис. 65, а).

В этой схеме гасящее сопротивление R_0 выбирается значительно больше активного сопротивления эмиттерного перехода, а так как напряжение базы $|E_0|$ значительно меньше напряжения коллектора $|E_k|$, то ток базы будет определяться только величинами $|E_k|$ и R_0 и окажется постоянным:

$$I_0 = \frac{|E_k| - |E_0|}{R_0} \approx \frac{|E_k|}{R_0} = \text{const.}$$

Эта схема стабилизации хорошо работает только при условии, когда обратный ток коллектора мал и не создает в цепи базы дополнительных падений напряжений.

На практике в большинстве случаев обратным током коллектора пренебречь нельзя, особенно при повышении

температуры, и в этих условиях рассмотренная выше схема непригодна.

Лучшие результаты дают схемы стабилизации с отрицательной обратной связью между цепями коллектора и базы (рис. 65, б).

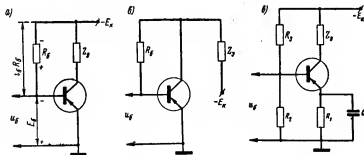


Рис. 65. Схемы стабилизации режима полупроводниковых триодов: а — с питанием базы от источника коллекторного напряжения; б — с отрицательной обратной связью по напряжению; в — с тремя сопротивлениями.

Коэффициент обратной связи

$$K_{o.с} = \frac{U_{э.б}}{U_{э.к}} = \frac{r_{э.б}}{R_б}.$$

Расчеты показывают, что изменения тока коллектора в этой схеме в $1 + K_{o.с}K$ раз меньше, чем в схеме рис. 65, а (K — коэффициент усиления по напряжению).

Наилучшие результаты дает схема с тремя сопротивлениями (рис. 65, в); в ней напряжение на базу подается с делителя R_3, R_2 , а в цепь эмиттера включено сопротивление R_1 , через которое осуществляется отрицательная обратная связь по току, обеспечивающая постоянство тока коллектора. Сопротивление R_3 выбирается из условия получения нужного начального тока базы.

При правильном выборе сопротивлений эта схема стабилизации дает хорошие результаты даже в случае значительных изменений температуры.

Глава IX

УСТОЙЧИВОСТЬ РАБОТЫ ЛАМПОВЫХ УСИЛИТЕЛЕЙ

§ 36. Условия устойчивой работы усилителей

Усилители передатчиков должны работать устойчиво, т. е. паразитные связи между анодными (выходными) и сеточными (входными) цепями, приводящие к взаимным влияниям этих цепей, должны быть сведены к минимуму и не должны нарушать нормальной работы усилителей.

Элементом паразитной связи анодных и сеточных цепей является проходная емкость лампы усилителя (емкость в схеме с общим катодом). Большая величина этой емкости у генераторных триодов является их крупным недостатком, ограничивая применение этих ламп в усилителях коротких и ультракоротких волн (в схеме с общим катодом).

Наличие паразитной связи приводит к взаимным влияниям сеточных и анодных цепей как при выключенной, так и при работающей лампе усилителя. Например, даже при выключенном накале лампы (рис. 66) часть энергии из цепи сетки может переходить через емкость C_{ag_1} в анодный контур, выделяя в нем некоторую мощность, которая возбуждает последующие усилители или попадает в антенну (если рассматривается выходной усилитель). Эта связь особенно вредна при работе в телеграфном режиме вследствие появления колебаний в антенне не только при

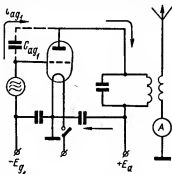


Рис. 66. Схема, поясняющая влияние проходной емкости лампы на работу усилителя при выключенном накале лампы.

нажатом, но и при отжатом ключе. Такая связь называется *прямым прохождением*.

При работающей лампе явления усложняются, поскольку связь через емкость C_{ag_1} становится взаимной из-за появления колебаний в анодной цепи. Ток i_{ag_1} уже нельзя считать чисто емкостным, как при прямом прохождении, когда он был вызван только входным напряжением.

Влияние емкости C_{ag_1} на работу усилителя устанавливается с помощью входной проводимости лампы, определение которой позволяет судить о качественных и количественных соотношениях при паразитной обратной связи и об устойчивости работы усилителя.

Рассматривая вопрос о взаимных влияниях анодной и сеточной цепей, следует учитывать помимо электронного тока сетки, другие составляющие сеточного тока, вызванные различными факторами.

В общем случае сеточный ток складывается из ряда составляющих (в том числе и электронного тока сетки i_{g_1} , влияние которого на работу усилителя было описано выше):

$$i_{вх} = i_{g_1} + i_{g_1y} + i_{g_1т} + i_{g_1д} + i_{g_1L} + i_{g_1C} + i_{g_1н},$$

- где i_{g_1y} — ток утечки, вызванный недостаточной изоляцией участка сетка—катод;
 $i_{g_1т}$ — термоток сетки, появляющийся при нагревании сетки, когда ее поверхность загрязнена посторонними частицами; наличие этого тока можно определить по медленному увеличению анодного тока лампы после ее включения;
 $i_{g_1д}$ — диатрионный ток сетки (его влияние рассматривалось в главе II); проявляется этот ток в мощных триодах, работающих с высоким анодным напряжением;
 $i_{g_1L}, i_{g_1н}$ — токи сетки, вызванные влиянием индуктивности вводов и временем пролета электронов в лампе; влияние этих токов сказывается только в диапазоне сверхвысоких частот и будет рассмотрено ниже;
 i_{g_1C} — емкостный ток сетки, вызванный наличием емкостей $C_{g_1к}$ и C_{ag_1} .

Учитывая, что токи i_{g1y} , i_{g1d} и i_{g1r} в исправных лампах очень малы, можно считать (без учета электронного тока сетки)

$$i_{вх} \approx i_{g1c} = i_{g1к} + i_{ag1},$$

$$\bar{I}_{вх} = \bar{I}_{g1к} + \bar{I}_{ag1}.$$

Входная проводимость, обусловленная емкостными токами,

$$Y_{вх} = \frac{1}{Z_{вх}} \approx \frac{\bar{I}_{вх}}{\bar{U}_{mg1}} = \frac{\bar{I}_{g1к}}{\bar{U}_{mg1}} + \frac{\bar{I}_{ag1}}{\bar{U}_{mg1}} = Y_1 + Y_2.$$

Эквивалентная схема усилителя с учетом этих токов представлена на рис. 67. Следует помнить, что схема не дает правильных фазовых соотношений между напряжениями на контуре и на аноде ($u_a = -u_k$).

Первая составляющая входной проводимости

$$Y_1 = \frac{\bar{I}_{g1к}}{\bar{U}_{mg1}} = j\omega C_{g1к},$$

являясь чисто емкостной, несколько увеличивает емкость контура возбудителя (предыдущего усилителя), не участвуя в создании связи сеточных и анодных цепей.

Вторую составляющую входной проводимости Y_2 можно определить исходя из того, что напряжение на емкости C_{ag1} равно сумме напряжения возбуждения и колебательного напряжения (рис. 67)

$$\bar{U}_{ag1} = \bar{U}_{mg1} - \bar{U}_{ма} = \bar{U}_{mg1} + \bar{U}_{mk} = \bar{U}_{mg1} \left(1 + \frac{\bar{U}_{mk}}{\bar{U}_{mg1}} \right).$$

Расчеты показывают, что

$$Y_2 = \frac{\bar{I}_{ag1}}{\bar{U}_{mg1}} = \frac{\bar{I}_{ag1}}{\bar{U}_{ag1}} (1 + S_{cp} Z_3) = j\omega C_{ag1} (1 + S_{cp} Z_3).$$

Так как в общем случае эквивалентное сопротивление контура является комплексным и состоит из активной

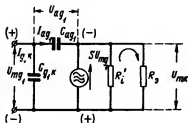


Рис. 67. Эквивалентная схема усилителя с учетом входной и проходной емкостей лампы усилителя.

и реактивной составляющих, то проводимость Y_2 , определяемая током \bar{I}_{ag_1} , будет зависеть не только от проходной емкости C_{ag_1} , но и от величины и характера сопротивления анодной нагрузки.

Полная проводимость будет равна

$$Y_{вх} = Y_1 + Y_2 = j\omega C_{g_1к} + j\omega C_{ag_1} (1 + S_{ср} Z_2). \quad (105)$$

Эквивалентное сопротивление контура Z_2 можно представить в виде последовательно соединенных эквивалентных активной r_2 и реактивной x_2 составляющих, зависящих от частоты.

На частотах, меньших резонансной ($f < f_0$), реактивное сопротивление контура носит индуктивный характер ($x_2 > 0$), а на более высоких частотах ($f > f_0$) — емкостный ($x_2 < 0$).

При настроенном контуре ($f = f_0$) $x_2 = 0$ активная составляющая сопротивления достигает максимума и равна эквивалентному сопротивлению настроенного контура: $r_2 = r_{2\max} = R_2$.

Подставив в уравнение (105) развернутое выражение эквивалентного сопротивления $Z_2 = r_2 + jx_2$, получим

$$Y_{вх} = -\omega C_{ag_1} S_{ср} x_2 + j\omega [C_{g_1к} + C_{ag_1} (1 + S_{ср} r_2)]$$

или

$$Y_{вх} = g_{вх} + jb_{вх}.$$

Реактивная входная проводимость $b_{вх}$ оказывается емкостной и характеризуется динамической входной емкостью

$$C_{вх} = C_{g_1к} + C_{ag_1} (1 + S_{ср} r_2),$$

которая больше статической емкости $C_{g_1к}$ на величину $\Delta C = C_{ag_1} (1 + S_{ср} r_2)$.

Следовательно, наличие проходной емкости приводит к увеличению входной на величину ΔC , что вызывает увеличение емкостного тока в цепи сетки. Динамическая входная емкость зависит от активной составляющей эквивалентного сопротивления контура, настройки контура и угла отсечки анодного тока, т. е. от режима работы усилителя. Так как динамическая входная емкость входит в емкость контура возбудителя, то ее зависимость от режима усилителя приводит к реакции последнего на возбудитель.

Активная составляющая входной проводимости

$$g_{вх} = -\omega C_{ag_1} S_{cp} x_3$$

зависит от частоты, проходной емкости и величины расстройки контура. Чем больше частота, проходная емкость и расстройка контура, тем больше входная проводимость (и меньше входное сопротивление), так как с увеличением ωC_{ag_1} уменьшается сопротивление проходной емкости и увеличивается часть энергии, переходящая из цепи сетки в цепь анода или в обратном направлении.

При настраивании контура $f = f_0$, $x_3 = 0$ и активная входная проводимость равна нулю, а входное сопротивление бесконечно велико:

$$g_{вх} = \frac{1}{r_{вх}} = 0, \quad r_{вх} = \infty,$$

это указывает на отсутствие прямого прохождения энергии из цепи сетки в цепь анода.

Такая связь, при которой наблюдается только увеличение входной емкости, называется *отрицательной обратной реакцией*; динамическая входная емкость при этом достигает максимума, так как активная составляющая эквивалентного сопротивления r , делается равной R_3 :

$$C_{вх} = C_{вхmax} = C_{g_1k} + C_{ag_1} (1 + S_{cp} R_3).$$

При емкостном характере сопротивлений контура, когда $f > f_0$ и $x_3 < 0$, активная входная проводимость (и сопротивление) положительна:

$$g_{вх} = \frac{1}{r_{вх}} = \omega C_{ag_1} S_{cp} |x_3| > 0,$$

что указывает на прямое прохождение энергии из цепи сетки в цепь анода; при этом устойчивость работы усилителя не нарушается и самовозбуждение невозможно.

При индуктивном характере сопротивления контура ($x_3 > 0$), когда работа происходит на частотах меньше собственной ($f < f_0$), активная входная проводимость (и сопротивление) отрицательна:

$$g_{вх} = \frac{1}{r_{вх}} = -\omega C_{ag_1} S_{cp} |x_3| < 0.$$

Появление отрицательного входного сопротивления имеет следующий физический смысл: если наличие положительного активного сопротивления указывает на необратимую затрату энергии в цепи, то отрицательное со-

противление можно рассматривать как источник энергии. В данном случае появление дополнительной энергии в цепи сетки, на которое указывает отрицательное входное сопротивление, обусловлено переходом части энергии из анодной цепи в цепь сетки через проходную емкость C_{ag1} . Эта связь, — называемая *положительной обратной реакцией*, и приводит к такому влиянию анодной цепи на цепь сетки (а следовательно, и на анодный контур предыдущего усилителя), при котором увеличиваются напряжение возбуждения и его контурный ток, а при влиянии на генератор — к ухудшению стабильности частоты генератора.

При сильной обратной связи, когда потери в цепи сетки полностью компенсируются, наступает паразитное самовозбуждение.

Определим условия устойчивости работы усилителя при наиболее опасной расстройке контура, когда отрицательная входная проводимость будет максимальна по абсолютной величине и когда наблюдается максимальный переход энергии из цепи анода в цепь сетки. Такая расстройка соответствует максимуму индуктивного эквивалентного сопротивления контура.

Как известно из теории параллельного контура, максимум зависимости $x_2 = \varphi(f)$ наблюдается при $\Delta f = \pm \frac{1}{Q}$, причем

$$|x_{2 \max}| = \frac{R_2}{2}.$$

Максимальная отрицательная проводимость

$$g_{вх \max} = -\omega C_{ag1} S_{cp} |x_{2 \max}| = -\frac{1}{2} \omega C_{ag1} S_{cp} R_2.$$

Результирующая активная проводимость

$$g_{вх. рез} = g_{вх1} + g_{вых1} + g_{вх \max},$$

где $g_{вх1} = \frac{I_{g1}^2}{U_{mg1}^2}$ — активная проводимость тока сетки, характеризующая потери, обусловленные им;

$g_{вых1} = \frac{1}{\rho_{g1}^2 R_{21}}$ — активная проводимость контура возбудителя (предыдущего усилителя или генератора) в точках подключения сетки, характеризующая потери в этом контуре;

$\rho_{g_1} = \frac{U_{mg_1}}{U_{mk_1}}$ — коэффициент включения контура предыдущего усилителя со стороны сетки последующего;
 $R_{эл}, U_{mk_1}$ — эквивалентное сопротивление и колебательное напряжение контура возбуждателя.

Устойчивая работа усилителя будет наблюдаться тогда, когда результирующая входная проводимость будет положительна, что указывает на отсутствие дополнительной энергии, переходящей из анодной цепи в цепь сетки, т. е. на отсутствие положительной обратной связи. Следовательно, условия устойчивости примут вид:

$$g_{вх. рез} > 0$$

или

$$\left. \begin{aligned} g_{вх_1} + g_{вых_1} + g_{вх max} &> 0, \\ \frac{I_{g_1}}{U_{mg_1}} + \frac{1}{\rho_{g_1}^2 R_{з_1}} - \frac{1}{2} \omega C_{ag_1} S_{ср} R_{з_1} &> 0. \end{aligned} \right\}$$

Из этих условий можно определить предельную частоту устойчивой работы:

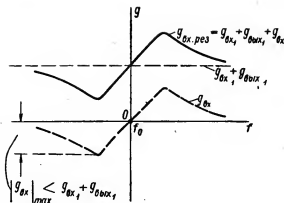
$$f = f_{max} \leq \frac{S}{\pi a i C_{ag_1} A_m},$$

где $A_m = \frac{P_-}{P_b}$ — коэффициент усиления по мощности;

P_b — мощность возбуждения в цепи сетки.

Максимальная частота устойчивой работы будет тем больше, чем ниже коэффициент усиления по мощности, меньше проходная емкость, выше крутизна и больше угол отсечки. При больших расстройках контура работа усилителя делается устойчивой, так как при $f \gg f_0$ или $f \gg f_0$ эквивалентное реактивное сопротивление контура стремится к нулю, а активная входная проводимость — к бесконечности, а это указывает на отсутствие обмена энергии между цепями сетки и анода через проходную емкость C_{ag_1} . При этом наблюдается некоторое увеличение входной емкости $C_{вх} = C_{g_1,к} + C_{ag_1}$. На рис. 68 представлена зависимость результирующей активной входной проводимости и ее составляющих от частоты для двух случаев

а)



б)

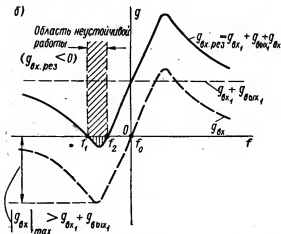


Рис. 68. Зависимость результирующей активной входной проводимости и ее составляющих от частоты для схемы с общим катодом: а — при $|g_{вх}|_{max} < g_{вх1} + g_{вых1}$; б — при $|g_{вх}|_{max} > g_{вх1} + g_{вых1}$.

работы. В первом случае (рис. 68, а) работа усилителя устойчива при любых расстройках контура, так как результирующая проводимость положительна: $|g_{вх}|_{\max} < g_{вх_1} + g_{вых_1}$; $g_{вх, рез} > 0$. Во втором случае (рис. 68, б) при большей величине максимальной отрицательной проводимости в диапазоне частот $f_1 - f_2$ результирующая входная проводимость делается отрицательной, так как $g_{вх}|_{\max} > g_{вх_1} + g_{вых_1}$ и $g_{вх, рез} < 0$.

§ 37. Нейтрализация проходной емкости ламп усилителя

Для повышения устойчивости работы усилителя на триодах необходима нейтрализация влияния проходной емкости лампы. Эта нейтрализация достигается с помощью специальных схем, в которые вводится дополнительная цепь, связывающая анод лампы (эта связь должна компенсировать влияние проходной емкости C_{ag_1}).

Принцип построения схем нейтрализации заключается в использовании моста переменного тока; два плеча моста образуются элементами сеточной или анодной цепи, а два других плеча — емкостью C_{ag_1} и дополнительной нейтротринной емкостью C_N .

При равновесии моста, когда произведение сопротивлений противоположных плеч и суммы фазовых углов равны друг другу: $z_1 z_3 = z_2 z_4$, $\varphi_1 + \varphi_3 = \varphi_2 + \varphi_4$, диагонали моста будут электрически не связаны, т. е. электрические процессы в одной из них не будут влиять на процессы в другой.

На рис. 69, а показана одна из схем анодной нейтрализации, а на рис. 69, б — эквивалентная схема моста.

Ток i_N должен компенсировать ток i_{ag_1} и тем самым устранять обратную реакцию анода на сетку. Для этого необходимо, чтобы ток i_N протекал в результате действия напряжения, равного по величине и противоположного по фазе напряжению u_{ag_1} . Такое напряжение можно получить на колебательном контуре. В результате образуется схема моста, плечи которого состоят из емкостей контура C_1 и C_2 , проходной емкости C_{ag_1} и дополнительной нейтротринной емкости C_N . В одну диагональ моста включена контурная катушка, а в другую участок сетка — катод.

Применяя условия равновесия, получим уравнение для определения емкости нейтротринного конденсатора

$$\frac{1}{\omega C_N} \frac{1}{\omega C_1} = \frac{1}{\omega C_2} \frac{1}{\omega C_{ag_1}},$$

откуда

$$C_N = \frac{C_2}{C_1} C_{ag_1}.$$

Фазовые условия равновесия моста точно выполнить без дополнительной фазировки нельзя вследствие различия

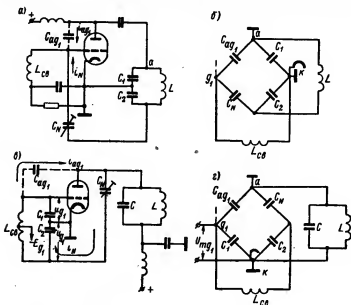


Рис. 69. Схемы нейтрализации: а — анодной; б — эквивалентная анодной нейтрализации; в — сеточной; г — эквивалентная сеточной нейтрализации.

потерь в емкостях C_N и C_{ag_1} ; поэтому токи i_{ag_1} и i_N будут сдвинуты по фазе на угол близкий, но не равный 180° , а это приведет к обратной реакции анодной цепи на цепь сетки. Появление обратной реакции можно охарактеризовать наличием входного сопротивления, которое оказывает подключенным к диагонали моста на участке сетка—катод. Вследствие этого будет наблюдаться пере-

ход энергии из цепи сетки в цепь анода ($r_{вх} > 0$), что приведет к увеличению мощности, потребляемой от возбуждателя. Эта мощность может оказаться даже больше мощности, выделяемой токами сетки.

Контурная катушка и цепь сетки подключены к диагоналям моста. При его равновесии прямого прохождения не должно быть, но так как конденсаторы контура включены в плечи моста и на них имеется напряжение, то может наблюдаться прямое прохождение энергии в антенну или на вход последующего усилителя. Расчеты показывают, что схема нейтрализации уменьшает напряжение прямого прохождения на емкостях C_1 и C_2 в pQ раз (где p — коэффициент включения контура, а Q — его добротность).

Таким образом, схема анодной нейтрализации не зашунтирует полностью ни от прямого прохождения, ни от обратной реакции и, кроме того, требует применения контура III вида, так как при использовании контура II вида появится положительная реакция, что недопустимо. При построении схемы нужно учитывать, что емкости C_{ag_1} и C_N увеличивают общую емкость контура.

Схема сеточной нейтрализации представлена на рис. 69, в. Принцип действия схемы состоит в компенсации тока прямого прохождения i_{ag_1} током i_N ; противоположным по фазе. Напряжение, под действием которого проходит ток i_N , должно быть равно по величине и противоположно по фазе напряжению u_{g_1} , вызывающему ток прямого прохождения. Это напряжение — u_g создается на емкости C_2 в цепи сетки. Мост, образуемый схемой (рис. 69, г), состоит из емкостей C_1 , C_N , C_2 , C_{ag_1} . В одну диагональ моста включен анодный контур, в другую — катушка связи цепи сетки $L_{св}$.

При равновесии моста прямое прохождение отсутствует, однако имеющая место на практике расфазировка плеч моста приводит к сдвигу фаз напряжений u_{g_1} и $-u_{g_1}$, в результате чего наблюдается прямое прохождение. Обратная реакция в схеме на катушку связи $L_{св}$ будет отсутствовать, так как катушка включена в диагональ моста, но произойдет реакция на емкостях C_1 и C_2 , напряжение на которых перераспределится. Емкость C_1 увеличится за счет входной емкости, и напряжение на ней упадет. Это вызовет необходимость повысить напряжение на сетке, т. е. увеличить связь с возбуждателем, и в результате при запертом анодном токе (когда обратная реакция отсут-

ствуется) на емкостях C_1 и C_2 появятся большие напряжения. Это является крупным недостатком сеточной нейтрализации по сравнению с анодной.

Таким образом, защита от прямого прохождения и от обратной реакции в схемах анодной и сеточной нейтрализации полностью не выполняется.

Схема анодной нейтрализации дает лучшие результаты защиты от обратной реакции, а схема сеточной нейтрализации — от прямого прохождения, причем при анодной нейтрализации увеличивается мощность, потребляемая в цепи сетки, а при сеточной — напряжение возбуждения (что менее выгодно).

Работа схем нейтрализации на коротких и метровых волнах, когда начинает сказываться влияние индуктивностей соединительных проводов и выводов ламп, резко ухудшается, при этом увеличиваются емкостные токи в выводах анода и сетки (что требует увеличения сечения соединительных проводов во избежание их перегрева).

Простые схемы нейтрализации в этих диапазонах волны совершенно непригодны, и для получения более качественной нейтрализации предлагались схемы сложных мостов, в которых кроме нейтральных емкостей использовались также нейтральные индуктивности. Схемы сложных мостов требовали весьма тщательной обработки монтажа и настройки, но не давали несмотря на это хороших результатов и часто способствовали снижению устойчивости работы усилителя и паразитному самовозбуждению. Поэтому в настоящее время они потеряли свое значение и на практике не используются.

Основным методом борьбы с вредным влиянием проходной емкости на метровых и коротких волнах является использование усилителей на двойных лучевых тетрадах при небольших мощностях передатчиков и триодов по схеме с общей сеткой в мощных передатчиках.

§ 38. Паразитное самовозбуждение в радиопередатчиках

В усилителях мощности и генераторах передатчиков появляются побочные самопроизвольные колебания на различных частотах (в том числе и на рабочей). Эти колебания и самовозбуждение, вызывающее их, называются *паразитными*.

Паразитные колебания нарушают нормальную работу передатчика и его отдельных ступеней. При слабом

проявлении таких колебаний снижается к. п. д. передатчика, искажается форма телеграфного и телефонного сигналов, создаются ненужные побочные излучения. Иногда паразитные колебания проявляются весьма интенсивно, и тогда резко возрастают ток и напряжения на отдельных элементах и участках схемы, а это приводит к пробое изоляции, повреждению деталей и ламп и к выходу из строя отдельных ступеней и всего передатчика.

Паразитные колебания могут возникнуть при смене ламп, изменении режима работы усилителей, изменении положения элементов настройки и связи и в ряде других случаев даже при весьма тщательно разработанной схеме и рациональном монтаже.

Паразитные колебания в усилителях на рабочей частоте появляются вследствие нарушения условий устойчивости (§ 29), когда при положительной обратной реакции выполняются условия самовозбуждения.

Паразитные колебания на частотах, отличных от рабочей, появляются оттого, что в схеме усилителя или генератора возникают побочные колебательные системы и цепи положительной обратной связи, для которых выполняются условия самовозбуждения. Эти колебательные системы образуются распределенными емкостями и индуктивностями монтажных проводов и выводов ламп и деталей, собственными емкостями дросселей высокой частоты, собственными индуктивностями конденсаторов, межуэлектродными емкостями ламп и т. п.

Паразитные колебания могут возникнуть и при отсутствии паразитной обратной связи, когда вследствие динаatronного эффекта у характеристик ламп появляются падающие участки с отрицательным внутренним сопротивлением.

Рассмотрим основные виды паразитных колебаний на частотах f_n больших и меньших рабочей.

На высоких частотах сопротивление дросселей высокой частоты оказывается емкостным, а контурная катушка становится дросселем. Блокировочные и фильтровые конденсаторы будут обладать значительным индуктивным сопротивлением, а конденсаторы малой емкости (десятки пикофард) начнут выполнять функции блокировочных. На этих частотах сильное влияние на работу схемы оказывают распределенные емкости и индуктивности выводов ламп и соединительных проводов.

На низких частотах ($f_n < f$) паразитные колебания обычно возникают в результате резонансных явлений в дросселях высокой частоты, а также образования колебательных систем из дросселей и блокировочных конденсаторов.

Паразитные колебания могут быть одноктактными и двухтактными. Одноктактные колебания наблюдаются в одноктактных и двухтактных схемах. Двухтактные колебания, при которых переменные напряжения на соответствующих электродах ламп противоположны по фазе, также могут возникнуть не только в двухтактных, но и в одноктактных схемах при параллельном включении ламп.

Борьба с паразитными колебаниями. Для устранения и подавления паразитных колебаний предусматривают меры конструктивного и схемного характера.

При конструировании усилителей необходимо как можно больше ослабить паразитные обратные связи; для этого следует удалить сеточные цепи от анодных, уменьшить длину соединительных проводов в сеточных, анодных и нейтродных цепях, уменьшить число дросселей и холостых витков катушек, применить экранировку контурных деталей и контуров в целом, и т. п.

Однако указанные мероприятия не могут полностью устранить опасности паразитного самовозбуждения.

Для полного устранения паразитного самовозбуждения следует нарушить условия самовозбуждения для паразитных частот, при этом наиболее целесообразной мерой оказывается срыв баланса амплитуд

$$(K_{o.c.p} - D) S_{cp} R_{z.p} > 1$$

уменьшением коэффициента обратной связи $K_{o.c.p}$ и эквивалентного сопротивления паразитной колебательной системы $R_{z.p}$.

Для снижения $K_{o.c.p}$ следует уменьшить сопротивление на участке сетка—катод для токов паразитных частот, т. е. увеличить емкостное сопротивление этого участка. Это легко можно осуществить при емкостной связи с анодным контуром возбудителя, когда один из его контурных конденсаторов является в то же время конденсатором связи.

Для снижения $R_{z.p}$ необходимо увеличить затухание паразитных колебательных цепей путем введения в эти

цепи небольших безындукционных сопротивлений R (порядка единиц и десятков ом), которые не влияют на колебания рабочей частоты. Эти антипаразитные сопротивления обычно шунтируются небольшой индуктивностью L и включаются в сеточные и анодные вводы ламп и в цепи нейтродинных конденсаторов.

Для токов паразитных колебаний эти сопротивления оказываются чисто активными ($\omega_p L \gg R$) и резко снижают эквивалентное сопротивление паразитных контуров.

Антипаразитные сопротивления часто выполняют в виде катушки из нескольких витков стальной проволоки. На рабочих частотах индуктивное и активное сопротивления такой катушки ничтожно малы, но резко возрастают на высоких частотах паразитных колебаний.

Указанные меры особенно эффективны для подавления паразитных колебаний, лежащих вне рабочего диапазона частот.

§ 39. Схема усилителя мощности с общей сеткой

В последние годы начала успешно применяться схема лампового усилителя мощности с общей (заземленной) сеткой.

Эта схема, изобретенная еще в 1929 г. М. А. Боич-Бруевичем, долгие годы почти не использовалась в технике радиопередающих устройств ввиду того, что в наиболее распространенных в то время диапазонах длинных и средних волн она не имела преимуществ перед основной схемой усиления с общим (заземленным) катодом.

В настоящее время схема с заземленной сеткой широко применяется в передатчиках дециметровых, метровых и частично коротких волн, так как обеспечивает высокую устойчивость работы усилителей на триодах и устраняет необходимость нейтрализации проходной емкости.

На рис. 70 представлены варианты схемы усилителей с общей сеткой. В схеме с общей сеткой общим (обычно заземленным) электродом входной и выходной цепей является не катод, а сетка; при этом сетка обязательно должна иметь нулевой высокочастотный потенциал относительно земли, так как только в этом случае она будет служить электростатическим экраном между катодом и анодом (подобно экранной сетке в тетрадах и пентодах).

Постоянный потенциал сетки относительно земли может и не быть равным нулю и зависит от схемы включения

источника сеточного смещения. Например, на рис. 70, а источник смещения включен между землей и источником напряжения возбуждения и сетка непосредственно заземлена по постоянному и переменному току; на рис. 70, б источник смещения включен между выводом сетки и землей, при этом сетка имеет относительно земли постоянный потенциал, равный напряжению смещения, и нулевой

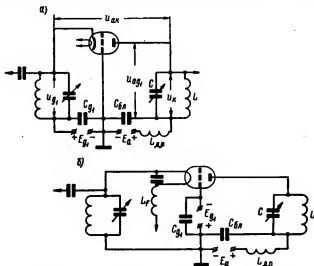


Рис. 70. Схемы усилителей с общей сеткой: а — сетка непосредственно заземлена по постоянному и переменному току; б — источник смещения включен на участке сетка—земля в лампе прямого накала.

переменный потенциал, так как сопротивление блокировочного конденсатора на высокой частоте весьма мало.

В схеме с общей сеткой напряжение возбуждения приложено (как и в схеме с заземленным катодом) к участку сетка—катод; на этом же участке включено постоянное напряжение смещения.

При отсчете потенциалов от общего электрода (сетки) катод лампы в большинстве случаев имеет положительный потенциал относительно сетки, что эквивалентно подаче на сетку отрицательного потенциала относительно катода, как в схеме с общим катодом. Так как катод, кроме того,

находится под высокочастотным потенциалом напряжения возбуждения относительно общего заземленного электрода, то в схемах с лампами прямого накала в цепь катода должен быть включен дроссель высокой частоты L_f , как показано на рис. 70, б.

Анодный контур усилителя в данной схеме оказывается включенным на участке анод—сетка, что является важной особенностью схемы. Источник анодного питания включен последовательно между контуром и общей заземленной сеткой, при этом постоянное напряжение между анодом и катодом равно сумме постоянных напряжений анодного источника E_a и источника смещения E_{g_1} . Так как обычно $|E_{g_1}| \ll E_a$, то это изменение постоянного анодного напряжения не учитывают.

Фазовые соотношения в схеме с общей сеткой. Фазовые соотношения напряжений между электродами в схеме с общей сеткой такие же, как в схеме с общим катодом, однако распределение потенциалов относительно общей заземленной сетки иное.

На рис. 71 представлены временные диаграммы напряжений и токов (анодного и сеточного) в схеме при работе в режиме II рода (при $\theta = 90^\circ$) и сеточном смещении $E_{g_1} < 0$.

В цепи катод—сетка действует входное напряжение e_{kg_1} , равное сумме напряжений смещения и возбуждения. При отсчете потенциала от общей заземленной сетки напряжение на катоде будет равно (рис. 71, а, б):

$$e_{kg_1} = -(U_{mg_1} \cos \omega t + E_{g_1}) = -e_{g_1},$$

где e_{g_1} — мгновенное напряжение на сетке относительно катода.

В моменты, когда напряжение на катоде падает до величины напряжения запирающей лампы, лампа открывается (время $0-t_1$, t_2-t_3 и т. д. на рис. 71, а) и через нее пройдут импульсы анодного тока i_a . Импульсы сеточного тока появятся, когда $e_{kg_1} \leq 0$ (т. е. когда сетка будет иметь положительный потенциал относительно катода).

Импульсы анодного и сеточного токов, а также их первые гармоники показаны на рис. 71, в.

Первая гармоника анодного тока проходит через лампу, входную цепь, блокировочные конденсаторы источников анодного и сеточного питания ($C_{бл}$, C_{g_1}) и анодный контур (L , C).

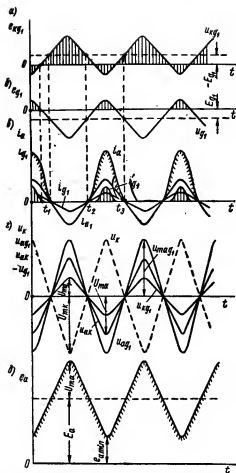


Рис. 71. Временные диаграммы напряжений и токов в схеме с общей сеткой: а — входного напряжения; б — мгновенного напряжения на участке сетка—катод; в — анодного и сеточного токов; г — переменных напряжений на различных участках схемы; д — напряжения на участке катод—анод.

Колебательное напряжение на контуре u_k находится в фазе с напряжением возбуждения u_{g_1} при отсчете потенциала последнего от катода и в противофазе при отсчете потенциала u_{g_1} от сетки, как показано на рис. 71, а, б, г.

Переменная составляющая анодного напряжения u_{ak} оказывается равной разности мгновенных напряжений выходного $u_{ag_1} = -u_k$ и входного $u_{kg_1} = -u_{g_1}$:

$$u_{ak} = u_{ag_1} - u_{kg_1} = -u_k + u_{g_1}.$$

При этом напряжение u_{ak} противоположно по фазе колебательному напряжению u_k , напряжению возбуждения u_{g_1} и первой гармонике анодного тока i_{a_1} , как и в обычной схеме усиления, но будет в фазе с входным напряжением u_{kg_1} в отличие от обычной схемы.

Различие величин колебательного напряжения u_k и переменной составляющей анодного напряжения u_{ak} (в схеме с заземленным катодом они равны) является одной из важных особенностей схемы. Увеличение колебательного напряжения на нагрузке по сравнению с напряжением анода на величину напряжения возбуждения указывает на то, что анодный контур в данной схеме питается от последовательно соединенных лампы и источника возбуждения, часть мощности источника возбуждения тратится на возбуждение лампы (как и в обычном усилителе), а часть переходит в нагрузку без усиления и добавляется к мощности, выработанной лампой в нагрузке.

Напряжение на участке катод—анод лампы (e_a) показано на рис. 71, д.

Входная проводимость усилителя в схеме с общей сеткой. В схеме с общей сеткой во входной цепи помимо сеточных токов проходит первая гармоника анодного тока. Таким образом, результирующий входной ток будет равен

$$\bar{I}_{\text{вх. рез}} = \bar{I}_{g_1} + \bar{I}_{a_1} + \bar{I}_{g_1 c} = \bar{I}_{e_1} + \bar{I}_{g_1 c},$$

где $\bar{I}_{g_1 c}$ — емкостный ток сетки;

\bar{I}_{e_1} — первая гармоника суммарного тока.

На рис. 72 представлена эквивалентная схема усилителя с общей сеткой с учетом междуэлектродных емкостей.

Из схемы следует, что емкостная составляющая входного тока складывается из тока через входную емкость $C_{g_1 k}$ и тока через емкость C_{ak} , являющуюся в данной схеме проходной:

$$\bar{I}_{g_1 c} = \bar{I}_{g_1 k} + \bar{I}_{ak}.$$

Результирующая входная проводимость схемы оказывается значительно выше, чем в схеме с общим катодом, и будет равна

$$Y_{\text{вх. рез}} = \frac{\bar{I}_{\text{вх. рез}}}{\bar{U}_{mg_1}} = \frac{\bar{I}_{e_1}}{\bar{U}_{mg_1}} + \frac{\bar{I}_{g_1\kappa}}{\bar{U}_{mg_1}} + \frac{\bar{I}_{a\kappa}}{\bar{U}_{mg_1}} = Y_0 + Y_1 + Y_2.$$

Первое слагаемое проводимости Y_0 , определяемое суммарным током лампы, оказывается равным средней кру-

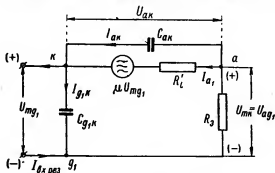


Рис. 72. Эквивалентная схема усилителя с общей сеткой с учетом междueleктродных емкостей.

тизне характеристики суммарного тока $S_{e\text{ ср}}$; действительно, первая гармоника суммарного тока

$$\bar{I}_{e_1} = \frac{S_e}{\alpha_l} \bar{U}_{mg_1} = S_{e\text{ ср}} \bar{U}_{mg_1}$$

и очевидно, что

$$Y_0 = \frac{\bar{I}_{e_1}}{\bar{U}_{mg_1}} = S_{e\text{ ср}}.$$

В недонапряженном и критическом режимах ток сетки значительно меньше анодного, поэтому

$$\bar{I}_{e_1} \approx \bar{I}_{a_1} \text{ и } S_{e\text{ ср}} \approx S_{\text{ср}},$$

где $S_{\text{ср}}$ — средняя крутизна анодного тока.

Второе слагаемое Y_1 является проводимостью емкости $C_{g_1\kappa}$, как и в схеме с общим катодом:

$$Y_1 = \frac{\bar{I}_{g_1\kappa}}{\bar{U}_{mg_1}} = j\omega C_{g_1\kappa}.$$

Третье слагаемое проводимости Y_2 определяется проходной емкостью $C_{ак}$ и зависит не только от величины этой емкости, но и от настройки анодно-сеточного контура и режима работы лампы.

Расчеты показывают, что

$$Y_2 = j\omega C_{ак} (1 - S_{ср}Z_2).$$

Так как $Z_2 = r_2 + jx_2$, то результирующая входная проводимость схемы будет равна

$$Y_{вх. рез} = S_{ср} + \omega C_{ак} S_{ср} x_2 + j\omega [C_{г1к} - (S_{ср}r_2 - 1) C_{ак}]$$

или

$$Y_{вх. рез} = g_{вх. рез} + jb_{вх. рез}.$$

Реактивная составляющая проводимости носит емкостный характер и определяется динамической входной емкостью, которая оказывается меньше емкости сетка—катод:

$$C_{вх} = C_{г1к} - (S_{ср}r_2 - 1) C_{ак}.$$

При настроенном контуре $r_2 = R_2$ и входная емкость будет минимальной:

$$C_{вх} = C_{вх. min} = C_{г1к} - (S_{ср}R_2 - 1) C_{ак}.$$

Снижение динамической входной емкости является важным преимуществом схемы с общей сеткой, ослабляя влияние режима данного усилителя на предыдущий.

Активная составляющая результирующей проводимости

$$g_{вх. рез} = S_{ср} + \omega C_{ак} S_{ср} x_2 = g_0 + g_{вх}$$

состоит из активных проводимостей, обусловленных анодным током лампы (g_0) и обратной связью через емкость анод—катод ($g_{вх}$).

В отличие от схемы с общим катодом при емкостном характере сопротивления контура ($x_2 < 0$), т. е. при работе контура на частотах больше собственной, второе слагаемое активной проводимости отрицательно:

$$g_{вх} = -\omega C_{ак} S_{ср} |x_2| < 0,$$

что указывает на наличие положительной обратной реакции, однако самовозбуждение при этом невозможно, так как всегда выполняются условия

$$S_{cp} \gg |\omega C_{ак} S_{cp} x_3| \text{ и } g_{вх. рез} > 0.$$

При $x_3 > 0$ активная составляющая проводимости $g_{вх} > 0$ и в схеме наблюдается отрицательная обратная реакция, т. е. переход энергии из цепи сетки в цепь анода.

При более строгом выводе проводимости $g_{вх}$ колебательное напряжение на нагрузке определяют с учетом емкостного тока $\bar{I}_{ак}$, проходящего по ней:

$$\bar{U}_{тк} = (\bar{I}_{зг} + \bar{I}_{ак}) Z_3.$$

При этом оказывается, что входная проводимость становится отрицательной на некотором участке индуктивной расстройки контура, когда $f < f_0$, но только при условии $\omega_{max} C_{ак} R_3 > 2$.

Следовательно, условием устойчивости работы схемы с общей сеткой является обратное неравенство

$$\omega_{max} C_{ак} R_3 < 2,$$

при выполнении которого результирующая входная проводимость положительна.

Из условий устойчивости можно определить предельную частоту

$$f_{max} \leq \frac{S_{cp}}{\pi C_{ак} (A_m - 1)} = \frac{S}{\pi a_i C_{ак} (A_m - 1)}.$$

Соотношение предельных частот устойчивой работы схем с общей сеткой и с общим катодом показывает, что в первой схеме эта частота будет значительно выше. Действительно,

$$\frac{(f_{max})_{общ. сетка}}{(f_{max})_{общ. катод}} = \frac{C_{аг1}}{C_{ак}} \frac{A_m}{A_m - 1}.$$

Так как $A_m \gg 1$, то практически превышение предельной частоты в схеме с общей сеткой по сравнению с обычной схемой определяется соотношением емкостей $C_{аг1}$ и $C_{ак}$.

Так как емкость $C_{ак}$ у триодов в десятки раз меньше емкости $C_{аг1}$, то предельная частота в схеме с общей сеткой

оказывается значительно выше, что и позволило широко использовать эту схему в области метровых и дециметровых волн.

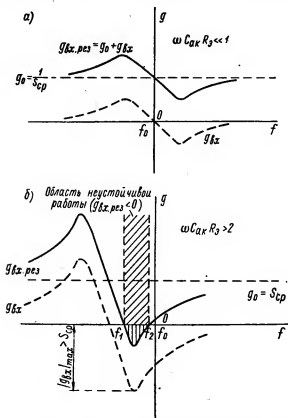


Рис. 73. Зависимость результирующей активной входной проводимости и ее составляющих от частоты для схемы с общей сеткой: а — при $\omega C_{ак} R_3 \ll 1$; б — при $\omega C_{ак} R_3 > 2$.

На рис. 73 представлены зависимости результирующей активной входной проводимости и ее составляющих от частоты для схемы с общей сеткой.

В отличие от схемы с общим катодом входная проводимость $g_{вх}$ в этом случае отрицательна при емкостном ха-

рактуре сопротивления контура ($f > f_0$) и положительна при индуктивном ($f < f_0$).

Характер проводимости $g_{вх} = \varphi(f)$ в сильной степени зависит от соотношения эквивалентного сопротивления анодно-сеточного контура R_s и сопротивления проходной емкости $\frac{1}{\omega C_{ак}}$.

При $\omega C_{ак} R_s \ll 1$ входная проводимость, обусловленная проходной емкостью, равна нулю при настроенном контуре ($f = f_0$), величина отрицательного максимума проводимости всегда значительно меньше $g_0 = S_{ср}$, и усилитель работает устойчиво при любых расстройках, так как $g_{вх. рез} > 0$ (рис. 73, а).

При увеличении $\omega C_{ак} R_s$ кривая проводимости $g_{вх}$ смещается влево, а ее максимум увеличивается тем больше, чем выше величина $\omega C_{ак} R_s$ (рис. 73, б). При $\omega C_{ак} R_s = 2$ результирующая входная проводимость обращается в нуль при определенной расстройке контура. При $\omega C_{ак} R_s > 2$ результирующая входная проводимость делается отрицательной в диапазоне $f_1 - f_2$, что указывает на возможность самовозбуждения.

Такая неустойчивая работа оказывается возможной, как и в схеме с общим катодом, только при индуктивном характере сопротивления контура.

Схема с общей сеткой в большинстве случаев не требует специальных мер для нейтрализации проходной емкости $C_{ак}$, вследствие ее малой величины. Однако в усилителях большой мощности при работе на метровых или дециметровых волнах паразитная связь через эту емкость может оказаться недопустимо большой, что потребует нейтрализации схемы.

Естественно, что нейтрализация схемы с общей сеткой не устраняет связи входной и выходной цепей за счет тока первой гармоники I_{a1} , проходящего по ним.

Глава X

СТАБИЛИЗАЦИЯ ЧАСТОТЫ В РАДИОПЕРЕДАЮЩИХ УСТРОЙСТВАХ

§ 40. Характеристика стабильности частоты и требования к ней

Стабильность частоты передатчика количественно характеризуется абсолютной и относительной нестабильностью.

Абсолютная нестабильность Δf представляет собой максимальное отклонение частоты передатчика f_r от номинального значения f_0 , т. е. $\Delta f = f_r - f_0$, причем это отклонение учитывает одновременное влияние всех основных дестабилизирующих причин.

Более удобной характеристикой является относительная нестабильность $q = \frac{\Delta f}{f_0}$, определяющая относительное изменение частоты.

Требования к стабильности частоты зависят от назначения передатчика, условий, в которых он должен работать, диапазона частот и экономических соображений.

К стационарным передатчикам любой конструкции, работающим в благоприятных температурных и атмосферных условиях, предъявляются более жесткие требования в отношении стабильности частоты, чем к подвижным малогабаритным.

Подвижные передатчики должны иметь минимальные габариты и вес, кроме того, им часто приходится работать в тяжелых внешних условиях (при большом перепаде температур, повышенной влажности воздуха и т. д.). В таких условиях обеспечение высокой стабильности частоты усложняется, поскольку оно противоречит конструктивным и экономическим требованиям.

Диапазон частот, в котором работает передатчик, также влияет на стабильность частот. С увеличением частоты при одной и той же относительной нестабиль-

ности увеличивается абсолютная неустойчивость Δf . Для сохранения Δf в допустимых пределах относительная неустойчивость должна быть меньше.

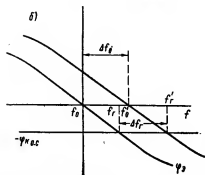
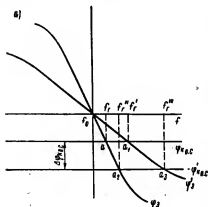


Рис. 74. Зависимость фазовых углов $\varphi_{к.с.}$ и φ_3 от частоты: а — при различной добротности контура генератора; б — при различной собственной частоте контура.

Частота колебаний передатчика и причины ее изменений. Частота передатчика определяется частотой генератора, которую можно найти из условия баланса фаз (86).

Фазовый угол эквивалентного сопротивления зависит от частоты:

$$\varphi_3 = \arctg \frac{x_3}{r_3} = \varphi(f).$$

Фазовый угол коэффициента обратной связи при малых изменениях частоты не зависит от нее и определяется в основном потерями в цепи сетки и контуре.

На рис. 74, а показаны зависимости углов φ_3 и $\varphi_{к.с.}$ от частоты и точка а пересечения графиков, в которой устанавливается баланс фаз и генерируемая частота $f = f_r$. Любое изменение хода графиков приводит к нарушению начального баланса фаз, а следовательно, и генерируемой частоты.

Действительно, при постоянной собственной частоте контура ($f_0 = \text{const}$) положение точки а определяется величиной фазового угла $\varphi_{к.с.}$ и скоростью изменения угла φ_3 в зависимости от частоты, т. е. крутизной его графика S_{φ_3} в начальной точке ($f \rightarrow f_0$): $S_{\varphi_3} = \frac{d\varphi_3}{df}$.

Чем больше эта скорость, тем меньше изменение частоты, вызывающее восстановление баланса фаз. Из рис. 74, а следует, что абсолютные изменения частоты тем меньше, чем меньше $\Phi_{\kappa_{0.с}}$ и $\Delta\Phi_{\kappa_{0.с}}$ и чем больше S_{Φ_0} .

Изменение частоты происходит независимо от причин, вызвавших изменение Φ_0 или $\Phi_{\kappa_{0.с}}$, причем частота генерируемых колебаний тем ближе к собственной частоте контура f_0 , чем меньше $\Phi_{\kappa_{0.с}}$ и чем больше S_{Φ_0} .

Влияние баланса фаз рассматривалось при условии постоянства собственной частоты контура f_0 , однако нетрудно убедиться (рис. 74, б), что изменение f_0 вызывает примерно такие же изменения генерируемой частоты: $\Delta f_0 \approx \Delta f_r$.

Указанные соображения позволяют сделать следующие выводы о причинах непостоянства генерируемой частоты.

Во-первых, частота колебаний меняется при нарушении баланса фаз независимо от причины, вызвавшей это нарушение. Уход частоты (при прочих равных условиях) тем меньше, чем выше добротность контура Q (так как $S_{\Phi_0} \approx Q$) и меньше фазовый угол $\Phi_{\kappa_{0.с}}$, т. е. чем меньше потери в цепи сетки генератора.

Во-вторых, частота колебаний близка к собственной частоте контура и изменяется при изменении этой частоты. Очевидно, что изменения частот f_0 и f_r тем меньше, чем выше эталонные свойства колебательного контура, т. е. чем меньше изменения параметров контура, вызываемые различными причинами.

Кроме нестабильности частоты, необходимо учитывать неточность установки частоты генератора, которая определяется неточностью градуировки, субъективными погрешностями установки частоты и другими факторами, не связанными со стабильностью частоты.

Расчеты показывают, что относительная нестабильность

$$\frac{\Delta f_r}{f_r} = \frac{\Delta f_0}{f_0} + \delta\Phi_{\kappa_{0.с}} + \delta\Phi_{\text{н.}}$$

Это выражение справедливо при малых величинах Δf_r , когда $f_r \approx f_0$.

Последнее уравнение содержит три составляющие нестабильности частоты. Первая составляющая $\frac{\Delta f_0}{f_0}$ представляет относительное изменение собственной частоты

контура, вызванное изменением его параметров L и C . Это слагаемое определяет общую нестабильность частоты, причем

$$\frac{\Delta f_0}{f_0} = -\frac{1}{2} \left(\frac{\Delta L}{L} + \frac{\Delta C}{C} \right). \quad (106)$$

Для снижения общей нестабильности необходимо повысить эталонные свойства колебательного контура, т. е. использовать такие детали, которые бы в меньшей степени изменяли свои параметры при различных внешних воздействиях.

Вторая составляющая нестабильности $\frac{\Delta \varphi_{\kappa.o.c}}{2Q} = \delta \varphi_{\kappa.o.c}$ представляет собой относительное изменение генерируемой частоты, обусловленное потерями в контуре и в цепи сетки. Эта поправка частоты зависит от добротности колебательной системы и будет тем меньше, чем выше добротность Q . Величина $\delta \varphi_{\kappa.o.c}$ в большинстве случаев невелика по сравнению с $\frac{\Delta f_0}{f_0}$, но иногда с ней приходится считаться.

Третье слагаемое $\delta \varphi_n$ — поправка частоты, называемая *нелинейной*. Она вызвана появлением высших гармоник и поэтому тем меньше, чем ниже их уровень.

Следовательно, для получения высокой стабильности частоты генератора необходимо использовать колебательные системы с хорошими эталонными свойствами и большой добротностью. Высокая добротность приведет к снижению не только второй, но и третьей поправок частоты, так как благодаря лучшим фильтрующим свойствам контура амплитуды гармоник уменьшатся.

§ 41. Дестабилизирующие факторы и методы ослабления их влияния на частоту

Основная нестабильность генерируемой частоты вызывается изменением параметров контура L и C , в которые входит не только емкость контурного конденсатора и индуктивность катушки, но и емкости и индуктивности выводов ламп, монтажа, экранов и другие паразитные индуктивности и емкости, подключенные к контуру. Следовательно, любая причина, которая приводит к изменению общей емкости или индуктивности контура, вызовет изменение его собственной, а также и генерируемой частоты.

К основным факторам, действующим на общие параметры контура и стабильность частоты, относятся механические, температурные, атмосферные влияния и режим работы.

Механические влияния. Механические влияния на частоту появляются при вибрации, ударах, перекосах установочных плат и шасси, короблении каркасов катушек и т. п. Эти причины приводят к периодическим (при вибрации) и односторонним изменениям геометрических размеров контурных деталей, взаимному смещению деталей, монтажных проводов, экранов и электродов лампы генератора. В результате меняются параметры контурных деталей, паразитные емкости и индуктивности, входящие в контур, а следовательно, и генерируемая частота.

Наибольшее влияние механические факторы оказывают на подвижные передатчики. Особенно сильно воздействует на генерируемую частоту вибрация пластин контурного конденсатора и электродов ламп.

Для ослабления влияния механических факторов при конструировании передатчика принимают специальные меры, к которым относятся: 1) амортизация генератора, его лампы и отдельных деталей, а также передатчика в целом; 2) размещение передатчика в местах минимальных сотрясений; 3) применение массивных, механически прочных и жестких деталей колебательного контура.

Монтаж генератора должен быть жестким, каркас и шасси литыми или сварными, экраны жесткими и прочно закрепленными на шасси. Требования жесткости и прочности предъявляются и к лампам генератора.

В качестве установочных диэлектрических деталей и каркасов катушек используются прочные материалы, которые не подвергаются перекосам и короблению (например, высокочастотная керамика и т. п.).

Температурные влияния. Колебания температуры элементов генератора приводят к изменению генерируемой частоты. Это изменение принято характеризовать температурным коэффициентом частоты, представляющим относительное отклонение частоты при изменении температуры на 1°C ,

$$\alpha_f = \frac{\Delta f}{f \Delta t^\circ}.$$

Температура контурных деталей в основном определяется температурой внешней среды. Изменение температуры за счет токов, обтекающих контур, незначительно из-за небольшой генерируемой мощности. Несколько большее влияние оказывает нагревание деталей от лампы генератора.

Подвижные передатчики работают при больших изменениях температуры среды и должны иметь заданную стабильность при значительном перепаде внешних температур, например от $-(40-50)^{\circ}\text{C}$ до $+(50-60)^{\circ}\text{C}$.

Изменение температуры среды приводит к изменениям емкости и индуктивности контура, диэлектрической постоянной диэлектриков, входящих в конструкцию контурных деталей, активного сопротивления проводов и др. Изменение температуры лампы вызывает изменение геометрических размеров ее электродов.

Влияние температуры на индуктивность катушки и емкость контурного конденсатора характеризуется температурными коэффициентами, представляющими относительные изменения величин индуктивности и емкости при изменении температуры на 1°C

$$\alpha_L = \frac{\Delta L}{L \Delta t^{\circ}}; \quad \alpha_C = \frac{\Delta C}{C \Delta t^{\circ}}.$$

Изменение температуры приводит к изменению диаметра витков катушки, шага намотки и ее длины, диэлектрической постоянной каркаса и активного сопротивления провода катушки.

Для уменьшения температурного коэффициента индуктивности (ТКИ) к материалам и конструкциям контурных катушек предъявляются жесткие требования. Каркасы делают из высокочастотной керамики с малыми температурными коэффициентами расширения и диэлектрической постоянной (плавленый кварц, ультрафарфор, керамика и др.) Провод для намотки желательно изготовлять из инвара — сплава с малым температурным коэффициентом расширения (порядка 10^{-6}).

Часто применяют горячую намотку катушки проводом, разогретым до $100-150^{\circ}\text{C}$, которая увеличивает плотность сцепления витков с каркасом. Кроме того, широко используют конструкции катушек с намоткой, изготовленной методом вжигания металла в керамику. Температурный коэффициент индуктивности таких катушек

приближается к температурному коэффициенту материала каркаса. Для уменьшения влияния изменения диэлектрической постоянной материала применяют ребристые каркасы. В результате ТКИ снижается до $(5-30) \cdot 10^{-6}$, в то время как у обычных катушек он составляет $(100-200) \cdot 10^{-6}$.

Изменение емкости конденсатора с температурой вызвано изменением геометрических размеров площади пластин и зазора, возникновением деформации пластин и диэлектриков и изменением диэлектрической постоянной диэлектрика. Большое влияние на стабильность емкости оказывает не только величина температурного коэффициента, но и его постоянство при повторных нагреваниях и охлаждениях. Если температурный коэффициент емкости (ТКЕ) в разных циклах нагревания и охлаждения оказывается различным, то и емкость контура каждый раз будет другой. Такая нецелесообразность зависит от старения диэлектрика конденсатора, но может иметь место и у конденсаторов с воздушным диэлектриком из-за медленного установления температуры.

Более низкий ТКЕ у конденсаторов следующих типов: воздушных, вакуумных, керамических и термокомпенсированных. В воздушных конденсаторах пластины, шайбы и оси (в конденсаторах переменной емкости) желательно изготовлять из инвара и использовать высококачественные диэлектрики. В керамических конденсаторах применяют диэлектрики с малым температурным коэффициентом диэлектрической постоянной α_c , а в качестве обкладок используют слон серебра, нанесенные на диэлектрик. У термокомпенсированных конденсаторов подбором материалов пластин, шайб и диэлектрика получают значительное снижение α_c . Однако применение этих конденсаторов ограничено из-за сложности конструкции.

В некоторых видах керамических конденсаторов используются титаноэлектрики (титонд и др.), что обуславливает отрицательный ТКЕ. Это свойство позволяет применять керамические конденсаторы для термокомпенсации в контуре генератора.

Как указывалось выше, нестабильность частоты, вызванная изменением L и C , определяется уравнением (106), откуда следует, что температурный коэффициент частоты

$$\alpha_f = \frac{\Delta f_0}{f_0 \Delta t^\circ} = -\frac{1}{2} \left(\frac{\Delta L}{L \Delta t^\circ} + \frac{\Delta C}{C \Delta t^\circ} \right) = -\frac{1}{2} (\alpha_L + \alpha_C). \quad (107)$$

Поддержание постоянства f_0 , при котором $\alpha_f \rightarrow 0$ можно осуществить: 1) уменьшением α_L и α_C до нуля; 2) взаимной компенсацией их ($\alpha_L + \alpha_C = 0$); 3) сохранением постоянной температуры контура ($\Delta t^\circ \approx 0$).

Наиболее широко в подвижных передатчиках малой и средней мощности используются два первых способа, с помощью которых снижают температурные коэффициенты индуктивности и емкости, как описано выше, и осуществляют термокомпенсацию конденсаторами с отрицательными ТКЕ.

При третьем способе влияние внешней температуры уменьшается помещением контура в термостат. Этот способ обеспечивает наилучшие результаты, но из-за сложности и высокой стоимости конструкции передатчика применяется только в ответственных случаях.

К температурным влияниям на частоту относятся влияние разогрева лампы генератора после ее включения. Практика показывает, что после включения передатчика самое большое изменение частоты наблюдается в первые 10—20 мин. работы. Это изменение частоты называется *выбегом*. При разогревании лампы, температура элементов которой зависит от действующих в ней токов и напряжений, меняются геометрические размеры электродов и диэлектрическая постоянная диэлектриков, используемых в конструкции (цоколь, баллон). Все это приводит к изменению собственных емкостей лампы, входящих в контур. Особенно сильно влияет на изменение емкости диэлектрическая постоянная стекла, температурный коэффициент которого достигает $2 \cdot 10^{-3}$.

Для уменьшения выбега частоты необходимо использовать лампы с разнесенными выводами электродов и диэлектриками с малыми температурными коэффициентами.

Для снижения температуры лампы иногда применяют принудительное воздушное охлаждение ее вентилятором.

Атмосферные влияния. К атмосферным влияниям относятся изменения влажности воздуха и давления. Изменение влажности приводит к изменению диэлектрической постоянной воздуха. С повышением температуры влияние влажности будет сильнее.

Для уменьшения влияния влажности и давления необходимо использовать негигроскопичные диэлектрики, а вместо конденсаторов с воздушным диэлектриком — керамические или вакуумные герметизированные.

Желательно осуществлять герметизацию генератора, помещая его в термостат.

Влияние режима работы генератора. На частоту генератора значительное влияние оказывает режим его работы, изменение которого приводит к изменению фазовых соотношений, междуэлектродных емкостей и теплового режима деталей и лампы. На режим работы генератора действуют непостоянство питающих напряжений и непостоянство реакции последующих усилителей.

Непостоянство питающих напряжений. Изменение напряжения питания лампы (анода, накала, экранной и управляющей сеток) приводит к изменению сеточных токов и потерям в цепи сетки. В результате этого изменяется фазовый угол коэффициента обратной связи, баланс фаз и частота колебаний. Кроме того, из-за изменения амплитуд гармоник меняется нелинейная поправка частоты.

Изменение напряжений питания влияет на тепловой режим лампы, так как изменяет баланс мощностей в генераторе; от величины питающих напряжений зависит плотность объемного заряда лампы и, следовательно, междуэлектродные емкости (в основном емкость участка сетка—катод).

Исследования показывают, что изменения фазового угла коэффициента обратной связи $\Delta\varphi_{\text{о.с.}}$, вызываемые нестабильностью источников питания, оказываются порядка затухания контура d , а так как вблизи собственной частоты

$$\operatorname{tg} \varphi_s \approx \varphi_s = -\frac{2\Delta f}{f_r} Q,$$

то баланс фаз восстанавливается, когда

$$\varphi_s = |\Delta\varphi_{\text{о.с.}}| \approx d = \frac{1}{Q} \text{ или } \frac{\Delta f}{f_r} \approx -\frac{1}{2Q^2}.$$

Таким образом, влияние напряжений питания на частоту тем меньше, чем больше добротность контура, т. е. чем выше крутизна фазовой характеристики.

Для уменьшения влияния изменения питающих напряжений на частоту увеличивают стабильность питающих напряжений. Питание генератора желательно осуществлять от отдельных источников. Важным моментом, позволяющим повысить стабильность частоты, является выбор

такого режима работы генератора, при котором токи сетки будут постоянными.

Существуют методы ослабления влияния питающих напряжений подбором реактивных элементов в цепи сетки для компенсации фазовых сдвигов, вызванных изменением напряжений питания. Такая стабилизация называется *параметрической*. Она дает хорошие результаты только при работе на одной частоте и в диапазоновых передатчиках применяется редко.

Непостоянство реакции последующих усилителей. Цепь сетки первого усилителя, следующего за генератором, входит в нагрузку последнего. Всекие изменения режима этой цепи, вызванные изменением сеточных токов и паразитными связями сеточной цепи с анодной через проходную емкость лампы первого усилителя, приводят к изменению нагрузки, а следовательно, режима и частоты генератора.

Для уменьшения реакции первого усилителя на генератор необходимо ослабить связь с генератором, уменьшить или свести к нулю сеточные токи первого усилителя, используя в нем буферный режим, а также построить его на пентодах с малой проходной емкостью и желательно в режиме умножения частоты.

Применение буферных усилителей позволяет резко ослабить влияние последующих мощных усилителей и антенной цепи на генератор. Буферный усилитель работает с низким к. п. д. и его лампа плохо используется по мощности, что снижает промышленный к. п. д. передатчика.

Для ослабления влияния нагрузки на генератор весьма целесообразно и перспективно использовать двухконтурную схему генератора с электронной связью, работа которой будет рассмотрена в следующем параграфе.

Реакция последующих усилителей может также выражаться в паразитных влияниях их токов на генератор, в результате чего в деталях и проводах питания появятся паразитные э. д. с.

Для уменьшения этих влияний, приводящих к изменению реактивных сопротивлений в контуре и генерируемой частоты, а также для ослабления аналогичного влияния внешних полей генератор и его детали экранируют, а в цепях питания устанавливают развязывающие фильтры.

Меры, принятые для ослабления влияния дестабилизирующих факторов, позволяют получить общую

нестабильность частоты порядка $\pm(5-10) 10^{-4}$. В ряде конкретных случаев нестабильность может оказаться значительно меньше ввиду того, что различные дестабилизирующие факторы влияют на частоту в противоположных направлениях.

Кроме нестабильности, вызванной рассмотренными причинами, большое значение имеет точность градуировки и установки частоты. При неточности градуировки и установки могут быть сведены на нет все мероприятия по ослаблению влияния дестабилизирующих факторов.

Для повышения точности установки частоты увеличивают размеры шкалы генератора и цену деления, применяют тщательно выполненные высокоточные механизмы (для вращения элемента настройки) с малыми люфтами. При передаче движения к подвижному элементу настройки (ротор конденсатора или варномера) применяют большое замедление; для более точной установки частоты по визиру используют линзы и проекционные шкалы. Повышение точности установки достигается уменьшением коэффициента перекрытия поддиапазонов и применением умножителей частоты.

§ 42. Двухконтурные схемы генераторов с электронной обратной связью

Один из наиболее эффективных способов повышения стабильности частоты — построение генератора по двухконтурной схеме с электронной связью — предложен Б. К. Шембелем в 1934 г. Эта схема широко используется как в качестве генератора мощных передатчиков, так и в мало-мощных подвижных передатчиках при работе непосредственно на антенну без промежуточных усилителей. Преимущество ее заключается в том, что генерируемая частота определяется параметрами контура, входящего в цепь самовозбуждения, полезная же мощность снимается со второго контура, изменение параметров которого слабо влияет на генерируемую частоту. Такое разделение функций генерации колебаний и отбора полезной мощности позволяет повысить эталонные свойства контура, задающего частоту, и энергетические качества контура, в котором вырабатывается полезная мощность. В схеме Шембеля получается высокая стабильность частоты благодаря слабому влиянию на частоту реакции последующих усилителей и нестабильности питающих напряжений.

На рис. 75, *а* показана простейшая эквивалентная схема генератора на триоде. В анодную цепь лампы включены последовательно два контура: внутренний *I* входит в схему самовозбуждения, внешний *II* связан с нагрузкой. Оба контура обтекает анодный ток. Амплитуда колеба-

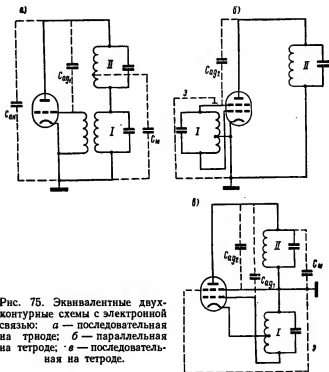


Рис. 75. Эквивалентные двухконтурные схемы с электронной связью: *а* — последовательная на триоде; *б* — параллельная на тетроре; *в* — последовательная на тетроре.

тельного напряжения, а следовательно, и полезная колебательная мощность перераспределяются в соответствии с величинами эквивалентных сопротивлений внутреннего и внешнего контуров (R_{s1} и R_{s2}).

Для увеличения мощности во внешнем контуре необходимо увеличить его эквивалентное сопротивление, т. е. выполнить условие

$$\frac{R_{s2}}{R_{s1}} \gg 1.$$

Уменьшение мощности, выделяемой во внутреннем контуре, улучшит его тепловой режим, что благоприятно скажется на стабильности частоты. Кроме того, снижение $R_{\Sigma 1}$ можно осуществить путем увеличения емкости контура, а это приведет к уменьшению влияния на контур нестабильной емкости ламп и монтажа.

Однако высокая стабильность схемы будет обеспечена только при ослаблении влияния внешнего контура на внутренний. Это влияние может осуществляться через междуэлектродные емкости лампы $C_{\text{ак}}$ и $C_{\text{аг1}}$, емкость внешнего контура относительно земли $C_{\text{м}}$, взаимную индукцию катушек, а также через внутреннее сопротивление лампы. Последняя связь возникает благодаря воздействию анодного напряжения на анодный ток, что особенно сильно выражено у триодов и при работе в перенапряженном режиме, когда при изменении анодного напряжения происходит резкое перераспределение анодного и сеточного токов.

В схеме на триоде связь между контурами очень сильна, поэтому схема на триоде применяется сравнительно редко. Лучшие результаты получаются при использовании тетродов и пентодов.

На рис. 75, б, в представлены эквивалентные схемы двух основных вариантов генератора: параллельная (с заземленным катодом) и последовательная (с заземленным анодом генераторной части лампы, функцию которого выполняет экранная сетка).

В параллельной схеме (рис. 75, б) имеет место значительная паразитная связь между внутренним и внешним контурами через междуэлектродную емкость анод—экранный сетка $C_{\text{аг1}}$. Применение пентода в этом случае не дает заметного эффекта из-за слабого экранирующего действия редкой антидинаatronной сетки.

Более совершенной является последовательная схема (рис. 75, в), в которой экранная сетка соединена с электростатическим экраном Э и заземлена по высокой частоте. При таком включении почти полностью устраняются паразитные связи через емкость анод—экранный сетка ($C_{\text{аг1}}$), емкость внешнего контура относительно земли ($C_{\text{м}}$) и индуктивная связь между катушками контуров.

Сопротивлением связи между контурами является общее для них сопротивление экрана, которое должно быть по возможности небольшим. Вывод экранной сетки дол-

жен быть коротким, что необходимо для уменьшения его паразитной индуктивности.

В схеме на пентоде защитная сетка (как и экраниная) заземляется по высокой частоте.

В результате заземления экранной сетки, служащей анодом возбудителя, катод может оказаться под высокочастотным потенциалом, поэтому его следует защитить дросселем высокой частоты.

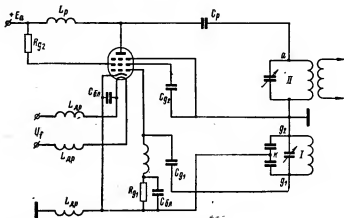


Рис. 76. Схема генератора с электронной связью с параллельным питанием и емкостной обратной связью во внутреннем контуре.

Последовательная схема благодаря преимуществам по сравнению с параллельной имеет более широкое практическое применение.

На рис. 76 представлена последовательная схема на пентоде с заземленной экранной сеткой. Возбудитель собран по емкостной трехточечной схеме. Схема питания анода параллельная.

Особенностью работы лампы в схеме Шембеля является то, что на экранной и защитной сетках (относительно катода), как и на аноде, действуют высокочастотные напряжения. Это объясняется тем, что указанные сетки подключены к внутреннему контуру, и их мгновенное напряжение складывается из постоянной и переменной составляющих; последняя определяется колебательным на-

пряжением внутреннего контура. Таким образом, мгновенные напряжения на электродах будут:

$$e_{g_1} = U_{mg_1} \cos \omega t + E_{g_1}; \quad e_{g_2} = E_{g_2} - U_{m_1} \cos \omega t;$$

$$e_{g_3} = E_{g_3} - U_{m_1} \cos \omega t; \quad e_a = E_a - U_m \cos \omega t,$$

где $E_{g_1}, E_{g_2}, E_{g_3}, E_a$ — постоянные напряжения на электродах;

$U_{m_1} = (I_{a_1} + I_{g_{31}}) R_{\Sigma 1}$ — амплитуда колебательного напряжения на внутреннем контуре, обтекаемом первым гармоникой анодного и экранного токов;

$U_m = U_{m_1} + U_{m_2}$ — амплитуда колебательного напряжения на обоих контурах;

$U_{m_2} = I_{a_1} R_{\Sigma 2}$ — амплитуда колебательного напряжения на внешнем контуре.

Напряжения на аноде, экранной и защитной сетках изменяются синфазно, причем на защитной сетке в некоторые моменты времени напряжение оказывается отрицательным.

Стабильность частоты. Высокая стабильность частоты в схеме Шембеля может быть обеспечена только при ослаблении паразитной связи внешнего и внутреннего контуров через емкости лампы C_{ag_1}, C_{ak} и C_m (рис. 75, в), так как эта связь приводит к реакции нагрузки на стабильность частоты.

Расчеты показывают, что эта реакция носит емкостной характер и ее влияние эквивалентно подключению к внутреннему контуру дополнительной емкости ΔC , которая зависит от междueleктродных емкостей лампы, обратной связи и от соотношения напряжений на контурах $m = \frac{U_{m_2}}{U_{m_1}}$. Нестабильность частоты, обусловленная этой емкостью

$$\left| \frac{\Delta f}{f} \right| = \frac{\Delta C}{2C_1},$$

где C_1 — емкость внутреннего контура.

Дополнительная емкость будет тем меньше, чем меньше отношение m , поэтому если необходимо максимально ослабить реакцию нагрузки и получить высокую стабильность частоты, следует работать при малых $m \approx 0,5-2$.

В тех случаях, когда основной задачей является получение заданной мощности в нагрузке (например, при работе внешнего контура непосредственно на антенну), можно допустить увеличение m и принять $m \leq 6-7$. При этом стабильность частоты значительно ухудшится.

Уменьшение паразитной связи через емкость внешнего контура относительно земли C_m и емкость $C_{g_1 g_2}$ почти полностью устраняется тщательной экранировкой экранной сетки, поэтому влияние этой связи при расчетах не учитывается.

Паразитная связь через внутреннее сопротивление лампы ослабляется использованием в схеме пентодов (реже тетродов) с большим внутренним сопротивлением, а также применением критического или слегка недонапряженного режима по управляющей сетке. В этом случае изменения анодного напряжения и параметров внешнего контура будут в меньшей степени влиять на анодный ток лампы, а следовательно, и на стабильность частоты. Для уменьшения влияния экранного тока на суммарный ток лампы желательно выбрать режим лампы по экранной сетке также слегка недонапряженным или критическим. Осуществление недонапряженного режима по управляющей сетке возможно при выполнении условия $e_{g_2 \min} > e_{g_2 \max}$. Угол отсечки и лампу выбирают с учетом тех же соображений, что и в схеме одноконтурного генератора.

Для расчета режима генератора необходимо иметь характеристики лампы в триодном и пентодном включениях, поскольку внутренняя часть лампы (катод, управляющая и экранная сетки) работает в режиме триода с внутренним контуром в качестве нагрузки и током

$$i_e = i_a + i_{g_2}.$$

Как и для одноконтурных схем генераторов, возможны два варианта расчета: в первом исходной является заданная полезная мощность $P_{\sim 2}$, во втором — максимально достижимая стабильность частоты.

При расчете на заданную мощность полная колебательная мощность в анодной цепи P_{\sim} будет слагаться

из мощностей, развиваемых во внутреннем ($R_{\sim 1}$) и внешнем ($P_{\sim 2}$) контурах:

$$P_{\sim} = P_{\sim 2} + P_{\sim 1} = P_{\sim 2} \left(1 + \frac{P_{\sim 1}}{P_{\sim 2}} \right) = P_{\sim 2} \left[1 + \left(\frac{I_{a1}}{I_{a2}} \right)^2 \frac{R_{s1}}{R_{s2}} \right],$$

где $P_{\sim 1} = \frac{1}{2} I_{a1}^2 R_{s1}$ — колебательная мощность, развиваемая во внутреннем контуре;

$P_{\sim 2} = \frac{1}{2} I_{a2}^2 R_{s2}$ — колебательная мощность, развиваемая во внешнем контуре;

$I_{a1}, I_{g1}, I_{a1} = I_{a1} + I_{g1}$ — амплитуда первых гармоник анодного, экранного и суммарного тока соответственно.

Напряжения возбуждения, смещения и цепь управляющей сетки при автоматическом смещении рассчитывают обычным путем.

В заключение производят расчет внутреннего контура (как в генераторах) и внешнего контура, исходя из величины эквивалентного сопротивления R_{s2} и диапазона частот $f_{\min} - f_{\max}$. При работе на антенну внешний контур рассчитывают в зависимости от принятой схемы выхода.

Такой метод расчета обычно применяют при работе схемы непосредственно на антенну. При использовании генератора в качестве возбудителя мощного передатчика применяют другой метод расчета, с помощью которого можно обеспечить максимально возможную стабильность частоты, исходя из минимального влияния на внутренний контур, задающий частоту, лампы и нагрузки.

Иногда в схеме Шембеля применяют умножение частоты. Внешний контур настраивается на вторую или третью гармонику анодного тока, а внутренний — на первую. Напряжение на аноде будет меняться как с основной, так и с удвоенной (или утроенной) частотой в отличие от напряжения сеток.

В этом режиме напряжение на внешнем контуре создается второй гармоникой анодного тока, а на внутреннем — суммой первых гармоник экранного и анодного

токов. Мгновенные напряжения на электродах лампы будут

$$e_{g1} = U_{m g1} \cos \omega t + E_{g1}; \quad e_{g2} = E_{g2} - U_{m1} \cos \omega t;$$

$$e_{g3} = E_{g3} - U_{m1} \cos \omega t;$$

$$e_a = E_a + e'_a + e''_a = E_a - U_{m1} \cos \omega t - U_{m2} \cos 2\omega t.$$

Умножение частоты значительно ослабляет влияние внешнего контура на внутренний.

§ 43. Кварцевая стабилизация частоты в генераторах

Генераторы, в которых используются колебательные контуры обычного типа, при условии выполнения всех требований по снижению влияния дестабилизирующих факторов позволяют получить относительную нестабильность частоты порядка 10^{-4} , что часто оказывается недостаточным. Для получения более высокой стабильности частоты в современных радиопередающих устройствах широко применяют методы стабилизации с помощью электро-механических колебательных систем.

Электро-механическая колебательная система должна обладать высокой добротностью, быть достаточно прочной и малогабаритной, а также мало подверженной механическим и температурным влияниям, обеспечивать простое преобразование механических колебаний в электрические.

Наиболее удобными стабилизирующими электро-механическими системами являются пьезоэлектрические. Пьезоэлектрический эффект заключается в появлении электрических зарядов на гранях некоторых кристаллов при действии на них механических сил (прямой эффект) и в механических деформациях кристаллов при действии на них электрических сил (обратный эффект). Пьезоэлектрическими свойствами обладают кварц, турмалин, сегнетова соль и некоторые искусственные материалы, изготовленные на основе титаната бария.

В передатчиках применяется главным образом кварц, так как турмалин встречается в природе редко, а сегнетова соль механически непрочна, гигроскопична и обладает низкими эталонными свойствами. Искусственные пьезоэлектрики также имеют низкие эталонные свойства. Кварц наиболее полно удовлетворяет требованиям, предъявляемым

к стабилизирующим колебательным системам, и широко распространен в природе.

Кварц (SiO_2) встречается в виде кристаллов гексагональной системы (горный хрусталь). Кристалл представляет шестигранную призму, на основаниях которой расположены шестигранные пирамиды (рис. 77, а). Кварц тверд и упруг, его физические свойства мало зависят от температуры, влажности и давления окружающей среды. Он хороший диэлектрик с высоким удельным сопротивлением (порядка 10^{15} ом·см). Диэлектрическая постоянная $\epsilon \approx 4,5$ и почти не зависит от внешних условий.

Кристалл кварца имеет одну оптическую ось Z , проходящую через вершины пирамиды вдоль кристалла, три электрические оси X , проходящие перпендикулярно оптической оси через ребра призмы, и три механические оси Y , перпендикулярные оси Z и граням призмы кристалла (рис. 77, б).

Пластинка кварца вырезается из призмы под различными углами к осям. В зависимости от ориентировки пластины относительно осей различают простые и сложные (косые) срезы кварца. При простых срезах пластина вырезается так, что ее плоскость перпендикулярна оси X (X -срез) или оси Y (Y -срез) (рис. 78, а, б). При сложных срезах пластина вырезается параллельно осям X и Y и под углом к оси Z . На рис. 83, в представлены сложные срезы кварца типа АТ, ВТ, СТ и т. д. до FT, срезы АС и ВС, а также GT. Наиболее часто применяются срезы АТ с углом среза $\theta \approx 35^\circ$, СТ с углом среза $\theta \approx 38^\circ$, ВТ с углом среза $\theta \approx -49^\circ$ и др.

Применение сложных срезов позволяет свести к нулю температурный коэффициент частоты кварца.

Пластины с простым срезом имеют значительный температурный коэффициент частоты и для ста-

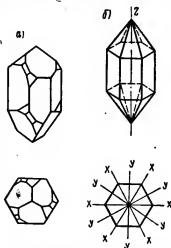


Рис. 77. Кварц: а — кристалл; б — оси.

билизации в современных генераторах применяются редко.

Пьезоэлектрические свойства кварца проявляются только в направлении электрических и механических осей.

Если пластину кварца подвергнуть действию механических сил растяжения или сжатия вдоль осей X или Y , то на гранях пластинки возникают электрические заряды противоположного знака, которые при действии перемен-

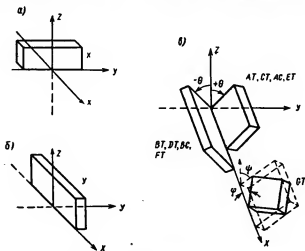


Рис. 78. Срезы кварца: a — X-срез; b — Y-срез; c — сложные.

ных сил будут переменными. Заряды возникают и при действии касательных к граням механических напряжений.

При действии постоянного электрического поля в кристалле возникают упругие деформации, величина которых зависит от напряженности электрического поля, а знак — от его полярности. При действии на пластинку переменного электрического поля она совершает механические колебания, в результате чего в кварце распространяются упругие колебания, которые, отражаясь от граней, образуют стоячие волны.

Виды колебаний и собственные частоты кварца. Для стабилизации частоты применяются квадратные или круглые пластинки кварца или стержни прямоугольного

сечения. В зависимости от формы пластин, их размеров и вида среза механические колебания бывают различными, причем кварцевая пластинка может иметь несколько собственных частот и колебаний.

Различают следующие типы колебаний пластин: сжатия и растяжения, изгиба, сдвига и кручения. Указанные колебания возможны на основной частоте и гармониках и происходят по длине и по толщине пластины. Благодаря пьезоэлектрическим свойствам пластины на ее гранях возникают электрические колебания той же частоты.

В диапазоне радиочастот применяются колебания растяжения и сжатия по толщине (реже по длине) прямоугольной пластины. Эти колебания в зависимости от среза и размеров пластины могут сопровождаться дополнительными колебаниями других видов.

При растяжении и сжатии в пластине кварца создаются упругие стоячие колебания с длиной волны

$$\lambda_{\text{мех}} = \frac{2a}{n},$$

где a — размер пластины в направлении волны, мм;
 n — номер гармоники колебаний.

Точки пластины в процессе колебаний имеют различные амплитуды механических смещений δ . При свободных концах пластины и колебаниях по толщине точки, лежащие на горизонтальной оси пластины, не смещаются, т. е. в них образуется узел колебаний. Точки, лежащие на гранях пластины, имеют максимальные амплитуды смещения $\delta_{\text{мах}}$, т. е. на гранях наблюдаются пучности смещений.

Следовательно, по толщине пластины укладывается половина стоячей волны и $\lambda_0 = 2a$. Эта волна и является собственной волной механических колебаний. При колебаниях на гармониках собственной частоты вдоль толщины образуется не один, а несколько узлов (и пучностей) колебаний, при этом длина волны уменьшается.

Частота механических колебаний кварцевой пластины (кГц)

$$f = \frac{v}{\lambda_{\text{мех}}} = n \frac{v}{2a},$$

где v — скорость распространения упругих колебаний в кварце в направлении a .

При $n = 1$ для различных срезов кварца

$$f = \frac{1600 - 3600}{a}.$$

Длина волны электрических колебаний зарядов на гранях пластины (m)

$$\lambda = \frac{c_0}{f} = \frac{3 \cdot 10^8}{f} = (78 - 200) a.$$

Для пластинок X-среза при колебаниях по толщине d $\lambda_d \approx 106d$ и по длине l $\lambda_l \approx 110l$.

Для Y-среза $\lambda_d \approx 156d$ и $\lambda_l \approx 105l$ (размеры a , l и d даны в миллиметрах, λ — в метрах).

Приведенные формулы показывают, что для получения колебаний с длиной волны в десятки и сотни метров требуются кварцевые пластины толщиной порядка долей и единиц миллиметров. На более коротких волнах следует использовать колебания по толщине, на более длинных — по длине.

Непосредственная стабилизация на волнах, меньших 12—15 м, затруднена, поскольку из-за очень малой толщины пластина оказывается хрупкой.

Собственная частота кварцевой пластины зависит от температуры, а температурный коэффициент частоты кварца (ТКЧ) α_f — от типа среза. Наибольшего значения он достигает в пластинках X и Y-срезов.

Например, для X-среза $\alpha_f = -(20-30) 10^{-6}$, для Y-среза $\alpha_f = +(80-90) 10^{-6}$. В сложных срезах ТКЧ значительно меньше и при определенной температуре равен нулю.

Температурный коэффициент частоты кварца при данной температуре t° определяется уравнением

$$\alpha_f = B (t^\circ - t_0^\circ),$$

где t_0° — температура, при которой $\alpha_f = 0$;

$B \approx (10^{-6} - 10^{-7})$ — коэффициент, зависящий от типа сложного среза.

Электрическая эквивалентная схема кварцевого резонатора. При включении в цепь генератора пластина кварца помещается в кварцедержатель, состоящий из двух металлических электродов, с помощью которых осуществляется электрическая связь пластины с лампой генератора. Необходимость применения кварцедержателя увеличивает

затухание кварца и создает дополнительную емкость. Лучшие результаты получаются при металлизации пластины кварца и их закреплении в узлах смещений.

В большинстве современных конструкций держатель помещается в защитный баллон, в котором создается вакуум. Кварцевую пластину в кварцедержателе называют *кварцевым резонатором*. Кварцевый резонатор в цепи генератора под влиянием переменного электрического поля будет совершать механические колебания, при этом его можно рассматривать как электрический эквивалентный контур, состоящий из индуктивности, емкости и сопротивления. Параметры контура зависят от электрических и механических свойств кварца, размеров пластины и конструкции держателя.

На рис. 79 представлены эквивалентные схемы кварцевого резонатора в виде электрического контура. В схеме рис. 79, а L_q , C_q и r_q — эквивалентные параметры кварца; C_{01} — емкость воздушного зазора между пластиной и обкладками; C_0 — емкость кварцедержателя как конденсатора с диэлектриком-кварцем. В схеме рис. 79, б воздушного зазора нет.

Эквивалентные параметры контура зависят от размеров и формы кварцевой пластины и типа среза, а емкости C_0 и C_{01} — от конструкции держателя. При включении кварцедержателя в схему к емкости C_0 всегда прибавляется емкость монтажа. Так как большинство конструкций кварцедержателя воздушного зазора не имеет, то емкость C_{01} рассматривать не будем.

Исследования кварцевых резонаторов показали, что теоретически вычисленные значения их эквивалентных реактивных параметров L_q и C_q подтверждаются экспериментальными данными, в то же время активное сопротивление r_q зависит от технологии изготовления кварцевой пластины и конструкции кварцедержателя и может отличаться от теоретически определенной величины.

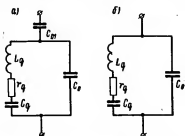


Рис. 79. Эквивалентные электрические схемы кварцевого резонатора: а — с учетом емкости воздушного зазора; б — без учета емкости воздушного зазора.

При работе на гармониках собственной частоты кварцевого резонатора индуктивность L_q не изменяется, а емкость C_q уменьшается в n^2 раз (где n — порядок гармоники).

Величины эквивалентных параметров кварца отличаются от параметров обычных контуров, а именно: индуктивность, характеризующая инерционные свойства пластины, оказывается большой [$L_q \approx 15 \text{ мкгн} - 3 \text{ гн}$], емкость, характеризующая упругие свойства, — малой [$C_q \approx (0,01-0,05) \text{ нф}$]; сопротивление, определяющее потери в пластине на трение и излучение ультразвуковых волн, также невелико [$r_q \approx (3-200) \text{ ом}$]. Такой порядок параметров приводит к появлению высокой добротности эквивалентного контура [$Q_q \approx (3-30) 10^4$]. Емкость кварцедержателя $C_0 \approx (5-50) \text{ нф}$.

При воздействии переменного электрического поля в кварцевой пластине возникает обратный пьезоэлектрический эффект, в результате чего, кроме обычного тока смещения, проходящего через емкость C_0 , возникает ток пьезоэлектрического эффекта, величина которого зависит от соотношения частот вынуждающей э. д. с. и собственной частоты кварцевой пластины. При совпадении частот в кварцевой пластине возникает явление резонанса и амплитуды механических и электрических колебаний становятся максимальными.

Так как кварцевый резонатор эквивалентен контуру III вида, то существуют две резонансные частоты, при которых эквивалентное реактивное сопротивление кварцевого резонатора равно нулю: частота, соответствующая резонансу последовательной ветви,

$$f_q = \frac{1}{2\pi \sqrt{L_q C_q}}$$

и частота, соответствующая параллельному резонансу,

$$f_0 = \frac{1}{2\pi \sqrt{L_q \frac{C_q C_0}{C_q + C_0}}} = f_q \sqrt{1 + k_q},$$

где $k_q = \frac{C_q}{C_0}$ — коэффициент связи с кварцевым резонатором.

Так как $k_q \ll 1$ (порядка 10^{-2} — 10^{-4}), то, применяя формулу приближенных вычислений, получаем

$$f_0 \approx f_q (1 + 0,5k_q),$$

откуда

$$\frac{f_0 - f_q}{f_q} \approx 0,5k_q.$$

Относительная расстройка частот последовательного и параллельного резонанса зависит от коэффициента связи с кварцевым резонатором. Чем больше емкость держателя, т. е. чем меньше k_q , тем меньше расстройка.

Эквивалентное сопротивление контура кварцевого резонатора состоит из активной и реактивной составляющих $Z_{\Sigma q} = r_{\Sigma q} + x_{\Sigma q}$, причем $r_{\Sigma q}$ и $x_{\Sigma q}$ находятся в сложной зависимости от параметров контура, добротности, коэффициента связи и частоты:

$$r_{\Sigma q} = \varphi(k_q, Q_q, f); \quad x_{\Sigma q} = \varphi_1(k_q, Q_q, f).$$

Из зависимости эквивалентных сопротивлений кварцевого резонатора от частоты (рис. 80) следует, что эквивалентное реактивное сопротивление контура носит индуктивный характер в узкой области частот от f_q до f_0 и емкостный на других частотах.

Чем больше емкость держателя C_0 емкости кварцевой пластины, тем уже область частот, в которой $x_{\Sigma q} > 0$. При чрезмерном увеличении C_0 емкостный ток делается настолько больше тока пьезоэлектрического эффекта, что последний уже не влияет на работу схемы, в которую включен кварцевый резонатор. Тогда во всем диапазоне частот эквивалентное сопротивление кварцевого резонатора носит емкостный характер, стабилизирующие свойства кварца не проявляются, и явление резонанса исчезает (кривая I на рис. 80).

Ширина интервала частот $f_q - f_0$ зависит от потерь в кварцевом резонаторе. Чем больше потери, тем уже этот интервал и меньше максимальное индуктивное сопротивление

$$(x_{\Sigma q})_{\max} \approx \frac{1}{80f_0^2 C_0^2 r_q}.$$

Использование кварцевого резонатора для стабилизации частоты возможно только в интервале частот $f_q - f_0$.

когда эквивалентное сопротивление носит индуктивный характер, так как только в этом случае наблюдается механический и электрический резонансы кварца и амплитуды электрических и механических колебаний имеют максимальные значения.

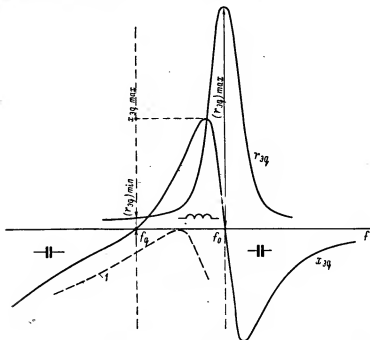


Рис. 80. Зависимость эквивалентных сопротивлений кварцевого резонатора от частоты.

Стабильность частоты генератора будет тем выше, чем больше крутизна $S_{\varphi_3} = \left. \frac{d\varphi_3}{df} \right|_{f \rightarrow f_0}$ фазовой характеристики колебательного контура (см. § 40). Очевидно, что для эквивалентного контура кварцевого резонатора крутизна максимальна вблизи частот последовательного и параллельного резонансов. Вблизи параллельного резонанса скорость изменения φ_3 , а следовательно, и S_{φ_3} больше, чем вблизи последовательного. Учитывая эти соображения, в большинстве схем генераторов исполь-

зуется параллельный резонанс кварцевого резонатора и генерируемая частота

$$f = f_0 + \Delta f,$$

где Δf — небольшая расстройка, показывающая, насколько генерируемая частота отличается от частоты параллельного резонанса.

Для повышения стабилизирующих свойств кварца желательно приблизить частоту параллельного резонанса f_0 к частоте f_q , так как нестабильная емкость монтажа, подключенная параллельно емкости держателя C_0 , меньше влияет на величину резонансной (f_0), а следовательно, и генерируемой частоты (f). Последняя в основном определяется стабильной емкостью кварца. Для увеличения C_0 в некоторых схемах параллельно кварцедержателю подключают высокостабильную постоянную емкость, сужающую интервал частот $f_q - f_0$.

Активное сопротивление эквивалентного контура достигает максимума на частоте параллельного резонанса и минимума на частоте последовательного:

$$(r_{\varepsilon q})_{\max} = R_{\varepsilon q} \approx \frac{k_q^2}{40f_0^2 C_0^2 r_q}; \quad (r_{\varepsilon q})_{\min} = r_q.$$

§ 44. Схемы кварцевых генераторов

Для стабилизации частоты современных радиопередатчиков используются осцилляторные и мостиковые схемы. В первых кварцевый резонатор входит в цепь самовозбуждения, что возможно только тогда, когда сопротивление контура, эквивалентного кварцевому резонатору, носит индуктивный характер, т. е. когда самовозбуждение происходит на частоте, близкой к частоте кварцевого резонатора.

При выходе генерируемой частоты из интервала частот кварцевого резонатора колебания в генераторе срываются. Это является важной особенностью осцилляторных схем.

Осцилляторные схемы кварцевых генераторов изображены на рис. 81, а (с включением кварцевого резонатора между сеткой и катодом) и на рис. 81, б (с включением кварцевого резонатора между сеткой и анодом).

Так как на генерируемой частоте сопротивление контура, эквивалентного кварцевой пластине, имеет индук-

тивный характер, а обратная связь осуществляется через емкость (C_{ag_1} в первой схеме и C_{g_1k} во второй), то баланс фаз выполняется только тогда, когда в первой схеме сопротивление участка анод—катод будет носить индуктивный характер, а во второй — емкостный.

На рис. 81, *в*, *г* показаны эквивалентные трехточечные схемы на генерируемой частоте, когда выполняется баланс фаз.

Получить нужный характер сопротивления анодного контура можно соответствующей настройкой. На часто-

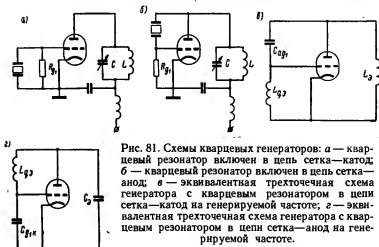


Рис. 81. Схемы кварцевых генераторов: *а* — кварцевый резонатор включен в цепь сетка—катод; *б* — кварцевый резонатор включен в цепь сетка—анод; *в* — эквивалентная трехточечная схема генератора с кварцевым резонатором в цепи сетка—катод на генерируемой частоте; *г* — эквивалентная трехточечная схема генератора с кварцевым резонатором в цепи сетка—анод на генерируемой частоте.

тах $f > f_0$ сопротивление контура носит емкостный характер, а при $f < f_0$ — индуктивный. Следовательно, в первой схеме (рис. 81, *а*) контур должен быть настроен на частоту, большую частоты кварцевого резонатора, а во второй (рис. 81, *б*) — на меньшую.

Вместо контура в анодную цепь первой схемы можно включить индуктивность, а в анодную цепь второй — емкость или активное сопротивление. В последнем случае характер анодной нагрузки остается емкостным из-за емкости $C_{ак}$.

Расчеты условий самовозбуждения осцилляторных схем кварцевых генераторов показывают, что граничные частоты самовозбуждения f_1 и f_2 близки к собственным частотам кварцевого резонатора.

Нижняя граничная частота f_2 лежит вблизи собственной частоты последовательного резонанса f_q , а верхняя f_1 — вблизи частоты параллельного резонанса f_0 .

Относительная расстройка генерируемой частоты относительно частоты последовательного резонанса $\frac{\Delta f}{f_q} = \frac{f - f_q}{f_q}$ и обобщенная расстройка $\delta = \frac{x_q}{r_q} \approx 2Q_q \frac{\Delta f}{f_q}$ являются функциями эквивалентных параметров кварцевого резонатора, эквивалентного сопротивления анодного контура и коэффициента приведения $\alpha_i = \frac{S}{S_{cp}}$. Граничные частоты получаются при выполнении предельных условий самовозбуждения, когда $\alpha_i = 1$ и $S = S_{cp}$

$$f_{1,2} = f_q \left(1 + \frac{\delta_{1,2}}{2Q_q} \right),$$

где $\delta_{1,2}$ — граничные обобщенные расстройки, определяемые предельными условиями самовозбуждения;

Q_q — добротность кварцевого резонатора.

Одновременно в интервале генерации коэффициент приведения α_i будет зависеть от расстройки. При некоторой расстройке $\delta = \delta_0$ (когда емкость анодного контура $C = C_s$) наступает максимум коэффициента приведения, а следовательно, и максимум колебательного напряжения на анодном контуре и напряжения возбуждения.

Область настройки анодного контура, в которой выполняется баланс фаз и наблюдается генерация в схеме, определяется в зависимости от обобщенной расстройки δ :

$$C = C' + \frac{\Phi(\delta)}{f},$$

где C' — емкость анодного контура, соответствующая его настройке на собственную частоту кварца;

C — текущее значение емкости настройки анодного контура;

δ — текущее значение обобщенной расстройки в области генерации.

Значения емкости C , соответствующие граничным расстройкам δ_1 и δ_2 и частотам f_1 и f_2 , определяются путем подстановки в последнее уравнение значений δ_1 и δ_2 .

Схема с кварцевым резонатором в цепи сетка—катод. В этой схеме (рис. 81, а) обратная связь осуществляется через емкость C_{ag1} , а параллельно резонатору включается сопротивление утечки R_{g1} , которое несколько снижает его добротность. Включение дросселя последовательно с сопротивлением R_{g1} недопустимо, так как может привести к самовозбуждению и без резонатора (или при неисправности его) вследствие индуктивного характера сопротивления участка сетка—катод, обусловленного наличием дросселя.

На рис. 82 приведены зависимости основных параметров схемы от настройки анодного контура (емкости C). В области генерации собственная частота анодного контура должна быть выше нижней граничной частоты f_2 (близкой к f_q). При малых расстройках анодного контура, когда его собственная частота приближается к частоте f_2 , могут быть получены максимальные значения коэффициента приращения $\alpha_{i\max}$, амплитуды колебательного напряжения U_{mk} и тока в контуре I_{k1} . Однако при работе схемы в таком режиме снижается стабильность частоты, поскольку изменение параметров анодного контура и реакция на него последующих усилителей приводят к значительным изменениям режима генератора и генерируемой частоты. При этом, если расстройка анодного контура невелика, то генерируемая частота стремится к нижней граничной, близкой к последовательной частоте кварца f_q . Такой режим работы, отличающийся большими значениями колебательного напряжения и мощности и пониженной стабильностью частоты, используется сравнительно редко, в основном в генераторах маломощных подвижных передатчиков, где не требуется высокой стабильности частоты.

Основная рабочая область настроек анодного контура лежит в пределах C_1 — C_n , где имеет место значительно меньшее изменение генерируемой частоты, которая при больших расстройках практически не зависит от изменения параметров анодного контура и оказывается более близкой по величине к частоте параллельного резонанса f_0 .

Рассмотренный режим работы характеризуется высокой стабильностью частоты, поэтому его следует использовать в наиболее высокостабильных генераторах, заменив расстроенный контур катушкой индуктивности. Недостатком режима является значительное снижение колебательной мощности в анодной цепи.

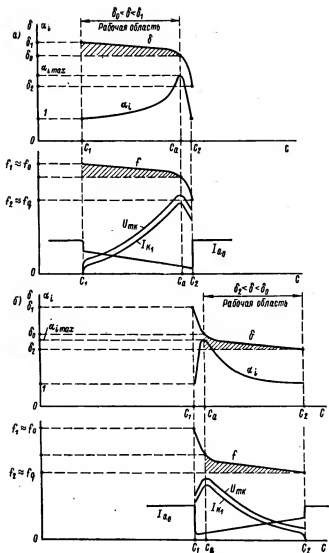


Рис. 82. Зависимости частоты, расстройки, напряжений и токов кварцевого генератора от настройки анодного контура: а — кварцевый резонатор в цепи сетка—катод; б — кварцевый резонатор в цепи сетка—анод.

Рассмотренная схема широко распространена в диапазоне коротких и средних волн. На волнах свыше 1000 м обратная связь оказывается недостаточной для выполнения баланса амплитуд. Для увеличения связи до требуемой величины включают дополнительный конденсатор на участке сетка—анод или применяют дополнительную связь с контура (подвозбуждение).

Схема с кварцевым резонатором в цепи сетка—анод. В этой схеме (рис. 81, б) обратная связь осуществляется через емкость сетка—катод. Анодная нагрузка должна носить емкостный характер, поэтому собственная частота анодной цепи должна быть меньше частоты последовательного резонанса кварца. Сильное влияние настройки анодной цепи на стабильность частоты и колебательную мощность наблюдается вблизи граничной частоты $f_1 \approx f_0$. При определенной расстройке ($C=C_a$) проявляется максимум колебательного напряжения и мощности, однако основная рабочая область лежит в интервале расстроек ($C_a - C_2$) и характеризуется более высокой стабильностью частоты, хотя колебательное напряжение и мощность при этом падают.

На рис. 82, б показаны зависимость генерируемой частоты f , амплитуды колебательного напряжения U_{mk} и токов I_{a_1} , I_k от настройки анодного контура. В этой схеме, в отличие от предыдущей, при малых расстройках генерируемая частота стремится к более высокой граничной частоте f_1 , близкой к частоте параллельного резонанса кварцевого резонатора, а в основной рабочей области генерируемая частота лежит ближе к частоте его последовательного резонанса $f_2 \approx f_q$. По этим причинам схема с кварцевым резонатором в цепи сетка—анод позволяет получить несколько большую стабильность частоты. Ее недостатком по сравнению со схемой 81, а является то, что кварцевая пластина работает в более тяжелых условиях, а именно: переменное напряжение на ней равно сумме входного и выходного напряжений, так как $U_{ag_1} = U_{g_1} \times (1 + K)$, где K — коэффициент усиления схемы по напряжению.

Мостковые схемы кварцевых генераторов. Недостатком осцилляторных схем является трудность, а подчас и невозможность возбуждения кварцевой пластины на гармониках, что позволило бы значительно повысить эквивалентную добротность Q_{eq} и стабилизирующую способность.

Этот недостаток вызван вредным влиянием емкости кварцедержателя, уменьшающей область частот, в которой сопротивление кварцевой пластины носит индуктивный характер. С увеличением номера гармоники (т. е. частоты) емкость кварцевой пластины $C_{qn} = \frac{C_q}{n^2}$ уменьшается, что приводит к уменьшению коэффициента связи с ней:

$$k_{qn} = \frac{C_{qn}}{C_0} = \frac{C_q}{n^2 C_0} = \frac{k_q}{n^2}.$$

При этом во столько же раз уменьшается относительная расстройка частот параллельного и последовательного резонанса

$$\frac{f_{0n} - f_{qn}}{f_{qn}} \approx 0,5 \frac{k_q}{n^2}.$$

Такое сужение области частот, в которой эквивалентное реактивное сопротивление кварцевого резонатора носит индуктивный характер и где возможна генерация, не позволяет получить возбуждение серийных резонаторов уже на третьей гармонике.

Для ослабления вредного влияния емкости C_0 применяют мостиковые схемы кварцевых генераторов, в которых эта емкость нейтрализуется, что облегчает возбуждение кварцевого резонатора на гармониках.

В мостиковых схемах кварцевый резонатор включают в одно плечо моста, остальные три плеча составляют из элементов колебательного контура и нейтрального конденсатора C_N . Мост включают в цепь обратной связи генератора.

В моменты баланса моста емкость кварцедержателя C_0 компенсируется, при этом анодная и сеточная цепи генератора, подключенные к диагоналям моста, будут электрически развязаны, т. е. электрические колебания в одной цепи не вызовут колебаний в другой и самовозбуждение будет невозможно. Баланс моста осуществляется на всех частотах, отличных от собственных частот механических колебаний кварцевой пластины. На частотах, близких к собственным частотам последовательного резонанса f_q и f_{qn} , резко уменьшается сопротивление кварцевой пластины, что приводит к разбалансу моста, и при выпол-

нении условий самовозбуждения в схеме возникнут колебания с частотой, близкой к f_q или f_{qn} .

На рис. 83, а представлена одна из мостиковых схем кварцевых генераторов с индуктивно-емкостным мостом, два плеча которого составлены из кварцевого резонатора и нейтринного конденсатора C_N , а другие два плеча образованы частями контурной катушки L' и L'' . К одной диагонали (точки g_1 , э) подключена сеточная цепь лампы,

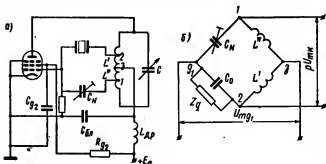


Рис. 83. Мостиковая схема кварцевого генератора: а — с индуктивно-емкостным мостом; б — эквивалентная схема индуктивно-емкостного моста.

и на ней действует напряжение возбуждения U_{mg_1} ; ко второй (точки 1, 2) — анодная цепь, причем в этих точках действует напряжение

$$U_{1,2} = p U_{mk},$$

где U_{mk} — амплитуда напряжения на контуре;
 p — коэффициент включения контура.

Эквивалентная схема моста изображена на рис. 83, б.

Исследования показывают, что в мостиковых схемах генерируемая частота близка к частоте последовательного резонанса кварцевой пластины и в некоторых режимах может точно совпадать с ней. Это позволяет получить весьма высокую стабильность генерируемой частоты. Величину генерируемой частоты (основную частоту кварцевой пластины или ее механические гармоники) устанавливают настройкой анодного контура, не меняя элементов моста.

Амплитуда генерируемых колебаний в мостиковых схемах зависит от крутизны лампы S , эквивалентного сопротивления анодного контура (с учетом коэффициента включения) $p^2 R$, и активного сопротивления кварцевого резонатора r_{qp} , причем с увеличением S , p и R , амплитуда возрастает, а при увеличении r_{qp} — уменьшается. С повышением номера гармоники сопротивление кварцевого резонатора увеличивается, вызывая уменьшение амплитуды генерируемых колебаний. Это влияние r_{qp} можно компенсировать увеличением коэффициента включения p .

Использование схемы с индуктивно-емкостным мостом обеспечивает хорошие результаты в диапазоне метровых и коротких волн; ее конструктивным недостатком является необходимость иметь выводы от катушки колебательного контура.

К недостаткам мостиковых схем генераторов относится возможность паразитного самовозбуждения при разбалансе моста на частотах, значительно отличающихся от частот кварцевого резонатора. Это самовозбуждение возникает при определенных настройках анодного контура на частотах, больших частоты кварцевого резонатора при емкостях нейтрального конденсатора C_N , больших статической емкости кварцевого резонатора C_0 .

Мостиковые схемы позволяют получить весьма высокую стабильность частоты (до 10^{-7} — 10^{-8}) и используются в различной прецизионной аппаратуре. В среднем кварцевые генераторы без применения термостатов и калибровки в схеме обеспечивают стабильность $5 \cdot 10^{-6}$ — $5 \cdot 10^{-6}$. При использовании термостатов, калибровки и т. д. стабильность можно повысить до $(1-5)10^{-7}$, а в ряде схем и значительно больше. Недостатком кварцевой стабилизации является сложность ее применения в диапазоне частот, так как собственная частота кварцевой пластины определяется ее геометрическими размерами.

Диапазонные кварцевые генераторы (возбудители). Схемы диапазонных кварцевых возбудителей появились сравнительно давно. Еще в 1932 г. Г. А. Зейтленок предложил интерполяционную схему диапазонного генератора, основанную на преобразовании частоты кварцевого генератора и генератора плавного диапазона (интерполяционного) с последующим выделением комбинационных частот (суммарных и разностных) специальным смесителем.

На рис. 84 представлена блок-схема такого возбуждателя. Колебания генератора фиксированной частоты, стабилизированного кварцем, и генератора плавного диапазона частот подаются на смеситель, который благодаря своей нелинейности создает на выходе колебания комбинационных частот, суммарных и разностных,

$$f_k = f_q \pm f,$$

где f_k — комбинационные частоты на выходе смесителя;
 f_q — фиксированная частота кварцевого генератора;
 f — частота интерполяционного генератора.

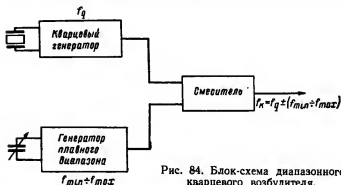


Рис. 84. Блок-схема диапазонного кварцевого возбуждателя.

Нагрузка смесителя настраивается на заданную рабочую частоту, и колебания этой частоты подаются в последующие усилители передатчика.

Рабочие частоты при использовании суммарных и разностных комбинаций занимают два участка частот

$$(f_q - f_{\max}) - (f_q - f_{\min}) \text{ и } (f_q + f_{\min}) - (f_q + f_{\max}),$$

лежащих в интервале

$$f_{k \min} - f_{k \max} = (f_q - f_{\max}) - (f_q + f_{\max})$$

с провалом по середине от $f_q - f_{\min}$ до $f_q + f_{\min}$.

Для получения непрерывного плавного диапазона необходимо использовать кварцевый генератор на несколько фиксированных частот (с несколькими кварцевыми резонаторами), что увеличит диапазон рабочих частот, так как каждый резонатор позволяет получить с интерполяционным генератором свои рабочие частоты. Стабильность ча-

стоты диапазонного кварцевого возбуждителя оказывается значительно выше стабильности интерполяционного генератора (хотя и уступает стабильности кварцевого генератора фиксированных волн).

Повышение стабильности достигается выбором фиксированной частоты f_q выше частот интерполяционного генератора ($f_q \gg f_{\max}$). Тогда рабочие частоты будут близки к частотам кварцевого генератора ($f_k \approx f_q$) и относительная нестабильность, определяемая в основном нестабильностью интерполяционного генератора, уменьшится в $\frac{f_q}{f_{\min}}$ раз, т. е.

$$\frac{\Delta f_k}{f_k} = \pm \frac{\Delta f_q + \Delta f}{f_k} \approx \pm \frac{\Delta f_q + \Delta f}{f_q} = \pm \left(\frac{\Delta f_q}{f_q} + \frac{\Delta f}{f_{\min}} \frac{f_{\min}}{f_q} \right),$$

где $\frac{\Delta f}{f_{\min}}$ — наибольшая относительная нестабильность интерполяционного генератора;

$\frac{\Delta f_q}{f_q}$ — относительная нестабильность кварцевого генератора.

Так как первое слагаемое этого уравнения обычно значительно меньше второго, то окончательно получаем

$$\frac{\Delta f_k}{f_k} \approx + \frac{\Delta f}{f_{\min}} \frac{f_{\min}}{f_q},$$

т. е. нестабильность диапазонного кварцевого генератора оказывается в $\frac{f_q}{f_{\min}}$ раз меньше нестабильности интерполяционного генератора. При использовании N кварцевых резонаторов самая низкая стабильность получается на минимальной частоте диапазона.

К недостаткам рассмотренных генераторов относится появление дополнительных комбинационных частот $n f_q \pm m f$ (где n и m — целые числа, кроме единицы), которые могут попасть в рабочий диапазон и создать биения с основными рабочими частотами. Кроме того, в рабочий диапазон могут попасть высшие гармоники интерполяционного генератора.

Глава XI

ГЕНЕРАТОРЫ СВЧ

§ 45. Особенности работы генераторных ламп в диапазоне СВЧ

В диапазоне метровых и дециметровых волн в радио-передатчиках используют генераторные лампы, которые позволяют получить высокие мощности на СВЧ. Однако в этих диапазонах волн на работу лампы оказывают влияние время пролета электронов в лампе, индуктивности выводов и междуэлектродные емкости.

Чем выше генерируемая частота, тем сильнее влияние указанных факторов.

Междуэлектродные емкости и индуктивности выводов лампы. С повышением частоты уменьшаются параметры L и C колебательной системы генератора и возрастает роль междуэлектродных емкостей и индуктивностей выводов лампы.

На рис. 85 показана эквивалентная схема триода в диапазоне СВЧ.

Собственная частота лампы как автономной колебательной системы ограничивает предельную генерируемую частоту, поэтому при конструировании стремятся повысить предельную частоту и уменьшить емкости и индуктивности лампы.

Как указывалось (§ 36), наличие междуэлектродных емкостей может привести к появлению активной составляющей входного сопротивления, величина которой обратно пропорциональна проходной емкости и частоте и резко падает с увеличением частоты. Индуктивность выводов вызывает появление дополнительной активной составляющей входного сопротивления. Определим указанную составляющую, учитывая для простоты только индуктивность катодного вывода L_k (рис. 86). По катодному выводу проходит суммарный ток \bar{I}_e , создающий на L_k падение напряжения $\bar{U}_k = j\omega L_k \bar{I}_e$, опережающее

по фазе на $\frac{\pi}{2}$ ток \bar{I}_e и напряжение $\bar{U}_{g_{1k}}$. В результате суммарное входное напряжение $\bar{U}_{вх} = \bar{U}_{g_{1k}} + \bar{U}_k$ опередит по фазе ток \bar{I}_e на угол $\varphi < \frac{\pi}{2}$.

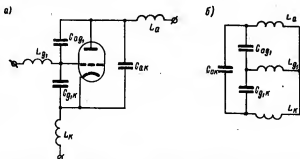


Рис. 85. Эквивалентная схема триода на СВЧ: а — с учетом емкости и индуктивности выводов лампы; б — с замкнутыми электродами.

Приближенно считаем, что входной ток определяется только составляющей $\bar{I}_{g_{1k}}$, которая опережает по фазе напряжение $\bar{U}_{g_{1k}}$ на угол $\frac{\pi}{2}$ (составляющей I_{ag_1} пре-

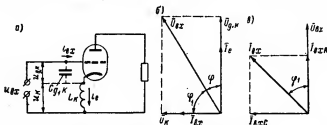


Рис. 86. Определение входного сопротивления лампы, обусловленного индуктивностью катодного вывода: а — эквивалентная схема триода с учетом индуктивности L_k ; б — векторная диаграмма токов и напряжений в лампе; в — векторная диаграмма входного тока и напряжения.

небрегаем). Тогда получаем, что входной ток $\bar{I}_{вх} \approx \bar{I}_{g_{1k}}$ опередит по фазе суммарное входное напряжение $\bar{U}_{вх}$ на угол $\varphi_1 < \frac{\pi}{2}$, и в составе тока возникнет допол-

нительная активная составляющая $\bar{I}_{\text{вх},R}$, которая указывает на появление активного входного сопротивления $r_{\text{вх},L}$ (рис. 86, в).

Исследования показывают, что

$$r_{\text{вх},L} \approx \frac{1}{\omega^2 L_K S C_{g1K}},$$

т. е. $r_{\text{вх},L}$ зависит не только от L_K , S и ω , но и от входной емкости C_{g1K} .

Появление дополнительного активного сопротивления на входе свидетельствует об увеличении потерь в данной цепи, в чем и проявляется вредное влияние индуктивности L_K и емкости C_{g1K} .

Влияние времени пролета электронов в лампе. При рассмотрении работы лампы в длинноволновых диапазонах время пролета электронов не учитывалось ввиду его малости по сравнению с периодом колебаний напряжения на сетке. В диапазонах метровых волн, когда время пролета электронов соизмеримо с периодом колебаний, инерция электронов оказывает на работу лампы существенное влияние, увеличивающееся с повышением частоты колебаний.

При движении электрона с зарядом e и массой m в равномерном электрическом поле с разностью потенциалов U скорость и энергия электронов увеличиваются, если поле ускоряющее, и уменьшаются, если поле тормозящее, причем в ускоряющем поле энергия электронов увеличивается за счет энергии поля, а в тормозящем уменьшается и переходит в энергию поля. Прирост скорости электрона

$$\Delta v = v_2 - v_1 = \sqrt{2 \frac{e}{m} U}$$

зависит только от разности потенциалов, поскольку отношение заряда электрона к его массе $\frac{e}{m}$ является постоянной величиной.

Если в начале пути электрон находился в покое ($v_1 = 0$), то в конце он приобретает скорость

$$v = v_2 = \sqrt{2 \frac{e}{m} U} = 6 \cdot 10^5 \sqrt{U}, \quad (108)$$

где U — в вольтах, v — в метрах в секунду.

Время пролета электронов в лампе $t_{ка}$ складывается из времени пролета участков катод — сетка $t_{кг_1}$ и сетка — анод $t_{га}$. В генераторных лампах, работающих с высокими анодными напряжениями, время $t_{га}$ мало по сравнению с $t_{кг_1}$, так как после пролета сетки электроны попадают в сильное ускоряющее поле анода (в тетродах и пентодах — экранной сетки) и летят с большими скоростями. При расчетах временем $t_{га}$ можно пренебречь, тогда

$$t_{ка} \approx t_{кг_1}.$$

Обозначив расстояние между катодом и сеткой через $d_{кг_1}$, получим формулу для расчета времени пролета электрона

$$t_{ка} \approx \frac{d_{кг_1}}{v_{ср}} = \frac{d_{кг_1}}{0,5v_2} = \frac{d_{кг_1}}{3\sqrt{U}} 10^{-8} \text{ сек.},$$

где $d_{кг_1}$ — в миллиметрах, U — в вольтах;

$$v_{ср} = \frac{v_2 - v_1}{2} = 0,5v_2$$

$v_{ср}$ — средняя скорость электронов на участке сетка — катод при их начальной скорости, равной нулю.

Для расстояния $d_{кг_1} = 0,1-1$ мм и напряжения в десятки вольт время пролета электронов будет порядка 10^{-9} сек. и будет соизмеримо с периодом колебаний T на частотах больше $3 \cdot 10^7$ гц ($\lambda < 10$ м). Например, на волне $\lambda = 10$ м $\frac{T}{t_{ка}} \approx 10-20$, на волне $\lambda = 1$ м $\frac{T}{t_{ка}} \approx 1-2$, т. е. влияние времени пролета оказывается очень сильным. Инерцию электронов часто характеризуют углом пролета ψ (фазовым углом), на который изменится фаза напряжения на сетке за время пролета $t_{ка}$,

$$\psi = \omega t_{ка} = 2\pi \frac{t_{ка}}{T}.$$

Влияние времени пролета следует учитывать, если $t_{ка} > 0,1T$ или угол пролета $\psi > 36^\circ$.

Расчеты М. С. Неймана [11] показали, что существует определенная граничная длина волны $\lambda_{гр}$, при работе на которой уже сказывается время пролета электронов в лампе. Для большинства генераторных ламп эта частота лежит в метровом диапазоне волн.

Инерцию электронов можно не принимать во внимание только при работе на волнах, больших граничной, а именно, если

$$\lambda_p > \lambda_{гp} \approx 3,4 \cdot 10^4 \frac{d_{ка}}{\sqrt{E_a}},$$

где λ_p и $\lambda_{гp}$ — рабочая и граничная длины волны, см;
 $d_{ка}$ — расстояние между анодом и катодом, см;
 E_a — анодное напряжение, в.

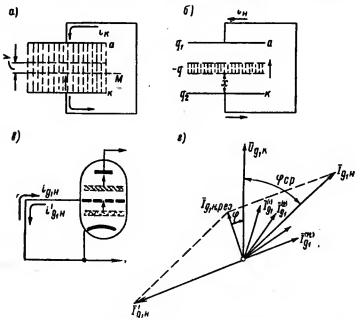


Рис. 87. Схемы, поясняющие появление конвекционного и наведенного токов: а — конвекционного тока диода; б — наведенного тока диода при движении слоя электронов; в — наведенных токов сетки в триоде при движении слоев электронов; г — векторная диаграмма наведенного тока в цепи сетки.

Конвекционный и наведенный токи лампы. Конвекционный ток лампы (основной при работе в диапазоне длинных, средних и коротких волн) создается электронами, движущимися в пространстве между электродами. Этот ток в плоскости M (рис. 87, а), перпендикулярной направлению движения электронов, определяется вели-

чиной заряда, проходящего через плоскость в 1 сек., который образован N электронами в объеме Sv , где S — площадь поперечного сечения, через которую определяется ток, а v — скорость электронов. Поэтому

$$i_k = Ne = Svq,$$

где q — объемная плотность заряда (количество заряда в единице объема пространства).

Последнее уравнение справедливо при условии одинаковой скорости электронов и плотности q .

Наведенный ток образуется в лампе благодаря тому, что движущиеся электроны наводят на электродах заряды, величина которых зависит от расстояния до электрода, а знак — от направления движения заряда. Таким образом, ток в цепях электродов лампы возникает не только тогда, когда электроны достигают электрода, но и в процессе их движения к нему (или от него).

Определим величину и направление наведенного тока в анодной цепи при движении тонкого слоя электронов от катода к аноду (рис. 87, б). Если величина отрицательного заряда движущегося слоя — q , то на аноде и катоде будут наводиться положительные заряды q_1 и q_2 , причем по мере движения слоя q_1 увеличивается, а q_2 уменьшается. Сумма наведенных зарядов

$$q = q_1 + q_2. \quad (109)$$

Кроме того, величина наведенных зарядов обратно пропорциональна расстоянию между электродами и движущимся слоем электронов:

$$\frac{q_1}{q_2} = \frac{x}{d_{ка} - x}. \quad (110)$$

Из уравнений (109) и (110) следует, что

$$q_1 = q \frac{x}{d_{ка}} \text{ и } q_2 = q \frac{d_{ка} - x}{d_{ка}}.$$

Изменение зарядов q_1 и q_2 приводит к появлению тока во внешней цепи, который при движении электронов к аноду будет направлен от катода к аноду.

Все сказанное можно отнести и к цепи управляющей сетки. Электроны, движущиеся к сетке, наводят в ее цепи (независимо от ее собственного потенциала), ток, который

по внешней цепи направлен от катода к сетке. Электроны, пролетевшие сетку и движущиеся к аноду, наводят в цепи сетки ток обратного направления (рис. 87, *б*).

Величина наведенного тока определяется как скорость изменения заряда во времени, т. е.

$$i_n = \frac{dq_n}{dt} = \frac{q}{d_{ка}} \frac{dx}{dt}.$$

Величина $\frac{dx}{dt} = v$ — скорость движения электронного слоя, поэтому

$$i_n = \frac{q}{d_{ка}} v.$$

При включении лампы, когда электроны начинают двигаться к аноду, в анодной цепи возникает наведенный ток, увеличивающийся по мере приближения переднего фронта электронов к аноду. Когда электроны достигнут анода, в лампе установится конвекционный ток и все пространство между анодом и катодом заполнится движущимися электронами. Тогда полный наведенный ток будет равен конвекционному ($i_n = i_k$).

До момента, пока передний фронт электронов не достигнет анода, наведенный ток во внешней цепи дополняется током смещения на участке цепи передний фронт электронов—анод. Ток смещения в диэлектриках существует только при наличии переменного электрического поля. Когда передний фронт электронов попадает на анод, ток смещения прекращается и все пространство катод—анод заполняется электронами. Такие процессы в лампе происходят до тех пор, пока не начинает влиять время пролета электронов.

При работе на СВЧ, когда на электродах действуют переменные напряжения, период которых соизмерим с временем пролета электронов, пространство анод—катод заполняется электронами, движущимися к аноду слоями. Плотность каждого слоя зависит от напряжений, действующих на электродах в моменты вылета этого слоя из области пространственного заряда вблизи катода.

С достаточной точностью можно считать, что плотность слоя, а следовательно, и конвекционный ток вблизи катода изменяются в фазе с изменением напряжения на сетке, поскольку скорость распространения электриче-

ского поля значительно больше скорости электронов. По мере продвижения первого слоя к сетке напряжение на ней успеет измениться и ток отстанет по фазе от напряжения на сетке. Чем ближе слой электронов к сетке, тем больше фазовый сдвиг между напряжением на сетке, напряжением на аноде и конвекционным током, определяемым этим слоем.

Движущиеся слои электронов наводят в цепи сетки и анода токи различных фаз, в результате общий наведенный ток в сеточной и анодной цепях сдвигается по фазе относительно напряжений на этих электродах.

Электроны, прошедшие сетку, попадают в ускоряющее поле анода и практически мгновенно достигают его ($t_{g, a} \ll t_{kg, i}$). Эти электроны наводят в цепи сетки ток, равный по величине и обратный по фазе наведенному току, который был образован слоем, проходящим плоскость сетки.

На рис. 87, г представлена векторная диаграмма, поясняющая образование наведенного тока в цепи сетки. Токи, наведенные слоями, движущимися к сетке, изображены векторами $\bar{I}_{g_1}^{(1)}, \bar{I}_{g_1}^{(2)} \dots \bar{I}_{g_1}^{(n)}$, отстающими по фазе от напряжения на сетке $\bar{U}_{g_1 k}$. Общий наведенный ток $\bar{I}_{g_1 n}$ сдвинут по фазе относительно напряжения на средний угол $\varphi_{ср}$.

Ток $\bar{I}_{g_1}^{(n)}$ наводится электронами, проходящими плоскость сетки; они мгновенно достигают анода и наводят в цепи сетки ток $\bar{I}_{g_1 n}$, противофазный $\bar{I}_{g_1}^{(n)}$. Результирующий наведенный ток $\bar{I}_{g_1 n, рез} = \bar{I}_{g_1 n} + \bar{I}_{g_1}^{(n)}$ опередит по фазе напряжение $\bar{U}_{g_1 k}$ на угол $\varphi < \frac{\pi}{2}$. Таким образом, входной наведенный ток в цепи сетки содержит активную и емкостную составляющие. Наличие активной составляющей тока указывает на дополнительный расход энергии на входе, т. е. на появление активной составляющей входного сопротивления

$$r_{вх} = \frac{\Gamma}{S \omega^2 t_{kg_1}^2},$$

где Γ — коэффициент, зависящий от конструкции лампы и величины постоянных напряжений на электродах.

Потери на входе вызваны тем, что электроны, вылетевшие из катода при положительном полупериоде

напряжения на сетке, пройдут сетку в тот момент, когда потенциал на ней изменится и окажется отрицательным. В результате электроны будут дополнительно разгоняться отрицательным полем сетки на участке сетка—анод. Электроны, не успевшие пролететь сетку до появления на ней отрицательного напряжения, будут тормозиться ее полем и возвращаться к катоду, отдавая свою энергию полю. Энергия, ускоряющая электроны, выделяется в виде тепла на аноде и частично преобразуется в энергию высокой частоты в нагрузке. Энергия, выделяемая тормозящимися электронами, попадающими на катод, выделяется в виде тепла и приводит к дополнительному нагреванию катода.

Увеличение потерь мощности в цепи сетки является важным следствием влияния инерции электронов при работе лампы на СВЧ. Кроме того, инерция электронов влияет на анодную цепь генератора. Во-первых, появляется сдвиг фаз между напряжением на сетке и первой гармоникой анодного тока и крутизна характеристики лампы оказывается комплексной величиной. Во-вторых, длительность и форма импульса конвекционного тока будут различными в различных сечениях лампы. Например; максимум импульса конвекционного тока наблюдается в моменты наиболее резкого изменения потенциала сетки, т. е. когда e_g проходит через нуль (в момент отпирания лампы). Высота импульса зависит также от частоты напряжения: чем выше частота, тем больше высота импульса. Импульсы тока (рис. 88) оказываются растянутыми во времени вследствие разных скоростей электронов. Часть электронов импульса, не успевших пролететь сетку при перемене на ней знака напряжения, остается в промежутке сетка—катод, и высота импульса за счет этого уменьшится. Импульс наведенного тока в цепи анода i_{an} окажется еще более широким, так как импульс анодного тока начнется при прохождении первых электронов импульса i_{g1k} плоскости сетки и окончится при прохождении последних электронов импульса конвекционного тока у анода. Уменьшение высоты импульса вызовет уменьшение амплитуды первой гармоники анодного тока.

В результате рассмотренных явлений полезная мощность в анодной цепи значительно уменьшается, особенно в генераторе. Это снижение мощности объясняется умень-

шением амплитуды первой гармоники I_{a1} и тем, что баланс фаз в генераторе может быть выполнен только при расстройке анодного контура. Ток \bar{I}_{a1} отстает по фазе от \bar{U}_{mg1} на угол φ_e , появившийся вследствие инерции электронов; для выполнения баланса фаз напряжение на контуре \bar{U}_{mk} должно совпадать по фазе с напряжением

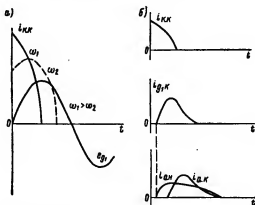


Рис. 88. Импульсы тока лампы с учетом влияния инерции электронов: а — зависимость формы импульса конвекционного тока у катода от частоты; б — импульс конвекционного и наведенного токов на различных участках лампы.

на сетке \bar{U}_{mg1} , что возможно только тогда, когда \bar{U}_{mk} опережает по фазе \bar{I}_{a1} на угол φ_e и нагрузка носит индуктивный характер. При этом полезная мощность

$$P_{\sim} = \frac{1}{2} I_{a1} U_{mk} \cos \varphi_e = \frac{1}{2} (I_{a1} \cos \varphi_e)^2 R_3.$$

Рассмотренные особенности работы генераторных ламп наиболее сильно сказываются на волнах, меньших 3—5 м, когда уже нельзя использовать лампы обычных конструкций. Энергетические показатели генераторной лампы начинают ухудшаться на волнах, более коротких, чем граничная. М. С. Нейман доказал, что резкое снижение колебательной мощности и к. п. д. происходит на волнах,

меньших некоторой критической волны, которая зависит от конструкции лампы и амплитуды напряжения на сетке,

$$\lambda_{кр} \approx 3 \cdot 10^3 \frac{d_{кг_1}}{\sqrt{U_{mg_1}}},$$

где $\lambda_{кр}$ — критическая длина волны, см;

$d_{кг_1}$ — расстояние между сеткой и катодом, см;

U_{mg_1} — амплитуда напряжения возбуждения, в.

Для получения достаточно высоких энергетических показателей лампы необходимо работать на волнах, больших $\lambda_{кр}$.

Особенности конструкции ламп СВЧ. Лампы, используемые на коротких метровых и дециметровых волнах, должны обладать по возможности минимальными емкостью и индуктивностью выводов. Для этого выводы делают через баллон без цоколя широкими, плоскими и короткими, а в лампах дециметровых волн — в виде дисков.

Уменьшение влияния инерции электронов на работу лампы достигается уменьшением расстояния между электродами. Чтобы при этом междуэлектродная емкость лампы не увеличивалась, приходится уменьшать размеры электродов, что приводит к снижению допустимой мощности потерь на аноде, а следовательно, и к снижению номинальной мощности лампы.

Катоды выполняют оксидными, подогреваемыми, с большой удельной эмиссией. В лампах применяют высококачественные диэлектрики.

Условия работы лампы в импульсном режиме значительно облегчаются, так как мощность потерь на аноде и его тепловой режим определяются средней мощностью, которая во много раз меньше импульсной. Оксидные катоды имеют в импульсном режиме большую эмиссию, чем в непрерывном. Работа в импульсном режиме позволяет повысить анодное напряжение, а тем самым и номинальную мощность лампы, при этом влияние инерции электронов на работу лампы уменьшается.

В диапазоне метровых волн широкое распространение получили двойные лучевые тетроды и пентоды, например ГУ-29, ГУ-32 и др. Их особенно выгодно использовать в двухтактных схемах генераторов и усилителей. Особенность конструкции этих ламп заключается в хорошем электростатическом экранировании анодной и сеточной

цепей. Лампа имеет общие экранную и защитную сетки, которые по высокой частоте соединены с катодом внутри баллона. В результате резко снижается паразитная обратная связь через индуктивность вывода экранной сетки. В лампах применены укороченные выводы через баллон. Рассмотренная конструкция отличается высокими электрической прочностью и механической жесткостью и с успехом применяется на волнах до 60—70 см.

В диапазоне дециметровых волн используются триоды металlostеклянной и металлокерамической конструкции с дисковыми выводами. Металlostеклянные лампы с дисковыми выводами (маячковые) являются приемно-усилительными и широко используются в усилителях и гетеродинах дециметровых волн. Более совершенными типами ламп являются металлокерамические триоды с дисковыми выводами.

В последние годы появились новые типы конструкций металлокерамических ламп: штабельных и титанокерамических.

Штабельные лампы состоят из керамических колец, спаянных с металлическими кольцами, на которых крепятся электроды. Эти лампы обладают высокими механической и электрической прочностью, теплостойкостью и имеют большой срок службы.

В титанокерамических лампах электроды крепятся к титановым кольцам, спаянным с керамическими деталями. Эти лампы могут нормально работать при температуре в несколько сот градусов и на волнах порядка 5—10 см.

Весьма перспективным является использование металлокерамических генераторных тетродов, в которых наличие экранной сетки позволяет значительно повысить скорость электронов внутри лампы и тем самым уменьшить влияние времени пролета их на работу лампы. Металлокерамические генераторные лампы позволяют получать мощности в сотни ватт в режиме непрерывной работы и десятки киловатт в импульсном режиме.

§ 46. Генераторы метровых волн

В генераторах метровых волн применяют генераторные ультракоротковолновые лампы: триоды, двойные лучевые тетроды и пентоды. В качестве колебательных

систем используют отрезки двухпроводных линий большой добротности. Колебательные системы с сосредоточенными постоянными в виде катушки индуктивности могут работать на волнах свыше 4—5 м.

Особенность работы генераторов метровых волн заключается в том, что эквивалентное сопротивление нагрузки оказывается меньше оптимального. Это объясняется сильным влиянием на контур (или линию) входного и выходного сопротивлений лампы генератора, которые резко снижаются с повышением частоты. Трудность согласования лампы с контуром приводит к уменьшению полезной мощности и к. п. д.

В диапазоне метровых волн используют одитактные и главным образом двухтактные схемы генераторов. В последних облегчена конструкция колебательных систем и упрощена схема подведения питания.

Одитактная схема генератора. Схемы генераторов метровых волн можно привести к одной эквивалентной, так как основными элементами колебательной системы являются емкости лампы и индуктивности выводов, образующие колебательную систему вместе с дополнительно включенными емкостью и индуктивностью. Общая эквивалентная схема генератора получается из эквивалентной схемы лампы (рис. 85, а), если закоротить ее выводы (рис. 89, а).

В реальных схемах генераторов в колебательную систему не включаются дополнительные конденсаторы. В цепь генератора вводят дополнительные индуктивности последовательно с индуктивностями выводов. Под индуктивностями L'_a , L'_g и L'_k в схеме рис. 89, а следует понимать суммарные индуктивности, состоящие из индуктивностей выводов и внешних индуктивностей, т. е.

$$L'_a = L_a + L_1; \quad L'_g = L_g + L_2; \quad L'_k = L_k + L_3.$$

Рассмотрим возможные варианты общей схемы при изменении трех величин внешней индуктивности в крайних пределах от нуля до бесконечности. При изменении индуктивности катодного ввода, когда $L_k = 0$, схема генератора оказывается двухконтурной с внешней емкостной связью (рис. 89, в) и общим катодом. Такая схема самовозбуждается на нижней частоте связи и эквивалентна индуктивной трехточечной схеме. При $L'_k = \infty$

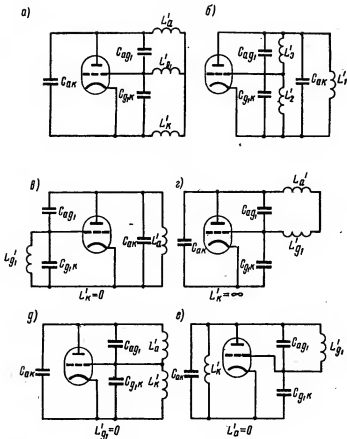


Рис. 89. Эквивалентные схемы одитактного лампового генератора СВЧ: а — общая при соединении элементов «звездой»; б — общая при соединении элементов «треугольником»; в, г — при различных катодных индуктивностях; д, е — при различных сеточных и анодных индуктивностях.

схема приобретает вид трехточечной с емкостной обратной связью (рис. 89, а).

Коэффициент обратной связи

$$K_{o.c} \approx \frac{C_{ак}}{C_{g1к}}.$$

При $L'_{g1} = 0$ схема приобретает вид двухконтурного генератора с внешней емкостной связью через емкость $C_{ак}$ и общей сеткой (рис. 89, б). При $L'_a = 0$ схема превращается в двухконтурный генератор с внешней емкостной связью через емкость $C_{g1к}$ с общим анодом (рис. 89, в).

Общую эквивалентную схему генератора удобно представить, преобразовав соединение индуктивностей из «звезды» в «треугольник» (рис. 89, б).

Из курса электротехники известно, что новые значения индуктивностей будут следующими:

$$\left. \begin{aligned} L'_1 &= \frac{\Sigma L}{L'_{g1}}; \quad L'_2 = \frac{\Sigma L}{L'_a}; \quad L'_3 = \frac{\Sigma L}{L'_k}; \\ \Sigma L &= L'_k L'_{g1} + L'_k L'_a + L'_a L'_{g1}. \end{aligned} \right\} \quad (111)$$

На рис. 90 представлены зависимости результирующего реактивного сопротивления от частоты, определяющие собственные частоты системы контуров в тот момент, когда результирующее реактивное сопротивление системы равно нулю, т. е. $x_{рез} = x_1 + x_2 + x_3 = 0$ (x_1, x_2, x_3 — реактивные сопротивления контуров $L'_1 C_{ак}$; $L'_2 C_{g1к}$; $L'_3 C_{aг1}$). Эти собственные частоты ω_n и ω_a (частоты связи) располагаются между собственными частотами эквивалентных контуров ($\omega_1, \omega_2, \omega_3$).

Применяя к данному случаю выводы § 29 и 31 об условиях выполнения баланса фаз, можно легко установить, что баланс фаз выполняется только в двух случаях, а именно при $\omega_1 < \omega_2 < \omega_3$ на верхней частоте связи ω_a (рис. 90, в) и при $\omega_1 > \omega_2 > \omega_3$ на нижней частоте связи ω_n (рис. 90, а). Тогда схемы генераторов сводятся к трехточечным.

Ввиду того, что емкостями контура являются емкости лампы, изменение собственных частот контуров и получение любого соотношения между ними может быть достигнуто только изменением индуктивностей L'_k, L'_{g1} и L'_a .

Исследования влияния этих индуктивностей на генерируемую частоту и коэффициент обратной связи показывают, что при изменении катодной индуктивности L'_k генерируемая частота мало зависит от нее, в то же время изменения анодной L'_a и сеточной L'_{g1} индуктивностей приводят к заметным изменениям генерируемой частоты.

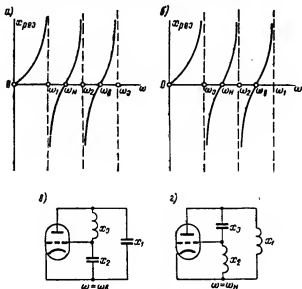


Рис. 90. Графическое определение условий самовозбуждения трехконтурной схемы: а — зависимость результирующего реактивного сопротивления системы от частоты при $\omega_1 < \omega_2 < \omega_3$; б — зависимость реактивного сопротивления системы от частоты при $\omega_1 > \omega_2 > \omega_3$; в, г — эквивалентные трехточечные схемы при выполнении баланса фаз для двух случаев соотношения частот контуров.

По этим причинам регулировку генерируемой частоты желательно производить изменением L'_a или L'_{g1} , изменение же L'_k , не влияя заметно на частоту, приводит к изменению величины коэффициента обратной связи и режима работы генератора.

Рассмотрим более подробно условия выбора коэффициента обратной связи и его влияние на режим работы генератора.

В общем случае коэффициент обратной связи

$$K_{o.c} = \frac{x_2}{x_1} = \frac{C_{ак}}{C_{г,к}} \left(\frac{\omega_1^2 - \omega^2}{\omega_2^2 - \omega^2} \right) = K_0 \frac{\omega_1^2 - \omega^2}{\omega_2^2 - \omega^2},$$

где ω — генерируемая частота связи;

$K_0 \approx \frac{C_{ак}}{C_{г,к}}$ — коэффициент обратной связи при $L'_к = \infty$.

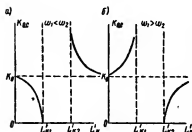


Рис. 91. Зависимость коэффициента обратной связи от катодной индуктивности: а — $K_{o.c} = \varphi(L'_к)$ при $\omega_1 < \omega_2$; б — $K_{o.c} = \varphi(L'_к)$ при $\omega_1 > \omega_2$.

На рис. 91 показана зависимость $K_{o.c}$ от $L'_к$ для двух случаев.

В первом случае при генерации на нижней частоте связи требуется небольшой коэффициент обратной связи ($K_{o.c} < K_0$) и малая катодная индуктивность ($L'_к < L'_{к1}$), которую иногда невозможно получить, так как собственная индуктивность катодного вывода $L_к$ может оказаться больше $L'_{к1}$.

Во втором случае при генерации на нижней частоте требуется $K_{o.c} > K_0$ и также $L'_к < L'_{к1}$. По указанным соображениям схемы с малыми $L'_к$ на практике не используют, и генерацию всегда осуществляют при $L'_к > L'_{к2}$. Последнее условие можно выполнить искусственным увеличением индуктивности $L'_к = L_к + L_1$. В этом случае генерация происходит на верхней частоте связи.

Окончательный выбор варианта схемы ($\omega_2 > \omega_1$ или $\omega_2 < \omega_1$) зависит от сравнения величины коэффициента обратной связи, полученного при расчете режима, с величиной $K_0 \approx \frac{C_{ак}}{C_{г,к}}$. Если $K_{o.c. \text{ расч}} < K_0$, то применяют вариант схемы при $\omega_2 < \omega_1$ (рис. 91, б), если $K_{o.c. \text{ расч}} > K_0$, то необходимо, чтобы $\omega_2 > \omega_1$ (рис. 91, а).

• Соотношение частот ω_1 и ω_2 зависит (при данных емкостях лампы) от индуктивностей L'_a и L'_{g1} :

$$\frac{\omega_2}{\omega_1} = \sqrt{\frac{L'_a C_{ак}}{L'_g C_{g1к}}}.$$

В схеме с общей (заземленной) сеткой $L'_{g1} \rightarrow 0$ и $\omega_2 > \omega_1$; в схеме с общим (заземленным) анодом $L'_a \rightarrow 0$ и $\omega_2 < \omega_1$.

Таким образом, при расчете элементов генератора в случае $K_{о.с. \text{ расч}} < K_0$ следует выполнить условие

$$\frac{L'_к}{C_{аг1}} > \frac{L'_{g1}}{C_{ак}} > \frac{L'_a}{C_{g1к}} \quad (\omega_3 > \omega_1 > \omega_2),$$

а при $K_{о.с. \text{ расч}} > K_0$

$$\frac{L'_к}{C_{аг1}} > \frac{L'_a}{C_{g1к}} > \frac{L'_{g1}}{C_{ак}} \quad (\omega_3 > \omega_2 > \omega_1).$$

Эти условия служат основой расчета элементов колебательной системы.

Работа на верхней частоте связи по емкостной трехточечной схеме обеспечивает более высокую стабильность частоты, так как в данной схеме угол коэффициента обратной связи $\varphi_{K_{о.с}}$ и фазовый угол, вызванный инерцией электронов φ_e , имеют обратные знаки и взаимно компенсируют друг друга (фазовый угол нагрузки φ_3 будет меньше, чем при работе по схеме индуктивной трехточки):

$$\varphi_3 = -\varphi_{K_{о.с}} + \varphi_e.$$

Схемы генераторов метровых волн. На метровых волнах применяют однотоковые и двухтактные схемы генераторов. Применение схем с общим анодом или с общей сеткой зависит от требуемой величины обратной связи. Схемы с общим (заземленным) катодом не используют, поскольку при заземлении катода емкости анод—земля и сетка—земля значительно увеличивают емкости лампы, тем самым понижая генерируемую частоту и уменьшая эквивалентное сопротивление нагрузки. Поэтому катод всегда изолируют от земли по высокой частоте дросселями. В схеме на рис. 92 частоту регулируют изменением анодной индуктивности L_1 , а изменение коэффициента обратной связи изменением L_3 или подбором числа витков

дросселей, установленных в катод. Эквивалентная схема в данном случае содержит три величины реактивности и подобна общей эквивалентной схеме (рис. 89, а), где $L'_a = L_a + L_1$, $L'_{g1} = L_{g1}$, $L'_k = L_k + L_3$.

На рис. 92, а представлена однокатодная схема с общим анодом (ей соответствует эквивалентная схема рис. 89, е), а на рис. 92, б — схема с общей сеткой (см. эквивалент-

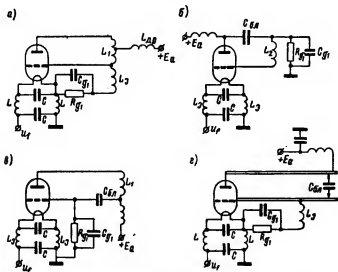


Рис. 92. Схемы однокатодных генераторов метровых волн: а — с индуктивностями в цепи анода и катода; б — с общим анодом; в — с общей сеткой; г — с линией в цепи сетка—анод.

ную схему рис. 89, д). Схемы генерируют наиболее высокую частоту в случае, когда индуктивности L_1 (рис. 92, а, в) и L_2 (рис. 92, б) выполнены в виде короткой шины между сеткой и анодом.

В коротковолновой части метрового диапазона (при $\lambda < 1,5-2$ м) вместо катушек индуктивности и шин применяют двухпроводные линии, которые упрощают конструкцию генератора, имеют высокую добротность и позволяют легко изменять эквивалентную индуктивность перемещением по линии короткозамкнутого стержня с пружинными контактами.

На рис. 92, *г* показана схема с линией в цепи анод—сетка. Короткое замыкание линии выполняется большой емкостью $C_{бл}$.

В двухтактных схемах (рис. 93) напряжения основной частоты на сетках, катодах и анодах должны находиться

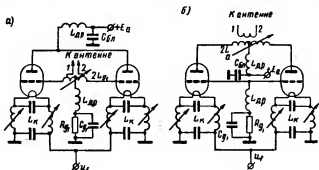
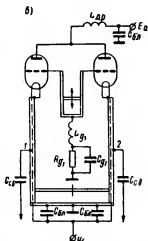


Рис. 93. Схемы двухтактных генераторов метровых волн: *а*—с общим анодом; *б*—с общей сеткой; *в*—с линиями в цепях катода и сетки.

в противофазе, а индуктивности, соединяющие эти элементы ламп, иметь точки нулевого потенциала. На практике используют схемы с общей сеткой (при $K_{о.с. расч} > K_0$) и общим анодом (при $K_{о.с. расч} < K_0$).

Данные схемы изображены на рис. 93, *а* (с общим анодом) и рис. 93, *б* (с общей сеткой), где общие электроды (с одинаковым потенциалом) соединяются короткой шиной. Регулировка генерируемой частоты осуществляется изменением индуктивностей в цепи сетки (рис. 93, *а*) или анода (рис. 93, *б*), а подбор коэффициента обратной связи производится изменением катодных индуктивностей.



Основным недостатком схем с катушками является сложность настройки, вызванная необходимостью изменять индуктивность плеч при сохранении их симметрии. Это требует специальной конструкции катушек, обеспечивающей симметричное перемещение контактов для регулирования индуктивности в плечах. Большие неудобства связаны также с необходимостью одновременно изменять индуктивность четырех дросселей в цепи катода, которые входят в колебательный контур и должны обладать высокой добротностью. Лучшие результаты получаются при использовании вместо катушек двухпроводных линий (рис. 93, в).

На рис. 93, в показана схема с общим анодом и линиями в цепях сетки и катода; последние заменяют собой катодные дроссели. Линии настраивают короткозамкнутыми стержнями, а для уменьшения габаритов иногда сгибают по окружности.

Генераторы метровых волн работают на антенну, связь с которой осуществляется фидерной линией (двухпроводной или коаксиальной), в которой должен быть установлен режим бегущей волны. Для получения бегущей волны входные сопротивления фидера в точках его подключения к антенне и контуру генератора должны быть чисто активными и численно равными волновому ρ_{ϕ} . Фидер должен быть согласован с антенной и контуром генератора:

$$z_{1,2} = \rho_{\phi}; z_A = \rho_{\phi},$$

где $z_{1,2}$ — входное сопротивление контура в точках подключения фидера;

z_A — входное сопротивление антенны в точках подключения фидера.

Связь фидерной линии с контуром или линией может быть автотрансформаторной (рис. 93, а), емкостной (рис. 93, в) и индуктивной (рис. 93, б). При автотрансформаторной связи фидер подключают к точкам катушки, симметричным относительно средней точки, и коэффициент включения фидера

$$\rho_{\phi} = \frac{U_{\phi}}{U_{\text{нк}}},$$

где U_{ϕ} — амплитуда напряжения на входе фидера;
 $U_{\text{нк}}$ — амплитуда напряжения на контуре.

В случае связи с линией расстояние l_1 от короткозамкнутого конца линии, определяющее точки подключения фидера, находят из условия равенства входного сопротивления линии в этих точках волновому сопротивлению фидера.

При индуктивной связи с катушкой коэффициент включения

$$p_{\Phi} = \frac{U_{\Phi}}{U_{\text{тк}}} = \frac{M}{L}.$$

Задаваясь конструктивно выполненным значением коэффициента связи ($K_{\text{св}} = 0,1-0,2$), можем определить индуктивность связи

$$L_{\text{св}} = \frac{M^2}{K_{\text{св}}^2 L}.$$

При индуктивной связи с линией используют виток связи.

§ 47. Генераторы дециметровых волн

В дециметровом диапазоне особо важное значение приобретает влияние инерции электронов в лампе, не учитываемое только при выполнении неравенства

$$\frac{5P_{\sim}}{SE_a} > 20 \frac{d_{\text{кг}_1}^2}{\lambda^2},$$

где P_{\sim} — полезная мощность, *вт*;

E_a — анодное напряжение, *в*;

S — крутизна характеристики лампы, *ма/в*;

$d_{\text{кг}_1}$ — расстояние катод — сетка, *мм*;

λ — рабочая длина волны, *м*.

Колебательными системами в диапазоне дециметровых волн служат отрезки коаксиальных линий и объемные резонаторы (последние используются значительно реже, в основном на границе сантиметровых волн). Использование коаксиальных линий в качестве колебательных систем очень выгодно, так как их отрезки, эквивалентные по своей работе параллельному колебательному контуру, обладают высокой добротностью. Кроме того, линии конструктивно удобно сочетаются с лампами, имеющими плоские выводы.

Наиболее широкое распространение получили четвертьволновые короткозамкнутые отрезки коаксиальных

линий, поскольку они эквивалентны параллельному колебательному контуру.

Величина и характер входного сопротивления линии зависят от соотношения ее геометрической длины и длины волны.

При $l < \frac{\lambda}{4}$ сопротивление короткозамкнутой линии носит индуктивный характер, при $\frac{\lambda}{4} < l < \frac{\lambda}{2}$ — емкостный.

Входное сопротивление линии

$$z_{вх} = -j\varrho \operatorname{ctg} \frac{2\pi l}{\lambda},$$

где $\varrho = 138 \lg \frac{D}{d}$ — волновое сопротивление линии;

D — диаметр внутренней трубы;

d — диаметр наружной трубы.

Максимальная добротность линии получается при соотношении $\frac{D}{d} \approx 3,6$.

При подключении к лампе параметры линии значительно изменяются. Линия оказывается нагруженной на сопротивление и емкость того участка лампы, к которому она подключена. Например, линия, подключенная к участку сетка—катод, оказывается нагруженной на входное сопротивление и емкость лампы. Для того чтобы нагруженная линия оказалась настроенной в резонансе, необходимо, чтобы ее входное сопротивление имело индуктивный характер и было равно по величине емкостному сопротивлению нагрузки на ее открытом конце, т. е.

$$\varrho \operatorname{ctg} \frac{2\pi l}{\lambda_0} = \frac{1}{2\pi f_0 C},$$

длина линии при этом меньше $\frac{\lambda_0}{4}$.

Эквивалентное сопротивление контура R'_s , эквивалентного нагруженной линии, значительно уменьшится и будет определяться не столько потерями в самой линии, сколько потерями, вносимыми лампой:

$$R'_s = \frac{R_s R}{R_s + R} < R_s,$$

где R — сопротивление участка лампы, к которому подключена линия.

Добротность также уменьшится:

$$Q' = \frac{Q}{r'} = \frac{Q^2}{r'Q} = \frac{R'_3}{Q} = \omega_0 C_3 R'_3,$$

где r' — сопротивление потерь в линии с учетом влияния лампы.

Линия, работающая в качестве колебательной системы лампы, связывается с антенной коаксиальным фидером, который должен быть согласован с линией. Влияние фидера можно учесть с помощью вносимого сопротивления $r_{вн}$, являющегося по существу полезной нагрузкой линии. В результате действия нагрузки добротность линии уменьшится еще больше:

$$Q_n = \frac{Q}{r' + r_{вн}} \approx \frac{Q'_3}{1 + \frac{r_{вн}}{r'}} < Q'_3.$$

Эта добротность фактически и определяет стабильность частоты генератора.

К. п. д. передачи энергии из линии в контур также зависит от величины добротности Q_n и Q'_3 :

$$\eta_{пк} = \frac{r_{вн}}{r_{вн} + r'} = \frac{\frac{r_{вн}}{r'}}{\frac{r_{вн}}{r'} + 1} = 1 - \frac{Q_n}{Q'_3}.$$

Отсюда следует, что для повышения $\eta_{пк}$ величина добротности Q'_3 должна быть по возможности больше Q_n .

Добротность линии определяет также полосу пропускания частот:

$$\Delta F_{0,7} = \frac{f_0}{Q_n}; \quad Q_n \leq \frac{f_0}{\Delta F_{0,7}}. \quad (112)$$

Обеспечение заданной полосы частот особенно важно в генераторах модулированных колебаний, где использование линий с чрезмерно большой добротностью, не удовлетворяющей условию уравнения (112), недопустимо, так как приводит к большому сужению полосы пропускания и появлению значительных частотных искажений. В то же время снижение добротности ухудшает стабильность частоты генератора. В ряде случаев линия работает на гармониках, и на ней располагается нечетное число

четвертей волны, например при работе на третьей гармонике.

Схемы генераторов дециметровых волн. Выбор схемы генератора зависит от конструкции лампы. При использовании металлокерамических ламп и коаксиальных линий широкое распространение в генераторах и усилителях дециметровых волн получила схема с общей сеткой, обладающая целым рядом преимуществ (§ 39). В схеме, как уже указывалось, имеются два колебательных контура; один включен между сеткой и катодом, а другой — между сеткой и анодом.

Обратная связь в генераторе с общей сеткой осуществляется через емкость анод—катод, которая в данной схеме выполняет роль проходной. В металлокерамических и дисковых лампах эта емкость составляет десятые и сотые доли пикофарды. Ослабление обратной связи через эту емкость (вследствие ее малой величины) благоприятно влияет на работу схемы в режимах усиления, повышает устойчивость и обеспечивает большее устойчивое усиление. В генераторах емкость $C_{ак}$ часто недостаточна для получения самовозбуждения и требуется введение дополнительной обратной связи, изменяя которую можно регулировать режим и мощность генератора. Самовозбуждение в схеме генератора с общей сеткой возможно только тогда, когда сопротивление входного контура (сетка—катод) носит емкостный характер, а выходного (сетка—анод) — индуктивный. В результате образуется эквивалентная емкостная трехточечная схема, и генерация произойдет на верхней частоте связи. Необходимый для самовозбуждения характер сопротивления контуров достигается при $\omega_{ак} > \omega_{г.к}$. Генерируемая частота будет близка к частоте $\omega_{ак}$ выходного контура, настройкой которого регулируют генерируемую частоту. Входной контур, слабо влияя на частоту, определяет величину коэффициента обратной связи, а тем самым и режим работы генератора.

В схеме с общей сеткой коаксиальные линии присоединяют к дисковым выводам лампы, причем два контура схемы — входной (или катодный) и выходной (или анодный) — образуются тремя коаксиальными цилиндрами: катодным, сеточным и анодным. Сеточный цилиндр используется дважды: его наружная поверхность входит в один из контуров, а внутренняя — в другой (рис. 94, а, б).

На рис. 94, а анод присоединяется к внутреннему цилиндру 3, катод — к наружному 1, а сетка — к среднему 2. В схеме рис. 94, б, наоборот, анод присоединен к наружному цилиндру 3, а катод — к внутреннему 1. Первая схема широко используется в мало мощных усилителях и генераторах, вторая — в более мощных, так

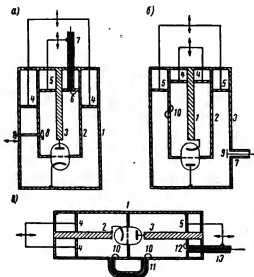


Рис. 94. Схемы генераторов дециметровых волн: а — с подключением анода к внутреннему цилиндру; б — с подключением анода к наружному цилиндру; в — двухсторонняя.

1, 2, 3 — катодный, сеточный и анодный цилиндры, образующие контуры; 4 — поршень настройки входного (катодного) контура; 5 — поршень настройки выходного (анодного) контура; 6 — петля связи с нагрузкой; 7 — фидер, передающий энергию в антенну; 8 — штырь емкостной обратной связи; 9 — штырь связи с нагрузкой; 10 — петли индуктивной обратной связи; 11 — фидер обратной связи; 12 — петля связи с антенной; 13 — фидер связи с антенной.

как в ней облегчаются условия охлаждения анода и его радиатор помещается снаружи конструкции.

Двухсторонняя схема (рис. 94, в), в которой лампа помещается в середине линий, применяется реже из-за более сложной конструкции, затрудняющей смену ламп, охлаждение анода и дополнительную регулируемую обратную связь. Последняя осуществляется в двух первых схемах штырем связи 8 (емкостная связь) или петель

связи 10 (индуктивная связь). Аналогично выполняется связь с нагрузкой. В этом случае иногда применяют автотрансформаторную связь. Для повышения эффективности элемент связи — штырь 9 (рис. 94, б) или петлю 6 (рис. 94, а) — лучше располагать не произвольно, а вблизи пучности напряжения (у электродов лампы) при емкостной связи и вблизи пучности тока (у короткозамкнутого конца линии) при индуктивной связи.

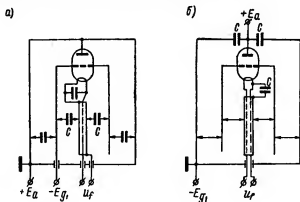


Рис. 95. Схемы питания в генераторе ДМВ: а — с блокировочными конденсаторами в поршнях; б — с одинаковым постоянным потенциалом линий и с блокировочными конденсаторами у электродов лампы.

Схемы питания представлены на рис. 95. Для питания постоянным током необходимо разделить электроды блокировочными конденсаторами, устанавливаемыми либо в настраивающих поршнях, либо вблизи лампы. В первом случае цилиндры изолируют друг от друга блокировочными конденсаторами, включенными в поршни (рис. 95, а). Недостатками такой схемы являются сложная конструкция поршней и увеличение напряжения между цилиндрами линий, особенно между сеточным и анодным. Более удобная схема питания, в которой все цилиндры имеют одинаковый постоянный потенциал, а разделительная емкость помещается у лампы и конструктивно выполнена в виде изолирующих шайб с подключенными цилиндрами (рис. 95, б).

§ 48. Клистронные генераторы

Пролетные клистроны. В диапазоне сантиметровых волн широкое применение нашли клистроны, работающие по принципу взаимодействия электронного потока переменной плотности с электрическим полем объемного колебательного контура (объемного резонатора), который является основной колебательной системой в этом диапазоне. Импульсы конвекционного тока, возникающие в электронном луче вследствие периодического изменения его плотности, создают в электрическом поле резонатора наведенный ток, приближенно равный конвекционному, который отдает свою энергию резонатору, связанному с полезной нагрузкой. Электронный луч также группируется по скорости (скоростная модуляция) объемным резонатором. В зависимости от того, происходит группирование электронов и преобразование их энергии в энергию высокочастотных колебаний в одном или в двух разных резонаторах, различают два основных типа клистронов: пролетные и отражательные. Пролетные могут работать как усилители, умножители или генераторы, а отражательные — только как генераторы.

На рис. 96, а показана схема пролетного двухрезонаторного клистрона. Клистрон состоит из электроинной пушки, заключающей в себе подогревный катод 1 и устройство 2, служащее для фокусировки электронов в узкий пучок. На фокусирующее устройство подается небольшой отрицательный относительно катода потенциал. По аналогии с электронными лампами устройство называют сеткой, и оно может служить для управления током луча.

Для получения узких пучков электронов с большой силой тока применяют катоды специальной конструкции и постоянное магнитное поле, направленное по оси электроинной пушки и фокусирующее электронный пучок. Электроны, вылетевшие из катода, движутся под влиянием ускоряющего электрического поля, приложенного к объемным резонаторам 3 и 4. Стенки узкой части резонаторов, через которую пролетают электроны, выполнены в виде сеток.

Объемный резонатор 3 называется группирователем. Электроны, попавшие в пространство между сетками группирователя, изменяют свою скорость под действием переменного напряжения u_r . Это напряжение возникает

в результате возбуждения группирователя внешним источником колебаний с помощью петли связи 5. При высоком ускоряющем напряжении E_0 и малом расстоянии между сетками группирователя инерцией электронов на данном участке можно пренебречь. Тогда электроны, влетающие в группирователь при $u_r = 0$, не изменят своей скорости и, пролетев сетки группирователя, будут двигаться дальше с постоянной скоростью $v_0 \approx$

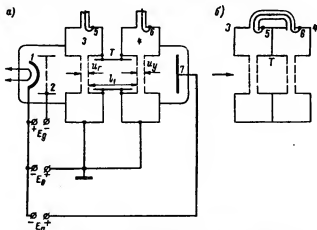


Рис. 96. Пролетный клистрон: а — схема клистрона; б — схематическое устройство резонаторов.

$\approx 6 \cdot 10^6 \sqrt{E_0}$ м/сек. Электроны, пролетающие сетки в моменты, когда напряжение u_r увеличивается, получают ускорение, и их скорость после пролета сеток будет больше: $v_1 = v_0 + \Delta v$. Наконец, электроны, пролетающие сетки в моменты, когда напряжение u_r падает, будут тормозиться, и их скорость уменьшится до $v_2 = v_0 - \Delta v$.

В пролетном пространстве между сетками группирователя и улавливателя электрическое поле отсутствует, и электроны движутся по инерции с той скоростью, которую они имели при вылете из группирователя. Это пространство называется пространством группирования. В нем происходит группирование электронов, так как более быстрые электроны, проходящие через группирователь при ускоряющем полупериоде u_r , будут догонять ранее вылетевшие электроны, имеющие меньшую скорость,

в результате чего образуются сгустки электронов и плотность электронного пучка делается неравномерной. За каждый период напряжения группирователя образуется один сгусток электронов, представляющий собой импульс конвекционного тока.

Процесс группирования можно проследить по пространственно-временной диаграмме (рис. 97), где в коор-

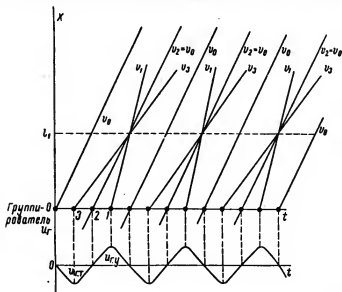


Рис. 97. Пространственно-временная диаграмма пролетного клистрона.

динатах пространства x и времени t показаны траектории электронов в пространстве группирования, причем крутизна траекторий взята пропорциональной скорости электронов. До пролета группирователя электроны имели одинаковую скорость v_0 (часть графика ниже оси абсцисс). После пролета сеток скорость электронов изменится, и крутизна траектории будет различной.

Рассмотрим для упрощения траектории трех электронов 1, 2 и 3, пролетевших группирователь при нулевом (2), максимальном тормозящем (3) и максимальном ускоряющем (1) напряжениях. Имея большую скорость ($v_1 > v_0$), электрон 1 догонит электрон 2, скорость которого не

изменялась ($v_2 = v_0$), и электрон 3, который имел еще меньшую скорость ($v_3 < v_0$), но вылетел раньше.

Сгустки образуются при переходе напряжения u_r от тормозящей полувольты $u_{r.т}$ к ускоряющей $u_{r.у}$. При обратном переходе появляются разряжения плотности электронов. Плотность электронного сгустка достигает максимума на вполне определенном расстоянии l_1 от группирователя. При дальнейшем движении электронов плотность сгустка уменьшается. Сгусток электронов представляет собой импульс конвекционного тока, который на расстоянии l_1 от группирователя оказывается наиболее острым.

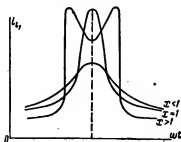


Рис. 98. Импульсы конвекционного тока клистрона в зависимости от параметра группирования.

При дальнейшем движении электронов ($l > l_1$) форма импульса меняется: он размывается, появляется провал в его вершине, и длительность его увеличивается.

На рис. 98 показаны формы импульсов конвекционного тока в зависимости от соотношения напряжений

$m = \frac{U_{mg}}{E_0}$ и фазового угла пролета в пространстве группирования $\varphi_0 = \omega t_0$ при отсутствии скоростной модуляции (ω — угловая частота напряжения на группирователе, $t_0 = \frac{l_1}{v_0}$ — время пролета пространства группирования при отсутствии скоростной модуляции, т. е. когда $u_r = 0$).

Чем больше l_1 , тем при прочих равных условиях сильнее деформации импульса конвекционного тока. Поскольку на форму импульса тока влияют скорость электронов при отсутствии скоростной модуляции v_0 и соотношение напряжений m , то в связи с этим вводится параметр группирования $x \approx 0,5 m \varphi_0$, в зависимости от которого и вычерчены импульсы тока на рис. 98.

Чтобы внешние поля в пространстве группирования не влияли на электроны, пространство экранируется пролетной трубкой T (рис. 96, а), роль которой могут выполнять внешние поверхности резонаторов, присоединенные один к другому (рис. 96, б).

Импульсы конвекционного тока, проходя через сетки второго резонатора — улавливателя, индуцируют в нем наведенные токи, в результате чего создаются электромагнитные колебания той же частоты. Напряжение u_y на сетках улавливателя совпадает по фазе с первой гармоникой наведенного тока, и импульсы тока будут проходить через сетки в моменты максимального напряжения на них ($u_y = U_{my}$). При этом происходит наиболее сильное торможение электронов, которые отдают большую часть энергии улавливателю. Усиленная (по сравнению с энергией, затраченной на группирование) мощность с помощью петли связи 6 и фидера передается нагрузке (рис. 96). Электроны, пролетевшие улавливатель, движутся к аноду 7 и отдают ему остаток своей энергии. Напряжение на аноде должно быть выбрано таким, чтобы скорость электронов, подходящих к нему, приближалась к нулю, в результате чего потери энергии на аноде уменьшается.

Умножение частоты в пролетном клистроне можно получить в том случае, когда улавливатель настраивается на заданную гармонику наведенного тока. Острые импульсы тока содержат большое число резко выраженных гармоник, и умножение частоты получается достаточно эффективным. Объемные резонаторы настраивают или подстраивают на любую частоту деформацией стенок резонаторов или введением в их полость винтов (поршней). Во время работы пролетного клистрона в режиме самовозбуждения группирователь возбуждается от улавливателя с помощью цепи обратной связи (рис. 96, б), при этом должны выполняться условия самовозбуждения: баланс фаз и баланс амплитуд.

Для перестройки пролетного клистрона на другую волну требуются согласованная настройка резонаторов и соответствующая регулировка напряжений. Сложность настройки ограничивает использование пролетного клистрона в диапазоне волн. Другой недостаток рассмотренной схемы клистрона — трудность получения электронных пучков с большой силой тока вследствие расфокусировки электронного луча, вызываемой взаимным отталкиванием электронов. Для увеличения мощности клистронов, имеющих небольшую силу тока в пучке, приходится увеличивать ускоряющее напряжение E_0 до десятков и даже сотен киловольт, что неудобно в эксплуатации и приводит

к снижению к. п. д. Последнее вызывается необходимостью увеличивать напряжение на улавливателе в целях более эффективного торможения электронов, движущихся с большой скоростью.

Для получения высоких напряжений на сетках улавливателя нужны резонаторы с высокими добротностью и эквивалентным сопротивлением. Такие параметры можно обеспечить ослаблением связи улавливателя с нагрузкой, но при этом уменьшается отдача полезной мощности и к. п. д. Указанный недостаток устраняется изменением конструкции клистрона и использованием так называемой радиальной конструкции, в которой электронный пучок вводится в резонаторы не по их оси симметрии, а по радиусу, что позволяет создать мощный электронный пучок без магнитной фокусировки.

Пролетные клистроны используются в качестве генераторов на мощности свыше 1 *вт* в непрерывном режиме и на мощности до десятков и даже сотен мегаватт в импульсном.

Основными достоинствами пролетных клистронов являются:

1) большие мощности как в импульсном, так и непрерывном режимах, особенно при параллельной работе клистронов; 2) высокая стабильность частоты, определяемая стабильностью частоты возбуждающего сигнала, так как частота колебаний клистронов почти не зависит от параметров их нагрузки (для обычных систем возбуждения достигается стабильность 10^{-5}); 3) большое усиление (до 10^6 — 10^7 раз).

К недостаткам клистронов относятся: 1) необходимость использования высоких анодных напряжений, значительно больших, чем у магнетронов (например, для клистрона мощностью в 10 *Мвт* требуется напряжение до 150—200 *кв*, в то время как для магнетронов такой же мощности необходимо напряжение до 50—60 *кв*), что приводит к появлению рентгеновского излучения, меры защиты от которого усложняют конструкцию; 2) узкая полоса пропускания (до 1—2%) из-за высокой добротности резонаторов (в некоторых последних конструкциях клистронов получена более широкая полоса пропускания — до 5% в сантиметровом диапазоне и до 10% в дециметровом); 3) сравнительно невысокий к. п. д. (до 35—45%).

При полной прозрачности сеток для электронов луча, малом угле пролета через сетки и ряде других допущений теоретически к. п. д. достигает 50—85 %. Однако из-за тока сеток, инерции электронов и других факторов он падает до 15—25 %. Для повышения к. п. д. используют дополнительные промежуточные резонаторы (в последних конструкциях до трех и более), которые располагаются между группирователем и улавливателем. Электроны, пролетая сетки промежуточных резонаторов, индуктируют в них переменное напряжение, улучшающее группирование. В результате увеличиваются сила тока в импульсе и амплитуда первой гармоники тока улавливателя. Кроме того, напряжение группирователя снижается, а полезная мощность и к. п. д. увеличиваются. Такие многорезонаторные клистроны позволяют получить импульсные мощности до 100—200 Мвт при к. п. д. в 30—45 % и усиление до 10^6 — 10^7 раз.

Пролетные клистроны широко используются в радиолокационных, телевизионных и радиорелейных передатчиках большой мощности, а также в ускорителях частиц.

Отражательные клистроны. Отражательный клистрон, изобретенный в 1940 г. В. Ф. Коваленко, широко используется в качестве генератора малой мощности (до 1 Вт), гетеродина приемника сантиметрового диапазона и сигнал-генератора.

К преимуществам данных клистронов относятся: 1) высокая стабильность частоты; 2) простота подстройки и настройки частоты; 3) малая потребляемая мощность и невысокие рабочие напряжения; 4) малые габариты.

Недостатки отражательных клистронов: низкий к. п. д. и сильная зависимость частоты от питающих напряжений.

Рассмотрим принцип действия отражательного клистрона (рис. 99) с одним резонатором 1, на который подается ускоряющее напряжение. Назначение катода и сетки то же, что и в пролетном клистроне. Электрод 2

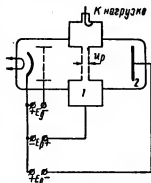


Рис. 99. Схема отражательного клистрона.

называется отражателем, и на него подается отрицательное относительно катода напряжение E_0 .

Электроны, вылетевшие из катода и сфокусированные в узкий пучок, ускоряются в пространстве до сеток резонатора и, пролетев сетки, попадают в тормозящее поле отражателя. Это поле определяется разностью потенциалов резонатора и отражателя ($E_r = E_p - E_0$). При наличии напряжения высокой частоты на сетках резонатора происходит скоростная модуляция луча, вследствие чего электроны, пролетевшие сетки, будут иметь различные скорости. Попадая в тормозящее поле, электроны меняют направление и начинают двигаться к сеткам резонаторов. Так как длина траектории электронов зависит от скорости, которую они имели при выходе из сеток резонатора, то электроны, обладающие большей скоростью, пройдут больший путь до поворота в обратном направлении и догонят электроны, обладающие меньшей скоростью, прошедшие меньший путь до полного отражения и перемены направления движения. В результате в пространстве между сетками резонатора и отражателем произойдет группирование электронов, и при определенном расстоянии l и напряжении $E_r = E_p - E_0$ к сеткам отражателя начнут подходить сгустки электронов, образующие импульсы конвекционного тока. Если импульсы проходят сетки резонатора в моменты максимального напряжения на них, то вследствие торможения энергия электронов будет отдаваться резонатору и в нем появятся колебания. Таким образом, в отражательном клистроне, как и в пролетном, имеет место скоростная модуляция электронов, приводящая к периодическому изменению плотности луча. Группирование и улавливание происходят в одном и том же резонаторе.

Очевидно, такой прибор может работать только как генератор с самовозбуждением, причем первоначальные колебания в резонаторе возникают в результате тепловых флюктуационных колебаний, всегда имеющих место в колебательных системах.

На рис. 100 изображен график движения электронов при различных напряжениях на сетках резонатора. Движение электрона с начальной скоростью в тормозящем электрическом поле подобно движению брошенного вверх тела под действием силы земного притяжения. Уравнение такого движения описывается параболической зависи-

мостью, и кривая движения электрона имеет вид параболы.

Электроны отдают максимальную энергию в том случае, когда их сгусток поступает после группирования в резонатор с максимальным напряжением на сетках, что возможно при вполне определенных углах пролета электронов, вылетающих из сеток резонатора при $u_p = 0$. Около этих электронов (кривая *а*) группируются как более быстрые (кривая *б*), так и более медленные, но вылетевшие раньше электроны (кривая *в*).

Для получения максимальной отдачи энергии электронам резонатору необходимо выполнить условие, при котором время пролета электронов в пространстве резонатора — от-

$$t_0 = \frac{3}{4} T, 1 \frac{3}{4} T, 2 \frac{3}{4} T, \dots \quad (113)$$

а угол пролета

$$\varphi_0 = 2\pi t_0 = 2\pi \left(n - \frac{1}{4} \right) T,$$

где $T = \frac{1}{f}$ — период колебаний;

$$n = 1, 2, 3 \dots$$

При указанных значениях n первая гармоника индуктированного в резонаторе тока и напряжение на резонаторе совпадут по фазе, и колебательная мощность достигнет максимума. Если условие (113) выполнено неточно, то баланс фаз произойдет на частоте, отличной от собственной частоты резонатора, генерируемая частота изменится, а колебательная мощность упадет.

Расчеты показывают, что при $t > t_0$ $\omega < \omega_0$, а при $t < t_0$ $\omega > \omega_0$. Условия самовозбуждения клистрона зависят от параметра n . Чем больше n , тем легче возникает самовозбуждение. Это объясняется тем, что при больших n увеличивается время пробега электронов и улучшаются условия группирования, а также увеличиваются плотность электронов в сгустке, конвекционный и

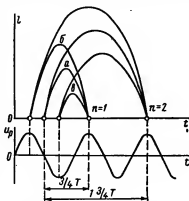


Рис. 100. График движения электронов в тормозящем поле отражателя, поясняющий процесс группирования.

наведенный ток. Регулировка времени t_0 достигается изменением потенциала отражателя.

Условия самовозбуждения зависят от величины тока в пучке. Для каждой величины параметра n существует минимальный ток пучка $I_{0 \min}$, при котором возможно самовозбуждение. С увеличением n значение этого предельного тока уменьшается. Регулировка тока достигается изменением напряжения сетки E_g .

Зависимость относительного изменения частоты, генерируемой клистроном, от напряжения отражателя определяется выражением

$$\frac{\Delta f}{f} = - \frac{\pi \left(n - \frac{1}{4} \right)}{Q} \frac{\Delta E_0}{E_p - \Delta E_0},$$

где ΔE_0 — изменение напряжения на отражателе.

С увеличением номера n зоны генерации уход частоты становится больше, потому что по мере увеличения времени пролета t_0 область частот, в которой возможно самовозбуждение, будет шире благодаря лучшему группированию электронов.

С увеличением номера зоны генерации, а следовательно, и Φ_0 колебательное напряжение на резонаторе падает

$$U_{mp} = \frac{2x}{\Phi_0} E_0$$

и колебательная мощность, выделяемая на резонаторе, уменьшается.

Большие изменения напряжения, частоты и мощности наблюдаются при изменении отрицательного напряжения на отражателе в сторону уменьшения, и кривые напряжения оказываются несимметричными. Это вызвано тем, что при увеличении E_0 увеличивается время пролета по сравнению с t_0 , в результате чего компенсируется расстройка резонатора. При уменьшении E_0 уменьшается время пролета по сравнению с оптимальным, расстраиваются контур и ухудшаются условия группирования и самовозбуждения.

Максимальная полезная мощность, выделяемая в резонаторе, получается при оптимальной настройке и при $n = 1$. В других зонах генерации мощность будет меньше. Теоретический к. п. д. клистрона оказывается около 50%, на практике он снижается до 1—2% за счет потерь мощ-

ности в сетках резонатора, конечности угла пролета между сетками резонатора и т. д.

Мощность, передаваемая в нагрузку, зависит от величины связи резонатора с нагрузкой и потерь в резонаторе:

$$P_{\sim} = P'_{\sim} - P_p,$$

где P_{\sim} — мощность, передаваемая в нагрузку;

P'_{\sim} — колебательная мощность, развиваемая в резонаторе;

P_p — мощность потерь в резонаторе.

Реальный к. п. д. клистрона

$$\eta = \frac{0,04 - 0,07}{n - \frac{1}{4}}$$

убывает с увеличением номера зоны генерации.

Техника отражательных клистронов в последние годы развивается по линии создания таких конструкций приборов, в которых можно было бы использовать многократное движение электронов в электромагнитном поле резонатора. При многократном движении электронов отдача энергии полю значительно увеличивается и к. п. д. возрастает. Кроме того, многократное движение приводит к расширению диапазона перестройки, выгодному для диапазонных генераторов.

§ 49. Магнетронные генераторы

Магнетроны являются основным типом генераторов сантиметрового диапазона воли в непрерывном и импульсном режимах. Наиболее широкое распространение получили многорезонаторные магнетроны, изобретенные в конце 30-х годов Д. Е. Маляровым и Н. Ф. Алексеевым. Эти типы магнетронов обеспечивают на СВЧ значительные мощности и высокий к. п. д. Современные многорезонаторные магнетроны позволяют получить импульсные мощности до 10—20 Мвт на волнах до 1—2 см при к. п. д. около 25—60%.

Импульсные магнетроны работают при анодных напряжениях от нескольких сот вольт до 40—70 кВ при напряженности постоянного магнитного поля до 0,6—0,8 тл (6—8 тыс. гс). Они применяются в радиолокационных станциях сантиметрового диапазона.

Магнетроны, работающие в непрерывном режиме, позволяют получить мощности от нескольких ватт до нескольких киловатт при анодном напряжении до нескольких киловольт. В этих магнетронах обязательно используется принудительное воздушное, а в некоторых конструкциях и водяное охлаждение. В магнетронных генераторах допускается использование некоторых мето-

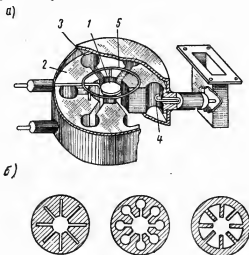


Рис. 101. Устройство многорезонаторного магнетрона: *а* — устройство магнетрона; *б* — сечения анодного блока при разных формах резонаторов (щелевой, цилиндрической, лопаточной).

1 — катод; 2 — медный анодный блок; 3 — цилиндрические объемные резонаторы; 4 — петля связи; 5 — кольцевая связка.

дов стабилизации частоты. Такие магнетроны нашли широкое применение в станциях создания помех радиолокаторам.

Недостатком магнетронов является трудность перестройки частоты в широких пределах.

Устройство магнетрона. Магнетроны построены на принципе воздействия на электронный поток не только электрического, но и постоянного магнитного поля (рис. 101). В результате этого воздействия получается такое движение электронов, при котором они многократно отдают свою энергию (полученную в ускоряющем электрн-

ческом поле анода) электромагнитному полю колебательной системы магнетрона, поддерживая в ней незатухающие колебания.

Анодный блок. На рис. 101, б показаны сечения анодного блока при различных наиболее распространенных формах резонаторов — цилиндрической, щелевой и лопаточной. Современные магнетроны могут иметь от 6 до 30—40 резонаторов (на более коротких волнах).

Каждый резонатор обладает собственной частотой колебаний, которая зависит от его формы и размеров его поперечного сечения. Резонаторы анодного блока связаны друг с другом через электрические и магнитные поля и образуют единую колебательную систему с несколькими собственными частотами колебаний. Каждой такой частоте соответствуют определенные фазовые соотношения между колебаниями в отдельных резонаторах и определенная конфигурация электромагнитного поля. Таким образом, в колебательной системе магнетрона можно получить несколько типов полей.

При последовательном обходе всех резонаторов анодного блока общий сдвиг фазы колебаний Φ , очевидно, будет равен нулю или целому числу периодов, т. е. в общем случае $\Phi = 2\pi n$, где $n = 0, 1, 2, 3, \dots$

Сдвиг фаз колебаний между соседними резонаторами при этом оказывается в N раз меньше (N — число резонаторов), а именно

$$\varphi = \frac{\Phi}{N} = \frac{2\pi n}{N}.$$

При расчете получается следующее выражение для собственных частот колебаний в блоке:

$$f = \frac{f_0}{\sqrt{1 + \frac{1}{4 \frac{C}{C_1} \sin^2 \frac{\pi n}{N}}}}, \quad (114)$$

где $f_0 = \frac{1}{2\pi \sqrt{LC}}$ — собственная частота одиночного резонатора;

L, C — эквивалентные индуктивность и емкость резонатора соответственно;

C_1 — емкость связи между резонаторами.

На рис. 102, а показана эквивалентная схема анодного блока, в которой резонаторы заменены контурами с сосредоточенными параметрами и указана магнитная и электрическая связь между контурами.

Магнитная связь обусловлена тем, что магнитный поток одного резонатора замыкается через торцы блока и полости соседних резонаторов.

Электрическая связь осуществляется через электрические поля резонаторов, существующие в пространстве взаимодействия (в эквивалентной схеме емкости C_1).

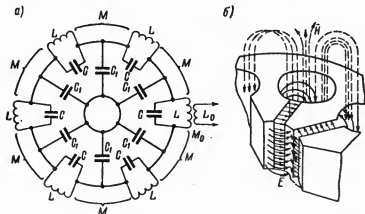


Рис. 102. Эквивалентная схема анодного блока и характер поля резонатора: а — эквивалентная схема резонаторов блока с учетом электрической (C_1) и магнитной (M) связей; б — характер поля резонаторов.

При данных значениях f_0 , C_1 и L получаются $N - 1$ собственных частот колебаний, так как при $n = 0$ и $n = N$ частота равна нулю ($\frac{\pi n}{N} = 0, \pi, \dots, \sin^2 \frac{\pi n}{N} = 0$), а при $n > N$ значения частот будут повторяться, поскольку фазовый угол $\frac{\varphi}{2} = \frac{\pi n}{N}$, являющийся аргументом синуса в формуле (114), будет отличаться на π для двух значений: n и $n + N$

$$\frac{\pi(n + N)}{N} = \frac{\pi n}{N} + \pi; \quad \sin^2 \frac{\pi n}{N} = \sin^2 \left(\frac{\pi n}{N} + \pi \right).$$

Указанное число ($N - 1$) собственных независимых частот имеет в своем составе пары одинаковых по вели-

чение частот, колебания которых отличаются только фазовыми соотношениями.

Действительно, при различных значениях числа n , например при $n = n_1$ и $n = n_2 = N - n_1$, квадраты синусов угла $\frac{\pi n_1}{N}$ и $\frac{\pi(N - n_1)}{N}$ (а следовательно, и частоты) будут одинаковы, хотя фазы колебаний будут различны. Так, если $n = n_1$, то $\varphi_1 = \frac{2\pi n_1}{N}$, а если $n_2 = N - n_1$, то $\varphi_2 = \frac{2\pi(N - n)}{N} = 2\pi - \varphi_1$. Эти пары одинаковых частот называются вырожденными.

Исследования показывают, что колебания одинаковых частот (n и $N - n$) движутся вдоль анодного блока в противоположных направлениях, образуя две бегущие волны. В результате их интерференции появляется стоячая волна. Для колебаний с $n = 1$ и $n = N - 1$ вдоль анодного блока укладывается одна волна, при $n = 2$ и $n = N - 2$ — две волны и т. д. Число стоячих волн будет всегда меньше половины числа резонаторов, а число пучностей тока меньше числа резонаторов. В данном резонаторе будет иметь место либо прочность тока, либо узел, т. е. возможны две структуры поля. Установление той или иной структуры поля является случайным и зависит от процесса возникновения колебаний. Незначительное нарушение симметрии системы приводит к изменению структуры, перескоку фазы и появлению в резонаторе узла тока вместо пучности или наоборот. Для вывода энергии из магнетрона петлю связи следует поместить в пучность магнитного поля, т. е. в резонатор с пучностью тока. Очевидно, что работа с вырожденными колебаниями приведет к значительным изменениям выводимой из магнетрона мощности, так как вместо пучности тока в данном резонаторе случайно появится узел и энергия резко изменится, что недопустимо. При этой причине вырожденные колебания являются паразитными и не используются на практике.

При нечетном числе резонаторов ($N = 2k + 1$, где $k = 1, 2, 3, \dots$) в магнетроне будут существовать только вырожденные колебания:

$$\begin{aligned} f_1 &= f_{N-1} = f_{2k}; \\ f_2 &= f_{N-2} = f_{2k-1}; \\ &\dots \dots \dots \\ f_k &= f_{N-k} = f_{k+1}, \end{aligned}$$

т. е. всего $N - 1 = 2k$ частот.

При четном числе резонаторов ($N = 2k$), кроме $k - 1 = \frac{N}{2} - 1$ пар вырожденных колебаний, будет существовать одно невырожденное колебание при $n = \frac{N}{2}$ и

$$\varphi = \frac{2\pi \frac{N}{2}}{N} = \pi$$

$$f_1 = f_{N-1} = f_{2k-1};$$

$$f_2 = f_{N-2} = f_{2k-2};$$

$$\dots \dots \dots$$

$$f_{k-1} = f_{N-(k-1)} = f_{k+1};$$

$$f_k = f_{N-k} = f_{\frac{N}{2}}.$$

Это невырожденное колебание называется противофазным, так как сдвиг фазы в соседних резонаторах составляет 180° и вдоль анодного блока устанавливается $\frac{N}{2}$ стоячих волн. При этом число пучностей тока равно числу резонаторов, и в каждом резонаторе будет иметь место пучность тока (а в щели между ними пучность напряжения). Тогда петля связи, установленная в любом из резонаторов, всегда находится в пучности магнитного поля. Электрические и магнитные поля соседних резонаторов будут всегда направлены в данный момент в противоположные стороны, как показано на рис. 102, б.

Противофазные колебания являются основными рабочими колебаниями магнетрона, и для их получения число резонаторов в анодном блоке всегда должно быть четным. При противофазных колебаниях достигается такое взаимодействие электронов с электромагнитными полями резонаторов, когда электроны, движущиеся в пространстве взаимодействия, будут встречать у щелей максимальное тормозящее поле и непрерывно отдавать ему свою энергию.

Недостатком противофазных колебаний является приближение колебаний соседних частот к колебаниям основной частоты, в результате чего появляется многоволновость и работа магнетрона делается неустойчивой (появляются скачки частоты и снижается к. п. д.).

Для увеличения разности между основной частотой и частотами соседних колебаний вводят дополнительную связь между резонаторами в виде одного или двух колец из проводников (связки), расположенных на торцах анодного блока (см. рис. 101). Лучшие результаты получаются при двойной кольцевой связке, позволяющей разности частоты колебаний, близкие к основной частоте, не менее чем на 5—10%, что достаточно для нормальной работы колебательной системы магнетрона.

Действие связей заключается в том, что усиление связи между резонаторами приводит к увеличению разности между собственными частотами колебаний, как в обычной системе из связанных контуров.

В магнетронах, работающих в диапазоне 10—30 см, применяются связки в виде круглых или прямоугольных проводников, соединяющих сегменты блока. В трехсантиметровом диапазоне использование связей конструктивно неудобно из-за малых размеров анодного блока. Кроме того, наличие связей приводит к значительному увеличению потерь, которые возрастают пропорционально квадрату частоты.

Для разноса частот соседних колебаний на волнах $\lambda \leq 3$ см применяют разнорезонаторные магнетроны, в которых чередуются резонаторы различной формы и величины, при этом собственные частоты резонаторов и соседние частоты будут значительно отличаться друг от друга и от основных колебаний.

Катод магнетрона. Для получения больших мощностей катоды магнетронов должны обладать большой удельной эмиссией (до 50—100 а/см²), которая возможна только в оксидных катодах, применяемых в импульсных магнетронах.

В магнетронах, работающих в непрерывном режиме, используются не оксидные, а торированные катоды, имеющие большой срок службы.

Особенности работы катода заключаются в бомбардировке его поверхности электронами, вылетевшими из него в фазе, при которой они ускоряются переменным электрическим полем резонаторов и падают на катод. Во время этого процесса происходят два характерных явления. Во-первых, электроны, отдавая свою энергию, сильно разогревают катод (энергия, отдаваемая электронами катоду, составляет до 20% выходной мощности), и, во-

вторых, электронная бомбардировка катода приводит к значительной вторичной эмиссии, повышает общий анодный ток, снижая срок службы катода. Для предотвращения перегрева катода в моменты возбуждения магнетрона необходимо понижать или совсем выключать напряжение накала при возбуждении.

В процессе эксплуатации магнетронов наблюдается искрение, которое особенно сильно в начале и конце срока службы катода. Искрение заключается в появлении газового разряда в результате выделения остатков газов из анода и катода. В моменты разряда происходит резкое увеличение тока магнетрона, приводящее к разрушению оксидного слоя катода. Искрение обнаруживается по броскам среднего значения анодного тока магнетрона.

Искрению способствуют резкие изменения работы катода, имеющие место при изменении длительности импульса, а также уменьшение эмиссии катода. Чтобы уменьшить искрение, катоды новых магнетронов предварительно «тренируют», включая на работу при пониженном анодном напряжении. Кроме того, для этой же цели стремятся увеличить проводимость оксидного слоя с помощью металлических примесей.

Принцип действия магнетрона. В работающем магнетроне взаимодействие постоянного электрического поля анода, постоянного магнитного и переменного электромагнитного полей резонаторов с движущимся к аноду объемным электронным зарядом приводит к группированию объемного заряда, образующего ряд уплотнений («спик»), число которых зависит от количества резонаторов и вида колебаний. Уплотнения заряда непрерывно движутся с угловой частотой электромагнитного поля резонаторов и при противофазных колебаниях одновременно проходят плоскости пазов в моменты, когда электрическое поле под пазами достигает максимального тормозящего значения. В этот момент происходит наибольшая отдача энергии электронов полю резонаторов, в которых поддерживаются незатухающие колебания. Основным условием поддержания колебаний является синхронизм движения электронных уплотнений вдоль катода с частотой поля резонаторов, т. е. необходимость соблюдения указанного выше требования, чтобы уплотнения электронов проходили пазы в моменты, когда под ними имеется максимальное тормозящее поле.

Прежде чем перейти к объяснению такого характера движения и группирования объемного заряда, напомним основные законы движения электрона в электрическом и магнитном полях.

При движении электрона в электрическом поле по направлению силовых линий или против них происходит торможение или ускорение электрона.

В случае движения электрона под углом к силам поля траектория движения вследствие взаимодействия силы инерции движущегося электрона и сил электрического поля искривляется и при наличии постоянного и равномерного поля электрон будет двигаться по параболе, как горизонтально брошенное тело в поле земного тяготения.

Двигаясь в ускоряющем поле, электрон приобретает дополнительную энергию за счет энергии поля, и его скорость увеличивается. В тормозящем поле электрон отдает свою энергию полю.

Электрон, движущийся в постоянном магнитном поле, можно рассматривать как элементарный электрический ток, что позволяет воспользоваться известным законом электротехники, определяющим величину и направление силы \vec{F}_M , действующей на движущийся заряд:

$$F_M = |\vec{F}_M| = evB \sin \alpha, \quad (115)$$

где F_M — сила, действующая на электрон с зарядом e ;
 v — начальная скорость электрона;
 B — магнитная индукция.

Направление силы \vec{F}_M определяется по правилу векторного произведения двух векторов \vec{v} и \vec{B} .

Векторным произведением называется вектор, численно равный произведению величин составляющих векторов на синус угла между ними и перпендикулярный плоскости, в которой лежат эти составляющие. Направление векторного произведения совпадает с поступательным движением правого винта при вращении первого вектора ко второму по кратчайшему расстоянию (рис. 103, а). В данном случае, поскольку в формулу (115) входит отрицательный заряд $-e$, направление будет противоположно векторному произведению \vec{v} и \vec{B} .

Если электрон влетает в магнитное поле вдоль магнитных силовых линий, то его скорость и направление

движения не изменяются, так как $\bar{F}_M = 0$. При движении электрона перпендикулярно \bar{B} $\sin \alpha = 1$ и сила, действующая на электрон, будет максимальной: $F_M = evB$.

Вследствие нормального взаимного расположения начальной скорости \bar{v} и \bar{F}_M электрон начнет изменять на-

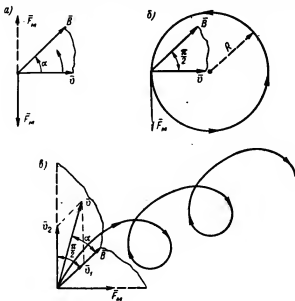


Рис. 103. Движение электронов в магнитном поле: а — определение направления действия силы \bar{F}_M ; б — траектория электрона при $\bar{v} \perp \bar{B}$; в — траектория электрона, когда угол между \bar{v} и \bar{B} меньше 90° .

правление движения, двигаясь по окружности, величина же скорости не изменится.

На рис. 103, б показана траектория электрона при таком движении. Радиус окружности R , по которой будет двигаться электрон, определяется из равенства силы F_M центробежной силе $F = \frac{mv^2}{R}$, т. е. $evB = \frac{mv^2}{R}$, откуда

$$R = \frac{m}{e} \frac{v}{B}.$$

Радиус траектории электрона зависит от его начальной скорости и величины магнитной индукции B . Чем меньше скорость электрона и чем выше индукция поля, тем меньше радиус траектории электрона. Угловая скорость вращения электрона, называемая *циклотронной частотой*, равна

$$\omega = \frac{2\pi}{T} = \frac{2\pi R}{\frac{2\pi R}{v}} = \frac{e}{m} B,$$

где $T = \frac{2\pi R}{v}$ — период движения электрона.

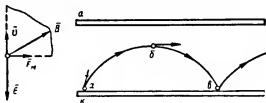


Рис. 104. Траектория движения электрона при одновременном действии взаимно перпендикулярных постоянных электрического и магнитного полей (магнитное поле направлено за плоскость чертежа).

Циклотронная частота зависит от магнитной индукции и не зависит от скорости электрона.

При движении электрона под углом к направлению поля, не равному 90° , электрон перемещается по винтовой линии под влиянием двух составляющих скоростей: \vec{v}_1 и \vec{v}_2 . Первая совпадает по направлению с \vec{B} , а вторая перпендикулярна ей (рис. 103, в).

При движении электрона в одновременно действующих электрическом поле \vec{E} и нормальном ему магнитном \vec{B} [как, например, в плоском диоде с магнитным полем (рис. 104)] электрон перемещается по циклоиде, т. е. по кривой, которую описывают точки круга, движущегося без скольжения по катоду.

Наибольшее искривление траектории магнитным полем получается по мере ускорения электрона, так как при этом увеличиваются его скорости и сила \vec{F}_M . В точке b эта сила достигнет максимума и затем начнет отклонять электрон к катоду, в результате в точке c электрон попадает на

катод с нулевой скоростью, поскольку энергия, полученная электроном на участке ab его траектории, отдается им электрическому полю при торможении на участке ba . Затем начнется второй цикл движения.

Расчеты движения электрона позволяют получить частоту движения и радиус круга циклоиды

$$\omega = \frac{e}{m} B, \quad r = \frac{m}{e} \frac{v}{B}. \quad (116)$$

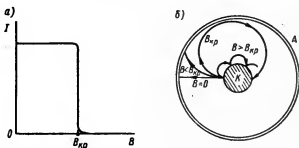


Рис. 105. Зависимость тока и траектории электронов в цилиндрическом диоде от магнитной индукции: a — зависимость тока диода от магнитной индукции; b — траектория электронов при различных величинах магнитной индукции.

Скорость перемещения центра круга зависит от соотношения сил электрического и магнитного полей

$$v_n = \frac{E}{B} \quad (117)$$

и является средней скоростью движения электронов вдоль катода. При перемещении большого числа электронов образуется объемный заряд, который движется параллельно катоду.

В цилиндрическом диоде с магнитным полем ($\vec{B} \perp \vec{E}$), как и в плоском диоде, электроны движутся вдоль катода по циклическим траекториям, близким к эпициклоидам, которые образуются точками круга, катящегося вдоль цилиндрического катода без скольжения. Радиус этого круга, циклотронная частота и скорость переноса определяются уравнениями (116) и (117).

Найдем зависимость анодного тока диода от величины магнитной индукции B при $E = \text{const}$. Из рис. 105, a

видно, что существует определенная (критическая) индукция $B_{кр}$, при которой анодный ток диода прекращается. При $B < B_{кр}$ анодный ток постоянен, так как электроны не успевают пройти полную циклическую траекторию и попадают на анод A , не закончив ее.

При $B = B_{кр}$ электроны описывают наиболее длинную траекторию, не касаясь анода, а при $B > B_{кр}$ анодный ток прекращается, потому что электроны в своем циклическом движении не будут достигать анода. Магнитное поле меняет только траектории движения электронов и скорость переноса v_n вдоль катода K . Траектории электрона при различных величинах индукции показаны на рис. 105, б.

Рассмотрим движение электронов в многокамерном магнетроне и взаимодействие объемного заряда с переменным электрическим полем резонаторов, которое в основном сконцентрировано в пазах и частично заходит в область взаимодействия (рис. 106). При противофазных колебаниях направления электрических сил поля в данный момент времени в соседних резонаторах будут противоположны друг другу ($n = \frac{N}{2}$, $\varphi = \pi$). Электрические

силы переменного поля направлены по касательным к указанным на рис. 106 силовым линиям. Поэтому их можно представить в виде двух составляющих: радиальной E_r , направленной по радиусу и совпадающей (или противоположной) с направлением постоянного поля анода, и тангенциальной E_t , направленной по касательной к окружности, параллельной аноду. Радиальная составляющая всегда максимальна в плоскости середины сегментов резонаторов P и равна нулю в плоскости середины пазов Q . В противофазных колебаниях она образует стоячую волну напряжения ввиду того, что максимумы в любой момент времени находятся в указанных плоскостях. Тангенциальная составляющая поля максимальна в плоскости Q (середины паза) и стремится к нулю в плоскости P . Очевидно, что при противофазных колебаниях тангенциальная составляющая также образует стоячую волну.

Определим влияние этих составляющих поля на электроны, перемещающиеся по окружности, параллельной катоду, со средней скоростью переноса, не уточняя для упрощения форму их реальных траекторий.

Электроны 1, 2 и 3 находятся под действием различных по величине тормозящих сил тангенциальной составля-

ющей и отдают свою энергию полю. Максимальная отдача наблюдается у электрона 2, который проходит середину паза при максимальном значении тормозящего поля, а электроны 1 и 3 отдают меньшую энергию. Если скорость переноса электронов будет такой, что они перейдут в положение 1', 2' и 3' в то время, когда поле во втором пазах также

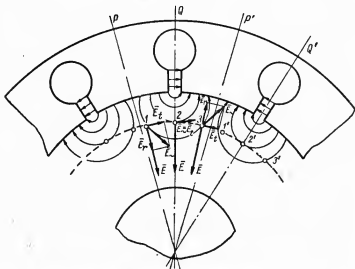


Рис. 106. Распределение электрических полей в пространстве взаимодействия при противофазных колебаниях.

окажется тормозящим, то электроны опять отдадут свою энергию полю и т. д. Очевидно, это произойдет тогда, когда время пролета электронов от плоскости Q до Q' будет равно половине периода высокочастотных колебаний (для противофазных колебаний).

В общем случае время переноса электронов между пазами должно равняться времени изменения фазы φ соседних колебаний:

$$t_n = t_0 = \frac{\varphi}{2\pi} T = \frac{n}{N} T,$$

где t_n — время пролета между пазами;

t_0 — время изменения фазы колебаний в соседних резонаторах;

T — период высокочастотных колебаний n -го порядка.

При $n = \frac{N}{2}$ ($\varphi = \pi$)

$$t_n = t_0 = \frac{1}{2} T.$$

Такое движение электронов, необходимое для непрерывной отдачи энергии, наблюдается при определенной скорости переноса v_0 . Эту скорость можно приближенно определить, зная время t_0 и расстояние между осями пазов l_0 по средней окружности с радиусом $r_0 = \frac{1}{2} (r_a + r_k)$

$$l_0 = \frac{\pi (r_a + r_k)}{N},$$

где r_a — радиус анода,
 r_k — радиус катода,

$$v_0 = \frac{l_0}{t_0} = \frac{\pi (r_a + r_k)}{nT}.$$

Для противофазных колебаний $n = \frac{N}{2}$ и

$$v_0 = \frac{2\pi (r_a + r_k)}{NT}.$$

Скорость v_0 должна быть равна средней скорости переноса v_n , т. е.

$$\frac{2\pi (r_a + r_k)}{NT} = \frac{E}{B}. \quad (118)$$

Уравнение (118) позволяет определить необходимое для нормальной работы магнетрона соотношение между напряженностью электрического поля и магнитной индукцией, при котором наблюдается синхронное движение электронного потока и поля.

Приближенно считая электрическое поле анода равномерным, получим

$$E_a \approx E (r_a - r_k) \text{ или } E_a \approx \frac{\pi (r_a^2 - r_k^2)}{nT} B.$$

Анодное напряжение E_a называется *пороговым* для данного вида колебаний. Для противофазных колебаний $n = \frac{N}{2}$ и

$$E_a \approx \frac{2\pi (r_a^2 - r_k^2)}{N} f B \quad (119)$$

Чем выше порядок колебаний (чем больше n), тем при меньшем анодном напряжении возникают колебания, причем анодные напряжения, вызывающие колебания, в меньшей степени отличаются одно от другого. Это следует учитывать, так как нестабильность анодного напряжения может привести к переходу от одного вида колебаний к другому, а также к скачкам частоты и мощности.

Рассмотрим действие радиальной составляющей поля на электроны 1, 2 и 3 (рис. 106). Эта составляющая меняет свое направление, проходя плоскость Q . Действуя на электроны, находящиеся в пространстве между плоскостями P и Q , она будет увеличивать скорость переноса тем сильнее, чем ближе положение электронов к плоскости P . За плоскостью Q радиальная составляющая уменьшает поле анода и скорость переноса. Результирующее изменение скорости переноса зависит от величины поля в моменты прохождения электронами области паза.

Электрон 3, опережая электрон 2, подходит к плоскости Q в тот момент, когда сила поля еще не достигла максимума, радиальная составляющая мала и ее ускоряющее действие на электрон невелико. Дальнейшее движение электрона 3 на участке между плоскостями Q и P происходит при максимальном значении напряженности и тормозящее действие радиальной составляющей будет больше. Следовательно, электроны, опережающие электрон 2, движутся под пазом с замедлением из-за действия радиальной составляющей, уменьшающей скорость переноса, и приближаются к электрону 2. Последний проходит середину паза при максимальном значении поля, когда действие радиальной составляющей меняется мало, а скорость переноса этого электрона вообще не меняется. Электрон 1, отстающий от электрона 2, подходит к плоскости Q при максимальном значении поля, а за плоскостью Q будет двигаться при уменьшающемся поле. Действие радиальной составляющей, увеличивающей скорость переноса в первой фазе движения, будет сильнее тормозящего действия во второй, и этот электрон получит ускорение, приближаясь к электрону 2. Таким образом, действие радиальной составляющей приводит к фазовой фокусировке электронов под пазом в виде своеобразной спицы, имеющей большую плотность объемного заряда и проходящей под пазом при максимальном значении высокочастотного поля. Число

таких сгустков электронов зависит от числа резонаторов и равно $\frac{N}{2}$.

Траектория электронов в объемном заряде представляет собой ряд циклических кривых, на протяжении которых электрон, удаляясь от катода, отдает свою энергию, полученную за счет ускоряющего поля анода, тангенциальному переменному полю. В конце концов электрон при движении по одной из последующих петель попадет на анод и отдаст ему оставшуюся энергию, которая превратится в тепло. Электроны, вылетевшие из катода при ускоряющей фазе тангенциальной составляющей, получают дополнительное ускорение под действием переменного поля, их траектория будет более крутой, и они попадут на катод в первом же цикле движения. Примерные траектории электронов и характер объемного заряда даны на рис. 107.

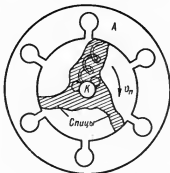


Рис. 107. Форма пространственного заряда в магнетроне при генерации.

Движение электронов к аноду и появление анодного тока в возбужденном магнетроне происходят при индукции, превышающей критическую. Срыв колебаний прекращает ток.

Параметры и характеристики магнетрона. К основным параметрам магнетронов относятся полезная мощность, к. п. д., частота колебаний и ее стабильность, длительность и частота следования импульсов и др. Большое влияние на работу магнетрона оказывают величины анодного напряжения и магнитной индукции (определяющие скорость переноса и к. п. д.), а также факторы, характеризующие качество работы магнетрона.

Работа магнетрона определяется рабочими и нагрузочными характеристиками. Под рабочими характеристиками подразумевают зависимость основных параметров магнетрона от величины индукции и постоянного анодного тока. Эти характеристики в виде семейств кривых зависимости $E_a = \varphi(I_a)$ при постоянных значениях индукции B ,

полезной нагрузки, общего к. п. д. η и частоты изображены на рис. 108. Кривые для постоянной индукции (рис. 108, а) имеют два резко выраженных участка: крутой начальный, который не снимают из-за быстрого нарастания колебаний, и пологий, указывающий на сильное влияние анодного напряжения на ток. Закономерное расположение характеристик при равных изменениях B свидетельствует о справедливости уравнения (118), указывающего на постоянство скорости переноса при данной частоте возбуждения.

По приведенным характеристикам можно определить эквивалентные статическое $R_{м.с}$ и динамическое $R_{м.д}$ сопротивления магнетрона, подобные сопротивлению диода постоянному и переменному току,

$$R_{м.с} = \frac{E_a}{I_a}; \quad R_{м.д} = \frac{\Delta E_a}{\Delta I_a} \quad \text{при } B = \text{const.}$$

Снижение статического сопротивления позволяет уменьшить анодное напряжение при сохранении величины заданной мощности. Действительно, полезная мощность магнетрона в нагрузке

$$P_{\sim} = \eta P_0,$$

где η — общий к. п. д. магнетрона;

$P_0 = E_a I_a$ — подводимая мощность.

Так как $R_{м.с} = \frac{E_a}{I_a}$, то

$$P_{\sim} = \eta \frac{E_a^2}{R_{м.с}}. \quad (120)$$

Динамическое сопротивление магнетрона характеризуется изменением тока при небольших изменениях анодного напряжения. Это сопротивление значительно меньше статического (порядка нескольких десятков ом).

По кривым постоянной мощности (рис. 108, б) можно судить об увеличении мощности с ростом E_a или тока I_a , а по кривым постоянного к. п. д. (рис. 108, в) — об увеличении к. п. д. с ростом анодного напряжения при $I_a = \text{const}$ вследствие увеличения полезной мощности.

При постоянном E_a и изменении тока эта зависимость к. п. д. усложняется: при малых токах к. п. д. сначала увеличивается, достигает максимума и затем уменьшается.

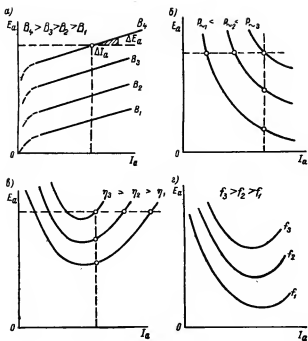
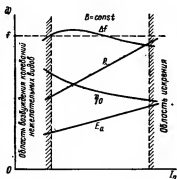


Рис. 108. Рабочие характеристики магнетронного генератора: а — $E_a = \varphi(I_a)$ при $B = \text{const}$; б — $E_a = \varphi(I_a)$ при $P = \text{const}$; в — $E_a = \varphi(I_a)$ при $\eta = \text{const}$; г — $E_a = \varphi(I_a)$ при $f = \text{const}$; д — при пакетированной конструкции с постоянным магнитным полем.



Такая зависимость объясняется сложным влиянием на полезную мощность н.к.п. д. фазовой фокусировки и других процессов взаимодействия электронов с высокочастотным полем. При малых токах (а следовательно, и малом переменном поле) к. п. д. уменьшается за счет слабой фазовой фокусировки и небольшой плотности объемного заряда у пазов. Увеличение к. п. д. с увеличением тока, вызванное более эффективной фазовой фокусировкой, замедляется и совсем прекращается при больших токах, когда фокусировка нейтрализуется и нарушается увеличением сил взаимного отталкивания электронов в объемном заряде. С увеличением тока будут также расти потери в резонаторах, что еще более снижает к. п. д.

Кривые постоянной частоты показывают, как изменяется генерируемая частота с увеличением тока при постоянной индукции. Увеличение частоты с ростом тока вызвано тем, что из-за необходимости повышения анодного напряжения увеличивается отношение $\frac{E_a}{B}$, а следовательно, и скорость переноса v_n [см. (117)]. При больших токах I_a генерируемая частота несколько снижается. Изменения частоты имеют большое значение для импульсных магнетронов, так как позволяют судить о влиянии на нее формы анодного напряжения и выбрать рабочий режим с большей стабильностью частоты. Рассмотренные изменения частоты относительно малы (до 0,3—0,4%).

Рабочие характеристики сильно упрощаются в некоторых типах магнетронов, магнитная система которых конструктивно входит в магнетрон, и величина напряженности магнитного поля устанавливается постоянной (пакетированные конструкции). В этом случае характеристики можно представить в виде зависимостей E_a , P_{\sim} , η и Δf от тока I_a при $B = \text{const}$ (рис. 108, д).

При малых анодных токах полезная мощность снижается и работа магнетрона делается неустойчивой: появляется возбуждение нежелательных колебаний.

При больших токах мощность возрастает, но при этом снижается к. п. д. вследствие увеличения мощности рассеяния в анодном блоке, перегружается катод магнетрона и появляется искрение, что недопустимо.

В магнетронном генераторе различают три значения к. п. д.: общий η , электронный η_e и колебательной системы η_k .

Общий к. п. д.

$$\eta = \frac{P_{\sim}}{P_0} = \eta_z \eta_k. \quad (121)$$

Электронный к. п. д. характеризует преобразование энергии постоянного поля в энергию высокочастотного поля. Он определяется отношением высокочастотной мощности P_{\sim} , развиваемой в резонаторах, к мощности, потребляемой от источника анодного питания $P_0 = E_a I_a$:

$$\eta_z = \frac{P_{\sim}}{P_0}.$$

Электронный к. п. д. зависит от соотношения критической и рабочей индукции и будет тем больше, чем выше рабочая индукция по отношению к критической

$$\eta_z \approx 1 - \left(\frac{B_{кр}}{B} \right)^2, \quad (122)$$

т. е. чем меньше радиусы энциклоид электронов.

К. п. д. колебательной системы определяется отношением мощности, затраченной в полезной нагрузке, к полной мощности в резонаторах:

$$\eta_k = \frac{P_{\sim}}{P'}$$

и зависит от потерь в резонаторах, связи и согласованности колебательной системы с нагрузкой.

Рабочие характеристики снимаются при постоянной нагрузке.

Нагрузочные характеристики определяют зависимость мощности и частоты от величины полезной нагрузки. В передатчике резонатор магнетрона связывается с фидерной (волноводной) линией, передающей энергию антенне.

На рис. 109, а изображены эквивалентная упрощенная схема связи с нагрузкой, в которой резонатор заменен контуром с эквивалентными параметрами.

Если эквивалентные индуктивность и емкость определяются эквивалентными параметрами одиночного резонатора, то полное эквивалентное сопротивление контура R_z (рис. 109, б) учитывает активные потери в собственно резонаторе и влияние на резонатор движущегося электронного потока в пазу. Электронный поток наводит в резонаторе

высокочастотный ток и создает в пазу высокочастотное напряжение, в результате чего возникают дополнительные потери, учитываемые электронным сопротивлением

$$R_{эл} = \frac{U_{тр}}{I_{тр}},$$

где $U_{тр}$, $I_{тр}$ — амплитуды высокочастотного напряжения и тока в резонаторе.

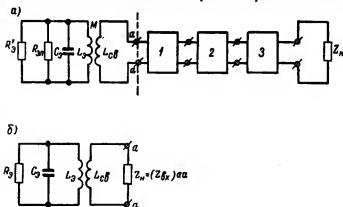


Рис. 109. Эквивалентные схемы колебательной цепи магнетрона и нагрузки: а — полная; б — с заменой нагрузки входным сопротивлением.

Полное эквивалентное сопротивление контура

$$R_э = \frac{R_{эл}R'_э}{R_{эл} + R'_э},$$

где $R'_э = \frac{\rho^2}{r}$ — эквивалентное сопротивление, обусловленное собственными потерями в резонаторе.

Электронное сопротивление резонатора не зависит от частоты, нагрузки и в общем случае может иметь комплексный характер.

С контуром индуктивно связано (петлей связи $L_{св}$) выходное устройство 1, выполняющее функции трансформатора сопротивлений. Выходное устройство и главная линия передачи энергии 2 связаны между собой. Главная линия и антенна согласуются с помощью устройства 3. Схему рис. 109, а можно упростить, полагая, что в правой

части (за точками a, a) выполнено полное согласование и стоячие волны отсутствуют. Здесь правую часть можно заменить некоторой эквивалентной нагрузкой Z_n , равной входному сопротивлению в точках a, a (рис. 109, б).

Расчеты показывают, что входное сопротивление в точках a, a зависит от активной и реактивной составляющих нагрузки Z_n , т. е. от характера волновых процессов в тракте передачи и коэффициента отражения p , определяемого соотношением отраженных и падающих волн в линии. При $p = 0$ в линии наблюдается чисто бегущая волна и $Z_L = p_0$, при $p = 1$ в линии существуют только стоячие волны.

Коэффициент отражения выражают через коэффициент стоячей волны (КСВ), равный отношению максимального и минимального напряжений в линии:

$$\text{КСВ} = \frac{U_{\max}}{U_{\min}};$$

$$p = \frac{\text{КСВ} - 1}{\text{КСВ} + 1};$$

p является комплексной величиной, и его фаза зависит от характера нагрузки:

$$\bar{p} = p_1 + jp_2 = p e^{-j\varphi},$$

где φ — фаза коэффициента отражения.

Фазу коэффициента отражения можно определить как расстояние первого минимума стоячей волны от нагрузки:

$$\varphi = \frac{2\pi x_1}{\lambda}.$$

На практике φ измеряют от фланца магнетрона, к которому подключается передающая линия.

Возможность быстрого и простого измерения КСВ позволяет снимать и изображать нагрузочные характеристики в полярной системе координат с радиусом-вектором, равным p , и полярным углом φ . На рис. 110 даны типовые нагрузочные характеристики магнетрона в виде линий

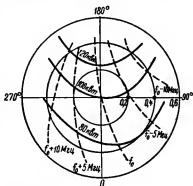


Рис. 110. Нагрузочные характеристики магнетрона.

постоянной частоты и мощности. Линии постоянной частоты показывают не значение частоты, а ее отклонение, вызванное изменением нагрузки (так называемое *затягивание* частоты). Затягивание частоты магнетрона численно характеризуется коэффициентом затягивания и равно отклонению частоты при $p = 0,2$ и изменении полярного угла φ от нуля до 360° . На рис. 110 коэффициент затягивания равен $\pm 5 \text{ Мгц}$.

Окружности на нагрузочных характеристиках представляют собой геометрическое место рабочих точек при постоянном коэффициенте отражения и изменении его фазы. Таким образом, изменение только фазы отражения уже приводит (при $|p| = \text{const}$) к изменению как полезной мощности, так и генерируемой частоты. При этом и P_{\sim} и f окажутся периодическими функциями фазы. Центр диаграмм определяется рабочей точкой, соответствующей полному согласованию ($p = 0$), когда частота и мощность имеют номинальное значение и отклонение частоты равно нулю ($\Delta f = 0$).

По нагрузочным характеристикам можно судить о влиянии согласования магнетрона с нагрузкой на частоту генерируемых колебаний и полезную мощность. С увеличением полезной мощности даже незначительные изменения фазы коэффициента отражения приводят к большей нестабильности частоты, так как линии постоянной частоты сгущаются в области больших мощностей. По нагрузочным характеристикам можно также выбрать нужное согласование, обеспечивающее заданную полезную мощность и генерируемую частоту.

Стабильность частоты магнетронного генератора. Стабильность частоты магнетронного генератора, работающего в импульсном режиме, характеризуется медленными изменениями частоты в интервале между импульсами и быстрыми — во время генерации импульса. Эти изменения вызываются: 1) нестабильностью режима работы (тока, анодного напряжения или индукции); 2) изменением нагрузки (затягиванием); 3) температурными влияниями на анодный блок; 4) несогласованностью нагрузки.

Медленные изменения частоты не искажают частотного спектра колебаний. Быстрые изменения частоты в процессе генерации импульсов приводят к скачкообразным изменениям характера спектра излучения вследствие перехода с одного вида колебаний на другой, несогласованности

нагрузки, изменения тока магнетрона I_a и т. д. При скачкообразном изменении частоты частотный спектр расширяется и искажается.

К мерам повышения стабильности (кроме автоподстройки медленных уходов частоты) относятся улучшение согласования в линии (уменьшение p), облегчение температурного режима анодного блока, а также использование резонаторов с высокой добротностью.

Настройка магнетрона. Для повышения помехозащищенности работы станций и уменьшения взаимных помех желательно применять диапазонные генераторы СВЧ. Основным недостатком магнетрона как генератора СВЧ является тесная связь его конструктивных и электрических параметров. Всякое изменение геометрических размеров приводит к изменению электрических параметров, поэтому разработка настраиваемых магнетронов затруднена.

В настоящее время используются два способа настройки магнетронов: механический и электронный. При механической настройке генерируемая частота изменяется введением в полость резонаторов металлических дисков или поршней. При симметричной механической настройке настраиваются все резонаторы блока, и диапазон настройки достигает 10—50% от несущей частоты (в зависимости от длины волны). При несимметричной настройке настраивается один резонатор или используется дополнительный, связанный с одним из резонаторов анодного блока.

Электронная настройка достигается изменением плотности электронного луча в магнетроне электрическими методами.

В настоящее время появились значительно усовершенствованные конструкции диапазонных магнетронов. Перестройка их осуществляется уменьшением добротности резонаторов и ограничением режима катода; мощность таких магнетронов оказывается небольшой.

Магнитная система магнетрона. Для нормальной работы магнетрона необходимо наличие сильного магнитного поля с индукцией до 0,8 тесла (или 8000 гс). Для создания такой индукции применяют постоянные магниты из специальных сплавов или используют пакетированную конструкцию, полюсные наконечники которой входят в магнетрон, уменьшая воздушный зазор, а следовательно, вес и габариты магнитной системы. Пакетированные конструкции

в основном применяются в трехсантиметровом диапазоне воли.

Высокочастотный блок магнетронного передатчика РЛС. В радиолокационных станциях антенна связана с магнетроном фидером или волноводом. Вращение антенны требует специальных вращающихся сочленений. При работе с одной антенной необходимо предусмотреть защиту приемника при прохождении мощного зондирующего импульса передатчика. Это обуславливает исполь-

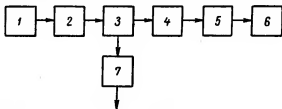


Рис. 111. Блок-схема высокочастотного блока магнетронного передатчика РЛС с антенно-фидерной системой.

1 — модулятор; 2 — магнетрон; 3 — антенный переключатель; 4 — линия передачи; 5 — вращающиеся сочленения; 6 — антенна; 7 — высокочастотный блок приемника.

зование антенного переключателя. Блок-схема передающей части РЛС представлена на рис. 111.

В диапазоне сантиметровых воли в качестве канализирующих устройств применяются волноводы, а в 10-сантиметровом диапазоне при импульсных мощностях P_n до 100—200 *квт* — коаксиальные линии.

В высокочастотный блок радиолокационных передатчиков малой и средней мощности входят модулятор 1, магнетрон с выходным устройством 2 и высокочастотная часть приемника 7, состоящая из смесителя, гетеродина, предварительного усилителя промежуточной частоты и системы автоподстройки частоты гетеродина. Близкое расположение высокочастотной части приемника к волноводу позволяет уменьшить потери энергии при приеме слабого отраженного импульса. В передатчиках большой мощности (при $P_n > 100\text{—}200$ *квт*) модулятор выносят в отдельный блок.

Во время перехода электромагнитной энергии от магнетрона к антенне приходится преобразовывать характер

электромагнитного поля в волноводе. Магнетрон возбуждает в прямоугольном волноводе волну, несимметричную относительно продольной оси волновода. Эта волна превращается в симметричную с помощью стержня, расположенного в конце волновода, так как вращающее сочленение 5, используемое для связи волновода с антенной, нормально работает только с симметричной волной. После сочленения происходит обратное преобразование.

§ 50. Генераторы на лампах бегущей волны (ЛБВ) и обратной волны (ЛОВ)

В последние годы появился новый тип электровакуумных приборов, получивший широкое распространение в современной технике усиления и генерирования колебаний сверхвысоких частот. Эти принципиально новые приборы были названы *лампами бегущей волны* (ЛБВ). В ЛБВ осуществлено относительно длительное взаимодействие сфокусированного электронного потока с высокочастотным электромагнитным полем. Это взаимодействие происходит в течение десятков и сотен периодов поля, причем в процессе взаимодействия пучок электронов модулируется от скорости (как и в клистронах) и отдает свою энергию, полученную за счет ускоряющего электрического поля источников питания, электромагнитной волне в результате чего происходит усиление энергии последней.

Особенностями усилителей на ЛБВ являются их большая широкополосность (рабочая полоса частот составляет 20—30% от средней частоты), низкий уровень шумов и большое усиление по мощности. При использовании ЛБВ в качестве генераторов не требуется резонансных колебательных систем, как в клистронах и магнетронах. Это позволяет строить генераторы широкого диапазона частот с электронной настройкой.

На рис. 112 представлено принципиальное устройство лампы бегущей волны. Лампа содержит три основных элемента: электронную пушку, состоящую из катода, фокусирующего электрода и системы анодов; замедляющий элемент в виде спирали, охватывающей электронный сфокусированный пучок электронов; коллектор, улавливающий электроны в конце их пути. Все эти элементы заключены в стеклянный баллон, внутри которого создан высокий вакуум. Снаружи вытянутая часть баллона

помещена в металлический экран с двумя волноводными или коаксиальными переходами. Поверх экрана располагается магнитная фокусирующая система (система постоянных магнитов или соленоид), образующая продольное магнитное поле, дополнительно фокусирующее электронный пучок по оси лампы.

Электронная пушка создает узкий пучок электронов с помощью специального фокусирующего электрода и од-

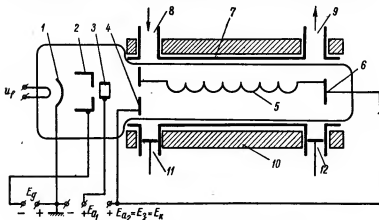


Рис. 112. Устройство лампы бегущей волны.

1 — катод; 2 — фокусирующий электрод; 3, 4 — система анодов; 5 — замедляющая спираль; 6 — коллектор; 7 — экран; 8 — волноводный вход; 9 — волноводный выход; 10 — соленоид; 11, 12 — согласующие элементы.

ного-двух анодов в виде диафрагм или цилиндров с отверстиями для пропуска луча. На фокусирующий электрод подается (относительно катода) небольшое отрицательное напряжение в несколько вольт, на первый анод — положительное напряжение в несколько десятков вольт, а на второй — порядка нескольких сотен или тысяч вольт.

Замедляющий элемент (спираль) электрически соединен со вторым анодом и коллектором и имеет постоянный потенциал последних. Энергия входного сигнала подводится через входной волновод 8 к входному концу спирали (ближайшему к катоду), а усиленная энергия снимается с волноводного выхода 9 у коллектора. Вместо волноводных входа и выхода могут быть использованы коаксиальные. При этом вход и выход замедляющей системы должны

быть согласованы с соответствующими волноводами или коаксиальными линиями (например, с помощью поршней 11 и 12).

Принцип действия ЛБВ. Замедляющий элемент — спираль — образует с металлическим экраном коаксиальную линию, причем спираль является внутренним проводником, а экран внешним. При подаче высокочастотной энергии на входной конец спирали в линии спираль—экран возникают электромагнитные колебания, которые в виде бегущей волны будут распространяться вдоль линии и в ее конце поступят в выходной согласованный с ней волновод. Одновременно с высокочастотным сигналом внутри спирали по ее оси пропускается сфокусированный электронный пучок.

Принцип действия ЛБВ заключается в таком взаимодействии электронного пучка с бегущей электромагнитной волной, при котором электронный пучок непрерывно отдает часть своей энергии волне, в результате чего энергия волны увеличивается и ее мощность, поступающая в выходной волновод, окажется больше мощности, поступившей на вход линии. Для осуществления такого взаимодействия необходимо уравнивать скорости движения электронов пучка и электромагнитной волны.

Скорость электронного пучка после выходе из электронной пушки поддерживается постоянными потенциалами спирали и коллектора и зависит от потенциалов первого и второго анодов. Для обычных анодных напряжений до $1,5\text{--}2\text{ кВ}$ эту скорость можно вычислить по формуле (108).

Если $E_a = 2\text{ кВ}$, то скорость электронов $v_e = 2,7 \times 10^7\text{ м/сек}$, т. е. не превышает 0,1 скорости электромагнитной волны. При таком соотношении скоростей, когда скорость электромагнитной волны значительно больше скорости пучка электронов, взаимодействие пучка и волны оказывается весьма неэффективным. Для получения эффективного взаимодействия необходимо снизить скорость электромагнитной волны, что и достигается применением замедляющего элемента.

Когда электромагнитная волна проходит по спиральному проводу, то ее фазовая скорость вдоль витков провода почти равна скорости света c_0 , поступательная же скорость распространения вдоль оси спирали уменьшается тем сильнее, чем выше отношение диаметра витка к шагу спирали. Величина, характеризующая замедление

поступательной скорости волны, называется *коэффициентом замедления*

$$k_s = \frac{c_0}{v_\phi} \approx \frac{\pi D_s}{h}, \quad (123)$$

где v_ϕ — фазовая скорость волны вдоль оси;

D_s — диаметр витка спирали;

h — шаг спирали.

Кроме указанного замедления фазовой скорости вдоль оси в спиральной коаксиальной линии внутри спирали появляется продольная (аксиальная) составляющая напряженности поля, направленная вдоль оси (в обычных линиях существует только поперечное поле).

При прохождении электронов вдоль оси спирали, когда по ней распространяется электромагнитная волна, происходит группирование электронов в сгустки. В начале спирали электроны пучка равномерно распределены вдоль оси; затем скорость электронов, попавших под действие отрицательной (тормозящей) полуволны продольного поля, снижается, а скорость электронов, попавших в положительную (ускоряющую) полуволну продольного поля, увеличивается; вследствие этого плотность электронного пучка делается неравномерной и появятся сгустки электронов. Когда скорости электронного пучка и волны равны ($v_s = v_\phi$), то электроны по всей длине спирали будут взаимодействовать с теми полуволнами продольного поля волны, в которые они попали при входе в поле. В результате торможения электроны, находящиеся в тормозящей полуволне поля, сближаются с электронами, ускоряющимися в предыдущей ускоряющей полуволне, образуя сгустки электронов в местах нулевого продольного поля, когда продольная составляющая напряженности меняет знак и из ускоряющей делается тормозящей.

На рис. 113 показан процесс группирования электронов пучка в сгустки.

В процессе взаимодействия электроны, попавшие в ускоряющее поле, увеличивают скорость за счет энергии волны, а электроны, находящиеся в тормозящем поле, теряют ее и отдают часть своей кинетической энергии полю. Так как число электронов, находящихся в ускоряющей и тормозящей полуволнах, примерно одинаково, а сгустки электронов группируются вблизи нулевого значения продольной составляющей, то усиления энергии волны (за

счет энергии электронов) не происходит и она постепенно затухает из-за потерь в линии.

Если скорость электронов, влетающих в линию, меньше осевой фазовой скорости волны ($v_e < v_\phi$), сгустки электронов, полученные при группировании в начале линии, также будут двигаться медленнее волны, отстанут от нее и попадут в зону ускоряющего поля. В результате энергия волны будет уменьшаться, увеличивая кинетическую энергию электронов. Волна в линии будет затухать.

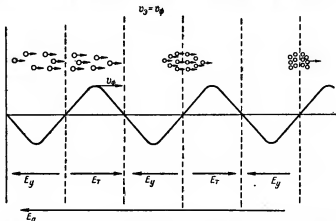


Рис. 113. Процесс группирования электронов в сгустки в лампах бегущей волны.

Если скорость электронов пучка (в следовательно, и их сгустков) будет несколько больше скорости волны ($v_e > v_\phi$), то сгустки электронов переместятся в область тормозящего поля, так как число электронов, влетающих в тормозящую зону, будет больше числа электронов, вылетающих из нее. В результате энергия волны будет увеличиваться вдоль линии за счет кинетической энергии электронов и высокочастотная мощность на выходе станет больше входной.

Таким образом, усиление мощности в ЛБВ наблюдается только тогда, когда $v_e > v_\phi$. Эффективность взаимодействия электронных сгустков и продольного поля волны будет тем больше, чем лучше сгруппированы электроны и чем больше величина напряженности поля в зоне торможения.

Величина продольной составляющей поля быстро убывает при увеличении расстояния от внутренней поверхности спирали, поэтому на усиление ЛБВ большое влияние оказывает соотношение размеров диаметров спирали и пучка электронов.

Для увеличения эффективности взаимодействия желательно, чтобы электронный пучок проходил по возможности ближе к поверхности спирали. Однако это потребует снижения диаметра спирали, приведет к недопустимому уменьшению коэффициента замедления и вызовет необходимость весьма жесткой фокусировки луча для уменьшения числа электронов, оседающих на спираль, и ее тока. Жесткая фокусировка значительно усложняет фокусирующие системы и конструкцию трубки, что иррационально.

Эффективность взаимодействия в значительной степени зависит и от частоты электромагнитной волны. На низких

частотах длина электромагнитной волны $\lambda_0 = \frac{c_0}{f}$ будет приходится на большее число витков спирали, в результате чего градиент продольной составляющей поля будет небольшим и эффективность взаимодействия снизится. При увеличении частоты длина волны будет располагаться на меньшем числе витков, градиент продольного поля увеличится, и эффективность взаимодействия возрастет. Дальнейшее увеличение частоты приводит к снижению градиента, поскольку длина витка становится соизмеримой с длиной волны, структура поля искажается, силовые линии будут замыкаться вокруг витка и продольная составляющая поля уменьшится. Это свидетельствует о существовании некоторой оптимальной частоты $f_{\text{опт}}$, на которой напряженность продольного поля E_z и эффективность взаимодействия максимальны. Этот максимум не является критичным, и эффективность взаимодействия будет высокой в широком диапазоне частот $\Delta f \approx (0,2-0,3) f_{\text{опт}}$.

Исследования ЛБВ показали, что коэффициент замедления спиральной линии зависит от частоты, поэтому фазовая скорость волны в линии будет различной на различных частотах. Эта зависимость фазовой скорости от частоты электромагнитных колебаний называется *дисперсией*. Дисперсия считается положительной, если с ростом частоты колебаний (уменьшением λ_0) фазовая скорость вдоль оси спирали уменьшается, и отрицательной, если фазовая скорость с ростом частоты увеличивается.

Так как ЛБВ работает в широком диапазоне частот, то волна, возбуждаемая в спиральной линии, будет складываться из целого ряда составляющих, имеющих различные фазовые скорости. При данных геометрических размерах спирали, когда длина электромагнитной волны λ_0 соизмерима с длиной витка, волна последовательно проходит по проводу, спирали, и в линии наблюдается значительное снижение фазовой скорости вдоль оси замедляющей системы. При этом длина волны вдоль оси уменьшается в k_3 раз:

$$\lambda_\phi = \frac{v_\phi}{f} = \frac{\lambda_0}{k_3}. \quad (124)$$

При снижении частоты колебаний, когда длина волны λ_0 становится значительно больше длины витка ($\lambda_0 \gg D_n$), спиральная линия теряет свои замедляющие свойства и фазовая скорость v_ϕ оказывается равной скорости c_0 . В случае промежуточных соотношений между длиной волны λ_0 и диаметром витка фазовая скорость будет лежать между минимальным значением v_ϕ и максимальным c_0 .

При отсутствии электронного пучка в спиральной линии (как и в любой другой) возможно существование двух волн: падающей и отраженной (вследствие недостаточного полного согласования линии с выходным волноводом). Наличие электронного пучка приводит к появлению в линии новых электромагнитных волн, имеющих различные фазовые скорости и прямое и обратное направления движения. Появление составляющих обратного направления, двигающихся навстречу пучку, связано с процессом взаимодействия пучка и волны и не зависит от качества согласования линии на выходе и входе. Появление этих составляющих приводит к внутренней обратной связи в лампе и к возможности самовозбуждения усилителя. Для уменьшения этой связи при работе лампы в качестве усилителя обратную волну ослабляют, вводя поглощающие элементы в виде вставки из специальной керамики или слоя аквадага на баллоне лампы. Исследования показывают, что наличие поглощающей вставки в значительно большей степени ослабляет обратную волну, чем основную прямую.

Типы замедляющих систем. Характер волновых процессов в ЛБВ зависит от типа и структуры замедляющей системы. Спиральная замедляющая система теряет свои качества с увеличением частоты колебаний из-за необходимости уменьшения геометрических размеров спирали,

что приводит к увеличению затухания в линии. При этом требуется увеличить ток пучка, в результате чего возрастает мощность рассеяния на элементах лампы и ухудшается ее тепловой режим. Для работы в диапазоне миллиметровых и начала сантиметровых волн, а также при больших мощностях вместо спиралей применяют другие замедляющие системы волноводного типа. На рис. 114 показаны

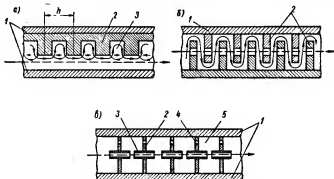


Рис. 114. Типы замедляющих систем ЛБВ:

а — гребенчатая: 1 — волновод; 2 — металлический блок; 3 — поперечные пазы; б — встречные штыри: 1 — волновод; 2 — штыри с прорезями; в — цепочка связанных объемных резонаторов: 1 — волновод; 2 — диафрагма; 3 — трубка для пропуска электронного пучка; 4 — отверстие связи; 5 — объем, образующий резонатор.

основные типы этих систем. В них электромагнитная волна движется вдоль изгибов проводящих стенок со скоростью света c_0 , электронный же пучок проходит вдоль оси системы (пунктиром показано движение пучка, а сплошной линией — движение волны). Например, в гребенчатой системе электронный пучок движется в зазоре между стенкой волновода и гребенкой. Взаимодействие пучка и волны происходит только в моменты прохождения пучка мимо поперечных пазов (рис. 114, а). В замедляющей системе типа встречных штырей электронный луч движется в прорези штырей (рис. 114, б). В системе, состоящей из цепочки объемных резонаторов, связанных через отверстия в диафрагмах, электронный пучок пропускается через трубки в диафрагмах. Такая система применяется в наиболее мощных лампах.

В отличие от спиральных систем волноводные замедляющие системы являются периодическими: электронный

пучок взаимодействует с волной не непрерывно, а периодически, пролетая участки с продольным электромагнитным полем волны. Замедление волны в периодических системах, очевидно, зависит от количества пазов и их глубины. Расстояние между соседними пазами h (рис. 114, а) называется *периодом* замедляющей системы. В большинстве случаев период системы равен половине длины волны в продольном направлении:

$$h \approx \frac{\lambda_{\phi}}{2},$$

поле в двух соседних пазах направлено навстречу друг другу, и максимум продольной составляющей поля будет наблюдаться в центре паза.

Структура электромагнитного поля оказывается симметричной, когда $h \leq \frac{\lambda_{\phi}}{2}$. При увеличении периода системы поле искажается, поэтому различают два типа систем: однородные ($h \leq \frac{\lambda_{\phi}}{2}$) и неоднородные ($h \approx \lambda_{\phi}$).

В однородных периодических системах (как и в непрерывных спиральных) дисперсионные свойства выражены слабо, и волна имеет одну величину фазовой скорости. В неоднородных системах вследствие искажения структуры волны дисперсионные свойства выражены более резко, и распространение волны происходит в определенных участках общего частотного спектра с разными фазовыми скоростями.

В результате фильтрующего действия периодической замедляющей системы электромагнитное поле будет представлять собой результат интерференции (сложения) бесконечного ряда бегущих волн, характеризующихся следующей постоянной распространения:

$$\beta_n = \beta + \frac{2\pi n}{h}, \quad (125)$$

где $n = 0, \pm 1, \pm 2, \dots$ — целое число, определяющее порядок гармоник;

$\beta = \frac{\omega}{v_{\phi}} = \frac{2\pi}{\lambda_{\phi}}$ — постоянная распространения непрерывной спиральной линии с коэффициентом замедления, равным коэффициенту замедления рассматриваемой периодической замедляющей системы.

Эти составляющие электромагнитного поля называются *пространственными гармониками*. Они имеют разные фазовые скорости при одной частоте поля. Поскольку коэффициент n может быть как положительным, так и отрицательным, гармоники могут быть прямыми и обратными. Первые движутся в направлении электронного пучка, вторые — навстречу ему.

Фазовая скорость гармоник

$$v_{\phi} = \frac{\omega}{\beta_n} = \frac{\omega}{\beta + \frac{2\pi n}{h}} = \frac{\omega h}{\frac{\omega h}{v_{\phi}} + 2\pi n}. \quad (126)$$

Если $n = 0$, то $v_{\phi_n} = v_{\phi}$, т. е. фазовая скорость основной пространственной гармоники равна фазовой скорости волны в непрерывной замедляющей системе с таким же коэффициентом замедления, как в рассматриваемой периодической системе. При увеличении порядка гармоник фазовые скорости будут уменьшаться и их замедление увеличивается.

Пространственные гармоники всегда появляются и существуют неразрывно друг от друга и, интерферируя, создают реальное электромагнитное поле в системе. Амплитуды гармоник быстро убывают с ростом их номера и по мере удаления от проводящих стенок волновода, поэтому наибольшую амплитуду имеют основная гармоника и первые — прямая и обратная.

Следует отметить, что изменение амплитуды одной из гармоник, вызванное изменением периода h , всегда приводит к такому изменению амплитуд остальных гармоник, при котором соотношение между ними оказывается прежним.

Усиление одной из гармоник приводит к соответствующему увеличению амплитуды остальных.

При работе ЛБВ в качестве усилителя можно использовать только прямые гармоники, причем фазовая скорость их должна быть несколько меньше скорости пучка электронов. Эффективное взаимодействие пучка с той или иной гармоникой (а следовательно, и высокое усиление) можно получить подбором нужного соотношения скоростей v_e и v_{ϕ_n} , т. е. подбором ускоряющего напряжения на анодах.

Так как основная гармоника имеет большую фазовую скорость, то для взаимодействия с ней требуются

большую скорость пучка и анодное напряжение. Для взаимодействия с гармониками высшего порядка скорость пучка должна быть меньше, но это ослабление гармоник с ростом номера приводит к малой эффективности взаимодействия их с пучком. Поэтому на практике в усилителях на ЛБВ используют основную или первую прямую гармоники, тем более, что при использовании основной гармоники фазовая скорость меньше зависит от частоты, дисперсионные свойства ЛБВ выражены слабо, и это позволяет расширить рабочую полосу пропускания.

Современные усилители на ЛБВ применяются в качестве входных малоомощных в приемниках дециметровых, сантиметровых и миллиметровых волн и в качестве мощных выходных в передатчиках, работающих как в непрерывном, так и в импульсном режимах с выходной мощностью в импульсе порядка десятков и сотен киловатт и даже мегаватт.

К. п. д. усилителей на ЛБВ сравнительно невысок и для большинства конструкций современных ламп не превышает 5—10% (реже до 20%).

Генераторы на ЛБВ. При использовании ЛБВ в качестве генератора высокочастотных колебаний необходимо осуществить обратную связь выхода ЛБВ со входом и выполнить условия самовозбуждения: баланс фаз и баланс амплитуд. Для выполнения баланса фаз необходимо, чтобы колебания, поступившие на вход ЛБВ, были в фазе с колебаниями, действующими на входе. Это значит, что в замкнутом контуре, состоящем из замедляющей системы и цепи обратной связи, должно укладываться целое число волн. Для выполнения баланса амплитуд необходимо, чтобы в стационарном режиме осуществлялась полная компенсация активных потерь в замедляющей системе, цепи обратной связи и полезной нагрузке.

На ЛБВ можно построить два типа генераторов СВЧ. В первом используется связь электронного пучка с основной пространственной гармоникой прямой волны. Эти генераторы подразделяются по виду обратной связи (которая может быть внутренней и внешней) и вследствие целого ряда недостатков получили весьма ограниченное применение.

Второй, основной тип — генератор с использованием связи электронного пучка с обратными пространственными гармониками. Такие лампы конструктивно отличаются от

ЛБВ и называются *лампами обратной волны* (ЛОВ). Они являются разновидностью ЛБВ и принципиально могут работать как в качестве усилителей, так и генераторов, однако используются обычно только в качестве последних.

Рассмотрим физические процессы в указанных генераторах и области применения этих генераторов. Хотя генераторы с внутренней обратной связью на практике не применяются из-за целого ряда недостатков, однако рассмотрение физических процессов самовозбуждения в них необходимо для изучения генераторов с внешней обратной связью и генераторов на ЛОВ, работающих на том же принципе генерирования с электронной настройкой в широком диапазоне частот при отсутствии настроенных резонансных систем.

Широкополосность генераторов на ЛБВ и особенно на ЛОВ весьма выгодно отличает их от магнетронов и клистронов.

В генераторах на ЛБВ с внутренней обратной связью в качестве цепи обратной связи используется основная замедляющая спиральная система. Обратная связь осуществляется за счет энергии отраженной волны, полученной вследствие неполного согласования замедляющей системы с выходным волноводом лампы. В самовозбуждении таких генераторов обратная волна участия не принимает, так как поглощается в специальных поглощающих вставках.

Чем больше коэффициент усиления лампы, тем более вероятно самовозбуждение из-за увеличения энергии отраженной волны, поступающей на вход по замедляющей системе. Поскольку усиление зависит от тока пучка, то существует определенное минимальное значение этого тока (пусковое), при котором выполняется баланс амплитуд. Самовозбуждение возникает на той частоте, на которой будет выполнен баланс фаз.

Для выполнения баланса фаз необходимо, чтобы сумма сдвигов фаз прямой и отраженной волн в замедляющей системе была кратна целому числу волн:

$$\varphi_n + \varphi'_0 = 2\pi m, \quad (127)$$

где φ_n — фазовый сдвиг прямой волны при прохождении замедляющей системы; $\varphi'_0 = \varphi_0 + \pi$ — фазовый сдвиг отраженной волны при прохождении замедляющей системы

с учетом изменения фазы на 180° при отражении; $m = 1, 2, 3 \dots$ — целое число.

Из уравнения (127) следует, что

$$\varphi_n + \varphi_0 = \pi (2m - 1) \quad (128)$$

или

$$\begin{aligned} \varphi_n + \varphi_0 &= \pi; \\ \varphi_n + \varphi_0 &= 3\pi; \\ \varphi_n + \varphi_0 &= 5\pi; \\ &\dots \end{aligned}$$

Очевидно, что для каждого из указанных условий баланса фаз существует своя длина волны, на которой оно выполняется.

Таким образом, ЛБВ может генерировать не одну, а целый дискретный спектр частот, на которых выполняются условия баланса фаз (128) при различных m (при выполнении баланса амплитуд). С увеличением m генерируемая частота увеличивается. Она зависит от ускоряющего напряжения и тока пучка.

При изменении ускоряющего напряжения E_a изменяется скорость электронов и условия взаимодействия пучка с прямой и отраженной волнами. Исследования показывают, что изменение E_a приводит сначала к плавному изменению генерируемой частоты в зоне генерации, соответствующей данному m , затем происходит скачок частоты в другую зону колебаний при другом значении m . Эти скачки частоты объясняются тем, что изменение E_a вызывает изменение скорости пучка и нарушение его синхронного движения с волной. Поэтому синхронизация возникает на другой фазовой скорости волны, соответствующей изменившейся скорости пучка, и баланс фаз окажется выполненным на новой частоте, на которой и начнется генерация.

Условие баланса фаз (128) можно выразить через генерируемую частоту f , активную длину спираль l и фазовые скорости прямой и отраженной волн. Сдвиги фаз этих волн соответственно равны

$$\varphi_n = \frac{2\pi l}{v_\Phi}; \quad \varphi_0 = \frac{2\pi l}{v_{\Phi_0}},$$

тогда

$$2\pi l \frac{f}{v_\Phi} + 2\pi l \frac{f}{v_{\Phi_0}} = \pi (2m - 1).$$

Полагая фазовые скорости прямой и отраженной волн близкими друг другу и считая $2m > 1$, получим

$$2l \frac{f}{v_{\Phi_0}} \approx m \text{ или } v_{\Phi_0} \approx \frac{2l}{m} f.$$

Эта зависимость приближенно выражает баланс фаз и называется *прямой обратной связью*.

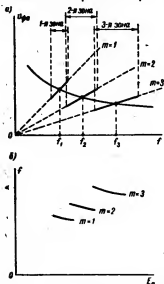


Рис. 115. Графическое определение зон генерации ЛБВ с внутренней обратной связью: а — прямые обратной связи и зависимость фазовой скорости от частоты; б — зависимость генерируемой частоты от ускоряющего анодного напряжения.

Зоны генерации можно получить построением семейства прямых обратной связи при различных m на зависимости фазовой скорости отраженной волны от частоты (рис. 115, а). Зоны генерации имеют место около точек пересечения этих зависимостей, т. е. вблизи генерируемых частот $f_1, f_2, f_3 \dots$. При изменении E_a происходит перескок из одной зоны генерации в другую (рис. 115, б).

Увеличение или уменьшение генерируемой частоты с ростом ускоряющего напряжения зависит от знака дисперсионных свойств замедляющей системы. При положительной дисперсии фазовая скорость уменьшается с ростом частоты, и увеличение E_a , приводящее к увеличению скорости пучка, а следовательно, и фазовой скорости, вызовет уменьшение генерируемой частоты и увеличение

длины волны. При отрицательной дисперсии увеличение E_a приводит к обратной зависимости, и генерируемая частота увеличивается. Изменение генерируемой частоты в зависимости от ускоряющего напряжения называется *электронной настройкой*. В генераторах с внутренней обратной связью крутизна настройки $\frac{\Delta f}{E_a}$ и ее диапазон весьма невелики из-за слабых дисперсионных свойств ЛБВ со спи-

ральными замедляющими системами. Например, диапазон электронной настройки имеет порядок десятых долей процента от средней частоты диапазона. Узкий диапазон электронной настройки, многочастотность и опасность самопроизвольных скачков частоты, а также низкий к. п. д. привели к тому, что на практике генераторы на ЛБВ с внутренней обратной связью не используются.

В генераторах на ЛБВ с внешней обратной связью связь подается через внешнюю цепь, состоящую из линий

(коаксиальной, волноводной или замедляющей), фазосдвигающей цепи и полосового фильтра (рис. 116). Замедляющая система лампы должна иметь сосредоточенную нагрузку с большим затуханием для ослабления отраженной волны и внутренней обратной связи.

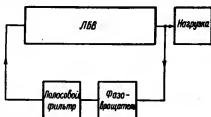


Рис. 116. Блок-схема генератора на ЛБВ с внешней обратной связью.

Принцип действия этих генераторов такой же, как и при внутренней обратной связи. Для самовозбуждения необходимо выполнить рассмотренные условия баланса амплитуд и фаз, при этом также возможен целый ряд зон генерации и перескок с одной частоты на другую при электронной перестройке. Для устранения перескока в цепь обратной связи вводят полосовой фильтр, состоящий из сильно связанных резонаторов или линий с сосредоточенными емкостями, расположенными друг от друга на расстоянии четверти генерируемой волны. Полоса пропускания такого фильтра должна обеспечивать плавную электронную настройку в зоне генерации, все другие частоты должны подавляться фильтром. Для перехода из одной зоны генерации в другую используется фазосдвигающая цепь, которая позволяет изменить фазу волны, поступающей на вход ЛБВ по цепи обратной связи, и получить то или иное значение m . Однако ширина плавной электронной перестройки частоты и в рассматриваемых генераторах еще недостаточно широка (ограничена полосой фильтра), хотя и значительно больше, чем у кдистронов и магнетронов. В десятисантиметровом диапазоне ширина электронной настройки достигает 8—10 %, в трехсантиметровом — 2,5—3 %, причем

зависимость генерируемой частоты от ускоряющего напряжения оказывается линейной, и крутизна настройки составляет единицы мегагерц на вольт.

К преимуществам генераторов с внешней обратной связью (по сравнению с внутренней) относится более высокий к. п. д., потому что затухание энергии в цепи обратной связи меньше, чем в замедляющей системе при движении энергии в обратном направлении.

Генераторы на ЛОВ. Лампы обратной волны являются разновидностью ламп бегущей волны и работают по принципу взаимодействия электронного пучка с обратными пространственными гармониками электромагнитного поля. Эти лампы в основном используются как генераторы сверхвысоких частот, хотя могут работать и в усилительном режиме. Основными преимуществами генераторных ЛОВ являются возможность плавной электронной настройки в широком диапазоне частот и независимость генерируемой частоты от внешней нагрузки. Плавная перестройка частоты осуществляется путем изменения величины ускоряющего напряжения электронного пучка.

Рассмотрим принцип действия ЛОВ как усилителя и генератора сверхвысоких частот. При работе ЛОВ в качестве усилителя вход лампы располагается у коллектора, а выход — у электронной пушки. Высокочастотный сигнал подается на вход, и волна распространяется навстречу электронному пучку. Взаимодействие этой встречной волны с электронным пучком приводит к группированию электронов пучка в сгустки, причем процесс группирования нарастает к выходу лампы, и максимальная концентрация электронов в сгустках будет наблюдаться у начала электронного пучка. Процесс группирования электронов принципиально не зависит от направления движения волны: вдоль пучка или навстречу ему. И в том, и в другом случае электроны пучка, попавшие в ускоряющие полуволны, увеличивают свою скорость и догоняют электроны, скорость которых была снижена в тормозящих полу волнах. Для того чтобы электронные сгустки отдавали свою энергию встречной волне, они при движении должны все время находиться в тормозящих полу волнах поля. Для выполнения этого условия необходимо, чтобы сгустки электронов при переходе от одного паза замедляющей системы к другому попадали в максимум тормозящей полу волны поля, отдавая ему свою энергию.

Определим фазовую скорость волны, обеспечивающую это условие. При периоде замедляющей системы h и длине волны $\lambda_\phi = kh$ (где k — число пазов, на которых располагается длина волны) максимумы тормозящего поля, очевидно, располагаются через k пазов (например, у пазов 1, k , $2k$ и т. д.). Поэтому, если сгусток электронов в начальный момент времени находился у первого паза, то при переходе ко второму за время $t' = \frac{h}{v_s}$ волна должна пройти навстречу сгустку такое расстояние, чтобы во втором пазу электронный сгусток снова встретил тормозящую полуволну поля.

Следовательно, за время t' волна должна пройти расстояние, равное $h(k-1)$, при этом ее фазовая скорость

$$v_{\phi-1} = \frac{h(k-1)}{t'} = (k-1)v_s = \left(\frac{\lambda_\phi}{h} - 1\right)v_s. \quad (129)$$

Соотношение (129) показывает, что для осуществления взаимодействия электронного пучка с обратной волной скорость пучка должна быть меньше скорости волны в $(k-1)$ раз, в то время как в ЛБВ эти скорости примерно равны друг другу. Это условие относится к взаимодействию пучка с первой обратной гармоникой. Для второй пространственной гармоники условие (129) примет вид

$$v_{\phi-2} = (2k-1)v_s, \quad (130)$$

т. е. скорость движения пучка будет еще меньше.

Например, при $k=8$ и $\lambda_\phi = 8h$

$$v_s = \frac{v_{\phi-1}}{k-1} = \frac{v_{\phi-1}}{7},$$

т. е. уменьшается в семь раз по сравнению со скоростью пучка в ЛБВ.

В ЛОВ в отличие от ЛБВ поглощающие вставки располагаются у коллекторного конца замедляющей системы и служат для поглощения энергии прямых пространственных гармоник, распространяющихся в направлении электронного пучка.

Генераторные ЛОВ отличаются от усилительных тем, что не имеют высокочастотного входа, выход же, как и у усилительных ЛОВ, располагается у электронной пушки. ЛОВ характеризуются сильной внутренней обратной

связью через электронный пучок, который эффективно взаимодействует с обратной пространственной гармоникой, вызывая увеличение энергии волны по мере ее движения вдоль замедляющей системы. Если усиление будет достаточным для компенсации потерь в системе, то в лампе возникнут колебания, частота которых будет зависеть от ускоряющего напряжения.

Действительно, вследствие флуктуаций объемной плотности электронов в пучке в лампе возникают волны собственных шумов со сплошным частотным спектром и всегда существует обратная пространственная гармоника шумов, для которой при данной скорости пучка (т. е. при данном ускоряющем напряжении) выполняются условия взаимодействия. Колебания этой гармоники усилятся и превратятся в стационарные. Мощность стационарных колебаний будет определяться величиной тока пучка. При снижении тока до значения, меньшего пускового, колебания затухнут, так как усиление обратной гармоники будет меньше потерь, что приведет к нарушению баланса амплитуд.

Частота генерируемых колебаний зависит от величины ускоряющего напряжения, при изменении которого меняется скорость электронного пучка и условия согласования и усиления будут наблюдаться для другой обратной гармоники.

Наличие сплошного спектра шумовых волн создает возможность для плавной перестройки частоты при плавном изменении ускоряющего напряжения. В этом заключается существенное отличие ЛОВ от ЛБВ, в которых для самовозбуждения необходимо обязательное выполнение условия синфазности прямой и отраженной волны на входе лампы, что приводит к появлению дискретных полос генерации с узкой полосой настройки в каждой полосе.

В ЛОВ плавная настройка не приводит к перескокам частоты, и ее диапазон составляет не менее 25—35% от средней генерируемой частоты. Кроме того, крутизна электронной настройки ЛОВ (т. е. зависимость генерируемой частоты от ускоряющего напряжения) получается весьма высокой, так как она определяется дисперсионными свойствами замедляющей системы и будет тем больше, чем сильнее выражены эти свойства. В ЛОВ применяются замедляющие системы с резко выраженной отрицательной дисперсией, что вызывает увеличение генерируемой частоты при росте ускоряющего напряжения.

Конструктивно генераторные ЛОВ выполняются двух типов: с прямопролетным пучком (типа О) и с кольцевым (типа М). На рис. 117 представлено принципиальное устройство указанных типов ламп. Устройство ЛОВ

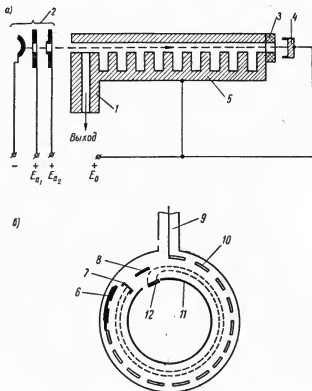


Рис. 117. Генераторные ЛОВ: а — типа О; б — типа М.

1 — вывод высокочастотной энергии; 2 — электронная пушка; 3 — поглощающая вставка; 4 — коллектор; 5 — замедляющая система; 6 — поглощающая вставка; 7 — коллектор; 8 — анод; 9 — высокочастотный выход; 10 — замедляющая система; 11 — холодный катод; 12 — катод.

типа О (рис. 117, а) отличается от ЛБВ наличием вывода 1 высокочастотной энергии у электронной пушки 2 и поглощающей вставки 3 у коллекторного конца 4 лампы. Эта вставка должна поглощать все прямые волны и быть хорошо согласована с замедляющей системой во всем рабочем диапазоне частот. Фокусировка электронного пучка,

как и в ЛБВ, осуществляется системой постоянных магнитов или соленоидом. Замедляющая система должна обладать большой отрицательной дисперсией и выполняется обычно в виде гребенки 5.

В генераторных ЛОВ типа М электронный пучок движется в кольцевой замедляющей системе и взаимодействует не с продольной, а с поперечной составляющей напряженности электрического поля. Фокусировка луча осуществляется поперечным магнитным полем.

ЛОВ типа М (рис. 118, б) состоит из катода 12, неоднородной замедляющей системы 10, цилиндрического электрода 11, расположенного коаксиально относительно замедляющей системы (холодный катод), коллектора 7, поглощающей вставки 6, высокочастотного выхода 9, анода 8 и магнитной фокусирующей системы (на рисунке не показана). Поперечное магнитное поле, в котором движется пучок электронов, отклоняет электроны к внутренней части кольца, в то же время под действием постоянного поперечного ускоряющего электрического поля, направленного к центру кольца, электроны пучка стремятся двигаться по радиусам от центра. В результате образуется касательная составляющая скорости электронов u_{\perp} . Взаимное влияние на пучок ускоряющего электрического и поперечного магнитного полей приводит к кольцевому движению пучка с постоянной скоростью вблизи замедляющей системы.

В ЛОВ типа М происходит взаимодействие электронного пучка с первой обратной пространственной гармоникой, и при выполнении условий самовозбуждения возникают стационарные колебания, как и в ЛОВ типа О. Частота колебаний определяется величиной ускоряющего напряжения, а мощность — величиной тока пучка. Особенности ЛОВ типа М заключаются в том, что взаимодействие электронного пучка и группирование электронов происходят за счет поперечной составляющей поля, что приводит к резкому ослаблению влияния пучка на поле волны и не вызывает постепенного торможения сгустков электронов и нарушения синхронизации движения пучка и волны, как это имеет место в ЛБВ и ЛОВ типа О. В ЛОВ типа М электроны движутся с постоянной скоростью, и максимальное взаимодействие наблюдается при равенстве фазовой скорости волны и скорости пучка. В этих ЛОВ для увеличения полезной мощности и к. п. д. используют лен-

точные пучки электронов, максимально приближая их к замедляющей системе.

Генераторы ЛОВ типа М имеют примерно такой же диапазон плавной электронной настройки, что и генераторы ЛОВ типа О, но обладают более высоким к. п. д. (до 40—50 %) и позволяют получить большие полезные мощности. Иногда их применяют для работы в усилительном режиме в качестве мощных выходных усилителей СВЧ (магнетронные усилители). В этом случае вход высокочастотной энергии располагается у коллектора, а выход — у электронной пушки. Выходная мощность ЛОВ типа М и магнетронного усилителя достигает единиц и десятков мегаватт в импульсном режиме при высоком к. п. д. Полоса пропускания — порядка 15—20 % от средней частоты.

Лампы бегущей и обратной воли являются весьма перспективными устройствами для усиления и генерирования непрерывных и импульсных колебаний в диапазонах дециметровых, сантиметровых и миллиметровых волн. Широкополосность этих приборов позволяет осуществить генерацию и усиление не только микросекундных, но и наносекундных импульсов ($1 \text{ нсек} = 10^{-9} \text{ сек.} = 0,001 \text{ мксек}$), что весьма важно для дальнейшего развития радиолокации и импульсной техники.

Глава XII

МОДУЛЯЦИЯ И МАНИПУЛЯЦИЯ В РАДИОПЕРЕДАЮЩИХ УСТРОЙСТВАХ

§ 51. Амплитудная модуляция и ее технические показатели

Высокочастотный ток, вырабатываемый передатчиком, имеет три основных параметра — амплитуду, частоту и фазу колебаний:

$$i_A = I_A \cos(\omega t + \varphi),$$

где I_A — амплитуда тока в антенне;
 ω — угловая частота колебаний;
 φ — начальная фаза колебаний.

Модуляция тока i_A осуществляется изменением его амплитуды (амплитудная модуляция — АМ), частоты (частотная модуляция — ЧМ) и фазы (фазовая модуляция — ФМ). Два последних вида модуляции неразрывно связаны друг с другом, так как всякое изменение фазы приводит к изменению частоты, и наоборот.

Амплитуду тока высокой частоты можно изменить двумя способами: меняя сопротивление цепи антенны или напряжение на электродах лампы.

Первый способ (модуляция поглощением) на практике не применяется и представляет только исторический интерес.

Второй способ модуляции основной. Он подразделяется на схемы модуляции на сетки (управляющую, экраниую, пентодную), схемы модуляции на анод и комбинированные.

В современных передатчиках, как правило, используются комбинированные методы модуляции, при которых принудительно или автоматически изменяются напряжения на двух и более электродах лампы модулируемого усилителя.

Классические методы простой модуляции, когда модулирующим фактором является напряжение только одного

электрода, используются в настоящее время очень редко, так как имеют более низкие энергетические показатели, чем комбинированные.

Модуляция называется *комбинированной сеточной*, если в ее процессе изменяются напряжения на одной или нескольких сетках лампы генератора при постоянном анодном напряжении, и *анодной*, если изменяется и анодное напряжение.

Частотная модуляция осуществляется прямым или косвенным методом. В первом случае в процессе модуляции изменяется один из параметров контура генератора. При косвенном методе вначале осуществляют фазовую модуляцию, а затем превращают ее в частотную.

Модулированное высокочастотное колебание, как будет показано ниже, является не простым гармоническим, а сложным и состоит из гармонических колебаний различных амплитуд, частот и фаз. Состав модулированного колебания зависит от формы и состава управляющего сигнала и от вида модуляции. На рис. 1, д, е, ж (см. гл. I) были показаны управляющие сигналы и модулированные колебания при амплитудной и частотной модуляциях.

Передача телеграфных управляющих сигналов — особый вид модуляции, она называется *телеграфной манипуляцией*. Различают три вида телеграфной манипуляции — незатухающими колебаниями, тонально-модулированными колебаниями и частотную. На рис. 1, а, б, в, г были показаны формы сигналов при манипуляции.

Рассмотрим технические показатели амплитудной модуляции.

Глубина модуляции. При амплитудной модуляции амплитуда высокочастотного тока меняется по закону управляющего сигнала. Предположим, что модуляция осуществляется тоном одной частоты при условии линейной зависимости между амплитудой тока и величиной модулирующего фактора, т. е. будем считать

$$I_{m\Omega} = I_{m0} + \Delta I_m \cos \Omega t, \quad (131)$$

где $I_{m\Omega}$ — амплитуда модулированного тока;

I_{m0} — амплитуда тока до модуляции;

ΔI_m — максимальное изменение амплитуды при модуляции;

Ω — угловая частота модуляции;

t — время.

Режим, при котором модуляция отсутствует, называется *режимом молчания* или режимом *несущей частоты*.

Учитывая уравнение (131), модулированный ток можно представить зависимостью

$$i_m = I_{mн} \cos \omega t = (I_{mн} + \Delta I_m \cos \Omega t) \cos \omega t,$$

где ω — угловая высокая (несущая) частота.

Вынося за скобки $I_{mн}$ и вводя обозначение $m = \frac{\Delta I_m}{I_{mн}}$,

получим

$$i_m = [I_{mн} (1 + m \cos \Omega t)] \cos \omega t. \quad (132)$$

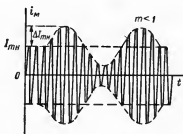


Рис. 118. Амплитудно-модулированные колебания.

Величина m , являясь важной характеристикой модулированного колебания, называется *коэффициентом глубины модуляции*. На рис. 118 показан график модулированных колебаний.

Коэффициент глубины модуляции легко выразить через максимальное и минимальное значения амплитуды тока. Действительно, амплитуда тока меняется в пределах от $(I_{mн})_{\max}$ до $(I_{mн})_{\min}$ (при изменении $\cos \Omega t$ в пределах ± 1), где

$$(I_{mн})_{\max} = I_{mн} (1 + m); \quad (I_{mн})_{\min} = I_{mн} (1 - m).$$

Среднее значение амплитуды за период низкой частоты

$$(I_{mн})_{\text{ср}} = \frac{(I_{mн})_{\max} + (I_{mн})_{\min}}{2} = I_{mн}.$$

Максимальное приращение амплитуды модулированного тока

$$\Delta I_m = \frac{(I_{mн})_{\max} - (I_{mн})_{\min}}{2},$$

поэтому

$$m = \frac{\Delta I_m}{I_{mн}} = \frac{(I_{mн})_{\max} - (I_{mн})_{\min}}{(I_{mн})_{\max} + (I_{mн})_{\min}}.$$

Данные выражения справедливы при условии симметричной модуляции, т. е. когда амплитуда тока прямо про-

порциональна силе модулирующего фактора и когда максимальные изменения амплитуды как в сторону увеличения, так и в сторону уменьшения одинаковы. Если указанные условия не выполняются, то различают два коэффициента глубины модуляции — верхний и нижний:

$$m_v = \frac{\Delta I_{mв}}{I_{mn}}; \quad m_n = \frac{\Delta I_{mн}}{I_{mn}}.$$

Такая несимметричная искаженная модуляция вызывает искажения при приеме.

Коэффициент глубины модуляции должен быть достаточно высоким. Современные передатчики позволяют осуществлять модуляцию глубиной до 90—100 %.

Частотный состав модулированного колебания. Как отмечалось, амплитудно-модулированное колебание оказывается сложным; это легко показать, преобразовав уравнение (132).

Помня, что $\cos \alpha \cos \beta = \frac{1}{2} [\cos (\alpha + \beta) + \cos (\alpha - \beta)]$, имеем

$$\begin{aligned} i_m = I_{mn} \cos \omega t + \frac{1}{2} m I_{mn} \cos (\omega + \Omega) t + \\ + \frac{1}{2} m I_{mn} \cos (\omega - \Omega) t. \end{aligned} \quad (133)$$

Первое слагаемое уравнения (133) представляет незатухающие колебания несущей частоты, второе и третье — незатухающие колебания боковых частот, т. е. частот, отличных от несущей частоты ω на $\pm \Omega$.

Амплитуда боковых колебаний $I_{mb} = \frac{1}{2} m I_{mn}$ зависит от коэффициента глубины модуляции и амплитуды тока несущей частоты.

Частота $\omega + \Omega$ называется *верхней боковой*, а $\omega - \Omega$ — *нижней боковой*. Данные частоты, как и несущая частота, являются высокими.

Частотный спектр амплитудно-модулированного колебания представлен на рис. 119.

Реальный управляющий сигнал содержит большое число различных частот-гармоник ($\Omega_n, \Omega_1, \Omega_2, \dots, \Omega_n$). Так как каждой гармонике при модуляции соответствуют две боковые частоты, то модулированное колебание

содержит две полосы частот — верхнюю и нижнюю (рис. 119, б). Следовательно, антенна радиопередающего устройства излучает несущую частоту и две боковые полосы частот.

Мощность модулированного колебания. Различают среднюю мощность режимов: 1) несущей частоты, когда модуляция отсутствует (мощность режима молчания) за

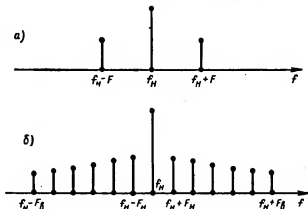


Рис. 119. Частотный спектр амплитудно-модулированных колебаний: а — при модуляции одной частотой; б — при модуляции спектром частот.

период высокой частоты $P_{\sim n}$; 2) при модуляции за период высокой частоты P_{\sim} ; 3) при модуляции за период низкой частоты P_{\sim} .

Мощность режима несущей частоты $P_{\sim n}$, развиваемая в сопротивлении R , легко определяется по формуле

$$\begin{aligned}
 P_{\sim n} &= \frac{1}{2\pi} \int_0^{2\pi} p \, d(\omega t) = \frac{1}{2\pi} \int_0^{2\pi} i_n^2 R \, d(\omega t) = \\
 &= \frac{1}{2\pi} I_{mn}^2 R \int_0^{2\pi} \cos^2 \omega t \, d(\omega t) = \frac{1}{2} I_{mn}^2 R,
 \end{aligned}$$

где p , i_n — мгновенные значения мощности и тока.

При модуляции амплитуда тока меняется и соответственно изменяется средняя мощность за период высокой частоты:

$$P_{\sim} = \frac{1}{2\pi} \int_0^{2\pi} i_m^2 R d(\omega t) = \\ = \frac{1}{2\pi} \int_0^{2\pi} R I_{mn}^2 (1 + m \cos \Omega t)^2 \cos^2 \omega t d(\omega t).$$

Полагая, что из-за большого различия частот ($\omega \gg \Omega$) $\cos \Omega t$ за период высокой частоты почти не меняется, получим

$$P_{\sim} \approx \frac{1}{2\pi} I_{mn}^2 (1 + m \cos \Omega t)^2 R \int_0^{2\pi} \cos^2 \omega t d(\omega t) = \\ = P_{\sim n} (1 + m \cos \Omega t)^2.$$

Мощность P_{\sim} меняется в больших пределах. Наибольший интерес представляют максимальное и минимальное значения мощности, когда

$$P_{\sim \max} = P_{\sim n} (1 + m)^2; \quad P_{\sim \min} = P_{\sim n} (1 - m)^2.$$

При стопроцентной модуляции мощность меняется в пределах от

$$P_{\sim \max} = 4P_{\sim n} \text{ до } P_{\sim \min} = 0.$$

Режим, в котором мощность максимальна, называется *максимальным*, *пиковым* или *телеграфным*, а мощность — *пиковой* или *телеграфной*. Следовательно, радиотелефонный передатчик в некоторые моменты времени должен вырабатывать большую мощность, чем мощность несущей частоты, причем пиковая мощность зависит от коэффициента глубины модуляции.

Большой интерес представляет средняя мощность за период низкой частоты модуляции. Она не равна мощности несущей частоты и называется *телефонной*. Ее можно определить сложением мощностей несущей и боковых частот:

$$P_{\tau} = P_{\sim n} + 2P_6 = P_{\sim n} + 2 \cdot \frac{1}{2} \left(\frac{1}{2} m I_{mn} \right)^2 R = \\ = P_{\sim n} \left(1 + \frac{1}{2} m^2 \right),$$

где P_6 — мощность боковой частоты.

При $m = 100\%$ телефонная мощность на 50% больше мощности несущей частоты.

Последний расчет показывает, что радиотелефонный передатчик должен обеспечивать не только кратковременную пиковую мощность, но и телефонную в течение длительного времени.

Искажения при модуляции. Для получения неискаженной модуляции необходимо, чтобы форма огибающей амплитуды тока в контуре и антенне полностью соответствовала форме передаваемого модулируемого сигнала. При практическом осуществлении модуляции это соответствие часто нарушается: появляются частотные и нелинейные искажения.

Частотные искажения заключаются в неравномерном усилении различных составляющих спектра модулированных колебаний и появляются, когда сопротивление нагрузки усилителя или элементов, связанных с ней, зависит от частоты. Поэтому нарушаются соотношения амплитуд составляющих сигнала.

При модуляции частотные искажения вносятся низкочастотным трактом передатчика, куда входят усилители низкой частоты (УНЧ) и микрофон, а также модулятором и усилителем мощности модулированных колебаний (если модуляция осуществляется не в оконечном, а в предварительных каскадах усиления) и в некоторых случаях антенной.

Искажения, вносимые модулятором, появляются в том случае, когда глубина модуляции зависит от частоты модулирующего колебания при постоянной его амплитуде. В результате различной глубины модуляции для различных звуковых частот при воспроизведении такого сигнала наблюдаются искажения тембра звука.

Другой причиной частотных искажений является неравномерность резонансной кривой анодного контура усилителя в пределах полосы пропускания.

Нелинейные искажения при модуляции имеют значительно большее значение, чем частотные. Они заключаются в таком несоответствии форм огибающей и модулирующего сигнала, при котором в составе огибающей появляются новые частотные составляющие (гармоники), а в составе модулированного колебания — новые боковые частоты, соответствующие этим гармоникам.

Нелинейные искажения возникают в том случае, когда коэффициент глубины модуляции не прямо пропорциона-

лен амплитуде модулирующего колебания, т. е. когда зависимость $m = f(U_{m\Omega})$ при $\Omega = \text{const}$ нелинейна. Такая зависимость называется амплитудной модуляционной характеристикой; по ней можно судить, при каком значении амплитуды модулирующего напряжения появляются нелинейные искажения и каким будет коэффициент глубины модуляции.

О нелинейных искажениях также судят по статической модуляционной характеристике, представляющей зависимость амплитуды тока в контуре или I_a , от амплитуды модулирующего напряжения.

Статическая модуляционная характеристика снимается при отсутствии модуляции и не учитывает влияния боковых частот, для которых анодный контур несколько расстроен.

Процесс модуляции рассматривается как ряд последовательных стационарных состояний, через которые проходит усилитель, подвергнутый модуляции. Скорость перехода из одного состояния в другие и связанные с этим нестационарные процессы не учитываются. Такое представление модуляции позволяет упростить расчеты.

В современных передатчиках при правильном выборе режима модуляции нелинейные искажения бывают небольшими (в радиовещательных передатчиках до 2—3%, в передатчиках коммерческой радиосвязи, в том числе и судовых, до 8—10%).

Перейдем к рассмотрению основных классических методов простой амплитудной модуляции на триодах — сеточной модуляции смещением и анодной, так как анализ физических процессов, происходящих в усилителях при этих видах модуляции, позволит более ясно представить особенности современных методов комбинированной модуляции на экранированных лампах.

§ 52. Сеточная модуляция смещением и усиление амплитудно-модулированных колебаний

Принципиальная схема сеточной модуляции смещением приведена на рис. 120. Напряжение смещения на управляющей сетке лампы усилителя меняется с частотой модуляции, амплитуда же напряжения возбуждения остается постоянной. Низкочастотное напряжение подается на сетку лампы от источника напряжения u_{Ω} , например от микро-

фона, который связан с цепью сетки трансформатором. Таким образом, при модуляции на участке сетка—катод действует постоянное по амплитуде напряжение возбуждения u_{g1} , постоянное начальное смещение $-E_{g1}$ и переменное смещение u_{Ω} .

Режим работы модулируемого усилителя и модуляционные характеристики. Выясним, в каком режиме работы лампы возможна неискаженная модуляция, для этого рас-

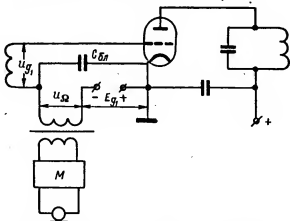


Рис. 120. Схема сеточной модуляции смещением.

смотрим статические характеристики лампы усилителя и форму анодного тока при различных напряжениях смещения в режимах I и II рода.

Из диаграммы работы лампы усилителя в режиме I рода (рис. 121, а) видно, что в данном режиме модуляция вообще невозможна, так как амплитуда первой гармоники не зависит от смещения, которое в этом случае меняет только постоянную составляющую тока.

В режиме II рода (рис. 121, б) изменение смещения приводит к изменению высоты импульса $i_{a \max}$, причем меняется угол отсечки и амплитуда первой гармоники I_{a1} , так как $I_{a1} = \alpha i_{a \max} = \Phi(E_{g1})$.

Для того чтобы указания зависимости стала линейной, форму импульса тока в процессе модуляции необходимо сохранить неизменной. Это возможно только в недонапря-

жением режиме. При переходе в перенапряженный режим форма импульса меняется в зависимости от напряженности режима, который при постоянном возбуждении опреде-

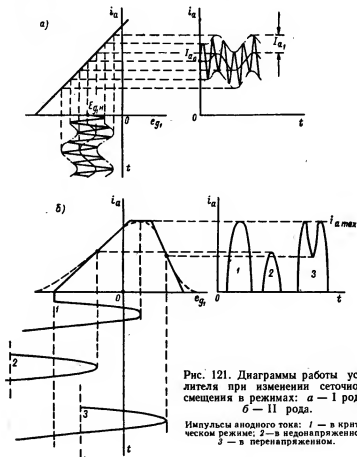


Рис. 121. Диаграммы работы усилителя при изменении сеточного смещения в режимах: а — I рода; б — II рода.

Импульсы анодного тока: 1 — в критическом режиме; 2 — в недонапряженном; 3 — в перенапряженном.

ляется смещением. Изменение формы импульса приводит к значительным нелинейным искажениям. Искажения возникают и в том случае, когда при изменении смещения остроконечная форма импульса станет уплощенной за счет перехода в область насыщения.

Статическая модуляционная характеристика, а также зависимость постоянной составляющей анодного тока от смещения при больших отрицательных смещениях нелинейна из-за наличия нижнего криволинейного участка характеристики лампы. Высота импульсов тока, определяемая рабочими точками

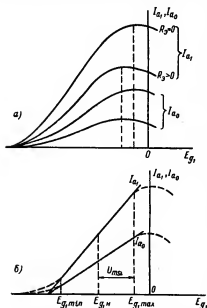


Рис. 122. Модуляционные характеристики усилителя при различных нагрузках и зависимости $I_{a0} = \varphi(E_{g1})$: а — реальные; б — идеализированные.

на этом участке, растут не прямо пропорционально смещению, а значительно быстрее (примерно квадратично), затем нелинейный участок модуляционной характеристики переходит в линейный, что указывает на использование линейной части характеристики лампы, и, наконец, при переходе к насыщению модуляционная характеристика опять будет нелинейной.

Аналогично изменяется и постоянная составляющая тока. В большинстве случаев можно считать, что максимум модуляционной характеристики соответствует критическому режиму, в котором крутизна модуляционной характеристики и смещение зависят от величины анодной нагрузки. Чем больше эквивалентное сопротивление контура, тем положение динамическая характеристика лампы, а тем самым и модуляционная характеристика. Абсолютная величина максимального сеточного смещения, соответствующая критическому режиму, будет меньше, так как уменьшается остаточное напряжение на аноде.

В технических расчетах можно пользоваться спрямленной идеализированной характеристикой, не учитывая нижнего криволинейного участка. Однако нужно брать

не всю характеристику от максимального значения до нуля, а ее участок от максимального значения до точки, соответствующей переходу на нижний криволинейный участок, для которой смещение будет минимальным.

На рис. 122 приведены реальные и идеализированные характеристики при различных нагрузках и зависимость постоянной составляющей анодного тока от смещения.

Смещение $E_{g1 \max}$ соответствует максимальному (пиковому) режиму усилителя, в котором лампа отдает максимальную мощность. Смещение $E_{g1 \min}$ соответствует режиму минимальной мощности и определяет граничную нижнюю точку линейного участка модуляционной характеристики. Смещение в режиме несущей частоты $E_{g1н}$ следует выбирать в середине линейного участка. Тогда вся работа при модуляции будет происходить в недонапряженном режиме при смещениях от $-E_{g1 \min}$ до $-E_{g1 \max}$ и амплитуда напряжения модуляции будет равна

$$U_{m\Omega} = \frac{|E_{g1 \min}| - |E_{g1 \max}|}{2}. \quad (134)$$

Такой выбор смещений позволяет осуществить модуляцию с минимальными искажениями.

Особенностью сеточной модуляции является то, что в процессе работы непрерывно меняется угол отсечки и коэффициент использования анодного напряжения, которые влияют на энергетические соотношения и к. п. д. усилителя.

Энергетические соотношения при модуляции смещением. Режим максимальной мощности характеризуется максимальными значениями тока в лампе. Принимая модуляционную характеристику и зависимость постоянной составляющей от смещения линейными, можем считать, что коэффициент глубины модуляции тока

$$m = \frac{\Delta I_{a1}}{I_{a1н}} \approx \frac{\Delta I_{a0}}{I_{a0н}}.$$

Токи и мощности будут выражаться уравнениями

$$\left. \begin{aligned} I_{a1 \max} &= I_{a1н} + \Delta I_{a1} = I_{a1н} (1 + m); \\ I_{a0 \max} &= I_{a0н} + \Delta I_{a0} = I_{a0н} (1 + m); \end{aligned} \right\} \quad (135)$$

$$P_{\sim \max} = \frac{1}{2} I_{a1 \max}^2 R = \frac{1}{2} I_{a1н}^2 (1 + m)^2 R = P_{\sim н} (1 + m)^2; \quad (136)$$

$$P_{0 \max} = E_a I_{a0 \max} = E_a I_{a0н} (1 + m) = P_{0н} (1 + m). \quad (137)$$

Из уравнений (135)—(137) видно, что полезная и подводимая мощности изменяются по-разному: при $m = 100\%$ полезная мощность увеличивается в четыре раза по сравнению с режимом несущей частоты, а подводимая — только в два. Это приводит к увеличению к. п. д. и уменьшению мощности потерь на аноде в режиме максимальной мощности:

$$\eta_{\max} = \frac{P_{\sim \max}}{P_{0 \max}} = \frac{P_{\sim n}}{P_{0n}} (1 + m) = \eta_n (1 + m); \quad (138)$$

$$P_{a \max} = P_{0 \max} - P_{\sim \max} = P_{\sim \max} \left(\frac{1 - \eta_{\max}}{\eta_{\max}} \right). \quad (139)$$

К. п. д. в режиме максимальной мощности при $m = 100\%$ увеличивается в два раза по сравнению с к. п. д. в режиме несущей частоты. Режим максимальной мощности выбирается критическим, и номинальная мощность лампы усилителя должна обеспечить мощность максимального режима.

Большинство передатчиков малой и средней мощности телефонно-телеграфные. При телеграфной работе усилитель ставится в режим максимальной мощности; при телефонной исходным является режим несущей частоты или режим молчания, в котором мощность и к. п. д. будут ниже, чем в телеграфном.

Из уравнений (135)—(139) следует, что токн, подводимая мощность и к. п. д. в режиме несущей частоты уменьшаются в $(1 + m)$ раз, а полезная мощность в $(1 + m)^2$ раз по сравнению с телеграфным режимом. При этом уменьшаются коэффициент использования анодного напряжения

$$\xi_n = \frac{U_{mн}}{E_a} = \frac{I_{a1} R_z}{E_a} = \frac{I_{a1 \max} R_z}{(1 + m) E_a} = \frac{U_{mк \max}}{(1 + m) E_a} = \frac{\xi_{\max}}{1 + m}$$

и угол отсечки θ .

Мощность потерь на аноде

$$P_{a.н} = P_{0н} - P_{\sim} = P_{\sim n} \frac{1 - \eta_n}{\eta_n}. \quad (140)$$

Смещение в режиме несущей частоты легко определить по рис. 122, б

$$E_{g1н} = \frac{|E_{g1 \max}| + |E_{g1 \min}|}{2}. \quad (141)$$

В телефонном режиме, т. е. во время модуляции, происходит непрерывное изменение угла отсечки, коэффициента использования анодного напряжения, токов лампы, мощностей и к. п. д.

Если полезная мощность в этом режиме увеличится и

$$P_{\tau} = P_{\sim n} \left(1 + \frac{1}{2} m^2 \right),$$

то подводная мощность $P_{\theta \tau}$ не изменится, так как она пропорциональна первой степени постоянной составляющей тока $I_{a, n}$, которая меняется от $I_{a, \max}$ до $I_{a, \min}$ и среднее значение которой за период низкой частоты будет постоянным:

$$I_{a, \text{cp}} = \frac{1}{2\pi} \int_0^{2\pi} I_{a, n} (1 + m \cos \Omega t) d(\Omega t) = I_{a, n},$$

т. е.

$$P_{\theta \tau} = E_a I_{a, \text{cp}} = E_a I_{a, n} = P_{\theta n}.$$

К. п. д. увеличится:

$$\eta_{\tau} = \frac{P_{\tau}}{P_{\theta \tau}} = \frac{P_{\sim n} \left(1 + \frac{1}{2} m^2 \right)}{P_{\theta n}} = \eta_n \left(1 + \frac{1}{2} m^2 \right).$$

Таким образом, модуляция смещением происходит при переменном к. п. д. Если принять, что в режиме максимальной мощности можно получить к. п. д. порядка 70%, то в режимах несущей частоты и телефонном при среднем $m \approx 0,3$ к. п. д. окажется низким — порядка 54%. Низкий к. п. д. — крупный недостаток этого вида модуляции.

При расчете усилителя задается мощность в режиме несущей частоты $P_{\sim n}$, лампа же должна обеспечить максимальную мощность $P_{\sim \max}$.

Расчеты потерь на аноде лампы при сеточной модуляции смещением показывают, что в режиме несущей частоты мощность потерь на аноде будет больше, чем в максимальном на 25—30% (при к. п. д. в максимальном режиме $\eta_{\max} \approx 0,65$ —0,75 и $m = 1$).

Лампы усилителя проверяют на максимальную мощность рассеяния на аноде в режиме несущей частоты:

$$P_{a.н} = P_{\sim н} \frac{1 - \eta_n}{\eta_n} = P_{\sim н} \frac{1 - \frac{\eta_{\max}}{1+m}}{\frac{\eta_{\max}}{1+m}}$$

при $m = 1$ и $\eta_{\max} = 0,65-0,75$

$$P_{a.н} \approx 2\dot{P}_{\sim н} \leq P_{a. доп}, \quad (142)$$

т. е. мощность потерь на аноде лампы в режиме несущей частоты примерно равна удвоенной полезной мощности в этом режиме.

Потери в телефонном режиме будут меньше, чем в несущем, это объясняется тем, что при одинаковой подводимой мощности ($P_{\text{вн}} = P_{\text{от}}$) полезная мощность P_r в телефонном режиме больше в $(1 + 0,5m^2)$ раз.

Цепь сетки модулируемого усилителя. Режим работы цепи управляющей сетки модулируемого усилителя определяет условия работы модулятора.

В режиме несущей частоты сеточный ток появляется при положительном напряжении на сетке, когда амплитуда напряжения возбуждения больше смещения ($U_{mg_1} > |E_{g_1н}|$) и среднее значение тока $I_{g_1,0}$ постоянно.

В телефонном режиме амплитуды высокочастотных импульсов сеточного тока изменяются со звуковой частотой, а в момент, когда амплитуда возбуждения окажется равной смещению, произойдет отсечка сеточного тока и результирующее напряжение на сетке окажется отрицательным.

Это приводит к тому, что изменения постоянной составляющей тока сетки будут носить импульсный характер, причем угол отсечки импульса постоянной составляющей θ_Ω определится из соотношения

$$U_{mg_1} = -E_{g_1} = -|E_{g_1н} + U_{m\Omega} \cos \theta_\Omega|,$$

откуда

$$\cos \theta_\Omega = \frac{-U_{mg_1} - E_{g_1н}}{U_{m\Omega}}. \quad (143)$$

В процессе модуляции высота импульсов сеточного тока начинает изменяться по закону огибающей, и пока напряжение возбуждения меньше смещения ($U_{mg_1} \leq |E_{g_1н}|$), ток сетки равен нулю.

Таким образом, среднее значение сеточного тока имеет вид импульсов с углом отсечки θ_{Ω} и состоит из постоянного тока и переменных токов с частотами Ω , 2Ω , 3Ω и т. д.

Среднее значение тока при модуляции I_{g1} больше, чем в режиме несущей частоты. При наличии в цепи сетки активного сопротивления R_{g1} на нем создается дополнительное смещение $\Delta u_{\Omega} = -R_{g1} (I_{g1} - I_{g10})$ (где I_{g10} — постоянная составляющая без модуляции), которое сдвигает начальную точку модуляционной характеристики влево, что приводит к нелинейным искажениям и уменьшению мощности несущей частоты. По этой причине включать активное сопротивление в цепь постоянной составляющей сеточного тока при модуляции смещением не рекомендуется.

Нелинейный характер цепи сетки усилителя и обусловленный им импульсный характер постоянной составляющей сеточного тока приводят к появлению гармоник звуковой частоты. Гармоники, проходя по выходному сопротивлению модулятора, вызывают на нем падение напряжения, которое, накладываясь на напряжение основной частоты, искажает его форму, в результате чего появляются нелинейные искажения и в огибающей высокочастотного тока модулируемого усилителя. Для снижения искажений необходимо, чтобы выходное сопротивление модулятора было как можно меньше.

Нагрузкой модулятора является входное сопротивление цепи сетки модулируемого усилителя по низкой частоте. Входное сопротивление складывается из активной и емкостной составляющих.

Активное входное сопротивление оказывается наименьшим в момент максимума постоянной составляющей сеточного тока

$$(r_{\Omega \text{ вх}})_{\min} = \frac{U_{m\Omega}}{I_{g10 \text{ max}}},$$

и модулятор должен обеспечить необходимую мощность именно в этом наиболее неблагоприятном для него режиме:

$$P_{\Omega \text{ max}} = \frac{U_{m\Omega}^2}{2 (r_{\Omega \text{ вх}})_{\min}} = \frac{1}{2} U_{m\Omega} I_{g10 \text{ max}}.$$

Если в схеме модулятора имеется активное сопротивление нагрузки r_a , то при расчете мощности следует учесть,

что оно подключено параллельно $r_{\Omega \text{ вх}}$ и $P_{\Omega \text{ max}} = \frac{1}{2} U_{m\Omega}^2 \left(\frac{1}{r_a} + \frac{1}{(r_{\Omega \text{ вх}})_{\min}} \right)$.

Реактивная составляющая входного сопротивления для токов низкой частоты носит емкостный характер и определяется в основном блокировочными емкостями цепи сетки, так как сопротивление катушек связи и дросселей высокой частоты для этих токов ничтожно мало. Входная емкость $C_{\Omega \text{ вх}}$ зависит от схемы питания сетки. Например,

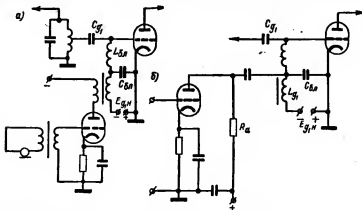


Рис. 123. Схемы сеточной модуляции смещением: а — параллельная с трансформатором; б — параллельная с реостатным модулятором и дросселем.

в схеме последовательного питания (рис. 120) $C_{\Omega \text{ вх}} \approx C_{бл}$, а в схеме параллельного питания (рис. 123, а) $C_{\Omega \text{ вх}} \approx C_{бл} + C_{г1}$. Эта емкость может явиться источником искажений для верхних звуковых частот.

Схемы модуляции смещением. В схемах сеточной модуляции используется реостатный или трансформаторный модулятор. В маломощных передатчиках модуляция производится от микрофона через модуляционный трансформатор.

На рис. 120 и 123, а представлены схемы с трансформаторным модулятором при последовательном и параллельном питании сетки. Активное сопротивление в цепи постоянной составляющей сеточного тока должно быть как можно меньше, так как в противном случае при изменении среднего значения тока изменится и исходное сме-

щение. Следовательно, источник исходного сеточного смещения должен иметь малое внутреннее сопротивление.

На низких частотах емкости $C_{бл}$ и $C_{г1}$ (в параллельной схеме) шунтируют вторичную обмотку трансформатора и выбираются (как и $L_{бл}$ в параллельной схеме) с учетом допустимых частотных искажений. В то же время для токов высокой частоты сопротивление емкостей должно быть малым, а сопротивление дросселя большим. В этих схемах для снижения нелинейных искажений в модуляторах следует применять триоды с малым R_i . Для большего снижения R_i первичную или вторичную обмотку модуляционного трансформатора можно шунтировать активным сопротивлением, но тогда потребуется большая мощность модулятора.

Расчет модулятора выполняется так же, как трансформаторного усилителя низкой частоты, с учетом входного сопротивления сетки модулируемого усилителя.

На рис. 123, б представлена схема реостатно-дроссельного модулятора. В этой схеме сопротивление нагрузки вынесено из цепи постоянной составляющей сеточного тока с целью предотвращения изменения исходного смещения, а в цепь смещения включается дроссель низкой частоты, не допускающий короткого замыкания выходной цепи модулятора для тока низкой частоты. Все блокировочные емкости и дроссели нужно выбирать такой величины, чтобы частотные искажения, вносимые ими, не превышали допустимых.

Преимуществом этой схемы по сравнению с трансформаторной является более низкий уровень частотных искажений и меньшая стоимость, так как блокировочный дроссель проще и дешевле модуляционного трансформатора. Однако наличие дросселя ухудшает частотную характеристику по сравнению с чисто реостатной схемой.

Методика расчета сеточной модуляции смещением. Исходными данными для расчета являются полезная колебательная мощность в режиме несущей частоты P_{\sim} и коэффициент глубины модуляции m . В большинстве случаев принимают $m = 100\%$.

В процессе модуляции усилитель должен работать в недонапряженном режиме при постоянных величинах E_a и $U_{гг1}$. Кроме того, необходимо наличие постоянного фиксированного смещения — $E_{г1н}$, устанавливающего начальную рабочую точку модуляционной характеристики.

Так как модуляция осуществляется за счет изменения высоты импульса анодного тока и его угла отсечки, то коэффициент использования анодного напряжения будет меняться пропорционально амплитуде первой гармоники I_a , и достигнет максимума в критическом режиме, который в данном случае явится режимом максимальной мощности.

В процессе расчета сеточной модуляции необходимо выбрать лампу, обеспечивающую заданную мощность в максимальном режиме, и произвести электрические расчеты этого режима, режима несущей частоты и телефонного, а затем выбранной схемы модулятора.

Выбор лампы усилителя. Лампа должна обеспечивать мощность максимального режима, и в этом случае ее номинальная мощность будет удовлетворять условию

$$P_{\sim N} > P_{\sim \max} = P_{\sim n} (1 + m)^2 \approx 4P_{\sim n}, \quad (144)$$

т. е. номинальная мощность ламп при сеточной модуляции должна быть не менее чем в четыре раза больше мощности режима несущей частоты.

Другим фактором, определяющим выбор лампы, является мощность рассеяния на аноде. Максимум этой мощности получается в режиме, близком к режиму несущей частоты. Поэтому после выбора ламп по неравенству (144) следует проверить мощность рассеяния в режиме несущей частоты по формуле

$$P_{a. \text{ доп}} > (1,1 - 1,2) P_{a. n}, \quad (145)$$

где $P_{a. n} = (1,8 - 2) P_{\sim n}$ [см. уравнение (142)]; эта формула учитывает 10—20%-ный запас мощности, вызванный разбросом мощности рассеяния на аноде различных экземпляров ламп.

Параметры выбранной лампы должны удовлетворять неравенствам (144) и (145).

Выбор угла отсечки анодного тока. Рациональный выбор угла отсечки во многом определяет качественные показатели модулируемого усилителя и величину нелинейных искажений.

В процессе модуляции угол отсечки непрерывно меняется, однако в интервале его изменений $60^\circ < \theta < 120^\circ$ модуляционная характеристика практически линейна и нелинейные искажения малы. Поэтому желательно при-

нять угол отсечки в максимальном режиме равным $\theta_{\max} = 110-120^\circ$.

Такой выбор θ_{\max} устранит искажения, вызванные верхним нелинейным участком характеристики, однако не избавит от искажений, вносимых нижним участком (при $\theta < 60^\circ$).

Эти искажения можно уменьшить, используя в последующих усилителях режим усиления модулированных колебаний (УМК), в котором, как будет показано далее, нижний участок модуляционной характеристики будет иметь выпуклый характер и тем самым скомпенсирует вогнутость начального участка модуляционной характеристики модулируемого усилителя.

Если можно допустить менее глубокую модуляцию ($m \leq 60-70\%$), то выгоднее принять угол отсечки в режиме несущей частоты $\theta_n = 90^\circ$, в этом случае увеличится к. п. д. и искажения не будут превышать допустимых значений.

В ряде случаев при модуляции приходится отличать режим максимальной мощности от телеграфного. Если передатчик рассчитывается на длительную телеграфную и телефонную работу, то выбор $\theta_{\max} = 110-120^\circ$ при телеграфной работе энергетически невыгоден. В этом случае телеграфный режим рассчитывают отдельно с меньшим углом отсечки, а в схеме предусматривают переключения, обеспечивающие этот режим.

Усиление амплитудно-модулированных колебаний. При усилении модулированных колебаний на сетку лампы усилителя подается модулированное напряжение возбуждения, смещение же остается постоянным. В передатчиках малой и средней мощности усиление модулированных колебаний почти не применяется, так как в них модуляция осуществляется в выходном усилителе и надобность в усилении модулированных колебаний отпадает.

В передатчиках большой мощности модуляция в выходном усилителе часто бывает невыгодной из-за необходимости иметь мощный модулятор. Поэтому модуляцию осуществляют в одном из предварительных усилителей, а затем модулированные колебания усиливают.

Усиление модулированных колебаний не следует смешивать с сеточной модуляцией изменением напряжения возбуждения. Однако процессы в анодной цепи и энергетический режим возбуждения оказываются одинаковыми. Судить о процессах, происходящих в усилителе

модулированных колебаний, можно по колебательной характеристике, которая представляет зависимость первой гармоники анодного тока от амплитуды возбуждения.

Форма характеристики зависит от режима работы и угла отсечки. На рис. 124, а приведены колебательные характеристики для режимов I рода (кривая 1), II рода при $\theta = 90^\circ$ (кривая 2) и при $\theta < 90^\circ$ (кривая 3).

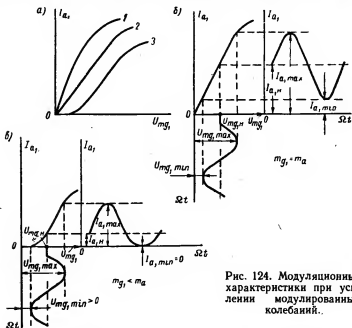


Рис. 124. Модуляционные характеристики при усилении модулированных колебаний.

В недонапряженном режиме форма характеристик близка к линейной, и амплитуда возбуждения в режиме несущей частоты должна выбираться на средней части линейного участка характеристик. Для уменьшения искажений необходимо также, чтобы форма огибающей амплитуды первой гармоники анодного тока соответствовала форме огибающей амплитуды возбуждения на сетке, поэтому коэффициенты глубины модуляции в цепи сетки и в цепи анода должны быть пропорциональны, т. е.

$$m_a = a m_{g1},$$

где a — коэффициент пропорциональности.

В зависимости от величины a возможны случаи увеличения ($a > 1$) или уменьшения ($a < 1$) глубины модуляции. При $a = 1$ глубина модуляции в сеточной и анодной цепях не меняется.

Наименьшие искажения наблюдаются при $\theta = 90^\circ$, в этом случае $a = 1$ и $m_a = m_g$ (рис. 124, б).

При $\theta < 90^\circ$ характеристика начинается не из начала координат и имеет нижний нелинейный участок, так как с изменением $U_{m\Omega}$ меняется не только высота импульса $i_{a\max}$, но и угол отсечки (последний не изменялся в предыдущем случае). Такой режим усиления сопровождается искажениями (рис. 124, в). Преимущество работы с углом отсечки $\theta < 90^\circ$ заключается в возможности углубления модуляции. Расчеты показывают, что при $\theta = 80^\circ$ $m_a \approx 1,4m_g$, а при $\theta = 70^\circ$ $m_a \approx 2m_g$. Углубление модуляции приводит к тому, что неглубокая модуляция в предыдущих усилителях передатчика превращается в глубокую в последующих.

Порядок выбора лампы и расчета УМК в наиболее распространенном случае работы (при $\theta_{\max} = 90^\circ$ и $m_a = m_g = 100\%$) такой же, как при сеточной модуляции смещения.

§ 53. Анодная модуляция

Основной особенностью анодной модуляции по сравнению с сеточной является необходимость иметь большую мощность модулятора.

В дальнейшем будем рассматривать анодную модуляцию в усилителях мощности, так как модуляция в генераторах применяется сравнительно редко, в основном в маломощных передатчиках.

При анодной модуляции напряжения возбуждения и смещения остаются постоянными, а анодное изменяется со звуковой частотой:

$$E_a = E_{a.н} + U_{m\Omega} \cos \Omega t = E_{a.н} (1 + m \cos \Omega t),$$

где $E_{a.н}$ — исходное анодное напряжение в режиме несущей частоты;

$U_{m\Omega}$ — амплитуда модулирующего напряжения;

$m = \frac{U_{m\Omega}}{E_{a.н}}$ — коэффициент глубины модуляции анодного напряжения.

При линейной модуляции амплитуда первой гармоники анодного тока и амплитуда тока контура меняются пропорционально изменению анодного напряжения и их глубина модуляции будет такой же, как и у анодного напряжения, т. е.

$$I_{a_1} = I_{a_1н} + \Delta I_{a_1} \cos \Omega t = I_{a_1н} (1 + m \cos \Omega t);$$

$$I_{k_1} = I_{k_1н} + \Delta I_{k_1} \cos \Omega t = I_{k_1н} (1 + m \cos \Omega t);$$

$$m = \frac{U_{m\Omega}}{E_{a_1н}} = \frac{\Delta I_{a_1}}{I_{a_1н}} = \frac{\Delta I_{k_1}}{I_{k_1н}} = \frac{I_{m\Omega}}{I_{a_1н}}$$

и постоянная составляющая анодного тока также будет изменяться:

$$I_{a_0} = I_{a_0н} + I_{m\Omega} \cos \Omega t = I_{a_0н} (1 + m \cos \Omega t),$$

где $I_{m\Omega}$ — амплитуда тока низкой частоты, проходящая в цепи лампы усилителя при модуляции.

Для получения глубокой модуляции необходимо, чтобы амплитуды модулирующего напряжения и тока низкой частоты были соответственно равны исходному анодному напряжению $E_{a_1н}$ и $I_{a_1н}$. При этом мощность модулятора будет приблизительно равна половине подводимой мощности в режиме несущей частоты и полезной мощности усилителя.

Режим работы модулируемого усилителя и модуляционные характеристики. Анодная модуляция, как и сеточная, возможна только в режиме II рода. В режиме I рода при изменении E_a изменяется только постоянная составляющая анодного тока, амплитуда первой гармоники остается постоянной. Это иллюстрирует рис. 125, а.

В режиме II рода, когда наблюдается отсечка анодного тока, при изменении E_a смещается динамическая характеристика и изменяются нижний угол отсечки анодного тока θ и высота импульса, а следовательно, и I_{a_1} .

Модуляция будет тем эффективнее, чем сильнее анодное напряжение влияет на положение характеристики лампы и форму импульса.

Смещение статических характеристик $i_a = \varphi(e_g)$ при изменении E_a зависит от проницаемости лампы D . Чем меньше D , тем слабее анодное напряжение влияет на анодный ток и тем меньше изменяется I_{a_1} при изменении E_a . Эти соображения справедливы для недонапряженного

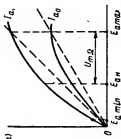
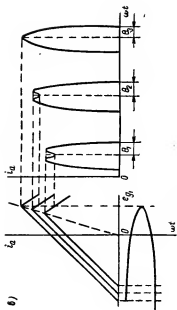
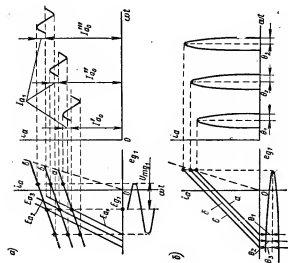


Рис. 125. Графики работы усилителя при анодной модуляции в различных режимах: а — I рода; б — в недонапряженном II рода; в — в перенапряженном II рода; г — модуляционная характеристика.

режима, в котором у ламп с малой проницаемостью эффективная анодная модуляция невозможна (рис. 125, б).

При работе лампы в перенапряженном режиме изменение анодного напряжения приводит к резким изменениям формы и высоты импульса анодного тока — появляется провал в импульсе. В результате меняется амплитуда первой гармоники и постоянная составляющая анодного тока. На рис. 125, в приведены динамические характеристики лампы в перенапряженном режиме для различных анодных напряжений и форм импульсов анодного тока. Из графиков следует, что если максимальное анодное напряжение при выбранных E_{g1} и U_{mg1} соответствует критическому режиму, то при уменьшении E_a режим делается перенапряженным, и чем больше напряженность режима, тем меньше высота импульса и больше провал в нем.

Модуляционная характеристика при анодной модуляции и зависимость постоянной составляющей анодного тока от анодного напряжения для ламп с малой проницаемостью (рис. 125, г) подтверждают справедливость приведенных соображений о выборе режима.

Модуляционная характеристика в перенапряженном режиме почти на всем протяжении изменения E_a оказывается достаточно линейной, за исключением небольшой выпуклости при малых E_a , вызванной некоторым увеличением коэффициента использования анодного напряжения, и нелинейного участка при переходе в недонапряженный режим. Примерно такой же вид имеет и зависимость

$$I_{a0} = \varphi_1(E_a).$$

При работе модулируемого усилителя с автоматическим смещением в цепи сетки по мере уменьшения анодного тока возрастает сеточный ток и начальное отрицательное смещение $E_{g1} = -I_{g0}R_{g1}$. Начальная рабочая точка переходит влево, что приводит к уменьшению угла отсечки и высоты импульса. Деформация импульса анодного тока происходит менее резко. Модуляционная характеристика оказывается более линейной, и ее вполне можно заменить прямой линией. Автоматическое смещение облегчает режим работы цепи сетки, так как увеличение смещения при больших токах сетки стабилизирует этот ток и уменьшает мощность потерь сеточной цепи.

Анализ режимов работы и модуляционных характеристик показывает, что для неискаженной анодной модуляции режим максимальной мощности, соответствующий верхней используемой точке, следует брать критическим. Тогда в процессе модуляции модулируемый усилитель будет работать на линейном участке характеристики. Режим несущей частоты установится в средней части линейного участка и будет перенапряженным. Такому режиму соответствует исходное напряжение $E_{a.н}$. Амплитуда модулирующего напряжения будет равна разности максимального и исходного анодных напряжений (рис. 125, г):

$$U_{m\Omega} = E_{a. \max} - E_{a. н}.$$

Режим максимальной мощности при анодной модуляции уже не будет телеграфным, как при сеточной, поскольку ему соответствует не исходное, а максимальное анодное напряжение:

$$E_{a. \max} = E_{a. н} (1 + m).$$

Чтобы телеграфный режим (при исходном анодном напряжении $E_{a.н}$) стал критическим, а не перенапряженным, необходимо при переходе к телеграфной работе изменить его напряженность и перевести модулируемый усилитель из перенапряженного режима в критический, сохранив значение исходного анодного напряжения. Это осуществляется уменьшением анодной нагрузки, т. е. уменьшением связи лампы с контуром или увеличением связи промежуточного контура с антенной (в выходных усилителях).

Энергетические соотношения при анодной модуляции. Рассмотрим энергетические соотношения в модулируемом усилителе, полагая зависимости $I_{a_1} = \varphi(E_a)$; $I_{a_2} = \varphi_1(E_a)$ линейными и принимая анодное напряжение в режиме несущей частоты равным номинальному напряжению лампы.

В режиме максимальной мощности

$$\left. \begin{aligned} E_{a. \max} &= E_{a. н} (1 + m), \\ I_{a_1. \max} &= I_{a_1. н} (1 + m), \\ I_{a_2. \max} &= I_{a_2. н} (1 + m). \end{aligned} \right\} \quad (146)$$

Определим мощности в этом режиме:

$$\left. \begin{aligned} P_{0 \max} &= E_{a \max} I_{a \max} = P_{0н} (1 + m)^2; \\ P_{\sim \max} &= \frac{1}{2} I_{a \max}^2 R_a = P_{\sim н} (1 + m)^2; \\ P_{a \max} &= P_{0 \max} - P_{\sim \max} = P_{ан} (1 + m)^2. \end{aligned} \right\} \quad (147)$$

К. п. д. усилителя

$$\eta_{\max} = \frac{P_{\sim \max}}{P_{0 \max}} = \frac{P_{\sim н}}{P_{0н}} = \eta_{н} = \eta. \quad (148)$$

Уравнения (146) и (148) показывают, что к. п. д. модулируемого усилителя в различных режимах не меняется. Работа с постоянным к. п. д. — важное преимущество анодной модуляции по сравнению с сеточной, причем из-за увеличения коэффициента использования анодного напряжения ($\xi = 0,95-1$) к. п. д. получается более высоким ($\eta \approx 0,7-0,8$), чем в максимальном режиме при сеточной модуляции ($\eta \approx 0,6-0,7$).

Лампа усилителя должна обеспечить мощность в максимальном режиме

$$P_{\sim \max} = P_{\sim н} (1 + m) = P_{\sim н} (1 + m)^2.$$

По этой мощности выбирают лампу и определяют ее номинальную мощность

$$P_{\sim н} = \frac{P_{\sim \max}}{1 + m} = P_{\sim н} (1 + m) \approx 2P_{\sim н}.$$

Таким образом, номинальная мощность лампы при анодной модуляции оказывается вдвое меньше, чем при сеточной (при одинаковой мощности несущей частоты).

Определим мощность в телефонном режиме. Полезная мощность складывается из мощности несущей частоты и боковых частот:

$$P_{\tau} = P_{\sim н} + 2P_{\phi} = P_{\sim н} + \frac{1}{2} m^2 P_{\sim н},$$

подводимая мощность

$$P_{0\tau} = \frac{P_{\tau}}{\eta_{\tau}} = \frac{P_{\sim н}}{\eta_{\tau}} + \frac{1}{2} m^2 \frac{P_{\sim н}}{\eta_{\tau}} = P_{0н} + \frac{1}{2} m^2 P_{0н},$$

так как

$$\eta_{\tau} = \eta_{\max} = \eta_{н} = \eta.$$

В то же время общая мощность, потребляемая усилителем, складывается из мощности, потребляемой от источника постоянного анодного напряжения, и мощности, подводимой модулятором:

$$P_{от} = P_{он} + P_{\Omega} = P_{он} + \frac{1}{2} U_{m\Omega} I_{m\Omega}.$$

Сравнивая уравнения $P_{от}$, видим, что

$$P_{\Omega} = \frac{1}{2} U_{m\Omega} I_{m\Omega} = \frac{1}{2} m^2 P_{он},$$

при $m = 100\%$ и $\eta_{н} = \eta = 0,7-0,8$

$$P_{\Omega} = \frac{1}{2} P_{он} = \frac{1}{2} \frac{P_{\sim н}}{\eta} \approx 0,7 P_{\sim н},$$

т. е. полезная мощность модулятора должна составлять приблизительно 70% мощности модулируемого усилителя в режиме несущей частоты.

Определим потери на аноде в телефонном режиме. Ввиду того что к. п. д. усилителя при модуляции не меняется, подводимая мощность при увеличении полезной за счет мощности боковых частот возрастает уже за счет мощности модулятора. Потери на аноде увеличиваются на $\Delta P_a = \frac{1}{2} m^2 P_{\sim н}$ и будут равны

$$P_{a.т} = P_{от} - P_{т} = P_{он} (1 + 0,5m^2) - \\ - P_{\sim н} (1 + 0,5m^2) = P_{a.н} (1 + 0,5m^2);$$

при $m = 100\%$

$$P_{a.т} \approx 1,5 P_{a.н} = 1,5 P_{\sim н} \frac{1-\eta}{\eta} \approx 0,6 P_{\sim н},$$

т. е. на 50% больше, чем в режиме несущей частоты.

Телефонный режим — наиболее тяжелый для анодов ламп, поэтому лампы проверяют на максимальную мощность рассеяния в этом режиме (а не в несущем) по формуле

$$P_{a.т} \approx 0,6 P_{\sim н} \leq P_{a. доп.}$$

Максимальная мощность потерь наблюдается в режиме максимальной мощности:

$$P_{a \max} = P_{a.н} (1 + m)^2 \approx 4P_{a.н} \approx 1,7P_{\sim н}$$

(эта мощность не опасна для лампы, так как выделяется на аноде в короткие промежутки времени).

Таким образом, мощность, подводимая модулятором, расходуется на создание боковых частот и дополнительные потери на аноде. Действительно, сумма указанных мощностей равна мощности модулятора:

$$\begin{aligned} 2P_6 + \Delta P_a &= \frac{1}{2} m^2 P_{\sim н} + \frac{1}{2} m^2 P_{a.н} = \\ &= \frac{1}{2} m^2 (P_{\sim н} + P_{a.н}) = \frac{1}{2} m^2 P_{0н} = P_{\Omega}. \end{aligned}$$

Чем выше к. п. д. усилителя, тем большая часть энергии модулятора затрачивается на создание боковых частот и меньшая часть идет на увеличение потерь. Данное явление принципиально отличает анодную модуляцию от сеточной.

При сеточной модуляции мощность боковых частот создается не за счет энергии модулятора, а за счет разгрузки анода лампы усилителя. Поэтому мощность потерь в телефонном режиме при сеточной модуляции меньше, чем в режиме несущей частоты.

Работа модулятора при анодной модуляции. Модулятор является усилителем низкой частоты и должен работать с минимальными нелинейными искажениями.

При работе модулятора в режиме I рода к. п. д. оказывается низким и мощность потерь на аноде резко возрастает. Максимальные потери на аноде модулятора $P_{a\Omega}$ наблюдаются при отсутствии модулирующего напряжения на сетке лампы, когда $P_{\Omega} = 0$ и вся мощность, подводимая к анодной цепи, затрачивается на аноде лампы.

Расчеты показывают, что в этом случае при наиболее вероятных к. п. д. $\eta_{\Omega} = 0,25$ и $\eta = 0,7$ и $m = 1$

$$P_{a\Omega} = P_{0\Omega} \approx 6P_{a.н}.$$

Мощность $P_{a\Omega}$ оказывается чрезмерно большой. В случае выбора лампы модулятора на ту же номинальную мощность, что и усилителя, приходится использовать несколько ламп модулятора, а это невыгодно.

При работе модулятора в режиме II рода условия работы лампы будут менее тяжелыми. В этом случае

$$P_{a\Omega} = P_{a0} - P_{\Omega} = P_{\Omega} \frac{1 - \eta_{\Omega}}{\eta_{\Omega}}. \quad (149)$$

Подставляя в уравнение (149) значение P_{Ω} , выраженное через мощность потерь в телефонном режиме, получим при $m = 1$ и $\eta = 0,7$:

$$P_{a\Omega} \approx P_{a.т} \frac{1 - \eta_{\Omega}}{\eta_{\Omega}}.$$

Когда к. п. д. модулятора в режиме II рода равен 50 %, то

$$P_{a\Omega} \approx P_{a.т}.$$

Таким образом, потери на анодах ламп модулятора и усилителя равны, что позволяет использовать в них одинаковое число ламп. Недостатком модулятора, работающего в режиме II рода, является большой уровень нелинейных искажений, однако при использовании в модуляторе двухтактной схемы искажения резко снижаются.

Нагрузкой модулятора служит сопротивление анодной цепи усилителя току звуковой частоты

$$R_{\Omega} = \frac{U_{m\Omega}}{I_{m\Omega}}.$$

При анодной модуляции используется линейный участок модуляционной характеристики, поэтому коэффициент глубины модуляции одинаков для токов и напряжений:

$$m = \frac{U_{m\Omega}}{E_{a.н}} \approx \frac{I_{m\Omega}}{I_{a.н}}.$$

Нагрузку модулятора можно считать чисто активной и равной сопротивлению усилителя постоянному току:

$$R_{\Omega} = R_{\infty} = \frac{E_{a.н}}{I_{a.н}}.$$

Эти соображения позволяют представить эквивалентную схему модулятора в виде эквивалентного генератора напряжения или тока, работающего на активную нагрузку R_{∞} .

Схемы анодной модуляции. Анодная модуляция осуществляется в выходных усилителях передатчиков. В передатчиках малой и средней мощностей широко использовались схемы с одноктактными трансформаторными модуляторами, работающими в режиме I рода. Эти схемы в настоящее время почти не применяются. В передатчиках большой мощности широкое распространение получили

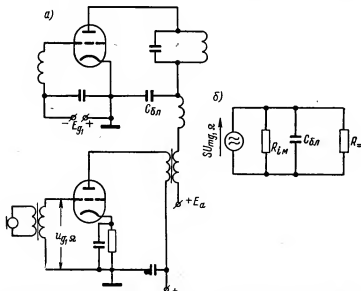


Рис. 126. Схемы анодной модуляции: а — с трансформаторным модулятором; б — эквивалентная трансформаторного модулятора.

схемы двухтактных модуляторов, работающих в режиме II рода (схема такого модулятора показана ниже на рис. 127).

Недостаток трансформаторной схемы (рис. 126, а) — в наличии подмагничивания обмоток модуляционного трансформатора постоянными составляющими анодного тока модулятора и усилителя, что требует увеличения сечения сердечника трансформатора.

Модуляционный трансформатор, используемый в этой схеме, является источником частотных искажений, которые определяются как в обычном трансформаторном

усилителе низкой частоты. Кроме того, индуктивность рассеяния искажает форму выходного напряжения и является источником дополнительных нелинейных искажений. Следовательно, модуляционные трансформаторы должны обладать возможно меньшей индуктивностью рассеяния.

Методика расчета усилителя мощности при анодной модуляции. Расчет схемы анодной модуляции состоит из расчетов модулируемого усилителя и модулятора.

Модулируемый усилитель рассчитывается в перенапряженном режиме. Исходными данными для расчета служат мощность в режиме несущей частоты $P_{\sim n}$ и коэффициент глубины модуляции m . Вначале выбирают исходное анодное напряжение и лампы усилителя.

Выбор анодного напряжения. Когда исходное анодное напряжение выбирается равным номинальному напряжению лампы, то в момент максимальной мощности при $m = 100\%$ лампа находится под удвоенным напряжением и ее полезная мощность оказывается вдвое больше номинальной. Это представляет значительные выгоды по сравнению с сеточной модуляцией, в которой максимальная мощность должна быть равна номинальной мощности ламп.

При таком выборе анодного напряжения в мощных лампах возможен пробой, так как максимальное мгновенное анодное напряжение будет примерно в четыре раза больше номинального:

$$e_{a \max} \approx E_{a \max} + U_{mk \max} = 2E_{a. n} + 2U_{mk. n}.$$

Для сохранения лампы при кратковременных пробоях, когда $E_a \geq 8 \text{ кВ}$, в цепь постоянной составляющей анодного тока включают ограничительное сопротивление. На практике исходное анодное напряжение берут равным номинальному ($E_{a. n} = E_a$).

Выбор лампы усилителя. Лампа усилителя должна обеспечить мощность максимального режима (при максимальном анодном напряжении), в то же время мощность рассеяния на аноде в наиболее тяжелом для него телефонном режиме не должна превышать допустимой величины:

$$P_{\sim n} \geq \frac{1}{2} P_{\sim \max} \approx 2P_{\sim n}; \quad P_{a. \text{ доп}} \geq P_{a. \text{ т}} \approx 0,6P_{\sim n}.$$

Эти соотношения и являются основными условиями выбора лампы.

Выбор угла отсечки. Угол отсечки анодного тока выбирается в режиме максимальной мощности из энергетических соображений, так как он существенно не влияет на форму модуляционных характеристик. Для триода обычно принимают $\theta \approx 70-90^\circ$.

Выбрав лампу и задавшись углом отсечки, переходят к расчету режима максимальной мощности.

Расчет режима максимальной мощности. Расчет на заданную мощность проводится в обычном порядке, характерном для критического режима, с той особенностью, что коэффициент использования анодного напряжения часто увеличивают на 1—3% для обеспечения запаса перенапряженности. При этом колебательная мощность практически не меняется и несколько увеличивается постоянство напряженности режима в процессе модуляции.

В результате расчета получают все электрические данные режима. Затем переходят к расчету усилителя в режиме минимальной мощности при $E_{a \min} = 0$.

В этом режиме анодный ток будет равен нулю, а сеточный ток — суммарному.

Этот режим характеризуется максимальной мощностью возбуждения:

$$(P_{\text{в min}})_{\text{max}} = \frac{1}{2} U_{m\Omega} I_{g1 \min}.$$

Расчет режима несущей частоты. Этот расчет оказывается очень трудоемким. Наиболее точные результаты дает графоаналитический метод последовательных приближений, принцип которого заключается в том, что задаются приближенным значением амплитуды колебательного напряжения

$$U_{mk} = (1 - 1,1) \xi_{\text{max}} E_a$$

и вычисляют углы отсечки суммарного и сеточного токов и составляющие суммарного, сеточного и анодного токов [13].

Из расчета режима усилителя определяют исходные данные для расчета модулятора:

$$R_{\text{н}} = \frac{E_{a \cdot \text{н}}}{I_{a \cdot \text{н}}}, \quad U_{m\Omega} = m E_{a \cdot \text{н}}.$$

Модулятор рассчитывают как усилитель низкой частоты. Мощность, необходимая для возбуждения усилителя, определяется в режиме минимальной мощности, когда сеточные токи максимальны.

Телеграфный режим при анодной модуляции. В отличие от сеточных видов модуляции телеграфный режим усилителей с анодной модуляцией уже не является максимальным.

В телеграфном режиме лампа рассчитывается на номинальную мощность

$$P_{\text{тлг}} = P_{\sim N} = P_{\sim n}(1 + m)$$

при номинальном анодном напряжении $E_{\text{н. тлг}} = E_{\text{а. н}} = E_{\text{а.}}$

Так как телеграфный режим выбирается критическим или слабопереапряженным, то к. п. д. и коэффициент использования анодного напряжения оказываются того же порядка, что и в режиме несущей частоты, а мощность рассеяния на аноде (как и колебательная мощность), будет больше, чем в режимах несущей частоты и телефонном:

$$P_{\text{а. тлг}} = P_{\text{а. н}}(1 + m) \approx 2P_{\text{а. н}}$$

или

$$P_{\text{а. тлг}} = \frac{P_{\text{а. т}}(1 + m)}{1 + \frac{1}{2}m^2} \approx \frac{4}{3}P_{\text{а. т}} = \frac{2}{3}P_{\sim n}.$$

Поэтому при выборе ламп модулируемого усилителя телефоно-телеграфных передатчиков с анодной модуляцией необходимо, чтобы, кроме условия $P_{\sim N} = P_{\sim n}(1 + m)$, выполнялось и условие

$$P_{\text{а. доп}} \geq P_{\text{а. тлг}} \text{ или } P_{\text{а. доп}} \geq \frac{2}{3}P_{\sim n}.$$

Для перевода усилителя из телефонного режима в телеграфный необходимо уменьшить напряженность режима, что достигается увеличением связи промежуточного контура с антенным. При этом эквивалентное сопротивление уменьшится до величины $R_{\text{э}} = R_{\text{э. кр.}}$

Контроль перевода осуществляют по максимуму тока в антенне, который в телеграфном режиме будет в $\sqrt{1 + m}$ раз больше, чем в режиме несущей частоты.

Расчет телеграфного режима производится обычным способом.

Указанные методы анодной модуляции, как правило, используются в передатчиках достаточно большой мощности.

Комбинированная анодная модуляция усилителей мощности на триодах. В процессе анодной модуляции происходит перераспределение суммарного тока между анодом и управляющей сеткой, и с увеличением перенапряженности режима увеличивается ток управляющей сетки, что приводит к ее перегрузке. По этой причине в современных схемах передатчиков простая анодная модуляция (при постоянных напряжениях смещения и возбуждения) не применяется. В настоящее время используют только комбинированные методы модуляции с автоматическим изменением напряжений в цепи сеток. При этом различают следующие типы модуляции.

А. Двойная комбинированная анодная модуляция с автоматическим смещением в цепи управляющей сетки. Такое смещение позволяет избавиться от мощного источника фиксированного смещения и, кроме того, уменьшает перегрузку сетки вследствие увеличения — E_{g_1} с увеличением перенапряженности режима, повышает к. п. д. вследствие уменьшения угла отсечки в режиме несущей частоты и спрямляет нижний выпуклый участок модуляционной характеристики.

Эта модуляция протекает при переменном смещении сетки. Изменение анодного напряжения приводит к перераспределению суммарного тока лампы, а изменения сеточного тока — к изменению смещения управляющей сетки $E_{g_1} = -I_{g_1,0} R_{g_1}$. При этом в точке максимального режима, который выбирается критическим или слабоперенапряженным, наблюдается минимальное отрицательное смещение $E_{g_1, \max} = -I_{g_1,0 \max} R_{g_1}$, а максимальное смещение — в минимальном режиме при $E_{a \min}$:

$$E_{g_1, \min} = -I_{g_1,0 \min} R_{g_1}.$$

Такой характер изменения смещения сглаживает изменения сеточного тока, так как с ростом $I_{g_1,0}$ увеличение отрицательного смещения тормозит рост этого тока, и напряженность режима в процессе двойной комбинированной модуляции меняется в значительно меньшей степени, чем при простой модуляции. Режим усилителя все

время остается достаточно близким к критическому. В результате модуляционная характеристика будет более линейной и пройдет ниже характеристики при простой модуляции.

Б. *Тройная комбинированная анодная модуляция*, при осуществлении которой, кроме автоматического изменения смещения управляющей сетки, производят принудительно модуляцию напряжения возбуждения, применяя анодную модуляцию в возбудителе модулируемого усилителя. При этом напряженне возбуждения должно меняться синхронно и синфазно с анодным напряженнем модулируемого усилителя.

Такая комбинированная модуляция позволяет устранить некоторые недостатки, связанные с необходимостью поддержания постоянства амплитуды напряжения возбуждения, а именно: 1) необходимость использования мощного возбудителя из-за больших и непостоянных по величине сеточных токов модулируемого усилителя; 2) появление паразитной частотной и фазовой модуляции, обусловленной расстройкой контура возбудителя, которая появляется вследствие изменения входного сопротивления модулируемого усилителя, шунтирующего контур возбудителя.

При тройной комбинированной модуляции принудительно изменяют анодное напряженне и амплитуду напряжения возбуждения модулируемого усилителя:

$$E_a = E_{a,н} (1 + m_a \cos \Omega t),$$

$$U_{mg_1} = U_{mg_1,н} (1 + m_g \cos \Omega t),$$

где E_a , U_{mg_1} — анодное напряженне и амплитуда напряжения возбуждения модулируемого усилителя соответственно;

m_a , m_g — коэффициенты глубины модуляции в анодной и сеточной цепях соответственно;

Ω — угловая частота модуляции.

Наличие в цепи управляющей сетки сопротивления смещения приводит к дополнительной автоматической модуляции по этой сетке.

Для осуществления тройной модуляции необходимо дополнительно осуществить анодную модуляцию в усилителе, возбуждающем модулируемый. Эта модуляция осуществляется от того же источника, что и в выходном

усилителе, и приводит к изменению анодного напряжения возбудителя а, следовательно, и напряжения возбуждения модулируемого усилителя.

Низкий уровень сеточных токов — важное преимущество комбинированной модуляции, которое позволяет значительно снизить мощность возбудителя.

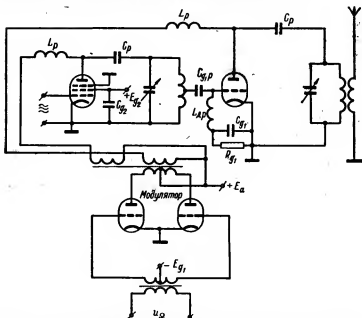


Рис. 127. Схема тройной комбинированной анодной модуляции с двухтактным модулятором.

Одна из возможных схем тройной комбинированной модуляции показана на рис. 127. В этой схеме используется двухтактный модулятор, а принудительная модуляция напряжением возбуждения в предоконечном усилителе достигается использованием в нем анодной модуляции от общего с выходным усилителем модулятора.

К методам тройной анодной модуляции относится схема автоанодной модуляции, предложенная Н. Г. Кругловым в 1943 г. В настоящее время она широко используется как в мощных радиовещательных передатчиках, так и в передатчиках средней мощности.

Опыты показали, что переход на автоанодную модуляцию позволяет увеличить мощность в антенне на 70—100 % и повысить промышленный к. п. д. до 35—40 % при сохранении электроакустических показателей передатчиков на допустимом уровне.

Принцип автоанодной модуляции заключается в том, что в мощном модулируемом усилителе происходит одновременное изменение анодного напряжения, амплитуды напряжения возбуждения и сеточного смещения, причем амплитуда напряжения возбуждения и анодное напряже-

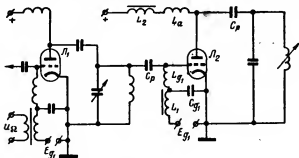


Рис. 128. Схема автоанодной модуляции.

ние изменяются синфазно, а смещение на сетке — противофазно. В результате такого воздействия на лампу происходят синфазные изменения амплитуды первой гармоники анодного тока и анодного напряжения, т. е. анодная модуляция.

В качестве примера рассмотрим работу упрощенной принципиальной схемы автоанодной модуляции (рис. 128). В этой схеме предварительный усилитель, построенный на лампе Λ_1 , подвергается сеточной модуляции смещением, поэтому напряжение возбуждения выходного усилителя оказывается модулированным.

В цепи сетки и анода выходного усилителя на лампе Λ_2 включены модуляционные дроссели L_1 и L_2 , обладающие большой индуктивностью. Выходной усилитель работает в перенапряженном режиме с углом отсечки анодного тока $\theta = 120—140^\circ$ и коэффициентом использования анодного напряжения $\xi = 1$.

Изменение амплитуды напряжения возбуждения в такт с частотой модуляции вызывает изменение постоянной

составляющей сеточного тока $I_{g,0}$ выходного усилителя. На дросселе L_1 возникает дополнительное напряженное смещения, противофазное изменениям вызвавшего его тока $I_{g,0}$. Дополнительное напряженное смещения будет изменять угол отсечки θ анодного тока, причем увеличенные амплитуды напряжения возбуждения U_{mg_1} и тока $I_{g,0}$ приведет к уменьшению смещения и угла отсечки, а уменьшение U_{mg_1} и $I_{g,0}$ — к увеличению смещения и угла отсечки. Изменение угла отсечки вызывает изменения составляющей анодного тока I_{a_0} и приводит к появлению на анодном дросселе дополнительного анодного напряжения, противофазного изменениям I_{a_0} , т. е. находящегося на фазе с изменениями амплитуды напряжения возбуждения. В результате изменения анодного напряжения в перенапряженном режиме изменится амплитуда первой гармоники анодного тока, т. е. произойдет модуляция.

Преимущества схемы автоанодной модуляции заключаются в возможности значительно снизить мощность предоконечного усилителя и мощность модулятора при сохранении основного преимущества анодной модуляции — высокого и постоянного к. п. д.

К недостаткам автоанодной модуляции относятся значительные искажения модуляционной характеристики и вызванная этим несимметрия модуляции. Для устранения недостатков включают специальные компенсирующие лампы и применяют схемы отрицательной обратной связи. Последние исследования показали, что использование глубокой отрицательной обратной связи позволяет снизить искажения и упростить схему.

Сравнение методов сеточной и анодной модуляции. Каждый из указанных методов модуляции имеет свои достоинства и недостатки. Анодная модуляция, например, требует вдвое меньшую номинальную мощность ламп усилителя, чем сеточная. Мощность анодного модулятора, работающего в режиме II рода, будет того же порядка, что и мощность усилителя. Суммарная мощность ламп усилителя и модулятора оказывается примерно такой же, как и при сеточной модуляции. У анодных модуляторов, работающих в режиме I рода, номинальная мощность модуляторных ламп будет более чем в два раза превышать номинальную мощность ламп усилителя, и в этом случае общая номинальная мощность ламп будет больше, чем при

сеточной модуляции. Поэтому в современных схемах анодных модуляторов режим I рода не используется.

С точки зрения подводимой мощности и к. п. д. анодная модуляция имеет значительные преимущества перед сеточной, но только при работе модулятора в режиме II рода (обычно в двухтактной схеме). Анодная модуляция характеризуется меньшими нелинейными искажениями, так как ее модуляционная характеристика более линейна, чем при сеточной модуляции.

В диапазонных передатчиках важное значение имеет постоянство мощности в диапазоне. В этом случае анодная модуляция, которая осуществляется в перенапряженном режиме, более выгодна, так как обеспечить перенапряженный режим в диапазоне волн значительно легче, чем недонапряженный. Кроме того, перенапряженный режим характеризуется большим постоянством колебательного напряжения на контуре и полезной мощности.

К недостаткам анодной модуляции следует отнести большую, чем при сеточной модуляции, мощность и габариты модуляционного устройства и более высокие мгновенные напряжения, действующие в модулируемом усилителе.

Применение анодной модуляции нецелесообразно в маломощных и малогабаритных телефонно-телеграфных передатчиках, а также в передатчиках, работающих в тяжелых атмосферных условиях (повышенная влажность, низкое давление), где более вероятен пробой изоляции деталей при высоких анодных напряжениях.

§ 54. Модуляция в усилителях мощности на тетрадах и пентодах

Сеточная модуляция смещением. Сеточная модуляция смещением в тетрадах и пентодах происходит так же, как и в триодах. Все выводы и расчеты, приведенные для триодов, справедливы и в данном случае.

Мощность модулятора при модуляции в усилителях на тетрадах и пентодах меньше, чем в усилителях на триодах, из-за меньшего тока управляющей сетки.

При модуляции на управляющую сетку в экранированных лампах цепь экранной сетки должна иметь небольшое сопротивление низкочастотной составляющей экранного тока, которая появляется при модуляции.

В противном случае напряжение на экранной сетке будет изменяться со звуковой частотой, что приведет к некоторой демодуляции. По этим соображениям гасящее сопротивление в цепи экранной сетки должно быть малым или экранную сетку следует питать от потенциометра с небольшим сопротивлением.

Модуляция на экранную сетку. Модуляция изменением напряжения экранной сетки подобна сеточной модуляции смещением. Экранная модуляция, как и сеточная, производится в недонапряженном режиме, и все выводы для сеточной модуляции можно использовать при расчете экранной. Форма модуляционной характеристики $I_{a1} = \Phi(E_{g1})$ зависит от величины токов управляющей и экранной сеток и может быть получена достаточно линейной.

К недостаткам экранной модуляции относятся:

1) необходимость иметь большие мощности и напряжения модулятора; это объясняется тем, что ток экранной сетки значительно больше тока управляющей, а модуляционная характеристика более пологая, чем при сеточной модуляции, что требует большого модулирующего напряжения;

2) изменение напряжения экранной сетки в пределах $e_{g1, \max} < E_{g1} < e_{g1, \min}$ для обеспечения недонапряженного режима, что ограничивает предельную глубину модуляции;

3) появление дополнительного источника частотных искажений — емкости, блокирующей экранную сетку по высокой частоте.

Из-за указанных недостатков экранная модуляция на практике не применяется.

Анодно-экранная модуляция. Простая анодная модуляция в усилителях на тетрадах и пентодах обычно не применяется, так как она протекает со значительными токами экранной сетки, приводящими к перегрузкам последней.

С целью устранения перегрузки экранной сетки применяют комбинированные методы анодной модуляции, когда анодная модуляция дополняется модуляцией по экранной и управляющей сеткам.

Следует отметить, что наличие автоматического смещения в цепи управляющей сетки слабо влияет на форму модуляционной характеристики (из-за малой величины

модулирующего напряжения через гасящее сопротивление R_{g1} . При автоматической модуляции гасящее сопротивление R_{g1} подключается к плюсу источника питания ($+E_a$). Модуляционные характеристики при принудительной и автоматической модуляции и для переходного режима представлены на рис. 130.

Модуляция на защитную сетку. Модуляция на защитную сетку осуществляется изменением напряжения этой сетки при постоянных напряжениях E_{g1} , E_{g2} , U_{tg1} и E_a .

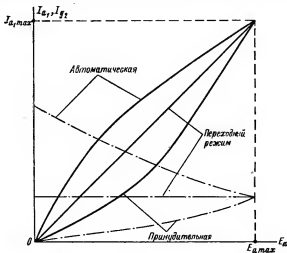


Рис. 130. Модуляционные характеристики анодной модуляции (автоматической, принудительной и переходного режима).

— I_{a1} ; — — — I_{g2} .

Увеличение напряжения E_{g2} вызывает возрастание токов защитной сетки, падение токов управляющей и экранной сеток и небольшое изменение анодного тока из-за слабого влияния напряжения E_{g2} на суммарный ток в недонапряженном режиме по экранной сетке. Очевидно, что в таком режиме модуляция на защитную сетку малоэффективна.

При увеличении отрицательного напряжения $-E_{g2}$ лампа переходит в перенапряженный режим ($I_{g2} = 0$), токи управляющей и экранной сеток увеличиваются,

а анодный ток уменьшается, и при некотором напряжении $-E'_{g_3}$ лампа запирается и $I_{a_1} = 0$.

На рис. 131, а показаны зависимости токов в лампе от напряжения на защитной сетке. Зависимость $I_{a_1} = \varphi(E_{g_3})$ является статической модуляционной характеристикой. Модуляция на защитную сетку эффективно

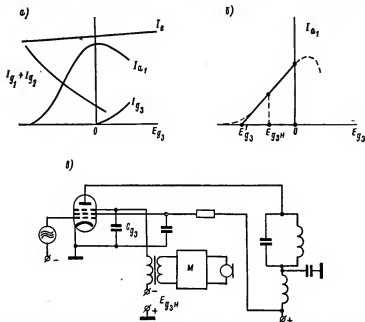


Рис. 131. Модуляция на защитную сетку в усилителе на пентоде: а — зависимости токов от напряжения защитной сетки; б — модуляционная характеристика; в — схема модуляции.

осуществляется в перенапряженном режиме по экранной сетке. Модуляционная характеристика оказывается достаточно линейной и при расчетах заменяется прямой.

Режим максимальной мощности выбирают при нулевом или небольшом положительном напряжении на защитной сетке, и модуляция практически происходит без сеточных токов. В результате мощность, потребляемая от модулятора, оказывается очень малой и модуляция часто осуществляется непосредственно от микрофона через

микрофонный трансформатор. В этом преимущество данной модуляции по сравнению с сеточной модуляцией смещением.

Рассмотрим расчетные соотношения при модуляции. На рис. 131, б приведена идеализированная модуляционная характеристика с точкой максимального режима, соответствующей $E_{g_1} = 0$. Напряжение запирающей защитной сетки можно определить из условия равенства нулю управляющего напряжения эквивалентного тетрода, у которого анодное напряжение пересчитано на защитную сетку:

$$E_y \approx E_{g_1} + D_{ag_1} E_a = 0,$$

откуда

$$E_{g_1} = E'_{g_1} \approx -D_{ag_1} E_a = -\frac{E_a}{|\mu_{ag_1}|},$$

где $D_{ag_1} = \frac{1}{|\mu_{ag_1}|}$ — проницаемость защитной сетки. Проницаемость обычно невелика ($D_{ag_1} \approx 0,1-0,2$), так как защитная сетка делается редкой.

Напряжение защитной сетки в телефонном режиме оказывается сравнительно большим (десятки и сотни вольт) и определяется по формуле

$$E_{g_{1n}} \approx \frac{E_{g_{1\max}} + mE'_{g_1}}{1+m}.$$

Например, при $E_a = 1000$ в, $D_{ag_1} = 0,15$, $m = 1$ и $E_{g_{1\max}} = 0$

$$E_{g_{1n}} = \frac{E'_{g_1}}{1+m} = -\frac{D_{ag_1} E_a}{1+m} = -\frac{0,15 \cdot 1000}{2} = -75 \text{ в.}$$

Амплитуда модулирующего напряжения

$$U_{m\Omega} = |E_{g_{1n}}| - |E_{g_{1\max}}|,$$

при $E_{g_{1\max}} = 0$

$$U_{m\Omega} = |E_{g_{1n}}|,$$

т. е. также оказывается весьма значительной.

При простой модуляции на защитную сетку обычно наблюдается резкое увеличение потерь в цепи экраниой

сетки, что приводит к ее перегрузке. Поэтому на практике применяют комбинированные методы модуляции с автоматическим смещением в цепи управляющей сетки и гасящим сопротивлением в цепи экранной сетки.

При переходе к режиму минимальной мощности напряжение увеличивается и токи экранной и управляющей сеток растут. Наличие сопротивлений в цепях этих сеток замедляет рост их токов и приводит к снижению потенциала на них.

Наибольшее влияние на режим работы оказывает сопротивление в цепи экранной сетки. Ток этой сетки уменьшается в полтора-два раза.

Влияние изменения автоматического смещения управляющей сетки, ток которой также несколько увеличивается с увеличением $-E_{g1}$, благоприятно сказывается на режиме работы и форме модуляционной характеристики, которая в этом случае более линейна, чем при сеточной модуляции смещением.

В телефоно-телеграфных передатчиках переход из режима телефонии в режим телеграфии осуществляется изменением смещения защитной сетки от $-E_{g2н}$ до $E_{g2 макс}$.

К недостаткам модуляции на защитную сетку относятся значительное отрицательное исходное напряжение $-E_{g2н}$ и несколько большая мощность возбуждения (из-за увеличения токов управляющей сетки).

Блокировочный конденсатор C_{g2} может вызвать частотные искажения, поэтому его емкость не должна быть чрезмерно большой.

§ 55. Однополосная модуляция

Однополосная модуляция (ОМ) — одна из наиболее перспективных современных методов модуляции. Впервые на возможность такой модуляции указал В. М. Шулейкин в 1915—1916 гг., однако практическое осуществление однополосной модуляции вызвало целый ряд технических трудностей, преодолеть которые оказалось возможным только в последние годы.

Принцип действия однополосной модуляции заключается в том, что в передатчике из всего частотного спектра, полученного при амплитудной модуляции и равного по ширине удвоенному спектру управляющего сигнала, выделяется одна боковая полоса частот, колебания которой излучаются передающей антенной.

На рис. 132, *а* показаны частотные спектры колебаний АМ и ОМ при работе с верхней боковой полосой модуляции. Таким образом, при ОМ спектр высокочастотных модулированных колебаний имеет ту же ширину, что и спектр управляющего (модулирующего) сигнала.

Принципиально ОМ можно осуществить по следующей блок-схеме передатчика (рис. 132, *б*). В передатчик

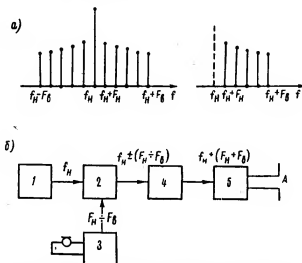


Рис. 132. Однополосная модуляция: *а* — частотные спектры колебаний при обычной и однополосной модуляции; *б* — блок-схема однополосного передатчика.

входят генератор 1, специальный (балансный) модулятор 2, обычный модулятор 3, фильтры боковой полосы 4 и усилители модулированных колебаний 5.

Генератор вырабатывает колебания высокой частоты, которые поступают на балансный модулятор и модулируются колебаниями низкой частоты. Схема балансного модулятора построена так, что на его выходе появляются колебания верхней и нижней боковых частот, несущая же частота почти полностью подавляется.

Напряжение боковых частот поступает на систему фильтров, которые подавляют одну (нижнюю) боковую полосу частот и подают напряжение второй (верхней) боковой полосы частот на усилители модулированных ко-

лебаний. Последние усиливают мощность верхней боковой полосы частот до заданной величины и передают ее в антенну.

Для приема таких колебаний и воспроизведения модулирующей частоты необходимо наличие несущей частоты, которая восстанавливается в приемнике с помощью специального гетеродина. При отсутствии колебаний несущей частоты в приемнике воспроизвести модулирующий сигнал невозможно, так как в детекторе отсутствуют биеения несущей и боковых частот, в результате которых возникают частоты модуляции.

Частота f_g гетеродина приемника должна точно соответствовать несущей частоте f_n , в противном случае появятся сильные искажения и прием сделается невозможным.

Расхождение частот f_g и f_n не должно превышать 20—50 *гц*. Это требует весьма высокой стабильности несущей частоты передатчика и гетеродина приемника: не более 10^{-6} — 10^{-7} в диапазоне коротких волн (на частотах порядка 30 *Мгц*).

Для получения колебаний несущей частоты в приемнике антенна передатчика должна излучать не только колебания верхней боковой полосы частот, но и небольшую часть мощности несущей частоты. Эти колебания, называемые пилот-сигналом, имеют амплитуду, составляющую 15—20% от максимальной.

Мощность пилот-сигнала должна быть такой, чтобы сигнал несущей частоты не заглушался собственными шумами приемника.

Обеспечить более высокую стабильность частоты гетеродина приемника можно путем автоматической подстройки частоты с помощью пилот-сигнала.

К однополосной передаче предъявляется важное требование — подавлять нижнюю боковую полосу частот. Подавление легко осуществить с помощью фильтров, но только тогда, когда боковые полосы — нижняя и верхняя — достаточно удалены друг от друга по частоте. При работе на коротких волнах и несущей частоте порядка единиц и десятков мегагерц боковые полосы частот различаются на сотые доли процента и их разделение практически невозможно. Тогда приходится усложнять схему передатчика, вводя систему многократной модуляции, принцип которой состоит в повторной модуляции все

более высокнх несущнх частот, в результате чего относительная расстройка боковых частот увеличивается и нижняя боковая полоса может быть легко отфильтрована.

Подавление одной боковой полосы в значительной степени уменьшает помехи, создаваемые соседними по частоте радиостанциями. В то же время на месте частотного спектра подавленной боковой полосы можно сформировать второй однополосный канал передачи другого управляющего сигнала, причем на ширине спектра АМ будут передаваться два сообщения, а это приведет к значительному увеличению линий связи при том же спектре частот.

Трудности осуществления высококачественной ОМ привели к тому, что реальные схемы передатчиков ОМ в значительной степени отличаются от принципиальной блок-схемы (рис. 132, б).

В настоящее время существует несколько основных методов построения схем ОМ: метод многократной балансной модуляции, фазокомпенсационный и др., рассмотрение которых выходит за рамки учебника.

Так как ОМ вдвое сокращает полосу частот, занимаемую излучением передатчика, то применяют многоканальную передачу, т. е. одновременно с телефонным осуществляют несколько телеграфных каналов. Несмотря на это, общая полоса, занимаемая передатчиком, будет несущественно превышать полосу частот двухполосной передачи.

Преимуществами однополосной модуляции являются высокая стабильность однополосного сигнала и сильное подавление нерабочих частот на выходе передатчика. К основным недостаткам ее относятся большое число различных комбинационных частот, требующих специальных мер подавления, и сложность аппаратуры.

Однополосная модуляция, широко применяемая для коммерческой радиосвязи на коротких волнах и в телевидении, обладает следующими важными преимуществами.

1. При однополосной модуляции амплитуду колебаний боковой полосы можно принять равной амплитуде колебаний режима максимальной мощности при той же номинальной мощности ламп в выходной ступени передатчика, в то время как при обычной передаче амплитуда огибающей высокочастотного колебания, от которой зависит громкость приема, не может быть принята (даже при $m = 100\%$) большей амплитуды несущей частоты. Таким

образом, отношение амплитуд тока в антенне при однополосной и обычной передаче следующее:

$$\frac{I_{A \max}}{m I_{Aн}} = \frac{I_{Aн} (1 + m)}{m I_{Aн}} = \frac{1 + m}{m} \approx 2.$$

2. Уменьшение полосы частот, излучаемой антенной передатчика, позволяет вдвое уменьшить полосу пропускания приемника, при этом уменьшается уровень внутренних шумов, что приводит к увеличению отношения сигнал/шум.

3. При однополосной модуляции не сказываются селективные замирания, являющиеся значительной помехой радиоприему.

4. Средняя мощность, потребляемая однополосным передатчиком, оказывается меньше, чем при обычной передаче (примерно на 20—30%). Это объясняется отсутствием излучения в режиме молчания и уменьшением потребляемой мощности в этом режиме.

5. Расчеты показывают, что однополосная модуляция дает 16—20-кратный энергетический выигрыш по сравнению с амплитудной.

Недостатки ОМ связаны с необходимостью осуществления высокой стабильности частоты передатчика и гетеродина приемника, усложнением схем и более высокой стоимостью. Несмотря на это ОМ начинает широкое внедряться в радиосвязь, использующую передатчики малой и средней мощности.

§ 56. Частотная и фазовая модуляции

Частотная и фазовая модуляции (ЧМ и ФМ) заключаются в изменении частоты или фазы высокочастотного колебания по закону управляющего сигнала. Частотная модуляция была известна в 20-х годах, но практическое применение получила с середины 30-х годов с развитием техники ультракоротких волн. В настоящее время частотная модуляция широко используется в коммерческой радиосвязи, радиовещании на метровых волнах и телевидении для передачи звукового сопровождения и т. д.

Общие сведения. Как известно, периодическое колебание можно выразить уравнением

$$i = I_m \cos \varphi = I_m \cos (\omega t + \varphi),$$

где φ — фаза колебания, характеризующая состояние колебательного процесса в данный момент времени.

Фаза является функцией времени и в простейшем случае, при незатухающих гармонических колебаниях, линейно зависит от времени:

$$\varphi = \omega t + \varphi_0,$$

где φ_0 — начальная фаза колебания.

Угловая частота ω и фаза φ связаны зависимостью

$$\omega = \frac{d\varphi}{dt}; \quad \varphi = \int \omega dt. \quad (150)$$

Взаимная зависимость фазы и угловой частоты такова, что всякое отклонение фазы от линейного закона приводит к отклонению частоты от начального значения, и наоборот. По этим причинам при фазовой модуляции всегда меняется частота, а при частотной модуляции — фаза.

Несмотря на тесную связь, частотную и фазовую модуляции можно различать по тому, какой из параметров колебания (частота или фаза) находится под воздействием модулирующего фактора. Если модулирующий фактор меняет фазу, то модуляцию следует считать фазовой (хотя при этом меняется и частота) и, наоборот, если модулирующий фактор меняет частоту (хотя при этом меняется фаза), то модуляцию следует считать частотной.

Рассмотрим характер колебаний при фазовой и частотной модуляциях и определим, как будет меняться второй параметр (при фазовой модуляции частота, а при частотной фаза).

При фазовой модуляции фаза меняется по закону модулирующего напряжения, т. е.

$$\varphi = \omega_0 t + \varphi_0 + \varphi_1,$$

где $\omega_0 t + \varphi_0$ — составляющая фазы, изменяющаяся по линейному закону;

$\varphi_1 = k u_{\Omega} = -$ составляющая фазы, изменяющаяся по закону напряжения u_{Ω} ;
 $= k U_{m\Omega} \cos \Omega t$
 k — коэффициент пропорциональности.

В результате при модуляции колебания по фазе

$$i = I_m \cos (\omega_0 t + \varphi_0 + k U_{m\Omega} \cos \Omega t).$$

Выбрав для упрощения такое начало отсчета времени, при котором $\varphi_0 = 0$, получим

$$i = I_m \cos (\omega_0 t + m_\varphi \cos \Omega t).$$

где $m_\varphi = kU_{m\Omega} = \Delta\varphi$ — максимальное отклонение фазы от линейного закона, называемое индексом фазовой модуляции.

Индекс фазовой модуляции, как и коэффициент глубины модуляции m , зависит от амплитуды низкой частоты. На рис. 133, а показаны зависимость фазы от модулирующего напряжения и колебание, модулированное по фазе. Пунктирной линией отмечено основное колебание. Из графиков видно, что с увеличением фазы модулированное колебание опережает по фазе основное, а при уменьшении фазы отстает от него. Изменение фазы приводит к изменению частоты, так как при опережении фазы частота должна увеличиваться, а при отставании фазы — уменьшаться.

Закон изменения частоты можно определить по уравнению (150):

$$\begin{aligned} \omega &= \frac{d\varphi}{dt} = \frac{d(\omega_0 t + m_\varphi \cos \Omega t)}{dt} = \omega_0 - m_\varphi \Omega \sin \Omega t = \\ &= \omega_0 - \Delta\omega \sin \Omega t, \end{aligned}$$

где $\Delta\omega = m_\varphi \Omega = k\Omega U_{m\Omega}$ — девиация частоты или максимальное отклонение частоты от начального значения.

Из этих выражений следует, что при фазовой модуляции прямой пропорциональности между девиацией частоты и амплитудой модулирующего колебания не наблюдается. Девиация частоты зависит от частоты модуляции и различна на разных модулирующих частотах. Эта зависимость (рис. 133, б) объясняется так: чем больше частота модуляции, тем чаще меняется фаза и, следовательно, больше скорость изменения фазы во времени (т. е. угловая частота).

При частотной модуляции частота колебаний меняется по закону величины модулирующего напряжения: $\omega = \omega_0 + \omega_1$; здесь $\omega_1 = k\omega_\Omega = kU_{m\Omega} \cos \Omega t$ характеризует отклонение частоты от начального значения.

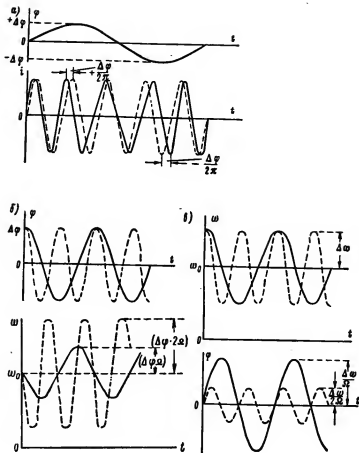


Рис. 133. Графики фазовой и частотной модуляции: а — колебания, модулированные по фазе; б — временная зависимость фазы и частоты для двух частот модуляции при фазовой модуляции; в — временная зависимость частоты и фазы при частотной модуляции для двух частот модуляции.

Величина $\Delta\omega = kU_{m\Omega}$, представляющая максимальное отклонение частоты от среднего значения, называется девиацией частоты.

В моменты максимальной громкости частота увеличивается, в моменты минимальной — уменьшается. При этом меняется фаза колебаний. Определим фазу колебаний для данного случая. Из уравнения (150)

$$\begin{aligned}\varphi &= \int \omega dt = \int (\omega_0 t + \Delta\omega \cos \Omega t) dt = \\ &= \omega_0 t + \frac{\Delta\omega}{\Omega} \sin \Omega t + \varphi_0.\end{aligned}$$

Полагая для упрощения $\varphi_0 = 0$, получим

$$\varphi = \omega_0 t + \frac{\Delta\omega}{\Omega} \sin \Omega t = \omega_0 t + m_f \sin \Omega t. \quad (151)$$

Следовательно, фаза колебаний меняется по иному закону, чем частота, и не пропорциональна амплитуде модулирующего напряжения.

Максимальное отклонение фазы от линейного закона

$$\Delta\varphi = \frac{\Delta\omega}{\Omega} = m_f \quad (152)$$

равно индексу частотной модуляции m_f и зависит не только от амплитуды модулирующего напряжения, но и от частоты модуляции.

На рис. 133, в показаны временные зависимости частоты и фазы при двух частотах модуляции Ω и 2Ω (пунктир — для частоты 2Ω).

На основании уравнения (151) частотно-модулированные колебания можно представить следующим образом:

$$i = I_m \cos \varphi = I_m \cos (\omega_0 t + m_f \sin \Omega t).$$

Форма частотно-модулированного сигнала внешне похожа на колебание, модулированное по фазе (рис. 133, а), однако законы изменения частоты в том и другом случае различны. Так, если фаза меняется по закону $\sin \Omega t$, то частота — по закону $\cos \Omega t$ и наоборот.

Взаимная связь частотной и фазовой модуляции позволяет превращать один вид модуляции в другой, что и используется на практике в косвенных методах модуляции, когда первоначально осуществленная фазовая модуляция превращается в частотную.

Частотный спектр частотно- и фазово-модулированных колебаний. Исследования показали, что частотно- и фазово-модулированные колебания являются сложными и могут быть представлены бесконечным рядом составляющих (гармоник) различных частот, амплитуд и фаз. Частотный спектр колебаний оказывается шире и только в некоторых частных случаях равен спектру при амплитудной модуляции.

В частотном спектре колебаний при амплитудной модуляции каждой гармонике модулирующего сигнала соответствует пара боковых частот $\omega_0 \pm \Omega$, при частотно- и фазово-модулированных колебаниях (при модуляции одним тоном) появляется бесконечно большое число пар боковых частот $\omega_0 \pm n\Omega$, где $n = 1, 2, 3, \dots$. Если же модулирующее колебание содержит гармоники, то частотный спектр усложняется и появляются более сложные комбинационные боковые частоты.

Амплитуды несущей и боковых частот зависят от индекса модуляции и номера боковой частоты. С увеличением индекса модуляции амплитуда несущей частоты уменьшается, но не монотонно, а периодически и при некоторых индексах оказывается равной нулю. Амплитуда первой боковой частоты при небольших индексах модуляции сначала возрастает, но при дальнейшем увеличении индекса периодически уменьшается. Амплитуды высших боковых частот появляются при больших индексах модуляции и периодически изменяются с ростом индекса.

С увеличением порядкового номера боковой частоты ее амплитуда уменьшается, что позволяет ограничить частотный спектр колебаний и определить его ширину, учитывая те частоты, амплитуда которых составляет определенный процент от амплитуды режима молчания (например, 5 или 10%). Однако оказывается, что следует учитывать только те боковые частоты, номер которых меньше индекса модуляции, т. е. при фазовой модуляции $n_{\max} \leq m_f$, при частотной $n_{\max} \leq m_f$.

Частотные спектры частотной и фазовой модуляций, несмотря на принципиальное сходство, имеют некоторые отличия. Так, частотный спектр фазово-модулированных колебаний расширяется с увеличением частоты модуляции за счет увеличения интервалов между боковыми частотами. Ширина частотного спектра ЧМ почти не изменяется с ростом частоты модуляции, но уменьшается индекс мо-

дуляции и число боковых частот, а также меняется соотношение между их амплитудами.

На рис. 134, б показаны спектры фазово-модулированных колебаний при постоянном индексе m_ϕ и различных частотах модуляции, а на рис. 134, в — спектры частотно-модулированных колебаний при различных частотах (а, следовательно, и при индексах модуляции). Ширина

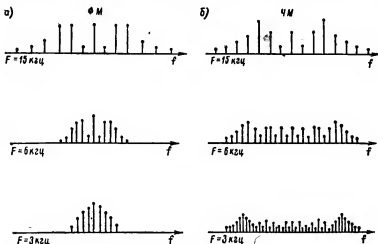


Рис. 134. Частотные спектры ЧМ и ФМ колебаний: а — частотные спектры ФМ колебаний; б — частотные спектры ЧМ колебаний.

реального спектра частотно- и фазово-модулированных колебаний зависит от индекса модуляции. Различают два вида модуляции: узкополосную ($m < 1$) и широкополосную ($m > 1$).

При узкополосной модуляции необходимо учитывать только первую пару боковых частот $\omega_0 \pm \Omega$, поэтому ширина полосы будет такой же, как и при амплитудной модуляции, т. е.

$$\Delta F \approx 2F_m,$$

где ΔF — полоса частот, занимаемая модулированным колебанием;

F_m — верхняя частота модуляции.

При широкополосной модуляции полоса значительно шире, так как учитывают все боковые частоты, порядковый

номер которых меньше индекса модуляции. Верхней частотой модуляции является частота $F_{\text{в}} = n_{\text{max}} F = mF$, где m — индекс модуляции. Тогда ширина частотного спектра

$$\Delta F = 2F_{\text{в}} = 2mF.$$

Для частотно-модулированных колебаний

$$m = m_f = \frac{\Delta f_{\text{max}}}{F}; \quad \Delta F \approx \frac{2\Delta f_{\text{max}}}{F} F = 2\Delta f_{\text{max}};$$

для фазово-модулированных колебаний

$$m = m_{\phi}; \quad \Delta F = 2m_{\phi} F = 2\Delta\phi F.$$

Из указанных выражений можно сделать вывод, что при частотной модуляции основная ширина полосы частотного спектра зависит от девиации частоты, т. е. пропорциональна амплитуде модулирующего напряжения, и не зависит от частоты модуляции.

При фазовой модуляции ширина полосы зависит и от амплитуды модулирующего напряжения (так как от нее зависит девиация фазы $\Delta\phi$), и от частоты модуляции.

Зависимость полосы от частоты модуляции — крупный недостаток фазовой модуляции по сравнению с частотной, он делает невыгодным практическое использование фазово-модулированных колебаний.

Векторные диаграммы модулированных колебаний. Анализ модулированных колебаний можно производить, пользуясь векторным методом обозначения гармонических переменных токов. Мгновенные значения гармонических токов и напряжений можно представить в виде проекции вектора тока (или напряжения), вращающегося в плоскости с угловой скоростью ω (рис. 135, а), на заранее выбранную ось, например горизонтальную. Фаза тока или напряжения будет определяться углом $\phi = \omega t$, на который повернется вектор за время t . Такое представление переменных токов облегчает расчеты, так как позволяет суммировать ток и напряжения как векторы, а затем определять результирующие мгновенные значения как проекцию результирующих векторов на ось.

Если рассматриваются ток одной частоты, то взаимное расположение их векторов не меняется и векторная диаграмма оказывается неподвижной (при условии вращения плоскости со скоростью ω). Если частота колебаний

токов различна, то векторы, обозначающие токи большей частоты $\omega_1 = \omega_0 + \Delta\omega$, изменят свое положение относительно векторов токов меньшей частоты ω_0 в сторону опережения с разностной скоростью $\Delta\omega = \omega_1 - \omega_0$. Если частота некоторых токов меньше ω_0 на величину $\Delta\omega$ ($\omega_2 =$

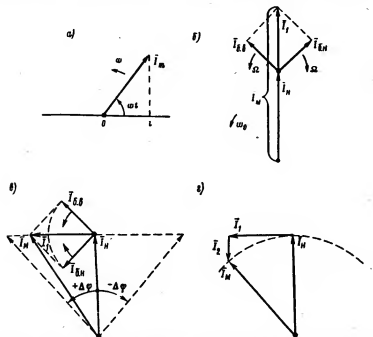


Рис. 135. Векторные диаграммы при амплитудной и фазовой модуляции: а — векторный метод обозначения переменного тока; б — векторная диаграмма АМ колебаний; в — векторная диаграмма ФМ колебаний; г — векторная диаграмма ФМ колебаний с учетом второй пары боковых частот.

$= \omega_0 - \Delta\omega$), то векторы этих токов отстают от вектора тока частоты ω_0 : они как бы вращаются в обратную сторону с частотой $\Delta\omega = \omega_0 - \omega_2$.

Учитывая сделанные замечания, рассмотрим векторные диаграммы тока амплитудно- и фазово-модулированных колебаний при условии модуляции одним тоном Ω для узкополосной модуляции, когда $m_\phi < 1$ и учитывается только первая пара боковых частот. Эти колебания состоят

из несущей и двух боковых частот. Фазово-модулированные колебания отличаются тем, что нижняя боковая частота имеет фазу, противоположную фазе этой частоты при амплитудно-модулированных колебаниях. Действительно,

$$i = I_m \cos(\omega_0 t + m_\varphi \cos \Omega t) = I_m [\cos \omega_0 t \cos(m_\varphi \cos \Omega t) - \sin \omega_0 t \sin(m_\varphi \cos \Omega t)].$$

Полагая $m_\varphi < 1$, заменим $\sin(m_\varphi \cos \Omega t)$ аргументом $m_\varphi \cos \Omega t$ и примем $\cos(m_\varphi \cos \Omega t) = 1$, тогда

$$i = I_m [\cos \omega_0 t - m_\varphi \sin \omega_0 t \cos \Omega t] = I_m \cos \omega_0 t + \frac{1}{2} I_m m_\varphi \sin(\omega_0 + \Omega)t - \frac{1}{2} I_m m_\varphi \sin(\omega_0 - \Omega)t$$

или

$$i = i_n + i_{\text{с. в}} + i_{\text{с. н}};$$

при амплитудной модуляции

$$i = i_n + i_{\text{с. в}} + i_{\text{с. н}}.$$

В векторной форме амплитудно-модулированное колебание можно изобразить вектором $\bar{I}_m = \bar{I}_n + \bar{I}_{\text{с. в}} + \bar{I}_{\text{с. н}}$, причем вектор $\bar{I}_{\text{с. в}}$ будет вращаться со скоростью $\omega_0 + \Omega$, а $\bar{I}_{\text{с. н}}$ — со скоростью $\omega_0 - \Omega$. Если плоскость вращается со скоростью ω_0 , вектор \bar{I}_n будет неподвижным, а векторы $\bar{I}_{\text{с. в}}$ и $\bar{I}_{\text{с. н}}$ будут вращаться в разные стороны со скоростями Ω (рис. 135, б). В результате вектор модулированного колебания меняет свою амплитуду от $\bar{I}_{m \min}$ до $\bar{I}_{m \max}$, не изменяя своего временного положения.

Модулированный ток можно также представить как сумму векторов: несущего колебания \bar{I}_n и модуляционного тока \bar{I}_1 , который в свою очередь является суммой векторов боковых частот:

$$\bar{I}_1 = \bar{I}_{\text{с. в}} + \bar{I}_{\text{с. н}}.$$

Вектор модуляционного тока совпадает по фазе с вектором тока несущей частоты (или противофазен ему), но имеет переменную амплитуду, пульсирующую с частотой модуляции.

При фазовой модуляции векторная диаграмма отличается тем, что вектор нижней боковой частоты сдвинут по фазе (по сравнению с амплитудной модуляцией) на 180° , поэтому вектор модуляционного тока поворачивается относительно вектора несущей частоты на 90° (рис. 135, в).

Вектор модулированного колебания $\bar{I}_m = \bar{I}_n + \bar{I}_1$ будет качаться около среднего положения в пределах девиации фазы $\Delta\varphi$. Конец вектора должен двигаться по окружности, так как при ФМ амплитуда не должна изменяться. В рассмотренном упрощенном случае конец вектора движется по прямой, т. е. кроме фазы меняется еще и амплитуда. Эта погрешность получается из-за пренебрежения боковыми частотами высшего порядка. Более точные расчеты показывают, что нечетные боковые частоты дают модуляционный вектор, сдвинутый по фазе относительно несущего колебания на $\pm 90^\circ$, а четные боковые частоты — модуляционные векторы, совпадающие с \bar{I}_n или противофазные ему. На рис. 135, г показана векторная диаграмма с учетом второй пары боковых частот ($\omega_0 \pm 2\Omega$), которым соответствует модуляционный вектор \bar{I}_2 , противофазный основному; при этом результирующее колебание характеризуется вектором $\bar{I}_m = \bar{I}_n + \bar{I}_1 + \bar{I}_2$, конец которого будет двигаться по кривой, более близкой к окружности. Эти соображения относятся и к частотной модуляции.

Схемы фазовой модуляции. Фазовая модуляция на практике используется как предварительная ступень для последующего превращения в частотную. Принцип фазовой модуляции основан на получении боковых частот, сдвинутых по фазе относительно колебаний несущей частоты на 90° . В результате сложения боковых частот и несущей получаются колебания, модулированные по фазе. При этом возникает паразитная амплитудная модуляция, поскольку вектор результирующего колебания изменяет свою величину.

Рассмотрим блок-схемы, с помощью которых осуществляют фазовую модуляцию (рис. 136).

Напряжение несущей частоты от генератора 1 (рис. 136, а) через усилитель 2 поступает на фазовращающее устройство 5, сдвигается по фазе на 90° и подается на смеситель 6. На балансный модулятор 3 приходит напряжение несущей частоты и низкой частоты от обычного модулятора 4. На выходе балансного модулятора

появляются колебания боковых частот $\omega_0 \pm \Omega$ без несущей частоты. Эти колебания поступают на смеситель 6, и в его нагрузке возникают колебания несущей и боковых частот, сдвинутых по фазе на 90° и образующих модуляционный вектор \vec{I}_1 ; результирующие колебания будут модулированы по амплитуде и фазе. Для устранения паразитной амплитудной модуляции применяются амплитудные ограничители 7.

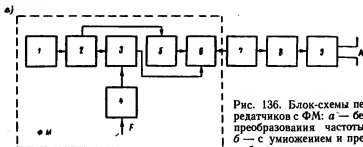
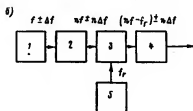


Рис. 136. Блок-схемы передатчиков с ФМ: а — без преобразования частоты; б — с умножением и преобразованием частоты.



К схеме а: 1 — высокостабильный генератор несущей частоты; 2 — буферный усилитель; 3 — балансный модулятор; 4 — обычный модулятор; 5 — фазовращающее устройство; 6 — смеситель; 7 — амплитудный ограничитель; 8 — умножители частоты; 9 — усилители мощности модулированных колебаний.

К схеме б: 1 — фазовый модулятор; 2, 4 — умножители частоты; 3 — смеситель; 5 — гетеродин.

Анализ схем фазовой модуляции показывает, что указанное фазомодулирующее устройство может дать максимальную девиацию фазы $\Delta\varphi = \pm 90^\circ$, но с большими нелинейными искажениями из-за нарушения прямой пропорциональности фазы и модулирующего напряжения. Следовательно, девиацию фазы необходимо выбирать не более $25-30^\circ$, а индекс фазовой модуляции $m_\varphi < 0,5$ (девиация частоты $\Delta f_{\min} = m_\varphi F_{\min} = 0,5 F_{\min}$). Для увеличения индекса модуляции и девиации частоты применяют многократное умножение частоты, в результате чего несущая частота, m_φ и Δf увеличиваются в n раз. Может оказаться, что потребуются очень низкая несущая частота генератора; действительно, при необходимой девиации частоты на

выходе передатчика $\Delta f = 80 \text{ кгц}$ и при частотах модуляции от 50 до 10 000 гц $\Delta f_{\min} = 0,5 F_{\min} = 25 \text{ гц}$; при этом следует увеличить индекс модуляции в n раз

$$n = \frac{\Delta f}{\Delta f_{\min}} = \frac{m_{\varphi} F_{\min}}{0,5 F_{\min}} = \frac{80\,000}{25} = 3200$$

и при работе передатчика на волне $\lambda = 6 \text{ м}$ или $f = 50 \text{ Мгц}$ несущая частота генератора окажется низкой

$$f_0 = \frac{50 \cdot 10^6}{3200} \approx 15\,000 \text{ гц}.$$

Очевидно, что при такой частоте и полосе в 10 кгц обеспечить прохождение боковых частот невозможно. Для нормальной работы частота генератора должна быть в несколько раз больше частоты модуляции. Кроме многократного умножения, преобразованием частоты приходится понижать несущую частоту с тем, чтобы обеспечить достаточно высокую частоту генератора и нужную частоту на выходе. Частота преобразуется по тому же принципу, что и в супергетеродинных приемниках, однако девиации фазы и частоты не снижаются. На рис. 136, б показана блок-схема передатчика с фазовой модуляцией с умножением и преобразованием частоты.

Необходимость в многократном умножении и преобразовании частоты делает схемы и конструкции передатчиков с фазовой модуляцией сложными и дорогими.

Схемы частотной модуляции. Существуют и применяются на практике два метода частотной модуляции — косвенный и прямой.

Косвенный метод заключается в преобразовании фазовой модуляции в частотную. С этой целью в схеме фазовой модуляции необходимо получить на выходе такие модулированные колебания, у которых девиация фазы была бы обратно пропорциональна частоте, как при частотной модуляции, для которой справедливо условие (152):

$$\Delta \varphi = \frac{\Delta \omega}{\Omega}.$$

При выполнении данного условия девиация частоты будет прямо пропорциональна амплитуде модулирующего колебания и частота будет изменяться по закону этого колебания, т. е.

$$\omega = \omega_0 + k U_{m\Omega} \cos \Omega t = \omega_0 + \Delta \omega \cos \Omega t. \quad (153)$$

Преобразование легко осуществить, если на вход фазового модулятора подать не первоначальное модулирующее напряжение, а напряжение, преобразованное таким образом, чтобы после фазовой модуляции можно было получить колебания с частотой, меняющейся по закону u_{Ω} . Если обозначить преобразованное модулирующее напряжение через $u_2(t)$, то при фазовой модуляции

$$\varphi = \omega_0 t + \varphi_1 = \omega_0 t + k u_2(t)$$

и частота

$$\omega = \frac{d\varphi}{dt} = \omega_0 + k \frac{du_2(t)}{dt}.$$

Для выполнения условия (153) необходимо, чтобы

$$k \frac{du_2(t)}{dt} = \Delta\omega \cos \Omega t,$$

тогда

$$u_2(t) = \int \frac{\Delta\omega}{k} \cos \Omega t dt = \frac{\Delta\omega}{k\Omega} \sin \Omega t = U_{2m} \sin \Omega t.$$

Следовательно, связь модулирующего напряжения u_{Ω} и напряжения $u_2(t)$ должна быть следующей:

$$u_2(t) = \int u_{\Omega} dt,$$

т. е. преобразование модулирующего напряжения на входе фазового модулятора заключается в его интегрировании.

Преобразование производится с помощью интегрирующих цепей, напряжение на выходе которых пропорционально интегралу от входного напряжения. Интегрирующей является цепь из последовательно соединенных R и C при условии $R \gg \frac{1}{\Omega C}$. Если напряжение на входе этой цепи

$$u_{\Omega} = U_{m\Omega} \cos \Omega t,$$

то на выходе (на емкости C)

$$\bar{U}_{2m} = I \frac{1}{j\Omega C} = \frac{\bar{U}_{m\Omega}}{\left(R + \frac{1}{j\Omega C}\right) j\Omega C} \approx -j \frac{\bar{U}_{m\Omega}}{RC\Omega},$$

т. е. напряжения \bar{U}_{2m} и $\bar{U}_{m\Omega}$ сдвинуты по фазе на $-\frac{\pi}{2}$, так как в выражение \bar{U}_{2m} входит множитель $-j$.

По этим причинам мгновенное напряжение $u_z(t)$ меняется по закону $\sin \Omega t$, если u_d меняется по закону $\cos \Omega t$, что и требовалось доказать.

Таким образом, передатчик с частотной модуляцией, построенный по принципу косвенной модуляции, отличается от передатчика с фазовой модуляцией наличием интегрирующей цепи на выходе амплитудного модулятора.

Косвенный метод частотной модуляции дает высокую стабильность несущей частоты, так как в генераторе осуществляется кварцевая стабилизация частоты. Однако сложность схемы передатчика, необходимость многократного деления и умножения частоты ограничивают применение данного метода частотной модуляции в передатчиках малой и средней мощностей. Косвенные методы применяются в мощных стационарных радиопередатчиках.

При прямых методах модуляции изменение частоты достигается прямым воздействием на контур генератора. Основным недостатком прямых методов является низкая стабильность несущей частоты. Несмотря на это, прямые методы модуляции широко используются в практике, так как позволяют осуществить глубокую широкополосную модуляцию при незначительном усложнении схемы передатчика.

В настоящее время основное применение нашли схемы модуляции с реактивными лампами, предложенные в 1927 г. А. Л. Минцем и в дальнейшем усовершенствованные Г. В. Брауде и другими учеными. Передатчик с реактивной лампой имеет частотный модулятор, действующий на генератор.

Реактивной лампой называют такую схему (рис. 137, а), в которой вследствие обратной связи сдвиг фаз между напряжением на сетке и на аноде осуществляется в идеальном случае на $\pm 90^\circ$. В таком режиме участок анод—катод лампы эквивалентен некоторому реактивному сопротивлению, величина которого зависит от напряжения на электродах. При изменении напряжения на одном из электродов (например, на сетке) с частотой модуляции меняется реактивность лампы, а следовательно, и частота генератора, к контуру которого подключена лампа.

Реактивная лампа может представлять собой емкостное или индуктивное сопротивление, в зависимости от величины и характера сопротивлений делителя Z_1 и Z_2 .

Определим эквивалентное сопротивление лампы на участке анод—катод. Напряжение на сетке лампы

$$\bar{U}_{mg_1} = \bar{I} Z_1 = \frac{\bar{U}_{ma}}{Z_1 + Z_2} Z_1,$$

где $\bar{I} = \frac{\bar{U}_{ma}}{Z_1 + Z_2}$ — ток в делителе.

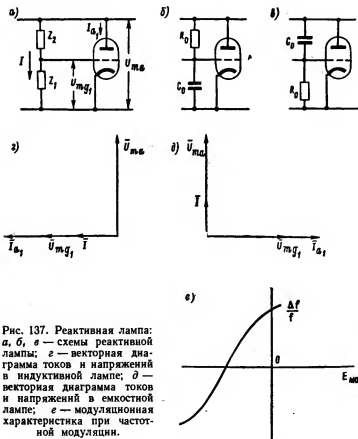


Рис. 137. Реактивная лампа: а, б, в — схемы реактивной лампы; г — векторная диаграмма токов и напряжений в индуктивной лампе; д — векторная диаграмма токов и напряжений в емкостной лампе; е — модуляционная характеристика при частотной модуляции.

Так как в качестве реактивных ламп применяются тетроды или пентоды с малой проницаемостью и большим

внутренним сопротивлением, то амплитуда первой гармоники совпадает по фазе с напряжением на сетке:

$$\bar{I}_{a_1} \approx \frac{\mu \bar{U}_{mg_1}}{R'_i} = \frac{\mu \bar{U}_{mg_1}}{\alpha_i R_i} = S_{cp} \bar{U}_{mg_1},$$

где $S_{cp} = \frac{S}{\alpha_i}$ — средняя крутизна характеристики лампы.

Эквивалентное сопротивление лампы на участке анод — катод

$$Z_2 = \frac{\bar{U}_{m2}}{\bar{I}_{a_1}} = \frac{Z_1 + Z_2}{Z_1 S_{cp}} = \left(1 + \frac{Z_2}{Z_1}\right) \frac{1}{S_{cp}}.$$

Если принять $Z_2 \gg Z_1$, то

$$Z_2 \approx \frac{Z_2}{Z_1 S_{cp}} = \frac{1}{K_{o.c} S_{cp}},$$

где коэффициент обратной связи реактивной лампы

$$K_{o.c} \approx \frac{Z_1}{Z_2} \approx 0,04 - 0,07.$$

Рассмотрим два основных случая работы лампы. Первый случай: $Z_1 = \frac{1}{j\omega C_e}$; $Z_2 = z_2 = R_0$ (рис. 137, б), тогда

$$Z_2 = j\omega \frac{C_0 R_0}{S_{cp}} = j\omega L_2.$$

Лампа эквивалентна некоторой индуктивности, которая зависит от параметров делителя и средней крутизны:

$$L_2 = \frac{C_0 R_0}{S_{cp}}.$$

Второй случай: $Z_1 = z_1 = R_0$; $Z_2 = \frac{1}{j\omega C_0}$ (рис. 137, в), тогда

$$Z_2 = \frac{1}{j\omega C_0 R_0 S_{cp}} = \frac{1}{j\omega C_2}.$$

Лампа эквивалентна емкости, которая зависит от параметров делителя и средней крутизны:

$$C_2 = C_0 R_0 S_{cp}.$$

На рис. 137, *г, д* приведены векторные диаграммы токов и напряжений в лампе для указанных двух случаев работы.

Для неискаженной модуляции изменение крутизны, а следовательно, и девиации частоты должно быть пропорциональным амплитуде модулирующего напряжения. Следовательно, зависимость

$$S_{\text{ср}} = \varphi(E_{\text{мод}}) \quad (154)$$

должна быть линейной.

Модуляционной характеристикой при частотной модуляции называют зависимость (рис. 137, *е*)

$$\frac{\Delta f}{f} = \varphi(E_{\text{мод}}),$$

где $E_{\text{мод}}$ — напряжение модуляции, подаваемое на одну из сеток лампы (обычно управляющую);

$\frac{\Delta f}{f}$ — относительная девиация частоты.

При линейной зависимости уравнения (154) модуляционная характеристика будет линейной.

Расчеты показывают, что относительная девиация частоты пропорциональна изменению тока лампы. Для неискаженной модуляции требуется, чтобы модуляционная характеристика реактивной лампы была линейной. Кроме того, к реактивным лампам предъявляются требования возможно большей и постоянной в диапазоне девиации частоты и возможно меньшей паразитной амплитудной модуляции, которая возникает из-за того, что реактивная лампа вносит в контур генератора активное сопротивление, изменяющее амплитуду тока.

Схемы модуляции с реактивными лампами обладают недостаточно высокой стабильностью несущей частоты генератора, что обусловлено дополнительным дестабилизирующим влиянием реактивной лампы. Это влияние вызывается непостоянством анодного тока I_a лампы из-за нестабильности напряжения питания.

Для ослабления этого дестабилизирующего влияния применяют двухтактную схему модулятора (рис. 138), в которой используют две реактивные лампы — емкостную (L_1) и индуктивную (L_2). Напряжение модуляции подается на сетки ламп в противофазе, а аноды подключены параллельно контуру генератора.

Колебания напряжений питания действуют на обе лампы синфазно, в результате чего изменения частоты, вызванные этими колебаниями, взаимно компенсируются. При этом ослабляется также и паразитная амплитудная модуляция и модуляция фоном переменного тока.

Девияция частоты в двухтактной схеме примерно в два раза больше, чем в одитактной. Для повышения крутизны

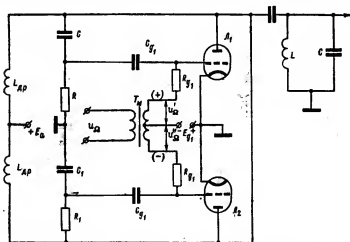


Рис. 138. Схема с двухтактным частотным модулятором.

модуляционной характеристики в схемах с реактивными лампами следует использовать только фиксированное начальное смещение управляющей сетки.

В ряде случаев схемы с реактивными лампами не могут обеспечить требуемой стабильности частоты генератора. Необходимость получить более высокую стабильность частоты привела к применению автоматической подстройки несущей частоты (АПЧ), которая заключается в автоматическом изменении частоты генератора в направлении, обратном первоначальному изменению, вызванному дестабилизирующими факторами. Для этой цели в схему передатчика вводится дискриминатор, преобразующий изменение частоты генератора в напряжение ошибки, величина и знак которого зависят от отклонения несущей частоты от номинального значения. Напряжение ошибки действует

на частотный модулятор, который изменяет частоту генератора, возвращая ее к первоначальному значению.

Система автоподстройки частоты должна реагировать только на медленные изменения частоты, вызванные дестабилизирующими факторами, и не должна срабатывать при изменениях частоты, обусловленных модуляцией. Для этого на выходе дискриминатора устанавливается фильтр низких частот с большой постоянной времени, подающий на частотный модулятор медленные колебания напряжения ошибки, вызванные медленными изменениями частоты генератора.

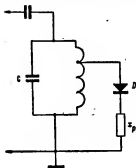


Рис. 139. Принципиальная схема частотного модулятора с полупроводниковым диодом.

Рассмотрим схемы частотной модуляции с реактивными лампами широко используются на частотах до 60—70 МГц. При дальнейшем повышении частоты начинает сказываться влияние собственных емкостей и времени пролета электронов в лампе, отчего изменяются фазовые соотношения в схеме и нарушается ее нормальная работа.

В последние годы в качестве частотных модуляторов начали применять схемы с полупроводниковыми диодами и триодами. Эти модуляторы можно использовать на частотах до нескольких сотен мегагерц. Кроме того, малые габариты и вес таких модуляторов делают особенно целесообразным их применение в схемах подвижных и малогабаритных передатчиков.

Схемы модуляции, использующие полупроводниковые управляющие элементы, отличаются простотой, широким диапазоном регулировки частоты, высокой крутизной управления частоты и малой потребляемой мощностью.

На рис. 139 показана принципиальная схема частотного модулятора с полупроводниковым диодом. В этой схеме диод D с реактивным элементом x_p подключается параллельно контуру генератора L, C . В качестве реактивного элемента используется емкость C_p или индуктивность L_p . Модулирующее напряжение подводится к диоду и изменяет угол отсечки θ его анодного тока. При этом будет изменяться и внутреннее сопротивление диода R_d ,

а следовательно, и величина эффективной реактивности, подключаемой к контуру, и несущая частота.

При увеличении угла отсечки θ время подключения реактивного элемента к контуру генератора увеличивается и частота его колебаний уменьшается. При уменьшении θ происходит обратное явление.

При достаточно большом напряжении высокочастотных колебаний на контуре генератора L, C можно считать, что диод работает в режиме линейного детектирования сильных сигналов и его внутреннее сопротивление будет зависеть от угла отсечки θ .

Определим влияние, которое оказывает управляющая цепь (D, x_p) на контур, заменив R_i и x_p вносимыми в контур последовательно включенными сопротивлениями $r_{вн}$ и $x_{вн}$.

Эти вносимые величины легко определить с помощью известных формул пересчета сопротивлений с параллельной схемы включения на последовательную.

В результате влияния, оказываемого вносимыми сопротивлениями, параметры контура меняются: эквивалентное сопротивление R_e и добротность Q уменьшаются в $(1 + \frac{r_{вн}}{r})$ раз, собственная частота контура изменяется.

Чем больше вносимое сопротивление $r_{вн}$ по сравнению с сопротивлением одиночного контура r , тем сильнее вредное шунтирующее влияние управляющей цепи на контур и тем хуже стабильность частоты генератора.

Указанное шунтирующее действие зависит как от величины связи управляющей цепи с контуром, так и от режима работы цепи, т. е. от угла отсечки анодного тока днода.

Ухудшение стабильности частоты генератора — основной недостаток модуляторов с полупроводниковыми элементами.

Чтобы ослабить влияние на контур шунтирующей цепи днода, желательно уменьшить коэффициент включения p , однако это невыгодно, так как приводит к значительному снижению девиации частоты, которая пропорциональна квадрату коэффициента включения.

Более рациональным способом ослабления шунтирующего влияния днода является выполнение условий, при которых эквивалентное сопротивление контура в точках подключения управляющей цепи ($p^2 R_e$) было бы во много

раз ниже минимального пересчитанного внутреннего сопротивления днода в этих же точках $\left(\frac{z^2}{R_l}\right)$, т. е. чтобы

$$p^2 R_s \ll \frac{z^2}{R_l}.$$

Сравнение амплитудной и частотной модуляций. Амплитудную и частотную модуляции следует сравнивать, исходя из расчетной мощности передатчиков и полосы частот, занимаемой передатчиком.

При амплитудной модуляции номинальная мощность ламп выходного усилителя в режиме максимальной мощности (при $m = 100\%$) определяется по формуле

$$P_{\sim \max} = P_{\sim n} (1 + m^2) \approx 4P_{\sim n}.$$

В процессе работы коэффициент глубины модуляции непрерывно меняется от максимального значения до нуля. За длительный промежуток времени передачи средний коэффициент глубины модуляции $m = 0,3-0,4$. Средняя мощность в телефонном режиме

$$P_{\text{т. ср}} = P_{\sim n} (1 + 0,5m^2) \approx P_{\sim n},$$

и общий к. п. д. передатчика составляет 10—20%, т. е. значительно ниже, чем в телеграфном режиме.

При частотной модуляции амплитуда колебаний не меняется, ввиду чего лампы передатчика работают в режиме максимальной мощности. Если номинальные мощности ламп передатчиков с амплитудной и частотной модуляцией одинаковы, то мощность передатчика с частотной модуляцией будет примерно в четыре раза больше.

В отношении полосы частот более выгодной оказывается амплитудная модуляция, у которой полоса частот $\Delta F = 2F_v$, где F_v — верхняя частота модуляции. Такая же полоса получается при узкополосной частотной модуляции, когда $m_f \leq 0,5$; при $m_f = 0,5-1$ полоса оказывается значительно шире $4\Delta F_v$. Для широкополосной частотной модуляции полоса равна удвоенной девиации частоты и будет значительно выше верхней модулирующей частоты.

Увеличение полосы частотно-модулированных колебаний требует соответствующего увеличения полосы пропускания приемника.

§ 57. Манипуляция

Манипуляция применяется при передачах телеграфных сигналов (радиотелеграфия), черно-белых изображений (фототелеграфия) и в буквопечатании.

При радиотелеграфии управление высокочастотными колебаниями передатчика осуществляется кодом Морзе, в котором каждая буква состоит из коротких (точек) и длинных (тире) сигналов, разделенных паузами. Если принять длительность точки за τ , то длительность тире составит 3τ , пауза между знаками — τ , между буквами — 3τ и между словами — 5τ .

При такой манипуляции колебания в антенне представляют собой посылки высокочастотных колебаний постоянной амплитуды, длительность которых соответствует длительности сигналов кода Морзе. Следовательно, данную манипуляцию можно изобразить как такой вид амплитудной модуляции, при которой амплитуда колебаний меняется по прямоугольному закону управляющего сигнала (на рис. 1, а, б была показана такая амплитудная манипуляция).

Амплитудную манипуляцию можно выполнить вручную телеграфным ключом и автоматически (быстродействующая работа) специальным механизмом — трансмиттером.

При ручной работе скорость передачи не превышает 20—25 слов в минуту, при быстродействующей доходит до 500 слов, а при использовании фототрансмиттеров — до 1000 и более слов в минуту.

Сигналы при ручной работе принимают на слух. Такая линия связи в меньшей степени подвержена помехам, и прием сигналов возможен даже в случае, если отношение сигнал/помеха равно единице.

Кроме указанных видов манипуляции, на практике широко применяют буквопечатающую передачу, осуществляемую телеграфным аппаратом с использованием равнозначного кода Бодо (пяти, шести, или семизначного), в котором каждая буква представляет собой комбинацию из указанного числа импульсов одинаковой продолжительности положительной или отрицательной полярности. При буквопечатающей передаче используются старто-стопные буквопечатающие телеграфные аппараты типа СТ, в которых в начале передачи буквы дается дополнительный импульс «старт», а в конце — «стоп».

При фототелеграфной работе передают неподвижные чернотелые изображения, причем излучение антенной происходит при передаче белого поля, а пауза соответствует передаче черного.

Кроме распространенной амплитудной манипуляции, применяются манипуляции тонально-модулированными колебаниями и частотная.

При работе тонально-модулированными колебаниями высокочастотные посылки, соответствующие сигналам кода Морзе, модулируются тоном низкой частоты 400—1000 гц (рис. 1, в). Основное преимущество такой работы — возможность приема колебаний любым приемником, в то время как для приема незатухающих колебаний на слух в приемнике должен быть второй гетеродин, создающий биения с сигналами промежуточной частоты, подаваемыми на детектор.

Недостатками этого вида работы являются меньшая мощность (а значит, и дальность действия) по сравнению с работой незатухающими колебаниями и более широкая полоса частот.

Частотная манипуляция используется для быстроедействующей и буквопечатающей работы с большими скоростями в линиях магистральной связи. При частотной манипуляции передатчик излучает и во время посылок, и во время пауз; такую манипуляцию иногда называют работой с активной паузой. Амплитуда колебаний посылок и пауз одинакова, но частота отличается на несколько сотен герц. На рис. 1, г показан ток в антенне при указанных колебаниях. Во время передачи посылок антенна передатчика излучает колебания частоты f_1 , во время пауз f_2 . Несущей частотой передачи называется средняя частота

$$f_n = \frac{1}{2} (f_1 + f_2),$$

а двенадцатей частоты — разность между частотой посылки и несущей:

$$\Delta f = f_1 - f_n = \frac{1}{2} (f_1 - f_2).$$

Частотная манипуляция обладает важными преимуществами перед амплитудной. При частотной манипуляции мощность излучения увеличивается примерно вдвое, так как работа происходит без пауз; это увеличивает дальность

действия и повышает надежность работы линии радиосвязи. Кроме того, частотная манипуляция позволяет повысить скорость передачи, которая ограничена в схемах амплитудной манипуляции переходными процессами, возникающими при включении и выключении цепей передатчика. В результате форма телеграфных посылок искажается. В схемах частотной манипуляции передатчик непрерывно работает с полной мощностью, и переходные процессы при переключении с одной частоты на другую сказываются незначительно.

Важным преимуществом частотной манипуляции является большая помехозащищенность, связанная, во-первых, с применением специальных схем приема, позволяющих ослабить влияние помех, и во-вторых, с меньшим влиянием замираний при распространении радиоволн.

Установлено, что частотная манипуляция дает 4—9-кратный выигрыш по мощности по сравнению с амплитудной. Недостатком частотной манипуляции нужно считать необходимость иметь специальный приемник.

Частотный спектр манипулированного колебания. Определим частотный состав и полосу частот, занимаемую манипулированным колебанием при амплитудной, тональной и частотной манипуляциях.

Частотный состав и полоса частот, занимаемая передатчиком при манипуляции, зависят от вида манипуляции и скорости работы.

Скорость манипуляции определяется числом слов, передаваемых в минуту. Так как разные слова состоят из различного числа букв, то при определении скорости вводится понятие стандартного пятибуквенного слова, состоящего из 48 элементарных знаков кода Морзе (точек или пауз).

Скорость телеграфирования в элементарных знаках

$$N' = 48N \frac{\text{эл. зн}}{\text{мин}} = \frac{48}{60} N \frac{\text{эл. зн}}{\text{сек}},$$

где N — скорость, станд. слов/мин.

Частота, с которой изменяется амплитуда колебания, зависит от скорости телеграфирования и от вида передаваемых сигналов. Частота максимальна при передаче точек; в этом случае длительность точки и паузы представляет

период модулирующего прямоугольного колебания, а основная частота манипуляции

$$F = \frac{1}{T} = \frac{1}{2\tau},$$

где τ — длительность элементарной посылки.

При скорости N' эл. зи/сек длительность одного знака $\tau = \frac{1}{N'}$, поэтому

$$F = \frac{1}{2\tau} = \frac{N'}{2} = 0,4N.$$

Если производить манипуляцию с синусоидальной формой огибающей высокочастотного сигнала, то при частоте манипуляции F полоса частот будет вдвое больше:

$$\Delta F = 2F.$$

Чем сильнее форма огибающей отличается от синусоидальной, тем больше боковых частот появится в составе высокочастотного сигнала.

Исследования показывают, что амплитуды боковых частот убывают обратно пропорционально номеру гармоники. В результате полоса частот манипулированного колебания значительно больше $2F$. На практике желательно ограничить полосу, чтобы уменьшить взаимные помехи радиостанций. Ограничение полосы частот третьей или пятой гармоникой приводит к тому, что форма воспроизводимого в приемнике сигнала будет отличаться от прямоугольной.

Однако форму сигнала в приемнике можно откорректировать с помощью ограничителей по максимуму и минимуму, ввиду чего полосу частот обычно ограничивают третьей гармоникой. Тогда

$$\Delta F = 2nF = 0,8nN,$$

где n — номер гармоники.

При $n = 3$ $\Delta F = 2,4N$.

Например, при скорости передачи $N = 25$ слов/мин

$$\Delta F = 2,4N = 2,4 \cdot 25 = 60 \text{ гц};$$

при быстродействующей работе, когда $N = 400$ слов/мин,

$$\Delta F = 2,4N = 2,4 \cdot 400 \approx 1000 \text{ гц}.$$

Как видно из примеров, полоса частот, занимаемая передатчиком при манипуляции, значительно меньше, чем при амплитудной модуляции.

Ограничению спектра амплитудно-манипулированных колебаний препятствуют переходные процессы в цепях питания, вследствие резкого изменения нагрузки выпрямителя при нажатом и отжатом ключе. Эти процессы приводят к искажениям формы огибающей и расширению реального спектра манипулированного колебания.

При буквопечатающей работе полоса частот составляет 100—200 гц (скорость передачи 50—60 слов в минуту). При тональной работе полоса частот шире и в основном определяется тональной частотой модуляции:

$$\Delta F_{\tau} = 2nF + 2F_{\tau} = 2(1,2N + F_{\tau}).$$

При $N = 25$ слов/мин и $F_{\tau} = 100$ гц

$$\Delta F_{\tau} \approx 2100 \text{ гц};$$

при $N = 400$ слов/мин и $F_{\tau} = 1000$ гц

$$\Delta F_{\tau} \approx 300 \text{ гц}.$$

Увеличение ширины полосы при тональной работе — существенный недостаток данного способа манипуляции.

При частотной манипуляции ширина частотного спектра зависит от индекса манипуляции $m_f = \frac{\Delta f}{F}$ и формы сигнала (F — максимальная частота манипуляции). Исследования показывают, что частотный спектр оказывается уже, чем при амплитудной манипуляции, так как амплитуды боковых частот убывают быстрее.

Дополнительное ограничение спектра достигается округлением фронта модулирующего сигнала.

Девияция частоты выбирается около 300—1000 гц. При девииции $\Delta f = 300$ —400 гц и закругленной форме сигнала полоса частот оказывается достаточно узкой и приближенно определяется выражением

$$\Delta F \approx 2(\Delta f + F).$$

Схемы амплитудной манипуляции. Амплитудная манипуляция осуществляется изменением напряжений на электродах ламп передатчика таким образом, что в моменты

нажатия ключа подается нормальное напряжение и передатчик работает, а при отжатом ключе, во время пауз, лампы передатчика запираются и излучение сигнала прекращается.

В передатчиках малой и средней мощностей манипуляция телеграфным ключом производится оператором.

В передатчиках большой мощности, предназначенных для быстродействующей автоматической работы, буквопечатающей передачи и фототелеграфии, манипуляции выполняются автоматическими устройствами: трансмиттерами, телеграфными и фототелеграфными аппаратами, расположенными в радиобюро, находящемся на значительном расстоянии от передающего центра (до 30—50 км). Телеграфные сигналы, вырабатываемые указанными устройствами, представляют импульсы тока одинаковой или противоположной полярности. Импульсы по проводной линии связи подаются в передатчик на манипуляционное реле, которое своими контактами производит соответствующие переключения в цепях передатчика. При работе на больших скоростях вместо механических реле применяются электронные: они являются ламповыми схемами, позволяющими переключать напряжения питания во много раз быстрее механических реле.

Амплитудная манипуляция нежелательна в генераторе и буферном усилителе передатчика, потому что она связана с резким изменением режима работы лампы, а это приводит к нестабильности частоты. С другой стороны, манипуляция в мощных оконечных усилителях также нежелательна, так как потребует переключения высоких питающих напряжений. По этим причинам манипуляцию лучше выполнять в промежуточных усилителях, которые непосредственно не связаны с генератором и напряжения питания которых невелики.

В передатчиках малой и средней мощностей манипуляцию производят как в промежуточных, так и в выходных усилителях (а иногда и в генераторе); в передатчиках большой мощности — в нескольких промежуточных усилителях.

Рассмотрим основные схемы амплитудной манипуляции. Манипуляция принципиально возможна как в цепях высокочастотного сигнала, так и в цепях постоянных напряжений питания. В цепи высокочастотного сигнала манипуляцию можно осуществить, разрывая цепь возбу-

ждения или высокочастотного контура усилителя в моменты пауз. На практике такая манипуляция не используется, так как включение контактов реле (или ключа) в цепи высокой частоты не позволит осуществить качественный разрыв цепей из-за значительной емкости разомкнутых контактов, представляющих небольшое сопротивление токам высокой частоты. Основное распространение получили схемы манипуляции в цепях питания электродов лампы усилителя. В зависимости от того, в цепи каких электродов изменяются напряжения, различают манипуляцию в цепях управляющей, экраниной и защитной сеток и анода.

Наибольшее распространение получили схемы манипуляции в цепи управляющей сетки, где токи и напряжения невелики, что облегчает работу контактов манипуляционного реле.

На рис. 140, а показана схема манипуляции с разрывом цепи сетки. При нажатом ключе контакт реле находится в положении 1 и на сетку подается нормальное отрицательное смещение — E_{g1} , при отжатом ключе контакт находится в положении 2 и цепь сетки разорвана по постоянной составляющей. Такая манипуляция не дает возможности получить полное запирающее лампы, так как при отжатом ключе конденсатор C_{g1} непрерывно заряжается положительной полуволной напряжения возбуждения до напряжения U_{mg1} . Разряд конденсатора невозможен, и поэтому на сетке установится отрицательное напряжение $E'_{g1} = -U_{mg1}$. Это напряжение меньше напряжения запирающего лампы с возбуждением на сетке, ввиду чего через лампу будет проходить небольшой анодный ток (рис. 140, б). Устранить влияние остаточных колебаний можно при условии работы последующего усилителя с таким фиксированным смещением, при котором остаточные колебания не вызовут отпирания его лампы ($\theta < 90^\circ$).

Лучшие результаты дает схема манипуляции, в которой достигается полное запирающее лампы при отжатом ключе. В этой схеме (рис. 140, в) на сетку лампы при нажатом ключе (контакт 1 замкнут) подается нормальное смещение с участка а — б потенциометра R_n , при отжатом ключе (замкнут контакт 2) на сетку лампы подается напряжение — E_{g1} , достаточное для запирающего лампы (с участка

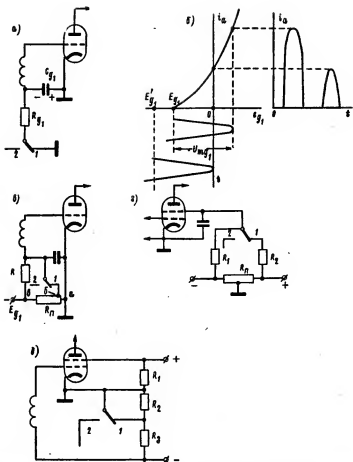


Рис. 140. Схемы манипуляции: а — с разрывом цепи управляющей сетки; б — график работы лампы при наличии возбуждения и разрыве цепи сетки; в — с запирающим цепи управляющей сетки; г — с запирающим лампы в цепи экранной сетки; д — с запирающим лампы по цепям управляющей и экранной сеток.

a — b того же потенциометра). Это напряжение должно быть несколько больше напряжения запираания:

$$|E_{g1}| > U_{mg1} + DE_a \text{ — для триодов;}$$

$$|E_{g1}| > U_{mg1} + DE_a + D_2 E_{g2} \text{ — для тетродов и пен. тодов.}$$

Сопротивление R предотвращает короткое замыкание потенциометра при нажатом ключе.

Манипуляция в цепи экранной сетки осуществляется по схеме, показанной на рис. 140, z . При нажатом ключе на экранную сетку подается рабочее положительное напряжение от потенциометра (потенциометр замкнут на сопротивление $R_1 + R_2$), при отжатом ключе — небольшое отрицательное напряжение, обеспечивающее полное запираание лампы.

Применяются также схемы комбинированной манипуляции в цепи управляющей и экранной сеток (рис. 140, d). В них при отжатом ключе на управляющую сетку подается большое отрицательное напряжение, а на экранную сетку — пониженное положительное напряжение, лампа запирается. При нажатом ключе сопротивление R_2 потенциометра закорачивается и напряжение на сетках (отрицательное на управляющей и положительное на экранной) снимается с потенциометра, состоящего из сопротивлений R_1 и R_3 . Эти сопротивления подбираются так, чтобы на сетках были нормальные рабочие напряжения.

Манипуляция в цепи защитной сетки применяется редко, так как для запираания лампы требуется большее отрицательное напряжение. Манипуляция в цепи анода также почти не применяется ввиду необходимости переключения высоких анодных напряжений.

Из всех рассмотренных лучшие результаты дают схемы манипуляции в цепи управляющей сетки и комбинированные схемы на управляющую и экранную сетки.

Описанные схемы манипуляции имеют существенный недостаток — так называемое явление *преобладания*, которое заключается в том, что фактическая длительность передачи точки и паузы оказывается различной.

Преобладание обусловлено тем, что передача точки при нажатии реле начинается не с момента отрыва якоря от контакта, соответствующего паузе, а с момента замыкания второго контакта, соответствующего передаче точки.

Время перехода якоря из первого положения во второе прибавляется ко времени паузы. В результате длительность точки уменьшается на время срабатывания реле t_p , а длительность паузы возрастает на это же время.

Для исключения указанного явления, имеющего большое значение только при быстродействующей работе и буквопечатании, применяют схемы с электронным реле, которые, устраняя преобладание, позволяют также работать со скоростями, значительно большими, чем механические реле (свыше 150—200 слов в минуту).

В схемах манипуляции на больших скоростях лампы электронного реле управляются непосредственно импульсами телеграфного сигнала.

При телеграфной работе тонально-модулированными колебаниями в одном из промежуточных усилителей передатчика применяют схему амплитудной модуляции звуковой частотой. Колебания этой частоты получают или от лампового генератора, включаемого при тональной работе, или от силового генератора повышенной частоты, питающего передатчик.

Схемы частотной манипуляции. Основными требованиями, предъявляемыми к схемам частотной манипуляции, являются высокая стабильность несущей частоты f_n , а следовательно, и частот посылок f_1 и паузы f_2 , высокая стабильность девиации частоты Δf и отсутствие побочных излучений, что уменьшает помехи соседним радиостанциям.

Для получения частотно-манипулированных колебаний были предложены три основных типа схем передатчиков.

В первом типе схем применяют два генератора 1 и 2 с кварцевой стабилизацией; эти генераторы работают на частотах f_1 и f_2 и манипуляционным устройством поочередно подключаются к усилительному тракту передатчика 3, как показано на рис. 141, а.

На практике такие схемы манипуляции оказались непригодными по следующим причинам: 1) при переключении генераторов получаются скачки фазы напряжений в усилителе, что приводит к значительным неустойчившимся процессам, появляются токи побочных частот, частотный спектр сигнала расширяется; 2) несмотря на возможность получения высокой стабильности частот f_1 и f_2 девиация частоты Δf оказывается недостаточно ста-

бильной, так как она мала по абсолютной величине, а частоты f_1 и f_2 достаточно высоки.

Основное применение на практике получил второй тип схем частотной манипуляции с одним генератором, частота которого меняется путем изменения одного из параметров его колебательной системы. Для получения более высокой стабильности частоты используют генераторы, стабилизированные кварцем, однако в этом случае трудно получить необходимую девиацию частоты, так как частоту

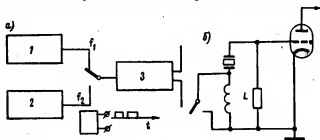


Рис. 141. Схемы частотной манипуляции: а — с двумя генераторами; б — с регулировкой частоты кварцевого генератора дополнительной индуктивностью.

кварцевого генератора можно регулировать только в узких пределах изменением величины воздушного зазора или емкости кварцедержателя.

Лучшие результаты дает регулировка емкости кварцедержателя с помощью дополнительной последовательной или параллельной индуктивности (рис. 141, б). При такой регулировке можно получить нужные и достаточно стабильные девиации частоты и несущую частоту.

Величина последовательной (в некоторых схемах параллельной) индуктивности регулируется реле или реактивной лампой, которая в свою очередь управляется манипуляционным сигналом.

Схемы частотной манипуляции с кварцевыми генераторами были предложены А. А. Магазанником в 1944 г.

В современных схемах в качестве регулируемой индуктивности обычно используются реактивные лампы.

В последние годы методы частотного телеграфирования получили весьма широкое распространение в передатчиках магистральной связи вследствие высокой помехозащищенности передачи, что позволяет осуществить передачу

сигналов при меньшем отношении сигнала к помехе (например, 1,3—2 при буквопечатающей передаче вместо 3 при обычной манипуляции).

Частотная манипуляция позволяет получить значительный (9—16-кратный) выигрыш в мощности передатчика по сравнению с амплитудной.

Кроме обычной частотной манипуляции широко используются методы двухканальной передачи, разработанные И. Ф. Агаповым и другими советскими учеными и инженерами.

Искажения сигналов при манипуляции. При манипуляции наблюдаются искажения формы телеграфных сигналов. Эти искажения заключаются в изменениях амплитуды высокочастотных посылок и увеличения времени нарастания и спада колебаний, в результате чего увеличивается длительность посылок и сокращается длительность пауз, причем посылки из прямоугольных делаются трапециoidalными.

Основными причинами, вызывающими искажения телеграфных сигналов, являются: 1) переходные процессы в сглаживающих фильтрах источников питания передатчика и недостаточная мощность источников питания; 2) переходные процессы в колебательных контурах передатчика; 3) переходные процессы в линиях, связывающих передающие центры с радиобюро; 4) дефекты работы манипуляционных реле.

Глава XIII

ИМПУЛЬСНАЯ МОДУЛЯЦИЯ В РАДИОПЕРЕДАЮЩИХ УСТРОЙСТВАХ СВЧ

§ 58. Общие сведения

Импульсную модуляцию применяют при импульсных методах работы радиопередающих устройств и широко используют в диапазоне СВЧ, в радиолокации, радиорелейной многоканальной связи и др. Основное преимущество импульсной связи — возможность многоканальной радиосвязи, когда один передатчик одновременно передает десятки и сотни разнообразных сигналов.

Простейшая (одиократная) импульсная модуляция используется в передатчиках РЛС, где колебания СВЧ модулируются по амплитуде периодической последовательностью прямоугольных видеопульсов с одинаковыми и постоянными параметрами. Такая модуляция непригодна при импульсной радиотелефонной или телевизионной передаче, когда импульсные высокочастотные сигналы должны отражать закон управляющего сигнала. В этом случае используется так называемая двухкратная импульсная модуляция, при которой периодическая последовательность прямоугольных импульсов является исходной, а передача нужного управляющего сигнала осуществляется изменением параметров исходной последовательности импульсов по закону этого сигнала.

В зависимости от того, какой из параметров импульсов меняется, различают три основных вида модуляции:

- 1) амплитудно-импульсную;
- 2) широтно-импульсную;
- 3) фазово-импульсную.

Амплитудно-импульсная модуляция. При амплитудно-импульсной модуляции (АИМ) амплитуда периодической последовательности импульсов меняется по закону управляющего сигнала (рис. 142, *г*). На рис. 142, *а*, *б*, *в* показаны исходная последовательность видеопульсов, модулирующий сигнал и модулированные видеопульсы.

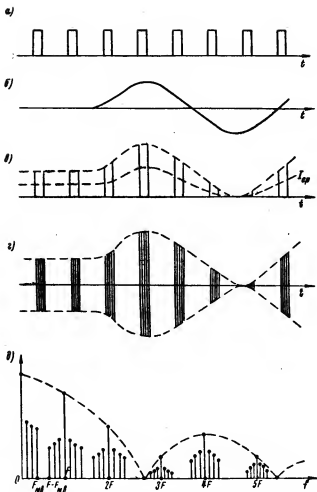


Рис. 142. Амплитудно-импульсная модуляция: а — периодическая последовательность прямоугольных видеоимпульсов; б — модулирующий сигнал; в — модулированные по амплитуде видеоимпульсы; г — модулированные радиопульсы; д — частотный спектр модулированных видеоимпульсов.

В приемном устройстве модулированные радиоимпульсы детектируются в видеонимпульсы, амплитуда которых меняется по закону управляющего сигнала. Особенность частотного спектра таких импульсов заключается в том, что кроме основных составляющих спектра, отстоящих друг от друга на частоту следования F , около каждой из них появляются частотные спектры модулирующего сигнала (рис. 142, д). Полезный сигнал выделяется фильтрами нижних частот, образующих низкочастотный спектр из общего спектра видеонимпульсов.

Условием нормальной работы АИМ является такое соотношение между верхней частотой модуляции и частотой следования, при котором

$$F - F_{\text{м. в}} > F_{\text{м. в}},$$

откуда

$$F > 2F_{\text{м. в}},$$

где F — частота следования;
 $F_{\text{м. в}}$ — высшая частота модуляции.

Частота следования и длительность импульса влияют на число каналов, которые можно использовать при одной передаче, потому что чем больше период следования и чем меньше длительность импульса, тем больше импульсов различных каналов можно разместить между импульсами основного канала. Полоса пропускания, необходимая для неискаженного прохождения радиоимпульсов, зависит от их длительности. Если длительность импульсов порядка нескольких микросекунд, полоса пропускания составит несколько мегагерц. Поэтому для импульсной передачи необходимо использовать СВЧ.

Основной недостаток АИМ — низкая помехозащищенность ввиду невозможности использовать амплитудные ограничения.

Схема АИМ состоит из генератора периодической последовательности прямоугольных видеонимпульсов и собственно модулятора, преобразующего амплитуду импульсов по закону управляющего сигнала. Полученная последовательность модулированных импульсов подается на генератор СВЧ. Простейшая принципиальная схема получения АИМ приведена на рис. 143.

Широтно-импульсная модуляция. При широтно-импульсной модуляции (ШИМ) ширина (длительность)

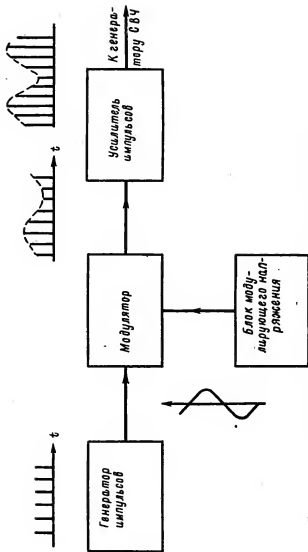
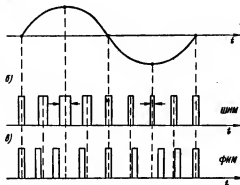


Рис. 143. Блок-схема амплитудно-импульсной модуляции.

импульса меняется по закону управляющего сигнала (рис. 144, а, б). Известны два вида модуляции: односторонняя, когда смещается один из фронтов импульсов, например задний, и двусторонняя, когда смещаются оба фронта, как показано на рис. 144, б.

а)

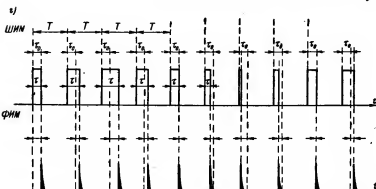
Рис. 144. Графики импульсно-модулированных видеопульсов: а — модулирующий сигнал; б — широтно-модулированные видеоимпульсы; в — фазово-модулированные видеоимпульсы; г — образование фазово-модулированных импульсов из широтно-модулированных.



б)

в)

г)



Изменение длительности импульсов в зависимости от величины модулирующего сигнала приводит к основному недостатку ШИМ — необходимости выбора полосы пропускания высокочастотного тракта по длительности самого короткого импульса. Это требует расширения полосы пропускания, увеличивает уровень помех на входе приемника и ограничивает глубину модуляции.

В схемах ШИМ длительность выходных импульсов должна линейно зависеть от величины модулирующего

напряжения, а импульсы должны иметь прямоугольную форму.

Для получения таких импульсов применяют схемы, использующие методы сравнения, причем опорным напряжением сравнения служит напряжение модуляции.

Фазово-импульсная модуляция. При фазово-импульсной модуляции (ФИМ) длительность и амплитуда импульса поддерживаются постоянными, а изменяется положение импульсов во времени, т. е. моменты их возникновения. Например, с увеличением модулирующего напряжения импульсы появляются тем раньше, чем выше напряжение; при уменьшении модулирующего напряжения импульсы запаздывают.

На рис. 144, а, в показаны модулирующий сигнал и модулированные видеопульсы (пунктиром показано положение импульсов при отсутствии модуляции).

Частотный спектр ФИМ подобен спектру АИМ и зависит от длительности импульсов.

Основное преимущество фазово-импульсной модуляции — в большей помехозащищенности ввиду возможности использования амплитудных ограничителей.

Схемы фазово-импульсной модуляции строятся либо на принципе преобразования импульсов, предварительно модулируемых по длительности, либо на применении специальных электровакуумных приборов — электронных коммутаторов.

В первом случае последовательность прямоугольных импульсов предварительно модулируют по длительности, т. е. осуществляют ШИМ, затем с помощью формирующих импульсных устройств (дифференцирующие цепи, контуры ударного возбуждения и т. д.) получают импульсы, временное положение которых определяется задним фронтом импульсов, модулированных по длительности (рис. 144, г).

При использовании электронных коммутаторов, представляющих одну из разновидностей электронно-лучевых трубок, предварительной модуляции по ширине не требуется.

§ 59. Принцип действия и технические показатели импульсных модуляторов РЛС

Основной вид работы передатчиков РЛС — импульсный, причем модуляция в РЛС осуществляется периодической последовательностью прямоугольных видеопуль-

пульсов. Эти видеоимпульсы включают генератор СВЧ, который в остальное время не работает. В генераторах на триодах, используемых в РЛС метровых и дециметровых волн, возможна модуляция на сетку и на анод.

Модуляция на сетку заключается в том, что нормально запертая лампа отпирается периодической последовательностью положительных видеоимпульсов модулятора. В моменты, когда лампа открыта, генератор вырабатывает и передает в антенну импульсы СВЧ.

Модуляции на сетку присущи следующие недостатки.

1. Увеличение потерь в анодной цепи в связи с появлением термотока сетки, который в импульсных лампах оказывается значительным вследствие большой мощности накала и близкого расположения сетки к катоду (особенно велик термоток в лампах с оксидным катодом). Так как термоток протекает непрерывно, то дополнительные потери на аноде, вызванные им, будут равны:

$$P_{a.\tau} = E_a I_{g1\tau}.$$

Величина термотока обычно составляет 0,001—0,003 от анодного тока, поэтому $P_{a.\tau} = (0,001—0,003) E_a I_{a.}$

Средние потери на аноде без учета влияния термотока

$$P_{a.ср} = \frac{E_a I_{a.}}{\frac{T}{\tau}},$$

где $\frac{T}{\tau}$ — скважность.

Обычно скважность достаточно велика (порядка сотен и тысяч), поэтому нетрудно убедиться, что потери, вызванные термотоком, будут порядка средних потерь $P_{a.ср}$:

$$\frac{P_{a.\tau}}{P_{a.ср}} = (0,001 - 0,003) \frac{T}{\tau}.$$

Например, при $\frac{T}{\tau} \approx 1000$ и $I_{g1\tau} = 0,001 I_{a.}$ $P_{a.\tau} \approx P_{a.ср}$.

2. Уменьшение электрической прочности ламп, поскольку в процессе работы (и при передаче импульса, и в паузы) на аноде действует полное напряжение питания, понижающее электрическую прочность деталей лампы и вакуума.

Несмотря на возможность применения маломощного модулятора, из-за указанных недостатков модуляция на сетку используется редко.

Основной в РЛС является модуляция на анод. В моменты пауз генерация отсутствует, так как напряжение на аноде лампы равно нулю. В моменты работы генератора на анод лампы подается импульс высокого напряжения от модулятора.

Преимущества модуляции на анод состоят в следующем.

1. Величина импульсного анодного напряжения может быть взята значительно больше постоянного, так как отсутствие электрического поля в паузах между импульсами в несколько раз повышает электрическую прочность лампы. Увеличение анодного напряжения позволяет в сотни и тысячи раз повысить номинальную мощность лампы в импульсном режиме по сравнению с непрерывным.

2. Отпадает надобность в большом отрицательном смещении в цепи сетки.

Основная особенность модуляции на анод заключается в необходимости использовать высоковольтный модулятор.

Анодная модуляция — единственный метод модуляции в магнетронах.

Блок-схема и классификация импульсных модуляторов. Импульсные модуляторы, используемые при модуляции на анод, должны создавать последовательность мощных высоковольтных импульсов, необходимых для нормальной работы генератора СВЧ. В большинстве схем передатчиков РЛС применяются мощные модуляторы, управляемые пусковыми синхронизирующими импульсами.

Модуляторы РЛС состоят из источников питания, накопителя энергии и коммутатора (ключа) и различаются по типам накопителя энергии и коммутатора. В процессе работы энергия источников питания во время пауз накапливается в накопителе и отдается генератору СВЧ в моменты передачи импульсов. Энергия накопителя управляется специальным коммутирующим устройством.

Общая блок-схема импульсного модулятора приведена на рис. 145, а.

Различают модуляторы с емкостными и индуктивными накопителями: в модуляторах первого типа в качестве накопителей используются конденсаторы и искусственные длинные линии, в модуляторах второго типа — катушки индуктивности.

Емкостные накопители накапливают электрическую энергию при разомкнутом коммутаторе (в паузы между импульсами) и отдают ее генератору при замкнутом (в мо-

менты передачи импульса). В индуктивных накопителях энергия накапливается в магнитном поле катушки при замкнутом коммутаторе и отдается генератору при разомкнутом, когда разрыв тока в катушке вызывает появление большой э. д. с. самоиндукции. Диаграммы работы коммутатора на замыкание и размыкание показаны на рис. 145, б, в.

В качестве коммутаторов, позволяющих осуществить быструю коммутацию больших токов (сотни ампер) и на-

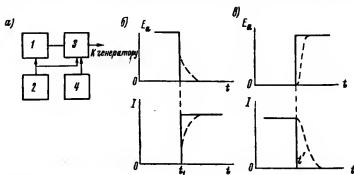


Рис. 145. Импульсный модулятор: а — блок-схема; б — диаграмма работы коммутатора на замыкание; в — диаграмма работы коммутатора на размыкание (пунктиром показаны диаграммы реального коммутатора).

1 — накопитель; 2 — источники питания; 3 — коммутатор; 4 — подмодулятор (может отсутствовать).

пряжений (десятки киловольт), используются искровые вращающиеся разрядники, вакуумные лампы и газонаполненные приборы — тиратроны и тригатроны, а также нелинейные индуктивности. Искровые вращающиеся разрядники, тиратроны, тригатроны и нелинейные индуктивности называются «мягкими», а электронные лампы — «жесткими» коммутаторами.

Тип коммутатора влияет на работу накопителя потому, что электрические процессы в приборах с газовым промежутком отличаются от процессов в электронных лампах.

В «мягких» коммутаторах можно управлять только началом процесса разряда, подавая соответствующий положительный импульс на сетку тиратрона или поджигающий импульс на тригатрон. Начавшийся разряд уже нельзя

прервать, и он продолжается до тех пор, пока напряжение на газовом промежутке не упадет до величины напряжения потухания. Такой характер работы коммутатора приводит к полному разряду накопителя.

Преимущества «мягких» коммутаторов — простая конструкция, меньшие габариты и вес при очень больших мощностях и большой к. п. д. из-за малого внутреннего сопротивления газового промежутка в моменты проводимости тока. Недостатки их — трудность получения строго прямоугольной формы импульса (длительность импульса и его форма зависят от длительности разряда, которая определяется только цепью разряда, и не зависят от импульса, управляющего началом разряда), а также невозможность работы на размыкание. Лучшую форму импульса можно получить, используя в качестве накопителя искусственную длинную линию.

«Жесткие» коммутаторы могут быть использованы и при замыкании, и при размыкании. Кроме того, длительность и форма импульсов, формируемых в схемах с такими коммутаторами, не связаны с процессами газового разряда и зависят от управляющих импульсов, действующих на сетке лампы-коммутатора. Лампы можно использовать в схемах с частичным разрядом накопителя и в усилителях импульсов.

Недостаток «жестких» коммутаторов — необходимость в значительных напряжениях для запираания ламп и большое внутреннее сопротивление ламп (последнее приводит к потерям мощности и снижению к. п. д.).

Нелинейные индуктивности — наиболее современный и перспективный тип коммутатора, они позволяют осуществить модулятор без электронных ламп. Нелинейные индуктивности применяются с емкостными накопителями, работающими в режиме полного разряда.

Требования, предъявляемые к модуляторам РЛС. Модуляторы характеризуются параметрами выходного импульса (его формой, временем нарастания и спада, изменением амплитуды), внутренним сопротивлением и величинами импульсной и средней мощностей.

Чтобы получить генерируемый высокочастотный импульс близким к прямоугольному, видеопульс, вырабатываемый модулятором, также должен быть близким к прямоугольному. Это особенно важно при модуляции магнетронных генераторов, где требуется высокая кру-

тизна фронтов нарастания и спада модулирующих импульсов:

$$t_n = (0,1-0,2) \tau; \quad t_c = (0,1-0,3) \tau.$$

Высокая крутизна фронта нарастания увеличивает точность фиксации времени начала импульса, а следовательно, и точность определения координат объектов.

Высокая крутизна фронтов в магнетроне необходима еще и потому, что генерация колебаний зависит от величины анодного напряжения (см. § 49), причем при постепенном увеличении E_a магнетрон переходит от колебаний более высокого порядка (с большим n) к колебаниям более низкого порядка (с малым n). Поэтому при медленном нарастании напряжения в магнетроне могут возникнуть нежелательные колебания высокого порядка. Для получения только противофазных колебаний при установившемся анодном напряжении последнее должно нарастать достаточно быстро.

Важное значение в магнетронных генераторах имеет величина неустойчивости амплитуды импульса ΔE , которая приводит к изменению генерируемой частоты. Величина допустимого изменения амплитуды зависит от типа и режима работы магнетрона и не должна превышать 2—5%.

Форма огибающей высокочастотного импульса магнетрона отличается от модулирующего импульса тем, что крутизна фронтов нарастания и спада радиоимпульса увеличивается, поскольку начало и срыв колебаний наступают при некотором $E_{a \min} > 0$ [обычно $E_{a \min} \approx (0,7-0,8) E_{aN}$], и высокочастотные колебания нарастают за меньшее время изменения E_a (от $E_{a \min}$ до E_{aN}).

Изменения амплитуды импульса напряжения приводят к значительным изменениям тока магнетрона, в результате чего огибающая радиоимпульса будет изменяться более резко.

Нагрузка модулятора. Нагрузкой модулятора является цепь постоянного тока генератора СВЧ.

В магнетронах сопротивление постоянному току сильно меняется с изменением анодного напряжения. При отрицательном анодном напряжении магнетрон тока не проводит и его сопротивление бесконечно велико. Когда $0 < E_a < E_{a \min}$, ток магнетрона меняется в пределах $0-I_{a \min}$ и сопротивление магнетрона

$$R_m = \frac{E_a}{I_a} = \frac{E_{a \min}}{I_{a \min}}.$$

При $E_a > E_{a \min}$ в магнетроне возникает генерация, ток резко увеличивается, а сопротивление падает в 20—30 раз:

$$R_{м.г} = \frac{E_a N}{I_a N} < R_{м.}$$

В триодных генераторах сопротивление нагрузки модулятора также определяется величиной постоянной составляющей анодного тока в моменты генерации, когда $E_a > 0$:

$$R_r = \frac{E_a}{I_{a_0}}.$$

§ 60. Модуляторы с частичным и полным разрядом накопителя

Модуляторы с частичным разрядом накопителя. Наиболее широкое практическое применение получили схемы модуляторов с емкостными накопителями в виде конденсаторов большой емкости или искусственных длинных линий.

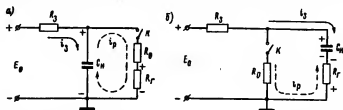


Рис. 146. Эквивалентные схемы импульсных модуляторов с емкостным накопителем: а — параллельная; б — последовательная.

В эквивалентных схемах этих модуляторов (рис. 146) емкость накопителя C_n заряжается от источника питания через зарядное сопротивление R_z . Возможны два варианта включения нагрузки R_r (сопротивление генератора постоянному току): 1) сопротивление не входит в цепь заряда и включено последовательно с ключом K (рис. 146, а), при этом медленный заряд конденсатора происходит через сопротивление R_z , а разряд — через сопротивления $R_0 + R_r$ (сопротивление R_z берется большим и на процесс разряда не влияет); 2) заряд конденсатора происходит через сопротивления R_z и R_r (рис. 146, б), а разряд так же, как и в предыдущей схеме.

Применение каждого из вариантов связано с тем, какой из электродов генератора заземлен. В некоторых схемах триодных генераторов и в магнетронных схемах заземляется анод, а катод находится под полным анодным напряжением относительно земли. Заземление анода в магнетронах конструктивно удобнее, так как анод непосредственно связан с фидером или волноводом с заземленной наружной оболочкой. В данном случае лучше применять схему рис. 146, б, в которой на нагрузке получается импульс отрицательной полярности. При заземленных катодах следует использовать схему рис. 146, а потому, что она позволяет получить положительный относительно земли импульс анодного напряжения.

Рассмотрим процессы, происходящие в моменты заряда и разряда емкости в наиболее распространенной схеме с последовательным соединением R_r и C_n (рис. 146, б).

Заряд емкости C_n характеризуется постоянной времени

$$\tau_z = C_n (R_s + R_r),$$

где R_r — сопротивление генератора при снятом анодном напряжении (когда $E_a = 0$); для триодов и магнетронов $R_r = \infty$ при $E_a = 0$.

Для создания цепи заряда параллельно генератору включают сопротивление R , величина которого должна быть такой, чтобы заметно не уменьшать ток разряда через генератор, так как в момент разряда сопротивление R (рис. 147) и генератор оказываются включенными параллельно. По этим причинам R берут в 10—20 раз больше сопротивления генератора во время генерации.

На рис. 147 показана схема с емкостным накопителем и коммутатором в виде модуляторной лампы, управляемой прямоугольными импульсами, подаваемыми на сетку от подмодулятора.

При отсутствии импульса на сетке лампа модулятора заперта большим отрицательным смещением — E_{a1} и конденсатор заряжается до напряжения U_{c1} , близкого к E_0 :

$$U_{c1} \approx (0,98-1) E_0;$$

напряжение на конденсаторе нарастает по экспоненциальному закону

$$u_{c1} = u_{c1} \left(1 - e^{-\frac{t}{\tau_z}} \right) \approx E_0 \left(1 - e^{-\frac{t}{\tau_z}} \right).$$

При отпирании лампы модулятора положительным импульсом ее внутреннее сопротивление резко падает до небольшой величины R_0 и конденсатор C_n начнет разряжаться на нагрузку через модуляторную лампу, при этом напряжение на конденсаторе начнет уменьшаться, а на лампе генератора появится импульс анодного напряжения, необходимый для генерации высокочастотного импульса.

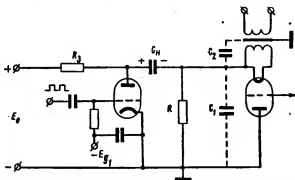


Рис. 147. Схема модулятора с емкостным накопителем и коммутатором в виде модуляторной лампы.

За время разряда напряжение на конденсаторе уменьшится до величины U_{C_2} , которую можно определить по закону разряда емкости

$$u_{C_p} \approx E_0 e^{-\frac{t}{\tau_p}},$$

где $\tau_p = C_n \left(R_0 + \frac{RR_r}{R + R_r} \right) \approx C_n (R_0 + R_r)$
при $t = \tau$

$$u_{C_p} = u_{C_2} = E_0 e^{-\frac{\tau}{\tau_p}}. \quad (155)$$

Изменение напряжения на накопительном конденсаторе в течение длительности импульса

$$\Delta u = u_{C_1} - u_{C_2} \approx E_0 - u_{C_2}.$$

Пользуясь уравнением (155), получим

$$\Delta u \approx E_0 \left(1 - e^{-\frac{\tau}{\tau_p}} \right) \approx E_0 \frac{\tau}{\tau_p}, \quad (156)$$

так как

$$e^{-\frac{\tau}{\tau_p}} \approx 1 - \frac{\tau}{\tau_p}.$$

Из уравнения (156) можно приближенно определить необходимую емкость C_n :

$$C_n \approx E_0 \frac{\tau}{\Delta U (R_0 + R_r)};$$

вводя величину тока во время импульса $I_0 \approx \frac{E_0}{R_0 + R_r}$, получим

$$C_n \approx \frac{\tau I_0}{\Delta U}.$$

Графики напряжений на сетке лампы модулятора, на конденсаторе и на нагрузке в процессе работы приведены на рис. 148. Следует иметь в виду, что вследствие заземления анода генераторной лампы (или магнетрона) напряжение u_n имеет полярность, противоположную полярности напряжения на конденсаторе (при отсчете напряжений от точки нулевого потенциала — земли); однако в целях большей наглядности импульс анодного напряжения изображен положительным (что было бы справедливо только при отсчете потенциала от катода).

На форму импульса, образованного на нагрузке, большое влияние оказывает паразитная емкость C_0 , которая складывается из выходной емкости ламп модулятора и генератора (или магнетрона), емкости монтажа и емкости вторичной обмотки накального трансформатора относительно его сердечника (C_2):

$$C_0 = C_1 + C_2 \approx (30-150) \text{ пф},$$

где

$$C_1 = C_{\text{вых. м}} + C_{\text{вых. г}} + C_{\text{монт.}}$$

Наличие емкости C_0 приводит к растягиванию фронта нарастания и спада импульса анодного напряжения, так как напряжение на нагрузке (т. е. на генераторе) установится только тогда, когда зарядится паразитная емкость. Спад импульса определяется разрядом емкости C_0 через сопротивление R .

При использовании триодных генераторов сопротивление триода постоянному току мало и слабо зависит от

анодного напряжения, это позволяет уменьшить величину R и тем самым время разряда емкости C_0 и время спада импульса t_c .

Спад амплитуды импульса вызван разрядом накопительной емкости в течение длительности импульса.

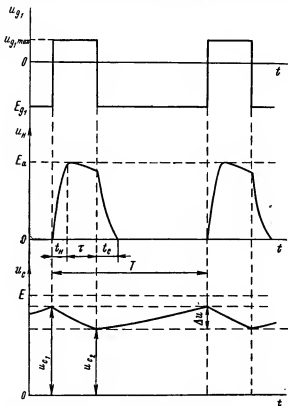


Рис. 148. Графики напряжений на сетке лампы модулятора на нагрузке и на емкости C_N в модуляторе с емкостным накопителем.

Рассмотрим влияние паразитной емкости в схеме с магнетроном (рис. 149). Заряд емкости C_0 происходит при отпирании лампы модулятора через сопротивление R_0 , поэтому постоянная времени заряда мала и фронт нарастания получится крутым. В конце импульса, когда паразитная ем-

кость находится под полным анодным напряжением магнетрона, лампа модулятора запирается и начинается разряд C_0 через магнетрон, от чего магнетрон будет некоторое
а)

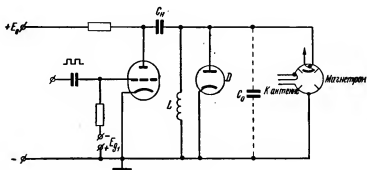
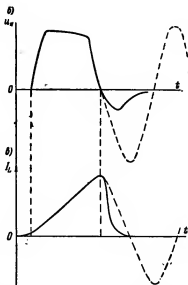


Рис. 149. Модулятор с компенсацией влияния паразитной емкости: а — схема модулятора с дросселем и демпфирующим диодом; б — временные диаграммы напряжения на нагрузке; в — временные диаграммы тока в дросселе.

время генерировать, пока напряжение на C_0 не упадет до $E_{a \min}$. В результате значительно увеличится длительность заднего фронта.

Чтобы устранить указанное явление, в цепи емкости C_0 образуют корректирующий контур с помощью дополнительного дросселя, включенного параллельно емкости C_0 вместо сопротивления R . В момент отпирания лампы модулятора произойдет разряд конденсатора через внутреннее сопротивление лампы и дроссель L , при этом за время нарастания импульса ток в дросселе не успеет заметно измениться и будет весьма мал.



В дальнейшем этот ток будет нарастать по экспоненциальному закону и достигнет максимума в момент окончания импульса, когда лампа модулятора запретится и прекратится генерация магнетрона. Затем произойдет разряд паразитной емкости C_0 через индуктивность L , в результате в контуре L, C_0 образуются паразитные колебания, так как затухание контура будет весьма малым. При этом амплитуда напряжения на контуре будет даже больше анодного напряжения. Такие колебания напряжения недопустимы, так как приводят к паразитному возбуждению магнетрона.

Для устранения колебательных процессов в схеме после спада основного импульса параллельно контуру включают сглаживающий (демпфирующий) диод D , который шунтирует контур в момент отрицательной волны колебательного напряжения и делает процесс в контуре апериодическим; в момент положительной полуволны диод тока не проводит и его сопротивление будет большим.

На рис. 149, а приведена схема модулятора с дросселем и диодом, а на рис. 149, б, в — временные диаграммы анодного напряжения (на емкости C_0) и тока в дросселе L . Сплошной линией показаны форма анодного напряжения и тока дросселя в схеме с диодом, а пунктиром — колебательный процесс в контуре L, C_0 при отсутствии диода.

Величину индуктивности дросселя определяют, задавая допустимой величиной тока, ответвляющегося через него:

$$I_L \approx (0,05-0,1) I_a,$$

где I_L — ток дросселя;
 I_a — ток магнетрона;

$$L \approx (10-20) R_{м.г} \tau,$$

где $R_{м.г}$ — сопротивление магнетрона при генерации.

В рассмотренных схемах с емкостным накопителем и неполным разрядом управление модуляционной лампой осуществляется периодической последовательностью прямоугольных импульсов, вырабатываемых в подмодуляторе. В качестве коммутаторов в этих схемах используются импульсные модуляторные лампы, особенность которых состоит в том, что они должны пропускать большие токи, равные току генератора (десятки и сотни ампер), и работать с высоким анодным напряжением (десятки киловольт).

Основным показателем модуляторных ламп является величина напряжения запирающего и внутреннего сопротивления в момент проводимости. Характеристика лампы не должна иметь пологого начального участка.

Напряжение запирающего триода оказывается больше, чем у тетродов, поэтому приходится использовать тетроды.

Выбор модуляторной лампы определяется величиной максимального тока генератора и максимальным напряжением на аноде, которые должно выдерживать лампа в момент пауз.

Модуляторы с полным разрядом накопителя. Модуляторы с полным разрядом накопителя получили широкое распространение в мощных передатчиках РЛС. В качестве накопительного элемента в них используется искусственная длинная линия, а управление работой осуществляется «мягким» коммутатором.

К особенностям таких модуляторов относятся:

1) использование в качестве накопителя энергии искусственной длинной линии, которая при разряде выдает прямоугольный импульс с длительностью, определяемой параметрами линии;

2) использование в качестве подмодуляторов простых и надежных генераторов поджигающих импульсов, которые управляют работой «мягких» разрядников; простота этих генераторов обусловлена отсутствием жестких требований к форме и длительности поджигающих импульсов;

3) получение больших мощностей, высоких напряжений и большого к. п. д. вследствие уменьшения внутреннего сопротивления коммутатора.

Для использования этих возможностей в рассматриваемых схемах применяют колебательный или резонансный заряд линии от источника постоянного или переменного напряжения. Такой заряд накопителя, в отличие от заряда через активное зарядное сопротивление, позволяет получить высокий к. п. д. (до 95%) и почти удвоенное напряжение на зарядном элементе.

Прежде чем перейти к описанию схем модуляторов, рассмотрим принцип действия простейшего модулятора с накопителем в виде длинной двухпроводной линии (рис. 150, а).

Если в схеме (рис. 150, а) линия была заряжена до напряжения источника E_0 , то при ее разряде, когда замыкается коммутатор K , процессы зависят от сопротивления

нагрузки $R_{н.р} = R_0 + R_r$ и волнового сопротивления линии ρ . При $R_{н.р} = \rho$ и замыкании коммутатора K в линии возникают две волны с амплитудами $\frac{1}{2} E_0$, движущиеся в противоположных направлениях. Прямая волна, приходя в нагрузку $R_{н.р} = \rho$, полностью поглощается в ней; обратная волна, отражаясь от разомкнутого

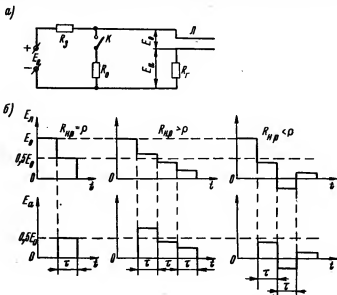


Рис. 150. Модулятор с накопителем в виде длинной линии: а — схема модулятора; б — графики напряжения в линии и нагрузке при различном соотношении нагрузки и волнового сопротивления линии.

конца, возвращается к нагруженному концу и поглощается в нагрузке. В результате на нагрузке $R_{н.р}$ образуется импульс напряжения с амплитудой $\frac{1}{2} E_0$, длительность импульса определяется временем двойного пробега волны в линии $\tau = \frac{2l}{v}$, откуда длина воздушной линии $l = 0,5 v \tau \approx 1,5 \cdot 10^8 \tau$. При $\tau = 1$ мксек $l = 150$ м.

На рис. 193, б показаны импульсы напряжения на генераторе при различных соотношениях $R_{н.р}$ и ρ ($R_{н.р} = R_r$, так как $R_0 \ll R_r$). При $R_{н.р} \neq \rho$ вместо одного импульса

на нагрузке появляется ступенчатое напряжение, увеличивается длительность импульса или появляется отрицательный выброс. В реальных схемах модуляторов вместо двухпроводных применяют искусственные линии, состоящие из эквивалентных сосредоточенных параметров L и C . Длительность импульса, формируемого такой линией, зависит от величины параметров звена L и C и числа звеньев n :

$$\tau = 2n \sqrt{LC}.$$

Чем больше число звеньев, тем ближе свойство искусственной линии к двухпроводной. Увеличение числа звеньев улучшает форму импульсов, но при этом увеличиваются габариты линии.

Колебательный заряд накопителя. Недостатком схемы накопителя с зарядом от источника постоянного тока через активное зарядное сопротивление является низкий к. п. д. (до 50%) из-за потерь в зарядном сопротивлении. Кроме того, в такой схеме на нагрузке получается импульс напряжения с амплитудой, вдвое меньшей напряжения источника E_0 .

Для повышения к. п. д. заряда (до 95%) и увеличения напряжения на линии (а следовательно, и на нагрузке) при том же напряжении источника E_0 применяют схемы заряда линии через катушку индуктивности. Такой заряд называется *колебательным* или *резонансным*.

Принципиальная схема колебательного заряда линии, которую в процессе заряда можно заменить сосредоточенной эквивалентной емкостью $C_z = nC$, где C — емкость звена, а n — число звеньев, показана на рис. 151, а. При заряде линии через катушку L_z напряжение на емкости C_z нарастает до напряжения, большего напряжения источника, вследствие появления колебательного процесса и влияния э. д. с. самоиндукции.

Расчеты колебательного заряда емкости показывают, что

$$U_{C \max} \approx (1,85 - 1,9) E_0.$$

Индуктивность зарядного дросселя с емкостью линии образует контур с периодом собственных колебаний $T_z = 2\pi \sqrt{LC}$. Если период следования импульсов T равен половине периода собственных колебаний, то замыкание коммутатора и разряд линии произойдут при максимальном

напряжения $U_{C \max} \approx 1,9E_0$ и напряжение на нагрузке будет вдвое меньше: $E_n \approx (0,85-0,9) E_0$.

На рис. 151, б показаны графики напряжения на линии и на нагрузке при $T_3 = 2T$. Схема (рис. 151, а) требует синхронизации собственной частоты цепи заряда и частоты следования. Действительно, если $T < 0,5T_3$, то разряд произойдет при меньшем напряжении линии,

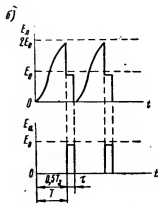
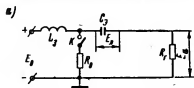


Рис. 151. Модулятор с колебательным зарядом накопителя: а — принципиальная схема; б — графики напряжений на накопителе и на нагрузке.

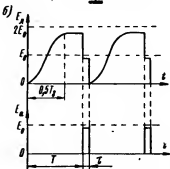
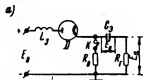


Рис. 152. Модулятор с колебательным зарядом накопителя через диод: а — принципиальная схема; б — графики напряжения на накопителе и на нагрузке.

так как линия не успеет полностью зарядиться. Если $T > 0,5T_3$, то за время паузы между импульсами линия успеет не только зарядиться, но и начнет разряжаться, что также приведет к снижению напряжения и нарушению нормальной работы модулятора.

Для устранения данного недостатка применяют схему с зарядным диодом (рис. 152, а), в которой заряд емкости происходит через дроссель L_3 и диод D . Линия заряжается до напряжения $U_{C \max}$, не изменяющегося до момента разряда, регулируемого коммутатором K (до замыкания ком-

мутатора разряду емкости препятствует диод). На рис. 152, б показаны графики изменения напряжения на линии и нагрузке. Для нормальной работы схемы необходимо выполнить условие $T > 0,5T_3$. Наличие диода несколько увеличивает потери и уменьшает максимальное напряжение до $(1,7-1,8) E_0$. Кроме указанных схем,

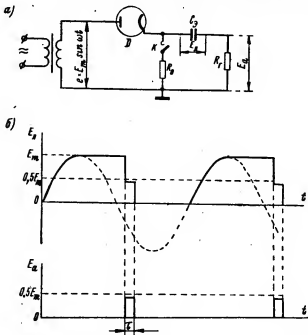


Рис. 153. Модулятор с колебательным зарядом от источника переменного тока: а — принципиальная схема; б — графики напряжений на накопителе и нагрузке.

применяется схема с зарядом от источника переменного тока. На рис. 153, а представлена схема с зарядным диодом, а на рис. 153, б — графики напряжений.

Заряд емкости происходит в первую четверть периода колебаний, после чего напряжение на ней остается постоянным. Коммутация в схеме должна осуществляться при отрицательном напряжении на диоде, так как в противном случае произойдет короткое замыкание вторичной обмотки трансформатора через коммутатор. Это требует

синхронизации частоты следования с частотой и фазой напряжения питания.

В схеме рис. 153, а накопитель заряжается до напряжения, равного амплитуде зарядного напряжения во вторичной обмотке повышающего трансформатора, и работает с достаточно высоким к. п. д. (до 85—95%).

Более совершенной является схема колебательного (резонансного) заряда переменным током (рис. 154). В этой схеме собственная частота колебательного контура,

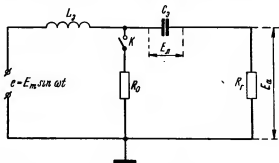


Рис. 154. Модулятор с колебательным зарядом накопителя от источника питания переменного тока.

образованного зарядной индуктивностью L_2 и накопительной емкостью C_2 , должна быть равна частоте источника питания ω :

$$\omega_0 = \frac{1}{\sqrt{L_2 C_2}} = \omega.$$

В установившемся режиме, который при обычной добротности цепи заряда Q_2 (порядка 10—20) наступит через 10—20 периодов, напряжение на накопительной емкости будет примерно в Q_2 раз больше амплитуды напряжения питания:

$$U_{mc} \approx (10-20) E_m,$$

однако такой режим работы на практике не используется, потому что требует значительного увеличения частоты напряжения питания по сравнению с частотой следования импульсов и соответствующего деления частоты питания для синхронизации коммутатора.

По этим причинам, а также с целью повышения к. п. д. цепи заряда заряд накопительной емкости используется только в течение одного периода питающего напряжения.

Временные диаграммы питающего напряжения и напряжения на накопительной емкости, поясняющие процессы заряда, приведены на рис. 155. Расчеты показывают, что при заряде в течение одного периода напряжение на накопительной емкости достигает величины $U_{C\max} \approx \pi E_m$, т. е. будет примерно в три раза больше амплитуды напряжения питания. При этом к. п. д. цепи заряда $\eta_3 = 0,85-0,91$ (при $Q_3 \approx 10-20$).

После включения коммутатора за время длительности импульса напряжение на нагрузке будет равно $E_a \approx \frac{1}{2} U_{C\max}$. Коммутатор должен точно включаться при прохождении питающего напряжения через нуль, т. е. когда напряжение на накопителе станет максимальным.

Основной недостаток рассмотренных схем заряда переменным током — в необходимости жесткой связи частоты следования импульсов с частотой источника питания. В этом случае потребуются специальные источники питания повышенной частоты (сотни герц) с высокой стабилизацией числа оборотов, что весьма затруднительно. Поэтому схемы заряда переменным током применяются при невысоких требованиях к стабильности частоты следования импульсов.

Основное преимущество этих схем — отсутствие выпрямителя, что значительно уменьшает габариты и вес модулятора.

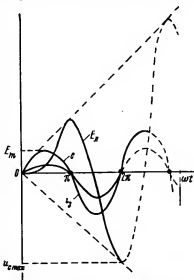


Рис. 155. Временные диаграммы напряжений при колебательном заряде накопителя от источника переменного тока.

Сравнение схем модуляторов с частичным и полным разрядом. Модуляторы с частичным разрядом накопителя позволяют получить короткие импульсы (десятые доли микросекунды), близкие по форме к прямоугольным, и производить коммутацию импульсов с высокой частотой следования, что объясняется ничтожно малой инерцией этих приборов. К недостаткам модуляторов с частичным разрядом накопителя относятся ограниченные величины коммутируемых мощностей и сравнительно низкий к. п. д. Эти модуляторы требуют больших отрицательных напряжений запарки и сложных и достаточно мощных подмодуляторов с хорошей формой запускающих импульсов.

Модуляторы с полным разрядом дают менее прямоугольную форму импульсов, частота следования которых ограничена временем деионизации; у них наблюдается разброс начала коммутации. В то же время эти модуляторы превосходят модуляторы с частичным разрядом возможностью коммутирования больших мощностей и высоким к. п. д. (до 95%). Они управляются сравнительно небольшими мощностями, и их подмодуляторы значительно проще и дешевле.

§ 61. Безламповый импульсный модулятор

В последние годы появился новый тип импульсного модулятора, в котором коммутатором служит нелинейная индуктивность.

Как известно, нелинейная индуктивность содержит сердечник из феррита, обладающий узкой и почти прямоугольной петлей гистерезиса $B = \Phi(H)$, где B — магнитная индукция, H — напряженность магнитного поля.

На рис. 156 представлены реальная и идеализированная (в виде ломаной линии) характеристики нелинейной индуктивности. На пологих участках насыщения сердечника магнитная проницаемость μ_2 весьма мала и резко скачком увеличивается при ненасыщенном состоянии $\mu_1 \gg \mu_2$ (участок 1—2 рис. 156, б).

Изменение магнитной проницаемости в сотни и тысячи раз приводит к соответствующим изменениям индуктивности катушки. Эта индуктивность при ненасыщенном состоянии сердечника будет значительно больше, чем при его насыщении.

Такое резкое изменение индуктивности (а следовательно, и сопротивления) катушки при изменении тока в ней и дает возможность использовать нелинейную индук-

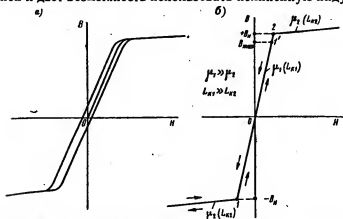


Рис. 156. Характеристики нелинейной индуктивности: а — петля гистерезиса; б — идеализация петли гистерезиса ломаной линией.

тивность в качестве коммутатора, позволяющего осуществить коммутацию тока в десятки ампер при малом токе насыщения (десятки мА).

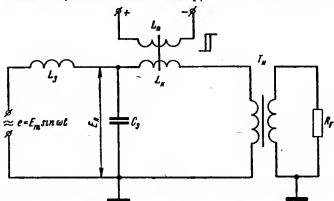


Рис. 157. Безламповый модулятор с нелинейной индуктивностью.

Простейший безламповый импульсный модулятор (рис. 157) состоит из накопительной емкости C_3 , зарядной индуктивности L_3 , нелинейной индуктивности L_K , и

импульсного трансформатора T_n , подключенного к нагрузке (например, магнетрону).

Питание модулятора осуществляется переменным током с частотой, равной частоте следования импульсов.

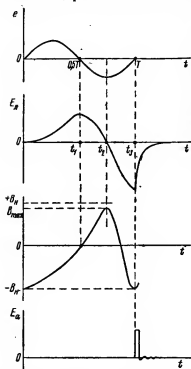


Рис. 158. Временные диаграммы безлампового модулятора с нелинейной индуктивностью.

Для осуществления коммутации на нелинейную индуктивность подается напряжение с зарядкой емкости C_0 (через первичную обмотку импульсного трансформатора). При изменении этого напряжения будет изменяться и индукция катушки в соответствии с ее петлей гистерезиса:

$$B(t) = B(0) + B_-,$$

где $B(0)$ — начальное значение магнитной индукции сердечника, обусловленное постоянным током подмагничивания;

B_- — переменная составляющая индукции, вызванная изменением напряжения.

Рассмотрим процессы в коммутаторе (рис. 156, б; 157, 158).

Если установить начальную точку характеристики на нижней границе пологого и крутого участков в точке 1 (рис. 156, б), т. е. принять $B(0) = -B_n$, то в процессе заряда емкости напряжение на катушке и ток в ней будут увеличиваться, и индукция будет возрастать (участок 1—2). Если в момент, соответствующий перемене знака напряжения E_d , рабочая точка не перейдет на верхний пологий участок (точка 1'), то процесс заряда будет продолжаться и индукция после достижения максимальной величины

в момент t_2 (рис. 158) начнет уменьшаться из-за изменения знака E_d , при этом рабочая точка, определяющая магнитное состояние сердечника, будет перемещаться вниз, к точке 1.

В момент t_3 , когда напряжение на емкости достигнет максимальной величины, рабочая точка перейдет в положение 1. Магнитная проницаемость, а следовательно, и индуктивное сопротивление катушки резко уменьшится, и накопительная емкость быстро разрядится через $L_k = L_k$, и импульсный трансформатор, создав в нагрузке импульс напряжения.

Недостатком рассмотренной простейшей схемы является невозможность получения коротких импульсов, так как время разряда зависит от индуктивности L_k , которая в режиме насыщения оказывается достаточно большой. Снижение же этой индуктивности (за счет уменьшения числа витков и т. п.) приводит к соответствующему уменьшению индуктивности $L_k = L_k \gg L_k$ в ненасыщенном режиме (на крутом участке), когда μ_1 велико, что недопустимо, так как L_k будет шунтировать накопитель в процессе заряда.

Для улучшения формы импульса и уменьшения его длительности применяют схемы с последовательным зарядом накопительных емкостей.

Последовательное соединение накопительных емкостей и нелинейных индуктивностей приводит к тому, что параметры импульса на нагрузке будут определяться параметрами последнего накопительного элемента и его согласованием с нагрузкой, причем последовательный разряд последующих емкостей происходит через меньшие индуктивности. Такой модулятор отличается большим сроком службы и высокой надежностью работы. С его помощью можно получать весьма высоковольтные импульсы при низковольтном напряжении питания. Недостаток этих модуляторов — в более низком к. п. д. вследствие многократного преобразования энергии при последовательном заряде емкостей.

§ 62. Типы коммутирующих устройств

В рассмотренных модуляторах в качестве коммутаторов применяются *искровые вращающиеся разрядники и газоразрядные приборы — тригатроны и тиратроны.*

Основными техническими показателями таких коммутаторов являются:

1) максимальные допустимые величины токов и напряжений при коммутации; 2) внутреннее сопротивление в момент проводимости (R_0); 3) время срабатывания, зависящее от времени ионизации, необходимой для появления разряда; 4) время восстановления электрической прочности газового промежутка после окончания разряда (деионизация); 5) срок службы.

Рассмотрим основные типы разрядников.

В настоящее время основное применение получили газовые разрядники — тригатроны и тиратроны.

Тригатрон — это газовый разрядник с дополнительным поджигающим электродом Π . Баллон прибора наполняется аргоном с примесью кислорода при давлении в несколько атмосфер. Поджигающий электрод проходит через анод и на него подается поджигающий импульс. В результате между поджигающим электродом и анодом происходит разряд, вызывающий ионизацию газового промежутка, и разряд между основными электродами. Тригатроны характеризуются небольшим разбросом начала разряда (десятые доли микросекунды) и возможностью коммутации больших мощностей (до сотен киловатт в импульсе).

Основные недостатки тригатронов — большое время деионизации, ограничивающее частоту следования импульсов (до 1200—1500 имп/сек), и необходимость в значительных поджигающих импульсах (до нескольких тысяч вольт), что усложняет схему модулятора. Срок службы тригатронов — порядка нескольких сотен часов (в некоторых типах до 2000 час.).

На рис. 159 приведена схема модулятора с тригатроном, в которой применен импульсный трансформатор, служащий для повышения и изменения полярности напряжения, питающего магнетрон.

Наиболее широкое применение в современных схемах модулятора нашли водородные тиратроны, их можно считать основным типом коммутатора РЛС. Эти тиратроны обладают высокой точностью коммутации (до 0,02 мксек), хорошо работают на частотах следования до 5000 гц и не требуют больших поджигающих напряжений. Водородное наполнение увеличивает срок службы этих приборов и уменьшает время деионизации, поэтому водородные

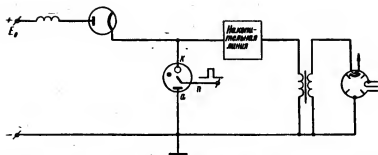


Рис. 159. Модулятор с колебательным зарядом и триггатроном в качестве коммутатора: а — схема триггатрона; б — схема модулятора.

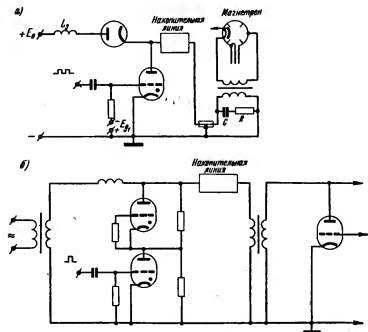


Рис. 160. Модуляторы с тиратронными коммутаторами: а — с колебательным зарядом через диод и выходом на высоковольтный кабель; б — с колебательным зарядом от источника переменного тока и последовательным включением тиратронов.

тиратроны по своим показателям значительно превосходят ртутные.

Важные достоинства тиратронов (по сравнению с другими типами коммутаторов) — малые габариты и вес, малое внутреннее сопротивление, а также нулевое напряжение запирапия.

На рис. 160 изображены схемы модуляторов с тиратронами. В схеме рис. 160, а модулятор и магнетрон разнесены и связаны высоковольтной фидерной линией и импульсным трансформатором, позволяющим повысить напряжение на магнетроне и получить нужную полярность. Цепочка R и C может включаться как в первичную, так и во вторичную обмотки трансформатора. Эта цепочка улучшает согласование модулятора с магнетроном и уменьшает выброс фронта модулирующего импульса, который появляется в начальный момент (до начала генерации магнетрона).

На рис. 160, б приведена схема модулятора с последовательным соединением тиратрона, что позволяет увеличить коммутируемую мощность. В этой схеме заряд линии производится от источников переменного тока.

Кроме рассмотренных типов коммутаторов импульсных модуляторов применяются нелинейные индуктивности. Они пока еще не получили широкого распространения, однако их ценные преимущества — большой срок службы и надежность — делают их использование весьма перспективным.

ЛИТЕРАТУРА

1. Агафонов Б. С. Теория и расчет радиотелеграфных режимов в современных генераторных лампах. Изд-во «Советское радио», М., 1954.
2. Бетин Б. М. Радиопередающие устройства. Госэнергоиздат, 1951.
3. Берг А. И. Теория и расчет ламповых генераторов. Ч. I, изд. 2, ОНТИ, М.—Л., 1935.
4. Бычков С. И. Магнетронные передатчики. Воениздат, М., 1955.
5. Власов В. Ф. Электровакуумные приборы. Связьиздат, М., 1949.
6. Герасимов С. М., Мигулин И. Н., Яковлев В. Н. Расчет полупроводниковых усилителей и генераторов. Гос. издат. технической литературы УССР, Киев, 1961.
7. Дробов С. А. Радиопередающие устройства. Изд. 2, Воениздат, М., 1951.
8. Евтянов С. И. Радиопередающие устройства. Связьиздат, М., 1950.
9. Милиц А. Л. Радиоэлектроника. Изд-во АН СССР, М., 1963.
10. Модель З. И. Радиопередающие устройства. Связьиздат, М., 1961.
11. Нейман М. С. Курс радиопередающих устройств. Изд-во «Советское радио», М., 1957—1958.
12. Окунь Е. Л. Расчет радиопередатчиков. Судпромгиз, Л., 1962.
13. Персон С. В., Лебедев-Карманов А. И., Хацкелевич В. А. Теория и расчет амплитудно-модулированных ламповых генераторов. Изд-во «Советское радио», М., 1955.
14. Трошанов Н. А. Радиоаппаратура на лампах бегущей волны. Судпромгиз, Л., 1961.
15. Хацкелевич В. А. Расчет режимов новых генераторных триодов. Связьиздат, М., 1961.
16. Штейн Н. И. Автогенераторы гармонических колебаний. Госэнергоиздат, М.—Л., 1961.
17. Шитиков Г. Т. Исследование влияния лампы на частоту генератора. ИЭСТ, № 8, 1940.
18. Грей П., Грэхем Р. Радиопередатчики. Перевод с английского. Изд-во «Связь», М., 1965.

Ожунь Евсей Львович
РАДИОПЕРЕДАЮЩИЕ УСТРОЙСТВА

Темплан 1967 г. № 15

Рецензент **В. В. Творцова**
Научный редактор к. т. н. **Г. Н. Шальников**
Редактор **С. Ю. Курашова**
Технический редактор **А. И. Конторович**
Корректоры: **А. И. Дулькина, И. М. Стрович**
Переплет художника **С. М. Малахова**

Сдано в набор 21/X 1966 г. М-15384. Подписано к печати 19/VI 1967 г.
Формат бумаги 84×108/32. Факт. печ. листов 14,125. Типографская бумага № 3
Усл. печ. листов 23,17. Уч.-изд. л. 22,3.
Изд. № 1867-66. Тираж 85 000 экз. (2-й завод 50001—85000 экз.).
Цена 84 коп. Заказ № 1650.

Издательство «Судостроение», Ленинград, ул. Гоголя, 8

Ленинградская типография № 6 Главполиграфпрома
Комитета по печати при Совете Министров СССР
Ленинград, ул. Монсеенко, 10

P
2 4

BOZAS 10 HA
— 1936. 70 —

84 коп.



«СУДОСТРОЕНИЕ»
ЛЕНИНГРАД
1967